



数值线性代数与算法

第四章 线性方程组的 Krylov 子空间 迭代法



Back

Close



本章着重介绍求解大型稀疏线性方程组的 Krylov 子空间方法. 考虑线性方程组

$$\mathbf{A}\mathbf{x} = \mathbf{b}, \quad (4.1)$$

式中: 矩阵 $\mathbf{A} \in \mathbb{R}^{n \times n}$ 和向量 $\mathbf{b} \in \mathbb{R}^n$ 是已经给定的, 而 $\mathbf{x} \in \mathbb{R}^n$ 是待求的未知向量. 取初始向量 $\mathbf{x}_0 \in \mathbb{R}^n$, 则解方程组 (4.1) 等价于求解

$$\mathbf{A}\mathbf{z} = \mathbf{r}_0, \quad \mathbf{x} = \mathbf{x}_0 + \mathbf{z}, \quad \mathbf{r}_0 = \mathbf{b} - \mathbf{A}\mathbf{x}_0. \quad (4.2)$$

所谓求解线性方程组 (4.2) 的 Krylov 子空间方法, 就是先构造一个 Krylov 子空间

$$\mathcal{K}_k(\mathbf{A}, \mathbf{r}_0) = \text{span}\{\mathbf{r}_0, \mathbf{A}\mathbf{r}_0, \dots, \mathbf{A}^{k-1}\mathbf{r}_0\}; \quad (4.3)$$

然后设法求一个 $\mathbf{z}_k \in \mathcal{K}_k(\mathbf{A}, \mathbf{r}_0)$, 使其在某种意义下是方程组 (4.2) 解的最佳逼近, 然后得到原方程组 (4.1) 的近似解 $\mathbf{x}_k = \mathbf{x}_0 + \mathbf{z}_k$.





因此, 具体实现这一思想的关键是如何定量地刻画“最佳逼近”. 目前最常用的最佳性标准主要有两类: 一类是残量极小化标准; 另一类是残量正交化标准.

残量极小化标准是指求 $\mathbf{x}_k \in \mathbf{x}_0 + \mathcal{K}_k(\mathbf{A}, \mathbf{r}_0)$, 使得

$$\|\mathbf{r}_k\|_2 = \min\{\|\mathbf{b} - \mathbf{A}\mathbf{x}\|_2 : \mathbf{x} \in \mathbf{x}_0 + \mathcal{K}_k(\mathbf{A}, \mathbf{r}_0)\}, \quad (4.4)$$

式中: $\mathbf{r}_k = \mathbf{b} - \mathbf{A}\mathbf{x}_k$ 为 \mathbf{x}_k 的残差向量 (简称残量).

本章主要介绍由这一标准导出的七种方法: 求解对称正定线性方程组的共轭梯度法 (CG 方法), 求解对称不定线性方程组的极小残量法 (MINRES 方法) 和 SYMMLQ 方法, 求解非对称线性方程组的广义极小残量法 (GMRES 方法)、拟极小残量法 (QMR 方法)、LSQR 方法和广义共轭残量法等.





残量正交化标准是指求 $\mathbf{x}_k \in \mathbf{x}_0 + \mathcal{K}_k(\mathbf{A}, \mathbf{r}_0)$, 使得

$$\mathbf{r}_k = \mathbf{b} - \mathbf{A}\mathbf{x}_k \perp \mathcal{L}_k, \quad (4.5)$$

式中: \mathcal{L}_k 是另一选定的 k 维子空间, 称为约束空间.

\mathcal{L}_k 通常有三种典型取法: ① $\mathcal{L}_k = \mathcal{K}_k(\mathbf{A}, \mathbf{r}_0)$; ② $\mathcal{L}_k = \mathbf{A}\mathcal{K}_k(\mathbf{A}, \mathbf{r}_0)$; ③ $\mathcal{L}_k = \mathcal{K}_k(\mathbf{A}^T, \mathbf{r}_0)$. 式 (4.5) 常称为 Galerkin 条件. 这里主要介绍这方面的三类方法: 双共轭梯度法 (BiCG 方法)、共轭梯度平方法 (CGS 方法) 和稳定化双共轭梯度法 (BICGSTAB 方法).

Krylov 子空间方法的一个最显著的特点就是整个计算过程只涉及矩阵 \mathbf{A} 与某些向量的乘积, 这使得在算法执行过程中可以充分利用 \mathbf{A} 的特殊性. 因此, 这种类型的线性方程组的求解方法就特别适用于大型稀疏线性方程组的求解. 当然, 对某些具有某种特殊结构的大型稠密线性方程组也是适用的.



Back

Close



§4.1 共轭梯度法

本节介绍求解对称正定线性方程组的一类最著名的 Krylov 子空间方法——共轭梯度法.

§4.1.1 基本 CG 方法

设 $A \in \mathbb{R}^{n \times n}$ 和 $b \in \mathbb{R}^n$ 已经给定, 其中 A 是对称正定的. 对于给定初始向量 $x_0 \in \mathbb{R}^n$, 求一个 $z \in \mathbb{R}^n$ 满足式 (4.2), 便可得到方程组 (4.1) 的解 $x = x_0 + z$.

由于 A 是对称正定的, 所以在 \mathbb{R}^n 上可以定义两种向量范数:

$$\|v\|_A = \sqrt{v^T A v} \quad \text{和} \quad \|v\|_{A^{-1}} = \sqrt{v^T A^{-1} v}, \quad v \in \mathbb{R}^n. \quad (4.6)$$

考虑由式 (4.2) 的系数矩阵 A 和右端项 r_0 所产生的 Krylov 子空间 $\mathcal{K}_k(A, r_0)$. 并记式 (4.1) 的真解为 x^* 即 $x^* = A^{-1}b$. 考虑求一



Back

Close



个 $\mathbf{x}_k \in \mathbf{x}_0 + \mathcal{K}_k(\mathbf{A}, \mathbf{r}_0)$, 使其在某种条件下是 \mathbf{x}^* 的最佳逼近. 下面的定理是关于这种最佳性的几种等价表述.

定理 4.1 符号如上所述, 则下面三条等价:

(1) 向量 $\mathbf{x}_k \in \mathbf{x}_0 + \mathcal{K}_k(\mathbf{A}, \mathbf{r}_0)$, 满足

$$\|\mathbf{x}_k - \mathbf{x}^*\|_A = \min\{\|\mathbf{x} - \mathbf{x}^*\|_A : \mathbf{x} \in \mathbf{x}_0 + \mathcal{K}_k(\mathbf{A}, \mathbf{r}_0)\} \quad (\text{误差极小}). \quad (4.7)$$

(2) 向量 $\mathbf{x}_k \in \mathbf{x}_0 + \mathcal{K}_k(\mathbf{A}, \mathbf{r}_0)$, 满足

$$\|\mathbf{b} - \mathbf{A}\mathbf{x}_k\|_{A^{-1}} = \min\{\|\mathbf{b} - \mathbf{A}\mathbf{x}\|_{A^{-1}} : \mathbf{x} \in \mathbf{x}_0 + \mathcal{K}_k(\mathbf{A}, \mathbf{r}_0)\} \quad (\text{残量极小}). \quad (4.8)$$

(3) 向量 $\mathbf{x}_k \in \mathbf{x}_0 + \mathcal{K}_k(\mathbf{A}, \mathbf{r}_0)$, 满足

$$\mathbf{z}^T(\mathbf{b} - \mathbf{A}\mathbf{x}_k) = 0 \quad (\text{即 } \mathbf{r}_k \perp \mathcal{K}_k(\mathbf{A}, \mathbf{r}_0)), \quad \forall \mathbf{z} \in \mathcal{K}_k(\mathbf{A}, \mathbf{r}_0) \quad (\text{残量正交}). \quad (4.9)$$



Back

Close



注 4.1 定理 4.1 说明, 求 $\mathbf{x}_k \in \mathbf{x}_0 + \mathcal{K}_k(\mathbf{A}, \mathbf{r}_0)$ 使其在 $\|\cdot\|_A$ 范数下与真解 \mathbf{x}^* 的距离最小就等价于其残量 $\mathbf{r}_k = \mathbf{b} - \mathbf{A}\mathbf{x}_k$ 在 $\|\cdot\|_{A^{-1}}$ 范数下达到最小, 也等价于其残量 $\mathbf{r}_k = \mathbf{b} - \mathbf{A}\mathbf{x}_k$ 与 $\mathcal{K}_k(\mathbf{A}, \mathbf{r}_0)$ 是正交的.

共轭梯度法基本迭代格式的推导需要利用对称 Lanczos 正交化过程. 假设已求得一个以 $\mathbf{v}_1 = \mathbf{r}_0 / \|\mathbf{r}_0\|_2$ 为初始向量的长度 k 的 Lanczos 分解 (见算法 2.13):

$$\mathbf{A}\mathbf{V}_k = \mathbf{V}_k\mathbf{T}_k + \beta_k\mathbf{v}_{k+1}\mathbf{e}_k^T, \quad (4.10)$$

式中: $\mathbf{V}_k^T\mathbf{V}_k = \mathbf{I}_k$, $\mathbf{T}_k = \mathbf{V}_k^T\mathbf{A}\mathbf{V}_k$ 为如下形式的对称三对角矩阵





$$\mathbf{T}_k = \begin{bmatrix} \alpha_1 & \beta_2 & & & \\ \beta_2 & \alpha_2 & \beta_3 & & \\ & \ddots & \ddots & \ddots & \\ & & \beta_{k-1} & \alpha_{k-1} & \beta_k \\ & & & \beta_k & \alpha_k \end{bmatrix},$$

且 $\mathbf{v}_{k+1}^\top \mathbf{V}_k = \mathbf{0}$, $\|\mathbf{v}_{k+1}\|_2 = 1$. 这里假定初始向量 $\mathbf{v}_1 = \mathbf{r}_0 / \|\mathbf{r}_0\|_2$, $\mathbf{r}_0 = \mathbf{b} - \mathbf{A}\mathbf{x}_0$. 经过 Lanczos 正交化后, 得到的 $\mathbf{V}_k = [\mathbf{v}_1, \mathbf{v}_2, \dots, \mathbf{v}_k]$, 其列向量已构成了 Krylov 子空间 $\mathcal{K}_k(\mathbf{A}, \mathbf{r}_0)$ 的一组标准正交基, 即有

$$\mathcal{K}_k(\mathbf{A}, \mathbf{r}_0) = \text{span}\{\mathbf{r}_0, \mathbf{A}\mathbf{r}_0, \dots, \mathbf{A}^{k-1}\mathbf{r}_0\} = \mathcal{R}(\mathbf{V}_k). \quad (4.11)$$

现在希望求一个 $\mathbf{x}_k \in \mathbf{x}_0 + \mathcal{K}_k(\mathbf{A}, \mathbf{r}_0)$ 使得式 (4.9) 成立. 由式 (4.11)





可知, 这就相当于求 $\mathbf{z}_k \in \mathbb{R}^k$, 使得

$$\mathbf{V}_k^T(\mathbf{r}_0 - \mathbf{A}\mathbf{V}_k\mathbf{z}_k) = \mathbf{V}_k^T(\mathbf{b} - \mathbf{A}\mathbf{x}_k) = \mathbf{0}, \quad (4.12)$$

式中: $\mathbf{x}_k = \mathbf{x}_0 + \mathbf{V}_k\mathbf{z}_k$.

注意到 $\mathbf{T}_k = \mathbf{V}_k^T\mathbf{A}\mathbf{V}_k$ 和 $\mathbf{r}_0 = \|\mathbf{r}_0\|_2\mathbf{v}_1$, 由式 (4.12), 得

$$\mathbf{T}_k\mathbf{z}_k = \beta\mathbf{e}_1^{(k)}, \quad (4.13)$$

式中: $\beta = \|\mathbf{r}_0\|_2$, $\mathbf{e}_1^{(k)}$ 表示第 1 个分量为 1、其余分量为 0 的 k 维列向量.

注意到 \mathbf{A} 对称正定蕴涵着 \mathbf{T}_k 也是正定的, 便知 \mathbf{T}_k 的 \mathbf{LDL}^T 分解存在, 设其为

$$\mathbf{T}_k = \mathbf{L}_k\mathbf{D}_k\mathbf{L}_k^T, \quad (4.14)$$

式中: \mathbf{L}_k 为单位下三角矩阵; $\mathbf{D}_k = \text{diag}(\delta_1, \delta_2, \dots, \delta_k)$, $\delta_i > 0$,



Back

Close

$i = 1, 2, \dots, k$. \mathbf{T}_k 的三对角结构蕴涵着 \mathbf{L}_k 必有如下形状:

$$\mathbf{L}_k = \begin{bmatrix} 1 & & & & \\ \gamma_1 & 1 & & & \\ & \ddots & \ddots & & \\ & & \gamma_{k-1} & 1 & \end{bmatrix}. \quad (4.15)$$



10/294

利用分解 (4.14), 线性方程组 (4.13) 的解可以表示为

$$\mathbf{z}_k = \mathbf{L}_k^{-\text{T}} \mathbf{D}_k^{-1} \mathbf{L}_k^{-1} (\beta \mathbf{e}_1^{(k)}),$$

从而有

$$\mathbf{x}_k = \mathbf{x}_0 + \mathbf{V}_k \mathbf{L}_k^{-\text{T}} \mathbf{D}_k^{-1} \mathbf{L}_k^{-1} (\beta \mathbf{e}_1^{(k)}). \quad (4.16)$$

再令

$$\begin{aligned} \tilde{\mathbf{P}}_k &= [\tilde{\mathbf{p}}_1, \tilde{\mathbf{p}}_2, \dots, \tilde{\mathbf{p}}_k] = \mathbf{V}_k \mathbf{L}_k^{-\text{T}}, \\ \mathbf{z}_k &= (\zeta_1, \zeta_2, \dots, \zeta_k)^{\text{T}} = \mathbf{D}_k^{-1} \mathbf{L}_k^{-1} (\beta \mathbf{e}_1^{(k)}), \end{aligned}$$



则式 (4.16) 又可写为

$$\mathbf{x}_k = \mathbf{x}_0 + \tilde{\mathbf{P}}_k \mathbf{z}_k. \quad (4.17)$$

注意到

$$\begin{aligned} \left[\begin{array}{c|c} \mathbf{T}_k & \beta_k \mathbf{e}_k \\ \hline \beta_k \mathbf{e}_k^T & \alpha_{k+1} \end{array} \right] &= \mathbf{T}_{k+1} := \mathbf{L}_{k+1} \mathbf{D}_{k+1} \mathbf{L}_{k+1}^T \\ &= \left[\begin{array}{c|c} \mathbf{L}_k & \mathbf{0} \\ \hline \gamma_k \mathbf{e}_k^T & 1 \end{array} \right] \left[\begin{array}{c|c} \mathbf{D}_k & \mathbf{0} \\ \hline \mathbf{0} & \delta_{k+1} \end{array} \right] \left[\begin{array}{c|c} \mathbf{L}_k & \mathbf{0} \\ \hline \gamma_k \mathbf{e}_k^T & 1 \end{array} \right]^T, \end{aligned}$$

式中: \mathbf{e}_k 表示第 k 个分量为 1、其余分量为 0 的 k 维列向量. 于是



11/294



Back

Close

有

$$\begin{aligned}\tilde{\mathbf{P}}_{k+1} &= \mathbf{V}_{k+1} \mathbf{L}_{k+1}^{-\mathrm{T}} = [\mathbf{V}_k, \mathbf{v}_{k+1}] \begin{bmatrix} \mathbf{L}_k & \mathbf{0} \\ \gamma_k \mathbf{e}_k^{\mathrm{T}} & 1 \end{bmatrix}^{-\mathrm{T}} \\ &= [\mathbf{V}_k, \mathbf{v}_{k+1}] \begin{bmatrix} \mathbf{L}_k^{-\mathrm{T}} & -\gamma_k \mathbf{L}_k^{-\mathrm{T}} \mathbf{e}_k^{(k)} \\ \mathbf{0} & 1 \end{bmatrix} \\ &= [\mathbf{V}_k \mathbf{L}_k^{-\mathrm{T}}, \mathbf{v}_{k+1} - \gamma_k \mathbf{V}_k \mathbf{L}_k^{-\mathrm{T}} \mathbf{e}_k^{(k)}] \\ &= [\tilde{\mathbf{P}}_k, \mathbf{v}_{k+1} - \gamma_k \tilde{\mathbf{P}}_k \mathbf{e}_k^{(k)}] := [\tilde{\mathbf{P}}_k, \tilde{\mathbf{p}}_{k+1}].\end{aligned}$$

由此可得

$$\tilde{\mathbf{p}}_{k+1} = \mathbf{v}_{k+1} - \gamma_k \tilde{\mathbf{P}}_k \mathbf{e}_k^{(k)} = \mathbf{v}_{k+1} - \gamma_k \tilde{\mathbf{p}}_k, \quad (4.18)$$



12/294



Back

Close



$$\begin{aligned}
\mathbf{z}_{k+1} &= \mathbf{D}_{k+1}^{-1} \mathbf{L}_{k+1}^{-1} (\beta \mathbf{e}_1^{(k+1)}) \\
&= \left[\begin{array}{c|c} \mathbf{D}_k^{-1} & \mathbf{0} \\ \hline \mathbf{0} & \delta_{k+1}^{-1} \end{array} \right] \left[\begin{array}{c|c} \mathbf{L}_k^{-1} & \mathbf{0} \\ \hline -\gamma_k \mathbf{e}_k^T \mathbf{L}_k^{-1} & 1 \end{array} \right] (\beta \mathbf{e}_1^{(k+1)}) \\
&= \left[\begin{array}{c} \mathbf{D}_k^{-1} \mathbf{L}_k^{-1} (\beta \mathbf{e}_1^{(k)}) \\ \zeta_{k+1} \end{array} \right] = \left[\begin{array}{c} \mathbf{z}_k \\ \zeta_{k+1} \end{array} \right],
\end{aligned}$$

式中: $\zeta_{k+1} = -\beta \gamma_k \delta_{k+1}^{-1} \mathbf{e}_k^T \mathbf{L}_k^{-1} \mathbf{e}_1^{(k)}$. 从而有

$$\mathbf{x}_{k+1} = \mathbf{x}_0 + \tilde{\mathbf{P}}_{k+1} \mathbf{z}_{k+1} = \mathbf{x}_0 + [\tilde{\mathbf{P}}_k, \tilde{\mathbf{p}}_{k+1}] \left[\begin{array}{c} \mathbf{z}_k \\ \zeta_{k+1} \end{array} \right] = \mathbf{x}_k + \zeta_{k+1} \tilde{\mathbf{p}}_{k+1}.$$

(4.19)



Back

Close

由式 (4.19), 得

$$\begin{aligned}\mathbf{r}_{k+1} &= \mathbf{b} - \mathbf{A}\mathbf{x}_{k+1} = \mathbf{b} - \mathbf{A}\mathbf{x}_k - \zeta_{k+1}\mathbf{A}\tilde{\mathbf{p}}_{k+1} \\ &= \mathbf{r}_k - \zeta_{k+1}\mathbf{A}\tilde{\mathbf{p}}_{k+1}.\end{aligned}\tag{4.20}$$



14/294

这样, 综合上面的推导, 得如下三个基本的迭代公式:

$$\begin{cases} \mathbf{x}_{k+1} = \mathbf{x}_k + \zeta_{k+1}\tilde{\mathbf{p}}_{k+1}, \\ \mathbf{r}_{k+1} = \mathbf{r}_k - \zeta_{k+1}\mathbf{A}\tilde{\mathbf{p}}_{k+1}, \\ \tilde{\mathbf{p}}_{k+1} = \mathbf{v}_{k+1} - \gamma_k\tilde{\mathbf{p}}_k. \end{cases}\tag{4.21}$$

下面设法消去式 (4.21) 第 3 式中的 \mathbf{v}_{k+1} . 由 $\mathbf{r}_0 \in \mathcal{K}_k(\mathbf{A}, \mathbf{r}_0)$, $\mathbf{x}_k \in \mathbf{x}_0 + \mathcal{K}_k(\mathbf{A}, \mathbf{r}_0)$ 可知, $\mathbf{r}_k = \mathbf{b} - \mathbf{A}\mathbf{x}_k \in \mathcal{K}_{k+1}(\mathbf{A}, \mathbf{r}_0)$, 从而 \mathbf{r}_k 可以由 \mathbf{V}_{k+1} 的列向量线性表出, 即

$$\mathbf{r}_k = \tilde{\gamma}_1\mathbf{v}_1 + \tilde{\gamma}_2\mathbf{v}_2 + \cdots + \tilde{\gamma}_k\mathbf{v}_k + \tilde{\gamma}_{k+1}\mathbf{v}_{k+1}.$$



Back

Close



又由于 $\mathbf{V}_k^T \mathbf{r}_k = \mathbf{0}$, 故 $\tilde{\gamma}_i = 0, i = 1, 2, \dots, k$, 从而

$$\mathbf{r}_k = \tilde{\gamma}_{k+1} \mathbf{v}_{k+1}. \quad (4.22)$$

由式 (4.22) 可知 $|\tilde{\gamma}_{k+1}| = \|\mathbf{r}_k\|_2$, 不妨设 $\tilde{\gamma}_{k+1} = \|\mathbf{r}_k\|_2$, 并定义

$$\mathbf{p}_{k+1} = \|\mathbf{r}_k\|_2 \tilde{\mathbf{p}}_{k+1}, \quad (4.23)$$

则由式 (4.21) 和式 (4.22), 得

$$\begin{aligned} \mathbf{x}_{k+1} &= \mathbf{x}_k + \frac{\zeta_{k+1}}{\|\mathbf{r}_k\|_2} \mathbf{p}_{k+1}, \\ \mathbf{r}_{k+1} &= \mathbf{r}_k - \frac{\zeta_{k+1}}{\|\mathbf{r}_k\|_2} \mathbf{A} \mathbf{p}_{k+1}, \\ \mathbf{p}_{k+1} &= \mathbf{r}_k - \frac{\|\mathbf{r}_k\|_2 \gamma_k}{\|\mathbf{r}_{k-1}\|_2} \mathbf{p}_k. \end{aligned}$$

令

$$\alpha_{k+1} = \frac{\zeta_{k+1}}{\|\mathbf{r}_k\|_2}, \quad \beta_k = -\frac{\|\mathbf{r}_k\|_2 \gamma_k}{\|\mathbf{r}_{k-1}\|_2},$$



Back

Close

即得

$$\begin{cases} \mathbf{x}_{k+1} = \mathbf{x}_k + \alpha_{k+1} \mathbf{p}_{k+1}, \\ \mathbf{r}_{k+1} = \mathbf{r}_k - \alpha_{k+1} \mathbf{A} \mathbf{p}_{k+1}, \\ \mathbf{p}_{k+1} = \mathbf{r}_k + \beta_k \mathbf{p}_k. \end{cases} \quad (4.24)$$

下面导出不涉及分解式 (4.14) 的信息计算 α_{k+1} 和 β_k 的公式. 为此, 先导出向量组 $\{\mathbf{p}_i\}$ 和 $\{\mathbf{r}_i\}$ 所具有的基本性质.

由 $\tilde{\mathbf{P}}_k$ 的定义, 可以立即导出

$$\tilde{\mathbf{P}}_k^T \mathbf{A} \tilde{\mathbf{P}}_k = \mathbf{L}_k^{-1} \mathbf{V}_k^T \mathbf{A} \mathbf{V}_k \mathbf{L}_k^{-T} = \mathbf{D}_k.$$

这表明 $\tilde{\mathbf{p}}_i$ 之间是 \mathbf{A} 正交的 (或称为 \mathbf{A} 共轭的), 即有

$$\tilde{\mathbf{p}}_i^T \mathbf{A} \tilde{\mathbf{p}}_j = 0, \quad i \neq j.$$

于是有

$$\mathbf{p}_i^T \mathbf{A} \mathbf{p}_j = 0, \quad i \neq j. \quad (4.25)$$





此外, 由 $\tilde{\mathbf{P}}_k$ 的定义和式 (4.23) 蕴涵着

$$\mathcal{K}_k(\mathbf{A}, \mathbf{r}_0) = \mathcal{R}(\mathbf{V}_k) = \mathcal{R}(\tilde{\mathbf{P}}_k) = \text{span}\{\mathbf{p}_1, \mathbf{p}_2, \cdots, \mathbf{p}_k\}, \quad (4.26)$$

即 $\mathbf{p}_1, \mathbf{p}_2, \cdots, \mathbf{p}_k$ 是 $\mathcal{K}_k(\mathbf{A}, \mathbf{r}_0)$ 的一组 \mathbf{A} 正交基, 再由式 (4.22) 和 \mathbf{v}_i 的相互正交性, 又可以导出

$$\mathbf{r}_i^{\text{T}} \mathbf{r}_j = 0, \quad i \neq j. \quad (4.27)$$

即残量是相互正交的. 这样, 再由 $\mathcal{K}_k(\mathbf{A}, \mathbf{r}_0) = \mathcal{R}(\mathbf{V}_k)$ 便有

$$\mathcal{K}_k(\mathbf{A}, \mathbf{r}_0) = \text{span}\{\mathbf{r}_0, \mathbf{r}_1, \cdots, \mathbf{r}_{k-1}\}, \quad (4.28)$$

即 $\mathbf{r}_0, \mathbf{r}_1, \cdots, \mathbf{r}_{k-1}$ 构成了 $\mathcal{K}_k(\mathbf{A}, \mathbf{r}_0)$ 的一组正交基.

在式 (4.24) 的第 3 式两边左乘 $\mathbf{p}_k^{\text{T}} \mathbf{A}$ 并利用式 (4.25), 得

$$0 = \mathbf{p}_k^{\text{T}} \mathbf{A} \mathbf{p}_{k+1} = \mathbf{p}_k^{\text{T}} \mathbf{A} \mathbf{r}_k + \beta_k \mathbf{p}_k^{\text{T}} \mathbf{A} \mathbf{p}_k.$$



Back

Close

于是有

$$\beta_k = -\frac{\mathbf{p}_k^T \mathbf{A} \mathbf{r}_k}{\mathbf{p}_k^T \mathbf{A} \mathbf{p}_k}. \quad (4.29)$$

再在式 (4.24) 的第 2 式两边左乘 \mathbf{r}_k^T 并利用式 (4.27), 得

$$0 = \mathbf{r}_k^T \mathbf{r}_{k+1} = \mathbf{r}_k^T \mathbf{r}_k - \alpha_{k+1} \mathbf{r}_k^T \mathbf{A} \mathbf{p}_{k+1}.$$

因此又有

$$\alpha_{k+1} = \frac{\mathbf{r}_k^T \mathbf{r}_k}{\mathbf{r}_k^T \mathbf{A} \mathbf{p}_{k+1}}. \quad (4.30)$$

这样就得到了不需要分解式 (4.14) 的信息就可计算式 (4.24) 中的系数 β_k 和 α_{k+1} 的公式.

事实上, 利用式 (4.25) 和式 (4.27) 还可导出更有效的计算公式. 首先在式 (4.24) 的第 3 式两边左乘 $\mathbf{p}_{k+1}^T \mathbf{A}$, 并利用式 (4.25), 得

$$\mathbf{p}_{k+1}^T \mathbf{A} \mathbf{p}_{k+1} = \mathbf{p}_{k+1}^T \mathbf{A} \mathbf{r}_k = \mathbf{r}_k^T \mathbf{A} \mathbf{p}_{k+1}. \quad (4.31)$$





将式 (4.24) 第 2 式中的 k 用 $k - 1$ 替换, 有

$$\mathbf{r}_k = \mathbf{r}_{k-1} - \alpha_k \mathbf{A} \mathbf{p}_k.$$

将上式两边分别左乘 \mathbf{r}_k^T 和 \mathbf{r}_{k-1}^T , 并利用式 (4.27), 得

$$\mathbf{r}_k^T \mathbf{r}_k = -\alpha_k \mathbf{r}_k^T \mathbf{A} \mathbf{p}_k, \quad (4.32)$$

$$\mathbf{r}_{k-1}^T \mathbf{r}_{k-1} = \alpha_k \mathbf{r}_{k-1}^T \mathbf{A} \mathbf{p}_k = \alpha_k \mathbf{p}_k^T \mathbf{A} \mathbf{p}_k, \quad (4.33)$$

这里式 (4.33) 的第 2 个等号利用了式 (4.31).

现将式 (4.31) 代入式 (4.30), 得

$$\alpha_{k+1} = \frac{\mathbf{r}_k^T \mathbf{r}_k}{\mathbf{p}_{k+1}^T \mathbf{A} \mathbf{p}_{k+1}}. \quad (4.34)$$

再将式 (4.32)、式 (4.33) 与式 (4.29) 相结合, 有

$$\beta_k = \frac{\mathbf{r}_k^T \mathbf{r}_k}{\mathbf{r}_{k-1}^T \mathbf{r}_{k-1}}. \quad (4.35)$$





显然, 这两个计算公式比原来的计算公式减少了内积和矩阵乘向量的次数, 因此更有效.

综合上述讨论, 可得共轭梯度法 (简称 CG 方法) 求解对称正定线性方程组的基本迭代格式如下.

选取初值 \mathbf{x}_0 , 计算 $\mathbf{r}_0 = \mathbf{b} - \mathbf{A}\mathbf{x}_0$; $\mathbf{p}_1 = \mathbf{r}_0$; $k = 0$;

while ($\|\mathbf{r}_k\|_2 / \|\mathbf{r}_0\| > \varepsilon$)

$k = k + 1$;

$\alpha_k = \frac{(\mathbf{r}_{k-1}, \mathbf{r}_{k-1})}{(\mathbf{p}_k, \mathbf{A}\mathbf{p}_k)}$; $\mathbf{x}_k = \mathbf{x}_{k-1} + \alpha_k \mathbf{p}_k$;

$\mathbf{r}_k = \mathbf{r}_{k-1} - \alpha_k \mathbf{A}\mathbf{p}_k$;

$\beta_k = \frac{(\mathbf{r}_k, \mathbf{r}_k)}{(\mathbf{r}_{k-1}, \mathbf{r}_{k-1})}$; $\mathbf{p}_{k+1} = \mathbf{r}_k + \beta_k \mathbf{p}_k$;

end

为了优化算法程序 (考虑计算量和存储量), 通常写成如下形式.



Back

Close



21/294

算法 4.1 (CG 方法) 给定对称正定方程组 $\mathbf{Ax} = \mathbf{b}$ 和 $\varepsilon > 0$.

本算法计算 \mathbf{x}_k , 使得 $\|\mathbf{r}_k\|_2 / \|\mathbf{r}_0\|_2 \leq \varepsilon$, 其中 $\mathbf{r}_k = \mathbf{b} - \mathbf{Ax}_k$.

选取 \mathbf{x}_0 ; $\mathbf{r}_0 = \mathbf{b} - \mathbf{Ax}_0$; $\mathbf{p}_1 = \mathbf{r}_0$; $\rho_0 = \mathbf{r}_0^T \mathbf{r}_0$; $k = 0$;

while ($\|\mathbf{r}_k\|_2 / \|\mathbf{r}_0\|_2 > \varepsilon$)

$k = k + 1$;

$\mathbf{z}_k = \mathbf{Ap}_k$; $\alpha_k = \rho_{k-1} / \mathbf{z}_k^T \mathbf{p}_k$;

$\mathbf{x}_k = \mathbf{x}_{k-1} + \alpha_k \mathbf{p}_k$; $\mathbf{r}_k = \mathbf{r}_{k-1} - \alpha_k \mathbf{z}_k$;

$\rho_k = \mathbf{r}_k^T \mathbf{r}_k$; $\beta_k = \rho_k / \rho_{k-1}$;

$\mathbf{p}_{k+1} = \mathbf{r}_k + \beta_k \mathbf{p}_k$;

end

算法 4.1 的迭代终止准则也可以用 $\rho_k \leq \varepsilon \rho_0$, 其中 $\varepsilon > 0$ 是给



Back

Close

定的允许误差. CG 方法的 MATLAB 程序如下:

%共轭梯度法程序-mcg.m

function [x,iter,time,res,resvec]=mcg(A,b,x,max_it,tol)

%输入:系数阵A,右端量b,初始值x,容许误差tol,最大迭代数max_it

%输出:解向量x,迭代次数iter,CPU时间time,

% 终止时相对残差模res,相对残差模向量resvec

tic;r=b-A*x;p=r;rho=r'*r;

mr=sqrt(rho);iter=0;

while (iter<max_it)

 iter=iter+1;

 z=A*p; alpha=rho/(z'*p);

 x=x+alpha*p; r=r-alpha*z;

 rho1=r'*r; beta=rho1/rho;



22/294



Back

Close



```
p=r+beta*p;  
res=sqrt(rho1)/mr;  
resvec(iter)=res;  
if (res<tol), break; end  
rho=rho1;  
  
end  
  
time=toc;
```

例 4.1 假定线性方程组 $\mathbf{Ax} = \mathbf{b}$ 的系数矩阵 \mathbf{A} 和右端项 \mathbf{b} 分别为

$$\mathbf{A} = \begin{bmatrix} 1 & -1 & & & \\ -1 & 2 & \ddots & & \\ & \ddots & \ddots & -1 & \\ & & -1 & n \end{bmatrix}, \quad \mathbf{b} = \mathbf{A} \begin{bmatrix} 1 \\ 1 \\ \vdots \\ 1 \end{bmatrix}.$$



Back

Close



显然, 此方程组的真解为 $\mathbf{x}^* = (1, 1, \dots, 1)^T$. 应用共轭梯度法求解该线性方程组, 取 $n = 1000$, 迭代 193 步后得到的近似解 $\hat{\mathbf{x}} = \mathbf{x}_{193}$ 满足

$$\|\hat{\mathbf{x}} - \mathbf{x}^*\|_2 = 3.7417 \times 10^{-8},$$

迭代过程的收敛轨迹如图 4.1 所示, 其中横坐标为迭代步数 k , 纵坐标为相对残差 $\|\mathbf{r}_k\|_2 / \|\mathbf{r}_0\|_2$, 这里 \mathbf{r}_k 是第 k 步得到的残差.

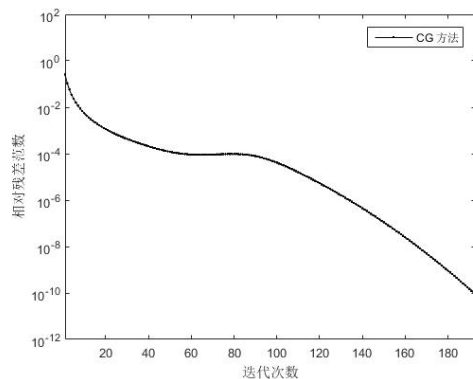


图 4.1 CG 算法的收敛特性



§4.1.2 收敛性分析

在没有误差的情况下, 由式 (4.27) 可知, 必存在一个 $\ell \leq n$, 使得 $\mathbf{r}_\ell = \mathbf{0}$, 即有 $\mathbf{x}^* = \mathbf{x}_\ell$. 换言之, 算法在有限步可得到方程组 (4.1) 的精确解. 从这个意义上而言, 共轭梯度法是一种直接法. 但实际使用时, 一般是将其作为一种迭代法来用的, 其原因有二: 一是在有误差的计算机上, 有限步终止的结论已经不再成立; 二是即使出现了 $\mathbf{r}_\ell = \mathbf{0}$, 但如果 ℓ 非常大, 也是难以忍受的, 因为实际应用中所考虑的问题其阶数 n 是十分巨大的.

下面介绍共轭梯度法 (作为一种迭代法) 的收敛性和收敛速度. 由于收敛性分析需要利用 Chebyshev 多项式的性质. 在第 3 章已





给出 k 次 Chebyshev 多项式 $C_k(t)$ 的定义:

$$C_k(t) = \begin{cases} \cos(k \arccos t), & |t| \leq 1, \\ \cosh(k \operatorname{arccosh} t), & |t| > 1. \end{cases} \quad (4.36)$$

下面再回顾一下 Chebyshev 多项式的一些最常用的性质.

定理 4.2 设 $C_k(t)$ 是由式 (4.36) 定义的 Chebyshev 多项式, 则它具有如下性质:

(1) $C_k(t)$ 具有递推式

$$C_0(t) = 1; \quad C_1(t) = t; \quad C_{k+1}(t) = 2tC_k(t) - C_{k-1}(t), \quad k = 1, 2, \dots$$

(2) 对于 $|t| > 1$, $C_k(t)$ 有表达式

$$C_k(t) = \frac{1}{2} \left[\left(t + \sqrt{t^2 - 1} \right)^k + \left(t + \sqrt{t^2 - 1} \right)^{-k} \right]. \quad (4.37)$$



Back

Close



(3) 对任意的 $t \in [-1, 1]$, 有 $|C_k(t)| \leq 1$, 且

$$C_k(t_i^{(k)}) = (-1)^i, \quad t_i^{(k)} = \cos \frac{i\pi}{k}, \quad i = 0, 1, \dots, k,$$

即 $C_k(t)$ 在 $[-1, 1]$ 上刚好有 $k+1$ 个极值点, 在这些点上交错地取 1 和 -1 .

(4) 对任意的 $s > 1$, 有

$$\min_{p \in \mathcal{P}_k, p(s)=1} \max_{t \in [-1, 1]} |p(t)| = \frac{1}{C_k(s)}, \quad (4.38)$$

式中:

$$\mathcal{P}_k = \{p : p \text{ 是次数不超过 } k \text{ 的实系数多项式}\},$$

而且上述极小极大问题有唯一解

$$p(t) = \frac{C_k(t)}{C_k(s)}. \quad (4.39)$$



Back

Close



证明 (1) 对于 $|t| \leq 1$, 令 $\theta = \arccos t$, 利用余弦函数的和差化积公式

$$\cos \alpha + \cos \beta = 2 \cos \frac{\alpha + \beta}{2} \cos \frac{\alpha - \beta}{2},$$

有

$$\begin{aligned} C_{k+1}(t) + C_{k-1}(t) &= \cos(k+1)\theta + \cos(k-1)\theta \\ &= 2 \cos k\theta \cos \theta = 2tC_k(t). \end{aligned}$$

对于 $|t| > 1$, 令 $\theta = \operatorname{arccosh}(t)$, 利用双曲余弦函数的定义

$$\cosh(\theta) = \frac{e^{\theta} + e^{-\theta}}{2},$$



Back

Close

有



29/294

$$\begin{aligned}C_{k+1}(t) + C_{k-1}(t) &= \cosh(k+1)\theta + \cosh(k-1)\theta \\&= \frac{e^{(k+1)\theta} + e^{-(k+1)\theta}}{2} + \frac{e^{(k-1)\theta} + e^{-(k-1)\theta}}{2} \\&= e^{k\theta} \cdot \frac{e^{\theta} + e^{-\theta}}{2} + e^{-k\theta} \cdot \frac{e^{\theta} + e^{-\theta}}{2} \\&= 2 \cdot \frac{e^{\theta} + e^{-\theta}}{2} \cdot \frac{e^{k\theta} + e^{-k\theta}}{2} \\&= 2 \cosh \theta \cosh(k\theta) = 2tC_k(t).\end{aligned}$$

(2) 对于 $|t| > 1$, 令 $\theta = \operatorname{arccosh}(t)$, 有 $t = \cosh(\theta) = e^{\theta} + e^{-\theta}/2$,

即

$$(e^{\theta})^2 - 2te^{\theta} + 1 = 0.$$



得

$$e^\theta = \frac{2t + \sqrt{4t^2 - 4}}{2} = t + \sqrt{t^2 - 1}.$$

于是, 有

$$\begin{aligned} C_k(t) &= \cosh(k\theta) = \frac{1}{2}(e^{k\theta} + e^{-k\theta}) = \frac{1}{2}[(e^\theta)^k + (e^\theta)^{-k}] \\ &= \frac{1}{2}\left[\left(t + \sqrt{t^2 - 1}\right)^k + \left(t + \sqrt{t^2 - 1}\right)^{-k}\right]. \end{aligned}$$

(3) $\forall t \in [-1, 1]$, $|C_k(t)| \leq 1$ 成立是显然的. 直接验证, 得

$$C_k(t_i^{(k)}) = \cos(k \arccos t_i^{(k)}) = \cos(i\pi) = (-1)^i.$$

(4) 注意到 $s > 1$, $p(t)$ 是 k 次多项式且 $p(s) = 1$. 记

$$\alpha = 1/C_k(s) > 0, \quad p_{\max} = \max_{-1 \leq t \leq 1} |p(t)|.$$



30/294



Back

Close



若 $p_{\max} < \alpha$, 则

$$\begin{aligned} (-1)^i (\alpha C_k(t_i^{(k)}) - p(t_i^{(k)})) &= (-1)^i \alpha (-1)^i - (-1)^i p(t_i^{(k)}) \\ &= \alpha - (-1)^i p(t_i^{(k)}) \geq \alpha - p_{\max} > 0. \end{aligned}$$

这表明多项式 $\psi = \alpha C_k(t) - p(t)$ 在 $t_i^{(k)}$ ($i = 0, 1, \dots, k$) 处有交替的正负号. 所以它在 $[-1, 1]$ 中有 k 个零点. 但 $s \notin [-1, 1]$ 也是 k 次多项式 $\alpha C_k(t) - p(t)$ 的零点, 从而 k 次多项式 $\alpha C_k(t) - p(t)$ 有 $k + 1$ 个零点, 矛盾. 故必有

$$\max_{-1 \leq t \leq 1} |p(t)| \geq \alpha = \frac{1}{C_k(s)}.$$

若取 $p(t) = \frac{C_k(t)}{C_k(s)}$, 则

$$\max_{-1 \leq t \leq 1} |p(t)| = \max_{-1 \leq t \leq 1} \left| \frac{C_k(t)}{C_k(s)} \right| = \frac{\max_{-1 \leq t \leq 1} |C_k(t)|}{C_k(s)} = \frac{1}{C_k(s)}.$$



Back

Close

由此可得

$$\min_{p \in \mathcal{P}_k, p(s)=1} \max_{t \in [-1,1]} |p(t)| = \frac{1}{C_k(s)}.$$

证毕. □



32/294

推论 4.1 设 $a < b < 1$ (或 $1 < a < b$). 若 $p \in \mathcal{P}_k$ 且 $p(1) = 1$.

则

$$\min_{p \in \mathcal{P}_k, p(1)=1} \max_{t \in [a,b]} |p(t)| = \frac{1}{C_k(w(1))}, \quad (4.40)$$

式中:

$$w(t) = \begin{cases} \frac{2t - a - b}{b - a}, & a < b < 1, \\ \frac{2t - a - b}{a - b}, & 1 < a < b. \end{cases}$$

且上述极小极大问题的唯一解为

$$p(t) = \frac{C_k(w(t))}{C_k(w(1))}.$$





现在考虑 CG 方法的收敛性分析. 由定理 4.1 和前面的推导过程可知, 共轭梯度法第 k 步得到的近似解 \mathbf{x}_k 满足

$$\|\mathbf{x}_k - \mathbf{x}^*\|_A = \min \{ \|\mathbf{x} - \mathbf{x}^*\|_A : \mathbf{x} \in \mathbf{x}_0 + \mathcal{K}_k(\mathbf{A}, \mathbf{r}_0) \}.$$

由 Krylov 子空间的性质可知, $\mathbf{x} \in \mathbf{x}_0 + \mathcal{K}_k(\mathbf{A}, \mathbf{r}_0)$ 的充分必要条件是存在 $\varphi \in \mathcal{P}_{k-1}$ 使得 $\mathbf{x} = \mathbf{x}_0 + \varphi(\mathbf{A})\mathbf{r}_0$, 这里 \mathcal{P}_{k-1} 表示次数不超过 $k-1$ 的多项式的全体. 于是, 对任意的 $\mathbf{x} \in \mathbf{x}_0 + \mathcal{K}_k(\mathbf{A}, \mathbf{r}_0)$, 有

$$\mathbf{x}^* - \mathbf{x} = \mathbf{A}^{-1}\mathbf{b} - \mathbf{x}_0 - \varphi(\mathbf{A})\mathbf{r}_0 = \mathbf{A}^{-1}\psi(\mathbf{A})\mathbf{r}_0,$$

式中: $\psi(t) = 1 - t\varphi(t)$.

设 \mathbf{A} 的谱分解为 $\mathbf{A} = \mathbf{U}\mathbf{\Lambda}\mathbf{U}^T$, 其中 $\mathbf{U} = [\mathbf{u}_1, \mathbf{u}_2, \dots, \mathbf{u}_n]$ 是正交矩阵, $\mathbf{\Lambda} = \text{diag}(\lambda_1, \lambda_2, \dots, \lambda_n)$, $\lambda_1 \geq \lambda_2 \geq \dots \geq \lambda_n > 0$. 现将



\mathbf{r}_0 按 \mathbf{A} 的特征向量展开, 有

$$\mathbf{r}_0 = \eta_1 \mathbf{u}_1 + \eta_2 \mathbf{u}_2 + \cdots + \eta_n \mathbf{u}_n = \sum_{i=1}^n \eta_i \mathbf{u}_i.$$

这样, 便有

$$\begin{aligned} \|\mathbf{x}^* - \mathbf{x}\|_{\mathbf{A}}^2 &= \|\mathbf{A}^{-1} \psi(\mathbf{A}) \mathbf{r}_0\|_{\mathbf{A}}^2 = (\mathbf{A}^{-1} \psi(\mathbf{A}) \mathbf{r}_0, \psi(\mathbf{A}) \mathbf{r}_0) \\ &= \left(\sum_{i=1}^n \eta_i \mathbf{A}^{-1} \psi(\mathbf{A}) \mathbf{u}_i, \sum_{j=1}^n \eta_j \psi(\mathbf{A}) \mathbf{u}_j \right) \\ &= \left(\sum_{i=1}^n \eta_i \psi(\lambda_i) \lambda_i^{-1} \mathbf{u}_i, \sum_{j=1}^n \eta_j \psi(\lambda_j) \mathbf{u}_j \right) \\ &= \sum_{i=1}^n \eta_i^2 \psi^2(\lambda_i) \lambda_i^{-1} \leq \max_{1 \leq i \leq n} \psi^2(\lambda_i) \sum_{i=1}^n \lambda_i^{-1} \eta_i^2 \\ &= \max_{1 \leq i \leq n} \psi^2(\lambda_i) \|\mathbf{x}^* - \mathbf{x}_0\|_{\mathbf{A}}^2, \end{aligned}$$



34/294



Back

Close

从而有

$$\frac{\|\mathbf{x}^* - \mathbf{x}\|_A}{\|\mathbf{x}^* - \mathbf{x}_0\|_A} \leq \min_{\psi \in \mathcal{P}_k^0} \max_{1 \leq i \leq n} |\psi(\lambda_i)|, \quad (4.41)$$

式中: $\mathcal{P}_k^0 = \{\psi \in \mathcal{P}_k : \psi(0) = 1\}$. 令

$$a = \min_{1 \leq i \leq n} \lambda_i = \lambda_n, \quad b = \max_{1 \leq i \leq n} \lambda_i = \lambda_1,$$

则由推论 4.1, 知极小极大问题

$$\min_{\psi \in \mathcal{P}_k^0} \max_{\lambda \in [a, b]} |\psi(\lambda)|$$

有唯一的解

$$\hat{\psi}(\lambda) = \frac{C_k\left(\frac{b+a-2\lambda}{b-a}\right)}{C_k\left(\frac{b+a}{b-a}\right)},$$



35/294



Back

Close

而且有

$$\min_{\psi \in \mathcal{P}_k^0} \max_{\lambda \in [a, b]} |\psi(\lambda)| = \frac{1}{C_k \left(\frac{b+a}{b-a} \right)}, \quad (4.42)$$

这里假设了 $1 < a < b$. 将式 (4.41) 和式 (4.42) 相结合, 可证明如下结果.

定理 4.3 共轭梯度法产生的近似解 \mathbf{x}_k 满足

$$\frac{\|\mathbf{x}_k - \mathbf{x}^*\|_A}{\|\mathbf{x}_0 - \mathbf{x}^*\|_A} \leq \frac{1}{C_k \left(1 + \frac{2}{\kappa - 1} \right)}, \quad (4.43)$$

式中: C_k 为 k 阶 Chebyshev 多项式, $\kappa = \kappa_2(\mathbf{A}) = \|\mathbf{A}\|_2 \cdot \|\mathbf{A}^{-1}\|_2 = b/a$.

注 4.2 由定理 4.2 的结论 (2), 得

$$\left[C_k \left(1 + \frac{2}{\kappa - 1} \right) \right]^{-1} = \left[C_k \left(\frac{b+a}{b-a} \right) \right]^{-1} = \frac{2\sigma^k}{1 + \sigma^{2k}}, \quad (4.44)$$





式中: $\sigma = (\sqrt{b} - \sqrt{a})/(\sqrt{b} + \sqrt{a})$. 由式 (4.44) 可证

$$\left[C_k \left(1 + \frac{2}{\kappa - 1} \right) \right]^{-1} \leq 2 \left(\frac{\sqrt{\kappa} - 1}{\sqrt{\kappa} + 1} \right)^k. \quad (4.45)$$

由此可知, 系数矩阵的条件数 κ 越小, 共轭梯度法收敛就越快.

§4.1.3 预处理 CG 方法

由式 (4.43), 在实际使用共轭梯度法时, 通常需对方程组 (4.1) 作预处理, 使其系数矩阵的谱相对集中, 这就是所谓的预处理共轭梯度法 (PCG 方法). 简单来说, 预处理共轭梯度法就是预先选择一个适当的对称正定矩阵 M , 使得矩阵 $M^{-1}A$ 的谱相对集中. 设 M 有分解 $M = LL^T$, 则方程组 (4.1) 经过预处理后变为

$$(L^{-1}AL^{-T})\tilde{x} = L^{-1}b, \quad x = L^{-T}\tilde{x}. \quad (4.46)$$



Back

Close



该方程组的系数矩阵 $L^{-1}AL^{-T}$ 仍为对称正定矩阵. 通过 M 和 L 的选取, 可以使得 $\tilde{A} = L^{-1}AL^{-T}$ 比 A 有更好的条件数. 所以预处理后的方程组 (4.46) 比原方程组更容易计算. 现在对方程组 (4.46) 使用共轭梯度法:

取 \tilde{x}_0 , 令 $\tilde{r}_0 = L^{-1}b - (L^{-1}AL^{-T})\tilde{x}_0$, $\tilde{p}_1 = \tilde{r}_0$, 对 $k = 1, 2, \dots$, 计算出

$$\tilde{\alpha}_k = \frac{\tilde{r}_{k-1}^T \tilde{r}_{k-1}}{\tilde{p}_k^T \tilde{A} \tilde{p}_k}, \quad \tilde{x}_k = \tilde{x}_{k-1} + \tilde{\alpha}_k \tilde{p}_k, \quad \tilde{r}_k = \tilde{r}_{k-1} - \tilde{\alpha}_k \tilde{A} \tilde{p}_k,$$

$$\tilde{\beta}_k = \frac{\tilde{r}_k^T \tilde{r}_k}{\tilde{r}_{k-1}^T \tilde{r}_{k-1}}, \quad \tilde{p}_{k+1} = \tilde{r}_k + \tilde{\beta}_k \tilde{p}_k.$$

为了在公式中使用原来变量, 定义 $x_k = L^{-T}\tilde{x}_k$, 则 $r_k = b - Ax_k = L\tilde{r}_k$. 再令 $p_k = L^{-T}\tilde{p}_k$, $z_k = M^{-1}r_k$, 就得到了预处理的共轭梯度法, 具体步骤如下:





步 1, 给定 $\mathbf{x}_0 \in \mathbb{R}^n$. 计算 $\mathbf{r}_0 = \mathbf{b} - \mathbf{A}\mathbf{x}_0$, $\mathbf{z}_0 = \mathbf{M}^{-1}\mathbf{r}_0$, $\mathbf{p}_1 = \mathbf{z}_0$.

步 2, 对 $k = 1, 2, \dots$, 计算

$$\alpha_k = \frac{\mathbf{z}_{k-1}^T \mathbf{r}_{k-1}}{\mathbf{p}_k^T \mathbf{A} \mathbf{p}_k}, \quad \mathbf{x}_k = \mathbf{x}_{k-1} + \alpha_k \mathbf{p}_k,$$

$$\mathbf{r}_k = \mathbf{r}_{k-1} - \alpha_k \mathbf{A} \mathbf{p}_k, \quad \mathbf{z}_k = \mathbf{M}^{-1} \mathbf{r}_k, \quad (4.47)$$

$$\beta_k = \frac{\mathbf{z}_k^T \mathbf{r}_k}{\mathbf{z}_{k-1}^T \mathbf{r}_{k-1}}, \quad \mathbf{p}_{k+1} = \mathbf{z}_k + \beta_k \mathbf{p}_k. \quad (4.48)$$

为了优化算法程序, 写成如下形式.

算法 4.2 (PCG 方法) 给定对称正定方程组 $\mathbf{A}\mathbf{x} = \mathbf{b}$, 预处理子 \mathbf{M} 和 $\varepsilon > 0$. 本算法计算 \mathbf{x}_k , 使得 $\|\mathbf{r}_k\|_2 / \|\mathbf{r}_0\|_2 \leq \varepsilon$, 其中 $\mathbf{r}_k = \mathbf{b} - \mathbf{A}\mathbf{x}_k$.

选取 \mathbf{x}_0 ; $\mathbf{r}_0 = \mathbf{b} - \mathbf{A}\mathbf{x}_0$; $\mathbf{z}_0 = \mathbf{M}^{-1}\mathbf{r}_0$;



Back

Close



40/294

$$\mathbf{p}_1 = \mathbf{z}_0; \quad \rho_0 = \mathbf{z}_0^T \mathbf{r}_0; \quad k = 0;$$

while ($\|\mathbf{r}_k\|_2 / \|\mathbf{r}_0\|_2 > \varepsilon$)

$$k = k + 1;$$

$$\mathbf{u}_k = \mathbf{A}\mathbf{p}_k; \quad \alpha_k = \rho_{k-1} / \mathbf{u}_k^T \mathbf{p}_k;$$

$$\mathbf{x}_k = \mathbf{x}_{k-1} + \alpha_k \mathbf{p}_k; \quad \mathbf{r}_k = \mathbf{r}_{k-1} - \alpha_k \mathbf{u}_k;$$

$$\mathbf{z}_k = \mathbf{M}^{-1} \mathbf{r}_k; \quad \rho_k = \mathbf{z}_k^T \mathbf{r}_k; \quad \beta_k = \rho_k / \rho_{k-1};$$

$$\mathbf{p}_{k+1} = \mathbf{z}_k + \beta_k \mathbf{p}_k;$$

end

算法 4.2 仅与预处理矩阵 \mathbf{M} 有关, 而与 \mathbf{L} 无关. 当 \mathbf{M} 为单位阵时, 它就是没有经过预处理的共轭梯度法. 与共轭梯度法相比较, 预处理共轭梯度法仅增加了式 (4.47) 的工作量, 即每一步需要求一个以预处理矩阵 \mathbf{M} 为系数矩阵的方程组得到 \mathbf{z}_k . 算法 4.2



Back

Close



每一步的主要工作量是作一次矩阵 A 与向量的乘法操作和一次 M^{-1} 与向量的乘法操作.

下面讨论预处理矩阵 $M = LL^T$ 的选取. M 取法之一是 A 的不完全 Cholesky 分解, 即 $A = \hat{L}\hat{L}^T + R$, 然后取 $M := L\hat{L}^T$, 其中 $R = A - M$ 满足某种稀疏模式, 使得它比较小.

如果对 A 进行分裂, 即 $A = M - N$, 则需要判断古典迭代格式中的 M 是否满足要求, 即是否是对称正定阵. 对于 Jacobi 迭代, M 为 A 的对角元所组成的对角矩阵, 它显然是对称正定的, 因此可以作为预处理矩阵. 这样的预处理称为 Jacobi 预处理. 对于 Gauss-Seidel 和 SOR 迭代, 其分裂格式中的 M 都是下三角矩阵, 不是对称正定阵, 因此不能作为预处理矩阵. 而对于 SSOR 迭代, 其分裂格式中的 M 是对称正定的, 因此可以作为预处理矩阵, 称其为 SSOR 预处理矩阵.



Back

Close

给出预处理共轭梯度法的 MATLAB 程序如下:

%预处理共轭梯度法程序-pcg.m

function [x,iter,time,res,resvec]=pcg(A,b,x,M,max_it,tol)

%输入:系数矩阵A,右端向量b,初始向量x,预处理子M,

% 容许误差tol,最大迭代次数max_it

%输出:解向量x,迭代次数iter,CPU时间time,

% 终止时相对残差模res,相对残差模向量resvec

tic; r=b-A*x; z=M\r; p=z;

rho=z'*r; mr=norm(r); iter=0;

while (iter<max_it)

 iter=iter+1;

 u=A*p; alpha=rho/(p'*u);

 x=x+alpha*p; r=r-alpha*u;



42/294



Back

Close



```
z=M\r; rho1=z'*r;  
beta=rho1/rho; p=z+beta*p;  
res=norm(r)/mr;  
resvec(iter)=res;  
if (res<tol), break; end  
rho=rho1;  
  
end  
  
time=toc;
```

为了对预处理的效果有一个更直观更深刻的印象, 下面再给出一个数值算例.

例 4.2 考虑例 4.1 中的线性方程组, 如果取预处理矩阵 M 为 A 的对角元构成的对角矩阵, 即 $M = \text{diag}(1, 2, \dots, n)$. 实验中取 $n = 1000$, 则预处理共轭梯度法在 12 步后得到的近似解



Back

Close



$\hat{\mathbf{x}} = \mathbf{x}_{12}$ 就满足 $\|\hat{\mathbf{x}} - \mathbf{x}^*\|_2 = 3.7305 \times 10^{-9}$. 迭代的收敛轨迹如图 4.2 所示, 其中横坐标表示迭代步数 k , 纵坐标表示相对残差 $\|\mathbf{r}_k\|_2 / \|\mathbf{r}_0\|_2$, 这里 \mathbf{r}_k 是第 k 步得到的残差.

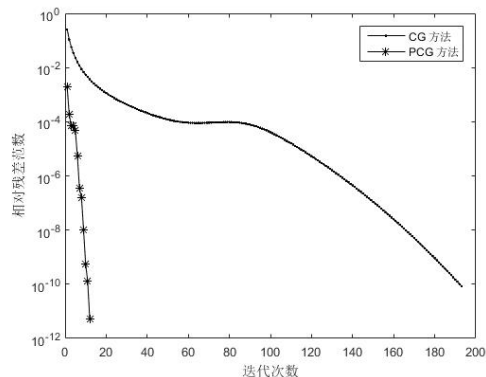


图 4.2 PCG 法和 CG 法的收敛特性

与例 4.1 的数值结果相比较可知, 虽然这里的预处理矩阵 M 选得非常简单, 但其加速效果是显著的. 为什么会这样呢? 因为预处理后矩阵 $M^{-1}A$ 的特征值分布很集中, 故其数值效果非常好.



§4.1.4 CGNR 方法和 CGNE 方法



45/294

1. CGNR 方法

任何对称不定或非对称非奇异的方程组 $Ax = b$ 都可转化为一个对称正定的方程组 (即法方程)

$$A^T Ax = A^T b. \quad (4.49)$$

对方程组 (4.49) 应用 CG 法, 就导出了下面的关于法方程残差的共轭梯度法 (CGNR).

算法 4.3 (CGNR 方法) 给定系数矩阵 A , 右端向量 b , 初始向量 x_0 和容许误差限 $\varepsilon > 0$. 本算法计算 x_k , 使得 $\|r_k\|_2 / \|r_0\|_2 \leq \varepsilon$, 其中 $r_k = b - Ax_k$.

选取 x_0 ; 计算 $r_0 = b - Ax_0$; $p_0 = A^T r_0$; $k = 0$;

while ($\|r_k\|_2 / \|r_0\|_2 > \varepsilon$)





$$\alpha_k = \frac{(\mathbf{A}^T \mathbf{r}_k, \mathbf{A}^T \mathbf{r}_k)}{(\mathbf{A}^T \mathbf{p}_k, \mathbf{A}^T \mathbf{p}_k)};$$

$$\mathbf{x}_{k+1} = \mathbf{x}_k + \alpha_k \mathbf{p}_k; \quad \mathbf{r}_{k+1} = \mathbf{r}_k - \alpha_k \mathbf{A} \mathbf{p}_k;$$

$$\beta_k = \frac{(\mathbf{A}^T \mathbf{r}_{k+1}, \mathbf{A}^T \mathbf{r}_{k+1})}{(\mathbf{A}^T \mathbf{r}_k, \mathbf{A}^T \mathbf{r}_k)};$$

$$\mathbf{p}_{k+1} = \mathbf{A}^T \mathbf{r}_{k+1} + \beta_k \mathbf{p}_k;$$

$$k = k + 1;$$

end

算法 4.4 每次迭代需要计算三次矩阵与向量的乘法: $\mathbf{A} \mathbf{p}_k$, $\mathbf{A}^T \mathbf{p}_k$ 和 $\mathbf{A}^T \mathbf{r}_{k+1}$. 注意到, CGNR 方法是极小化误差

$$\|\mathbf{e}_k\|_{\mathbf{A}^T \mathbf{A}} = \|\mathbf{x}_k - \mathbf{x}^*\|_{\mathbf{A}^T \mathbf{A}},$$





式中: \boldsymbol{x}^* 为精确解, 满足 $\boldsymbol{x}^* = \boldsymbol{A}^{-1}\boldsymbol{b}$; $\|\boldsymbol{e}_k\|_{\boldsymbol{A}^T\boldsymbol{A}}$ 为仿射空间

$$\begin{aligned} & \boldsymbol{x}_0 + \text{span}\{\boldsymbol{A}^T\boldsymbol{r}_0, (\boldsymbol{A}^T\boldsymbol{A})\boldsymbol{A}^T\boldsymbol{r}_0, \dots, (\boldsymbol{A}^T\boldsymbol{A})^{k-1}\boldsymbol{A}^T\boldsymbol{r}_0\} \\ & := \boldsymbol{x}_0 + \mathcal{K}_k(\boldsymbol{A}^T\boldsymbol{A}, \boldsymbol{A}^T\boldsymbol{r}_0) \end{aligned}$$

上关于残量 $\boldsymbol{b} - \boldsymbol{A}\boldsymbol{x}_k$ 的 2-范数. 因此, 可以比照 CG 方法的收敛性分析技巧对 CGNR 方法进行相应的收敛性分析.

2. CGNE 方法

对称不定或非对称非奇异的方程组 $\boldsymbol{A}\boldsymbol{x} = \boldsymbol{b}$ 还可转化为如下形式的对称正定的方程组, 即

$$\boldsymbol{A}\boldsymbol{A}^T\boldsymbol{y} = \boldsymbol{b}, \quad \boldsymbol{x} = \boldsymbol{A}^T\boldsymbol{y}. \quad (4.50)$$

在 “ \boldsymbol{y} ” 空间中, 对方程组 (4.50) 应用 CG 法, 得到如下形式:

选取初值 \boldsymbol{y}_0 , 计算 $\boldsymbol{r}_0 = \boldsymbol{b} - \boldsymbol{A}\boldsymbol{A}^T\boldsymbol{y}_0$; $\boldsymbol{p}_0 = \boldsymbol{r}_0$; $k = 0$;



Back

Close



48/294

while ($\|\mathbf{r}_k\|_2/\|\mathbf{r}_0\| > \varepsilon$)

$$\alpha_k = \frac{(\mathbf{r}_k, \mathbf{r}_k)}{(\mathbf{p}_k, \mathbf{A}\mathbf{A}^\mathbf{T}\mathbf{p}_k)} = \frac{(\mathbf{r}_k, \mathbf{r}_k)}{(\mathbf{A}^\mathbf{T}\mathbf{p}_k, \mathbf{A}^\mathbf{T}\mathbf{p}_k)};$$

$$\mathbf{y}_{k+1} = \mathbf{y}_k + \alpha_k \mathbf{p}_k; \quad \mathbf{r}_{k+1} = \mathbf{r}_k - \alpha_k \mathbf{A}\mathbf{A}^\mathbf{T}\mathbf{p}_k;$$

$$\beta_k = \frac{(\mathbf{r}_{k+1}, \mathbf{r}_{k+1})}{(\mathbf{r}_k, \mathbf{r}_k)}; \quad \mathbf{p}_{k+1} = \mathbf{r}_{k+1} + \beta_k \mathbf{p}_k;$$

$$k = k + 1;$$

end

作变量替换 $\mathbf{A}^\mathbf{T}\mathbf{y}_k \rightarrow \mathbf{x}_k$, $\mathbf{A}^\mathbf{T}\mathbf{p}_k \rightarrow \mathbf{p}_k$, 再化简上述有关式子则得到下面的关于法方程误差的共轭梯度法 (CGNE).

算法 4.4 (CGNE 方法) 给定初始向量 \mathbf{x}_0 和容许误差限 $\varepsilon > 0$. 本算法计算 \mathbf{x}_k , 使得 $\|\mathbf{r}_k\|_2/\|\mathbf{r}_0\|_2 \leq \varepsilon$, 其中 $\mathbf{r}_k = \mathbf{b} - \mathbf{A}\mathbf{x}_k$.

选取 \mathbf{x}_0 ; 计算 $\mathbf{r}_0 = \mathbf{b} - \mathbf{A}\mathbf{x}_0$; $\mathbf{p}_0 = \mathbf{A}^\mathbf{T}\mathbf{r}_0$; $k = 0$;

while ($\|\mathbf{r}_k\|_2/\|\mathbf{r}_0\| > \varepsilon$)



Back

Close



$$\alpha_k = \frac{(\mathbf{r}_k, \mathbf{r}_k)}{(\mathbf{p}_k, \mathbf{p}_k)}; \quad \mathbf{x}_{k+1} = \mathbf{x}_k + \alpha_k \mathbf{p}_k;$$

$$\mathbf{r}_{k+1} = \mathbf{r}_k - \alpha_k \mathbf{A} \mathbf{p}_k; \quad \beta_k = \frac{(\mathbf{r}_{k+1}, \mathbf{r}_{k+1})}{(\mathbf{r}_k, \mathbf{r}_k)};$$

$$\mathbf{p}_{k+1} = \mathbf{A}^T \mathbf{r}_{k+1} + \beta_k \mathbf{p}_k;$$

$$k = k + 1;$$

end

算法 4.4 每次迭代需要计算两次矩阵与向量的乘法: $\mathbf{A} \mathbf{p}_k$ 和 $\mathbf{A}^T \mathbf{r}_{k+1}$. 此外, CGNE 方法是极小化误差

$$\|\tilde{\mathbf{e}}_k\|_{\mathbf{A}^T \mathbf{A}} = \|\mathbf{y}_k - \mathbf{y}^*\|_{\mathbf{A}^T \mathbf{A}},$$



Back

Close



式中: \mathbf{y}^* 满足 $\mathbf{y}^* = (\mathbf{A}^T \mathbf{A})^{-1} \mathbf{b}$; $\|\tilde{\mathbf{e}}_k\|_{\mathbf{A}^T \mathbf{A}}$ 为仿射空间

$$\begin{aligned} \mathbf{x}_k &\in \mathbf{x}_0 + \text{span}\{\mathbf{A}^T \mathbf{r}_0, (\mathbf{A}^T \mathbf{A}) \mathbf{A}^T \mathbf{r}_0, \dots, (\mathbf{A}^T \mathbf{A})^{k-1} \mathbf{A}^T \mathbf{r}_0\} \\ &\equiv \mathbf{x}_0 + \mathcal{K}_k(\mathbf{A}^T \mathbf{A}, \mathbf{A}^T \mathbf{r}_0) \end{aligned}$$

上的 2-范数 $\|\mathbf{x}_k - \mathbf{x}^*\|_2$.

一般来说, CGNR 和 CGNE 这两种方法的困难或者说缺点在于矩阵的条件数变成了原来的平方, 然而, 在有些情况下它们是很有效的. 可参看文献 [25] 中的论述.



Back

Close



例 4.3 考虑方程组 $\mathbf{Ax} = \mathbf{b}$, 其中

$$\mathbf{A} = \begin{bmatrix} 12 & 3 & 2 & & & & \\ -3 & 12 & 3 & 2 & & & \\ -2 & -3 & 12 & 3 & 2 & & \\ & \ddots & \ddots & \ddots & \ddots & \ddots & \\ & & -2 & -3 & 12 & 3 & \\ & & & -2 & -3 & 12 & \end{bmatrix} \in \mathbb{R}^{n \times n}, \quad \mathbf{b} = \mathbf{A} \begin{bmatrix} 1 \\ 1 \\ \vdots \\ \vdots \\ 1 \\ 1 \end{bmatrix} \in \mathbb{R}^n.$$

取 $n = 1000$, 分别将 CGNR 和 CGNE 方法应用到该线性方程组上, 两个迭代法均在 10 步后收敛 ($\varepsilon = 10^{-10}$), 计算得到的近似解 $\hat{\mathbf{x}}$ 和 $\tilde{\mathbf{x}}$ 与真解 \mathbf{x}^* 之间的绝对值误差分别为

$$\|\hat{\mathbf{x}} - \mathbf{x}^*\|_2 = 3.4705 \times 10^{-10}, \quad \|\tilde{\mathbf{x}} - \mathbf{x}^*\|_2 = 3.4515 \times 10^{-10}.$$



Back

Close

残量分别为

$$\|\mathbf{b} - \mathbf{A}\hat{\mathbf{x}}\|_2 = 4.5764 \times 10^{-9}, \quad \|\mathbf{b} - \mathbf{A}\tilde{\mathbf{x}}\|_2 = 4.6018 \times 10^{-9}.$$

迭代过程的收敛轨迹如图 4.3 所示, 其中横坐标为迭代步数 k , 纵坐标为相对残差 $\|\mathbf{r}_k\|_2/\|\mathbf{r}_0\|_2$, 这里 \mathbf{r}_k 是第 k 步得到的残差向量.

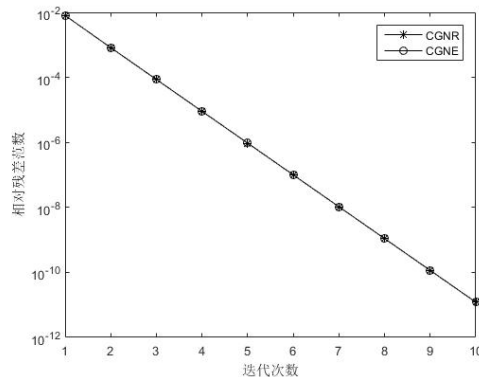


图 4.3 CGNR 和 CGNE 方法的收敛特性



§4.2 广义极小残量法

广义极小残量法是目前求解大型稀疏非对称线性方程组的最常用方法之一, 在文献中常称为 GMRES 方法 (Generalized Minimal RESidual Method). 本节主要介绍这一算法的详细计算步骤及其收敛性理论.

§4.2.1 GMRES 方法

考虑如下的线性方程组

$$Ax = b, \quad (4.51)$$

式中: 矩阵 $A \in \mathbb{R}^{n \times n}$ 和向量 $b \in \mathbb{R}^n$ 是给定的, 而 $x \in \mathbb{R}^n$ 是待求的未知向量. 这里假定系数矩阵 A 是非奇异的大型稀疏矩阵, 而





且 $\mathbf{A}^T \neq \mathbf{A}$. 广义极小残量法是求 $\mathbf{x}_k \in \mathbf{x}_0 + \mathcal{K}_k(\mathbf{A}, \mathbf{r}_0)$, 使得

$$\|\mathbf{r}_k\|_2 = \min\{\|\mathbf{b} - \mathbf{A}\mathbf{x}\|_2 : \mathbf{x} \in \mathbf{x}_0 + \mathcal{K}_k(\mathbf{A}, \mathbf{r}_0)\}, \quad (4.52)$$

式中: $\mathbf{r}_k = \mathbf{b} - \mathbf{A}\mathbf{x}_k$, 即求 $\mathbf{x}_k \in \mathbf{x}_0 + \mathcal{K}_k(\mathbf{A}, \mathbf{r}_0)$, 使得残量 \mathbf{r}_k 的 2-范数达到最小.

由于现在 \mathbf{A} 是非对称的, 所以只能借助 \mathbf{A} 的 Arnoldi 正交化过程极小化问题 (4.52). 回顾一下 Arnoldi 正交化过程 (见算法 2.11):

选取初始向量 \mathbf{v}_1 , 使得 $\|\mathbf{v}_1\|_2 = 1$;

for $j = 1 : k$

for $i = 1 : j$

$$h_{ij} = (\mathbf{A}\mathbf{v}_j, \mathbf{v}_i);$$



Back

Close



$$\tilde{\mathbf{v}}_{j+1} = \mathbf{A}\mathbf{v}_j - \sum_{i=1}^j h_{ij}\mathbf{v}_i; \quad (4.53)$$

$$h_{j+1,j} = \|\tilde{\mathbf{v}}_{j+1}\|_2; \quad \mathbf{v}_{j+1} = \tilde{\mathbf{v}}_{j+1}/h_{j+1,j};$$

end

end

不难发现, 式 (4.53) 可以写成

$$\mathbf{A}\mathbf{V}_k = \mathbf{V}_k\mathbf{H}_k + \beta_k\mathbf{v}_{k+1}\mathbf{e}_k^T = \mathbf{V}_{k+1}\widetilde{\mathbf{H}}_{k+1,k}, \quad (4.54)$$

式中: $\mathbf{V}_{k+1} = [\mathbf{V}_k, \mathbf{v}_{k+1}] \in \mathbb{R}^{n \times (k+1)}$ 满足 $\mathbf{V}_{k+1}^T \mathbf{V}_{k+1} = \mathbf{I}_{k+1}$; 矩阵

$$\widetilde{\mathbf{H}}_{k+1,k} = \begin{bmatrix} \mathbf{H}_k \\ \beta_k \mathbf{e}_k^T \end{bmatrix} \in \mathbb{R}^{(k+1) \times k}$$



Back

Close

为上 Hessenberg 矩阵, 其中 $\beta_k = h_{k+1,k}$,

$$\mathbf{H}_k = \begin{bmatrix} h_{11} & h_{12} & \cdots & h_{1k} \\ h_{21} & h_{22} & \cdots & h_{2k} \\ & h_{32} & \cdots & h_{3k} \\ & & \ddots & \vdots \\ & & & h_{k,k-1} & h_{k,k} \end{bmatrix}.$$

注意到 $\mathcal{K}_k(\mathbf{A}, \mathbf{r}_0) = \mathcal{R}(\mathbf{V}_k)$, 而且对任意的 $\mathbf{x} = \mathbf{x}_0 + \mathbf{V}_k \mathbf{z} \in \mathbf{x}_0 + \mathcal{K}_k(\mathbf{A}, \mathbf{r}_0)$, 有

$$\begin{aligned} \|\mathbf{b} - \mathbf{A}\mathbf{x}\|_2 &= \|\mathbf{b} - \mathbf{A}\mathbf{x}_0 - \mathbf{A}\mathbf{V}_k \mathbf{z}\|_2 = \|\mathbf{r}_0 - \mathbf{A}\mathbf{V}_k \mathbf{z}\|_2 \\ &= \|\beta \mathbf{V}_{k+1} \mathbf{e}_1^{(k+1)} - \mathbf{V}_{k+1} \widetilde{\mathbf{H}}_{k+1,k} \mathbf{z}\|_2 \\ &= \|\beta \mathbf{e}_1^{(k+1)} - \widetilde{\mathbf{H}}_{k+1,k} \mathbf{z}\|_2, \end{aligned}$$

式中: $\beta = \|\mathbf{r}_0\|_2$; $\mathbf{e}_1^{(k+1)}$ 表示第 1 个分量为 1、其余分量均为 0 的





$k+1$ 维列向量. 由此可知, 极小化问题 (4.52) 等价于求 $\mathbf{z}_k \in \mathbb{R}^k$, 使得

$$\|\beta \mathbf{e}_1^{(k+1)} - \widetilde{\mathbf{H}}_{k+1,k} \mathbf{z}_k\|_2 = \min \{ \|\beta \mathbf{e}_1^{(k+1)} - \widetilde{\mathbf{H}}_{k+1,k} \mathbf{z}\|_2 : \mathbf{z} \in \mathbb{R}^k \}. \quad (4.55)$$

一旦这样的 \mathbf{z}_k 已经求得, 则所需的 \mathbf{x}_k 就为 $\mathbf{x}_k = \mathbf{x}_0 + \mathbf{V}_k \mathbf{z}_k$.

最小二乘问题 (4.55) 也可以用 $\widetilde{\mathbf{H}}_{k+1,k}$ 的 QR 分解来求解. 由于 $\widetilde{\mathbf{H}}_{k+1,k}$ 是上 Hessenberg 矩阵, 可以计算 k 个 Givens 变换

$$\mathbf{G}_i = \text{diag} \left(\mathbf{I}_{i-1}, \begin{bmatrix} c_i & s_i \\ -s_i & c_i \end{bmatrix}, \mathbf{I}_{k-i} \right), \quad c_i^2 + s_i^2 = 1,$$

使得

$$(\mathbf{G}_k \mathbf{G}_{k-1} \cdots \mathbf{G}_2 \mathbf{G}_1) \widetilde{\mathbf{H}}_{k+1,k} = \begin{bmatrix} \mathbf{R}_k \\ \mathbf{0} \end{bmatrix}, \quad (4.56)$$





式中: R_k 为非奇异的上三角矩阵 (因为 $\widetilde{H}_{k+1,k}$ 的次对角元均不为零). 令

$$G = G_k G_{k-1} \cdots G_2 G_1, \quad \begin{bmatrix} t_k \\ \rho_k \end{bmatrix} = G(\beta e_1), \quad t_k = (\tau_1, \tau_2, \cdots, \tau_k)^T, \quad (4.57)$$

则 G 是 $k+1$ 阶正交矩阵, 而且直接计算, 有

$$\begin{cases} \tau_1 = \beta c_1, \\ \tau_i = (-1)^{i-1} \beta s_1 s_2 \cdots s_{i-1} c_i, \quad i = 2, 3, \cdots, k, \\ \rho_k = (-1)^k \beta s_1 s_2 \cdots s_k. \end{cases} \quad (4.58)$$

由此立即可得最小二乘问题 (4.55) 的解为

$$z_k = R_k^{-1} t_k. \quad (4.59)$$



此外, 此时的残量范数为

$$\|\mathbf{r}_k\|_2 = \|\beta \mathbf{e}_1^{(k+1)} - \widetilde{\mathbf{H}}_{k+1,k} \mathbf{z}_k\|_2 = |\rho_k|. \quad (4.60)$$

综合上面的讨论, 可以将广义极小残量法 (GMRES) 的步骤总结如下:

(1) 令 $\mathbf{v}_1 = \mathbf{r}_0 / \|\mathbf{r}_0\|_2$, 产生一个长度为 k 的 Arnoldi 分解 (4.54).

(2) 利用 Givens 变换求 $\widetilde{\mathbf{H}}_{k+1,k}$ 的 QR 分解 (4.56), 并按式 (4.58) 求得向量 \mathbf{t}_k 和数 ρ_k .

(3) 用回代法求解上三角方程组 $\mathbf{R}_k \mathbf{z}_k = \mathbf{t}_k$, 得 \mathbf{z}_k .

(4) 计算 $\mathbf{x}_k = \mathbf{x}_0 + \mathbf{V}_k \mathbf{z}_k$.

(5) 若 $|\rho_k|/\beta < \varepsilon$ (事先给定的误差界), 则终止; 否则增加 k 的值, 重复上面的过程.





上述 GMRES 方法可写成如下便于编程的算法形式.

算法 4.5 (GMRES 方法) 给定矩阵 $A \in \mathbb{R}^{n \times n}$, 向量 $b \in \mathbb{R}^n$ 和允许误差 $\varepsilon > 0$, 取初始向量 x_0 . 本算法计算 $x_k \in \mathbb{R}^n$, 使得 $\|r_k\|_2 / \|r_0\|_2 \leq \varepsilon$, 其中 $r_k = b - Ax_k$.

步 1, 计算初始残量 $r_0 = b - Ax_0$, $\beta = \|r_0\|_2$ 和初始正交化向量 $v_1 = r_0 / \beta$, $\xi = e_1 = (1, 0, \dots, 0)^T$. 置 $k := 1$.

步 2, 用 Arnoldi 过程计算 v_{k+1} 和 $h_{i,k}$ ($i = 1, 2, \dots, k+1$). 将 Givens 变换 G_i 作用于矩阵 $\widetilde{H}_{i+1,i}$ 的最后一列:

$$\begin{bmatrix} h_{i,k} \\ h_{i+1,k} \end{bmatrix} := \begin{bmatrix} c_i & s_i \\ -s_i & c_i \end{bmatrix} \begin{bmatrix} h_{i,k} \\ h_{i+1,k} \end{bmatrix}, \quad i = 1, \dots, k-1.$$



Back

Close



步 3, 计算第 k 次 Givens 变换 \mathbf{G}_k 中的 c_k 和 s_k :

$$c_k = \frac{h_{k,k}}{\sqrt{h_{k,k}^2 + h_{k+1,k}^2}}, \quad s_k = \frac{h_{k+1,k}}{\sqrt{h_{k,k}^2 + h_{k+1,k}^2}}, \quad (4.61)$$

$$\left(\tau_k = \frac{h_{k+1,k}}{h_{k,k}}, \quad c_k = \frac{1}{\sqrt{1 + \tau_k^2}}, \quad s_k = c_k \tau_k \right).$$

步 4, 对 $k+1$ 维向量 $\boldsymbol{\xi}$ 的最后两个元素和矩阵 $\widetilde{\mathbf{H}}_{k+1,k}$ 分别作用第 k 次 Givens 变换 \mathbf{G}_k , 有

$$\begin{bmatrix} \xi_k \\ \xi_{k+1} \end{bmatrix} := \begin{bmatrix} c_k & s_k \\ -s_k & c_k \end{bmatrix} \begin{bmatrix} \xi_k \\ 0 \end{bmatrix} = \begin{bmatrix} c_k \xi_k \\ -s_k \xi_k \end{bmatrix},$$

$$\begin{bmatrix} h_{k,k} \\ h_{k+1,k} \end{bmatrix} := \begin{bmatrix} c_k & s_k \\ -s_k & c_k \end{bmatrix} \begin{bmatrix} h_{k,k} \\ h_{k+1,k} \end{bmatrix} = \begin{bmatrix} c_k h_{k,k} + s_k h_{k+1,k} \\ 0 \end{bmatrix}. \quad (4.62)$$





62/294

步 5, 若 $|\rho_k|/\beta = |\xi_{k+1}|/\beta \leq \varepsilon$, 求解关于 \mathbf{z}_k 的上三角方程组 $\mathbf{H}_{k,k}\mathbf{z}_k = [\beta\xi]_{k \times 1}$, 计算近似解向量 $\mathbf{x}_k = \mathbf{x}_0 + \mathbf{V}_k\mathbf{z}_k$, 停算; 否则, 置 $k := k + 1$, 转步 2.

算法 4.5 的 MATLAB 程序如下:

%GMRES方法程序-mgmres.m

function [x,k,time,res,resvec,flag]=mgmres(A,b,x,max_it,tol)

tic; flag=0; r=b-A*x; beta=norm(r); %计算残差

n=length(b); e1=zeros(n,1); e1(1)=1.0;

res=norm(r)/beta; resvec(1)=res;

V(:,1)=r/beta; xi=beta*e1; k=0;

while (k<=max_it)

 k=k+1; w=A*V(:,k);

 for i=1:k %修正Arnoldi过程



Back

Close



```
H(i,k)=w'*V(:,i);  
w=w-H(i,k)*V(:,i);  
end  
H(k+1,k)=norm(w);  
if abs(H(k+1,k))/beta<tol,  
    return;  
else  
    V(:,k+1)=w/H(k+1,k);  
end  
for i=1:k-1,  
    temp=c(i)*H(i,k)+s(i)*H(i+1,k);  
    H(i+1,k)=-s(i)*H(i,k)+c(i)*H(i+1,k);  
    H(i,k)=temp;
```





64/294

```
end  
[c(k),s(k),H(k,k)]=givens(H(k,k), H(k+1,k));%第k次Givens  
xi(k+1)=-s(k)*xi(k);  
xi(k)=c(k)*xi(k); H(k+1,k)=0.0;  
res=abs(xi(k+1))/beta;  
resvec(k+1)=res;  
if (res<=tol ),  
    y=H(1:k,1:k)\xi(1:k); x=x+V(:,1:k)*y;  
    break; %跳出循环  
end  
end  
if (res>tol), flag=1; end; %不收敛  
time=toc;
```



Back

Close



例 4.4 考虑系数矩阵 A 和右端项 b 分别为

$$A = \begin{bmatrix} 1 & -1 & 0 & \cdots & 0 & n \\ 1 & 2 & -1 & \ddots & & 0 \\ 0 & \ddots & \ddots & \ddots & \ddots & \vdots \\ \vdots & \ddots & \ddots & \ddots & \ddots & 0 \\ 0 & & \ddots & 1 & n-1 & -1 \\ -n & 0 & \cdots & 0 & 1 & n \end{bmatrix}, \quad b = A \begin{bmatrix} 1 \\ 1 \\ \vdots \\ \vdots \\ 1 \\ 1 \end{bmatrix}$$

的线性方程组 (4.51). 显然, 该方程组的真解为 $\mathbf{x}^* = (1, 1, \dots, 1)^T$. 取 $n = 10^3$, 应用 GMRES 算法到该方程组上, 迭代 172 步后得到的近似解 $\tilde{\mathbf{x}} = \mathbf{x}_{172}$ 满足

$$\|\tilde{\mathbf{x}} - \mathbf{x}_*\|_2 = 1.1427 \times 10^{-7}.$$

迭代过程的收敛轨迹如图 4.4 所示, 其中横坐标为迭代步数 k , 纵坐标为相对残差 $\|\mathbf{r}_k\|_2 / \|\mathbf{r}_0\|_2$, 这里 \mathbf{r}_k 是第 k 步得到的残差向量.



Back

Close

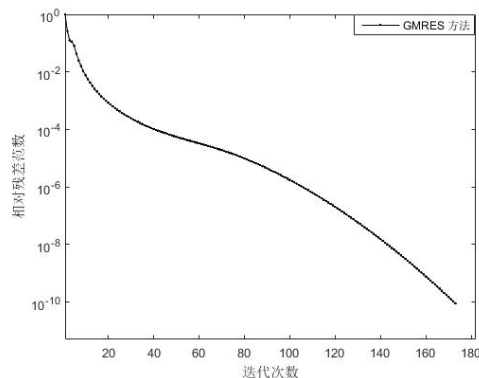


图 4.4 GMRES 方法的收敛特性

实际使用 GMRES 方法时的主要问题是 k 不能太大, 这是因为这一方法的内存需求量为 $O(kn)$, 而计算机的内存又是有限的, 这样就会出现近似解 x_k 还不满足精度要求, 而 k 已经不能再增加的情形. 解决这一问题的一个简单而行之有效的办法就是重新开始技术. 它的基本思想是, 先选定一个不太大的正整数 m , 用 GMRES 方法产生 x_m , 然后再以 x_m 作为初始向量重新开始. 这就是重开



Back

Close



始 GMRES 方法, 通常记为 $\text{GMRES}(m)$ 方法, 具体计算过程可简述如下.

算法 4.6 ($\text{GMRES}(m)$ 方法) 给定矩阵 $\mathbf{A} \in \mathbb{R}^{n \times n}$, 向量 $\mathbf{b} \in \mathbb{R}^n$, 正整数 m , 初始向量 \mathbf{x}_0 和允许误差 $\varepsilon > 0$. 本算法计算 $\mathbf{x}_m \in \mathbb{R}^n$, 使得 $\|\mathbf{b} - \mathbf{A}\mathbf{x}_m\|_2 / \|\mathbf{b} - \mathbf{A}\mathbf{x}_0\|_2 \leq \varepsilon$.

选取 \mathbf{x}_0 ; 计算 $\mathbf{r}_0 = \mathbf{b} - \mathbf{A}\mathbf{x}_0$; $\beta = \|\mathbf{r}_0\|_2$; $\rho_m := \beta$; $\mathbf{x}_m := \mathbf{x}_0$;

while ($\rho_m / \beta > \varepsilon$)

$$\mathbf{r}_0 = \mathbf{b} - \mathbf{A}\mathbf{x}_m; \beta_0 = \|\mathbf{r}_0\|_2; \mathbf{v}_1 = \mathbf{r}_0 / \beta_0;$$

以 \mathbf{v}_1 为初始向量产生一个长度为 m 的 Arnoldi 分解

$$\mathbf{A}\mathbf{V}_m = \mathbf{V}_{m+1}\widetilde{\mathbf{H}}_{m+1,m};$$

计算 $\widetilde{\mathbf{H}}_{m+1,m}$ 的 QR 分解: $\widetilde{\mathbf{H}}_{m+1,m} = \mathbf{G}^T \begin{bmatrix} \mathbf{R}_m \\ \mathbf{0} \end{bmatrix};$



Back

Close



按式 (4.58) 计算 \mathbf{t}_m 和 ρ_m ;

求解 $\mathbf{R}_m \mathbf{z}_m = \mathbf{t}_m$ 得到 \mathbf{z}_m ;

计算 $\mathbf{x}_m = \mathbf{x}_0 + \mathbf{V}_m \mathbf{z}_m$;

end

这一算法是目前求解大型稀疏非对称线性方程组的常用方法之一. 至于算法 4.6 中的 m 取多大为好, 现在还没有理论上的结果. 在理论上仅可以保证, 在系数矩阵 \mathbf{A} 有正定的对称部分时, 对任意的 m , 算法 4.6 总是收敛的 (见后面的收敛性定理). 但对于一般情形, 并非对任意的 m 总能保证其收敛. 例如, 对线性方程组

$$\mathbf{A}\mathbf{x} := \begin{bmatrix} 0 & 1 \\ -1 & 0 \end{bmatrix} \begin{bmatrix} x_1 \\ x_2 \end{bmatrix} = \begin{bmatrix} 1 \\ 1 \end{bmatrix} := \mathbf{b},$$



Back

Close



69/294

利用 GMRES(1) 求解, 不论循环多少次, 总有 $x_k = 0$, 而 $\|Ax_k - b\|_2 = \sqrt{2}$, 永远不会得到原方程组之真解满足要求的近似解. 但如果用 GMRES 求解, 则只需两步就可以得到该方程组的精确解.

GMRES(m) 的 MATLAB 程序如下:

```
%重新开始GMRES方法-GMRES(m)-gmres.m  
function [x,out,int,time,res,resvec,flag]  
    =gmresm(A,b,x,m,max_it,tol)  
tic; flag=0; int=0; r= b-A*x; %计算残差  
beta=norm(r); res=norm(r)/beta; resvec(1)=res;  
n=length(b); %m=resttrt;  
V(1:n,1:m+1)=zeros(n,m+1);  
H(1:m+1,1:m)=zeros(m+1,m);  
e1=zeros(n,1); e1(1)=1.0;
```



Back

Close



70/294

```
c(1:m)=zeros(m,1); s(1:m)=zeros(m,1);  
for k=1:max_it  
    V(:,1)=r/norm(r);  
    xi=norm(r)*e1;  
    for j=1:m %用Arnoldi方法构造正交基  
        w=A*V(:,j);  
        for i=1:j  
            H(i,j)=w'*V(:,i);  
            w=w-H(i,j)*V(:,i);  
        end  
        H(j+1,j)=norm(w);  
        if abs(H(j+1,j))/beta<tol,  
            return;
```



Back

Close



71/294

```
else
    V(:,j+1)=w/H(j+1,j);
end
for i=1:j-1  %第i次Givens变换
    temp=c(i)*H(i,j)+s(i)*H(i+1,j);
    H(i+1,j)=-s(i)*H(i,j)+c(i)*H(i+1,j);
    H(i,j)=temp;
end
[c(j),s(j),H(j,j)]=givens(H(j,j),H(j+1,j));
%第j次Givens变换
xi(j+1)=-s(j)*xi(j);xi(j)=c(j)*xi(j);
H(j+1,j)=0.0;res=abs(xi(j+1))/beta;
resvec((k-1)*m+j+1)=res;
```



Back

Close



72/294

```
        if(res<=tol)
            y=H(1:j,1:j)\xi(1:j);
            x=x+V(:,1:j)*y;
            break;    %跳出内循环
        end
    end
    if (res<tol )
        out=k; int=j; break; %跳出外循环
    end
    y=H(1:m,1:m)\xi(1:m);
    x=x+V(:,1:m)*y;
    r=b-A*x ;
end
```



Back

Close



```
if (res>tol), flag=1; end; %不收敛  
time=toc;
```

例 4.5 用 $\text{GMRES}(m)$ 方法求解例 4.4 的线性方程组. 表 4.1 列出了对于不同的 m , 达到收敛 (容许误差为 $\varepsilon = 10^{-10}$) 所需要的外迭代次数、内迭代次数、总迭代次数和 CPU 时间 (s). 从表 4.1

表 4.1 $\text{GMRES}(m)$ 方法对 m 的依赖性

m	外迭代次数	内迭代次数	总迭代次数	CPU 时间	相对残差
10	47	3	463	0.2621	9.8273e-11
20	14	12	272	0.1488	9.1166e-11
30	9	8	248	0.1327	9.3534e-11
40	6	27	227	0.1267	9.4923e-11
50	5	19	219	0.1244	9.9472e-11
60	4	26	206	0.1203	9.9062e-11
GMRES	1	172	172	0.1651	8.8473e-11

中的数据可看出, 对于本例而言, 与 GMRES 方法相比, 对于比较





小的 m 值, GMRES(m) 方法并不占优势. 事实上, 前面已经指出, 只有在无法使用 GMRES 方法时 (如超出计算机的内存), 才考虑使用 GMRES(m) 方法, 并且 m 不宜取得太小.

此外, 对于不同的 m 值, 迭代过程的收敛轨迹如图 4.5 所示, 其中横坐标为迭代步数 k , 纵坐标为相对残差 $\|\mathbf{r}_k\|_2/\|\mathbf{r}_0\|_2$, 这里 \mathbf{r}_k 是第 k 步得到的残差向量.

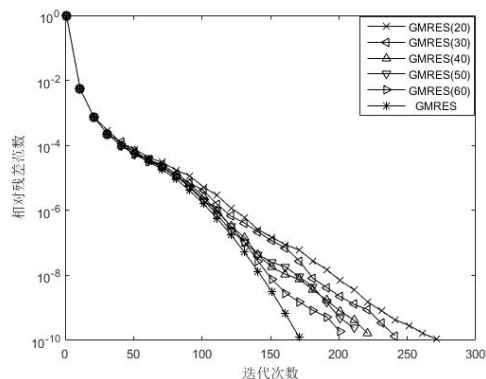


图 4.5 GMRES 方法的收敛特性



§4.2.2 预处理 GMRES 方法

回顾共轭梯度法求解方程组 $Ax = b$ 时预处理技术的重要性, 考虑预处理广义极小残量法 (简记为 PGMRES 方法). 因为共轭梯度法适用于对称正定矩阵 A , 所以预处理矩阵 M 需要保持对称. 对于非对称矩阵 A , 预处理矩阵 M 就没有必要是对称的. 此时方程组 $Ax = b$ 被预处理为

$$M^{-1}Ax = M^{-1}b. \quad (4.63)$$

这里 M 应该取为 A 的一个近似矩阵, 以保证用 GMRES 方法求解预处理方程组 (4.63) 比求解原方程组 $Ax = b$ 有更快的收敛速度.

由于 GMRES 方法只涉及到矩阵与向量的乘法, 所以要保证 M^{-1} 与某一个向量 r 的乘法 $z = M^{-1}r$ 容易计算, 即 $Mz = r$



75/294



Back

Close



76/294

容易求解. 这启发选取 M 为 (块) 对角矩阵或 (块) 三角形矩阵, 如 Jacobi 预处理矩阵

$$M = D = \text{diag}\{a_{11}, \dots, a_{nn}\},$$

Gauss-Seidel 预处理矩阵

$$M = D - L$$

以及 SOR 预处理矩阵

$$M = \frac{1}{\omega}(D - \omega L),$$

式中:

$$L = - \begin{bmatrix} 0 & & & \\ a_{21} & 0 & & \\ \vdots & \ddots & \ddots & \\ a_{n1} & \cdots & a_{n,n-1} & 0 \end{bmatrix}.$$





对方程组 (4.63) 用 GMRES 方法, 得到如下 PGMRES 方法.

算法 4.7 (PGMRES 方法) 给定矩阵 $\mathbf{A} \in \mathbb{R}^{n \times n}$, 向量 $\mathbf{b} \in \mathbb{R}^n$, 预处理子 \mathbf{M} , 初始向量 \mathbf{x}_0 和允许误差 $\varepsilon > 0$. 本算法计算 $\mathbf{x}_k \in \mathbb{R}^n$, 使得 $\|\mathbf{r}_k\|_2 / \|\mathbf{r}_0\|_2 \leq \varepsilon$, 其中 $\mathbf{r}_k = \mathbf{b} - \mathbf{A}\mathbf{x}_k$.

$$\mathbf{r}_0 = \mathbf{M}^{-1}(\mathbf{b} - \mathbf{A}\mathbf{x}_0); \beta = \|\mathbf{r}_0\|_2;$$

for $k = 1, 2, \dots$

对 $\mathcal{K}_k(\mathbf{M}^{-1}\mathbf{A}, \mathbf{v}_1)$ 用 Arnoldi 分解计算 $\mathbf{V}_k = [\mathbf{v}_1, \mathbf{v}_2, \dots, \mathbf{v}_k]$

以及 $(k+1) \times k$ 阶矩阵 $\widetilde{\mathbf{H}}_{k+1,k}$.

计算 $\widetilde{\mathbf{H}}_{k+1,k}$ 的 QR 分解: $\widetilde{\mathbf{H}}_{k+1,k} = \mathbf{G}^T \begin{bmatrix} \mathbf{R}_k \\ \mathbf{0} \end{bmatrix};$

按式 (4.58) 计算 \mathbf{t}_k 和 ρ_k ;

if $|\rho_k|/\beta \leq \varepsilon$



Back

Close



78/294

求解 $\mathbf{R}_k \mathbf{z}_k = \mathbf{t}_k$ 得到 \mathbf{z}_k ;

计算 $\mathbf{x}_k = \mathbf{x}_0 + \mathbf{V}_k \mathbf{z}_k$; 停算.

end

end

对方程组 (4.63) 用 GMRES(m) 得到如下算法:

算法 4.8 (PGMRES(m) 方法) 给定矩阵 $\mathbf{A} \in \mathbb{R}^{n \times n}$, 向量 $\mathbf{b} \in \mathbb{R}^n$, 正整数 m , 预处理子 \mathbf{M} 和允许误差 $\varepsilon > 0$, 选取初始向量 $\mathbf{x}_0 \in \mathbb{R}^n$. 本算法计算 $\mathbf{x}_k \in \mathbb{R}^n$, 使得 $\|\mathbf{r}_k\|_2 / \|\mathbf{r}_0\|_2 \leq \varepsilon$, 其中 $\mathbf{r}_k = \mathbf{b} - \mathbf{A}\mathbf{x}_k$.

步 1, 计算残量 $\mathbf{r}_0 = \mathbf{M}^{-1}(\mathbf{b} - \mathbf{A}\mathbf{x}_0)$, $\beta = \|\mathbf{r}_0\|_2$ 和初始正交化向量 $\mathbf{v}_1 = \mathbf{r}_0 / \beta$.



Back

Close



步 2, 对 $\mathcal{K}_m(\mathbf{M}^{-1}\mathbf{A}, \mathbf{v}_1)$ 用 Arnoldi 分解计算

$$\mathbf{V}_m = [\mathbf{v}_1, \mathbf{v}_2, \dots, \mathbf{v}_m]$$

以及 $(m+1) \times m$ 阶矩阵 $\widetilde{\mathbf{H}}_{m+1,m}$.

步 3, 计算满足极小化问题

$$\min \{ \|\beta \mathbf{e}_1^{(m+1)} - \widetilde{\mathbf{H}}_{m+1,m} \mathbf{z}\|_2 : \mathbf{z} \in \mathbb{R}^m \}$$

的最小二乘解 \mathbf{z}_m , 令 $\mathbf{x}_m = \mathbf{x}_0 + \mathbf{V}_m \mathbf{z}_m$. 若 \mathbf{x}_m 达到精度要求, 停算.

步 4, 置 $\mathbf{x}_0 := \mathbf{x}_m$, 转步 1.

下面通过数值例子, 观察 PGMRES 方法的效果.

例 4.6 仍考虑例 4.4 的线性方程组. 取预处理矩阵 $\mathbf{M} = \text{diag}(\mathbf{A})$, 应用 PGMRES 方法到该方程组上, 迭代 12 步后得到的



Back

Close

近似解 $\tilde{\mathbf{x}} = \mathbf{x}_{12}$ 满足

$$\|\tilde{\mathbf{x}} - \mathbf{x}_*\|_2 = 1.7407 \times 10^{-8}.$$

迭代过程的收敛轨迹如图 4.6 所示, 其中横坐标为迭代步数 k , 纵坐标为相对残差 $\|\mathbf{r}_k\|_2/\|\mathbf{r}_0\|_2$, 这里 \mathbf{r}_k 是第 k 步得到的残差向量.

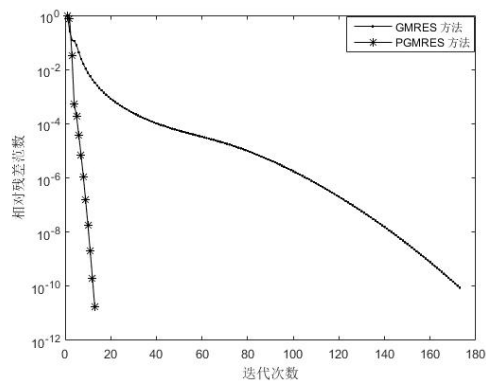


图 4.6 GMRES 和 PGMRES 的收敛特性





例 4.7 用 PGMRES(m) 方法求解例 4.4 的线性方程组, 取预处理矩阵 $\mathbf{M} = \text{diag}(\mathbf{A})$. 表 4.2 列出了对于不同的 m , 达到收敛 (容许误差为 $\varepsilon = 10^{-10}$) 所需要的外迭代次数、内迭代次数、总迭代次数和 CPU 时间 (s).

表 4.2 PGMRES(m) 方法对 m 的依赖性

m	外迭代次数	内迭代次数	总迭代次数	CPU 时间	相对残差
3	21	3	63	0.1692	7.3458e-11
6	4	3	21	0.0449	3.8001e-11
9	2	5	14	0.0290	8.0750e-11
12	1	12	12	0.0238	1.7551e-11
PGMRES	1	12	12	0.0394	1.7551e-11

此外, 对于不同的 m 值, 迭代过程的收敛轨迹如图 4.7 所示, 其中横坐标为迭代步数 k , 纵坐标为相对残差 $\|\mathbf{r}_k\|_2/\|\mathbf{r}_0\|_2$, 这里 \mathbf{r}_k 是第 k 步得到的残差向量.



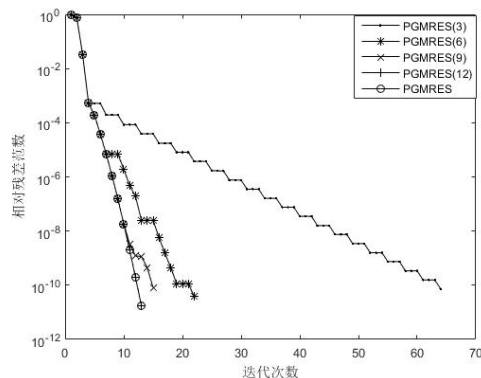


图 4.7 PGMRES(m) 方法对 m 的依赖性

§4.2.3 收敛性分析

前一节 CG 方法的收敛性都是关于对称矩阵的. 当系数矩阵非对称时, 对 Krylov 子空间方法 (比如 GMRES 方法) 的收敛性进行分析就会遇到很大的困难. 首先来看 GMRES 方法的一个重要性质.



Back

Close



定理 4.4 GMRES 方法不会发生中断.

证明 若 $h_{k+1,k} \neq 0$, 则计算过程直至第 k 步都不会中断. 事实上, 当 $h_{k+1,k} \neq 0$ 时, 由式 (4.61) 和式 (4.62), \mathbf{R}_k 的对角元满足

$$r_{k,k} = h_{k,k} := c_k h_{k,k} + s_k h_{k+1,k} = \sqrt{h_{k,k}^2 + h_{k+1,k}^2} > 0.$$

故正交化可进行, 极小化问题可解.

由此可知, 只有当 $h_{k+1,k} = 0$ 时, 计算过程才在第 k 步中断, 此时向量 \mathbf{v}_{k+1} 不能构造. 但此时成立

$$\mathbf{A}\mathbf{V}_k = \mathbf{V}_k\mathbf{H}_k,$$

故 $\sigma(\mathbf{H}_k) \subset \sigma(\mathbf{A})$. 由于 \mathbf{A} 非奇异, 故 \mathbf{H}_k 也非奇异. 在第 k 步, 极



Back

Close



小化问题 (4.55) 变为

$$\begin{aligned}\|\beta \mathbf{v}_1 - \mathbf{A} \mathbf{V}_k \mathbf{z}\|_2 &= \|\beta \mathbf{v}_1 - \mathbf{V}_k \mathbf{H}_k \mathbf{z}\|_2 = \|\mathbf{V}_k (\beta \mathbf{e}_1^{(k)} - \mathbf{H}_k \mathbf{z})\|_2 \\ &= \|\beta \mathbf{e}_1^{(k)} - \mathbf{H}_k \mathbf{z}\|_2.\end{aligned}$$

而 \mathbf{H}_k 非奇异, 当 $\mathbf{z}_k = \mathbf{H}_k^{-1}(\beta \mathbf{e}_1^{(k)})$ 时, $\|\beta \mathbf{v}_1 - \mathbf{A} \mathbf{V}_k \mathbf{z}\|_2$ 达到极小值 0, 即 $\|\mathbf{r}_k\|_2 = 0$, 故

$$\mathbf{x}_k = \mathbf{x}_0 + \mathbf{V}_k \mathbf{z}_k$$

是精确解, 换言之, GMRES 方法若在第 k 步中断, 则在这一步已得到精确解. 证毕. \square

下面的定理是 GMRES 方法的另一个性质.

定理 4.5 设 $\{\mathbf{x}_i\}$ 是 GMRES 方法产生的迭代序列. 若 \mathbf{x}_k 是精确解, 而 $\mathbf{x}_i (i < k)$ 不是精确解, 则算法在第 k 步中断.



Back

Close

证明 由假设, 有

$$\mathbf{r}_i \neq \mathbf{0}, \quad i = 1, 2, \dots, k-1, \quad \text{而 } \mathbf{r}_k = \mathbf{0}.$$

但 $\|\mathbf{r}_k\|_2$ 是 $\tilde{\boldsymbol{\xi}}_k = \beta \mathbf{V}_k \mathbf{e}_1^{(k+1)}$ 最后一个分量的绝对值, 即它是

$$\begin{bmatrix} 1 & & & & & \\ & \ddots & & & & \\ & & 1 & & & \\ & & & c_k & s_k & \\ & & & -s_k & c_k & \end{bmatrix} \begin{bmatrix} \tilde{\boldsymbol{\xi}}_{k-1} \\ \\ \\ 0 \end{bmatrix}$$

的第 $k+1$ 个分量的绝对值, 即

$$\|\mathbf{r}_k\|_2 = |s_k \mathbf{e}_k^T \tilde{\boldsymbol{\xi}}_{k-1}|. \quad (4.64)$$

但

$$|\mathbf{e}_k^T \tilde{\boldsymbol{\xi}}_{k-1}| = \|\mathbf{r}_{k-1}\|_2 \neq 0, \quad (4.65)$$





故 $s_k = 0$. 由于

$$s_k = \frac{h_{k+1,k}}{\sqrt{h_{k,k}^2 + h_{k+1,k}^2}},$$

故有 $h_{k+1,k} = 0$, 这样 $\tilde{\mathbf{v}}_{k+1} = \mathbf{0}$ (由式 (4.53) 所定义), 算法中断. 证毕. \square

由式 (4.64) 和式 (4.65) 容易得到下面的推论.

推论 4.2 GMRES 方法的残量范数 $\|\mathbf{r}_k\|_2$ 有表达式

$$\|\mathbf{r}_k\|_2 = \left(\prod_{i=1}^k |s_i| \right) \|\mathbf{r}_0\|_2. \quad (4.66)$$

定理 4.6 初始残量 \mathbf{r}_0 的最小多项式次数是 k 的充分必要条件是 $\tilde{\mathbf{v}}_{k+1} = \mathbf{0}$ 且 $\tilde{\mathbf{v}}_i \neq \mathbf{0} (i = 1, 2, \dots, k)$, 其中 $\tilde{\mathbf{v}}_{i+1} (i = 1, 2, \dots, k)$ 由式 (4.53) 所定义.



Back

Close



证明 若 $\mathbf{r}_0 = \|\mathbf{r}_0\|_2 \mathbf{v}_1$ 的最小多项式次数为 k , 则存在一个 k 次多项式 ϕ_k , 使得 $\phi_k(\mathbf{A})\mathbf{v}_1 = \mathbf{0}$, 且 ϕ_k 是次数最低者. 因此

$$\mathcal{K}_{k+1} = \text{span}\{\mathbf{v}_1, \mathbf{A}\mathbf{v}_1, \dots, \mathbf{A}^k \mathbf{v}_1\} = \mathcal{K}_k.$$

由于 $\tilde{\mathbf{v}}_{k+1} \in \mathcal{K}_{k+1} = \mathcal{K}_k$, 且 $\tilde{\mathbf{v}}_{k+1} \perp \mathcal{K}_k$, 故 $\tilde{\mathbf{v}}_{k+1} = \mathbf{0}$. 另外, 若存在某个 $i (1 \leq i \leq k)$, 使 $\tilde{\mathbf{v}}_i = \mathbf{0}$, 则存在一个 $i-1$ 次多项式 ϕ_{i-1} 使 $\phi_{i-1}(\mathbf{A})\mathbf{v}_1 = \mathbf{0}$, 这与 \mathbf{v}_1 的最小多项式次数为 k 矛盾, 故 $\tilde{\mathbf{v}}_i \neq \mathbf{0}$, $1 \leq i \leq k$.

反之, 设 $\tilde{\mathbf{v}}_{k+1} = \mathbf{0}$ 且 $\tilde{\mathbf{v}}_i \neq \mathbf{0}$, $i = 1, 2, \dots, k$. 由 $\tilde{\mathbf{v}}_{k+1} = \mathbf{0}$ 可知, 存在一个 k 次多项式 ϕ_k , 使 $\phi_k(\mathbf{A})\mathbf{v}_1 = \mathbf{0}$, 而且 k 是次数最小者. 否则, 当存在 $\phi_i (i < k)$ 使 $\phi_i(\mathbf{A})\mathbf{v}_1 = \mathbf{0}$ 时, 就有 $\mathcal{K}_{i+1} = \mathcal{K}_i$, 因此 $\tilde{\mathbf{v}}_{i+1} = \mathbf{0}$, 这与 $\tilde{\mathbf{v}}_i \neq \mathbf{0} (1 \leq i \leq k)$ 矛盾. 证毕. \square

进一步, 由上述三个定理可以推出:



推论 4.3 GMRES 方法在第 k 步产生的解 \mathbf{x}_k 是精确解的充分必要条件为下列诸等价条件:

- (1) 算法在第 k 步中断.
- (2) $h_{k+1,k} = 0$.
- (3) $\tilde{\mathbf{v}}_{k+1} = \mathbf{0}$.
- (4) \mathbf{r}_0 的最小多项式次数为 k .

推论 4.4 GMRES 方法得到的残量模序列 $\{\|\mathbf{r}_k\|_2\}$ 是单调下降的, 对于 n 阶方程组至多迭代 n 步即可得到精确解.

现在考虑 GMRES(m) 方法, 虽然它总能进行下去, 但可能不收敛. 当然, 当 m 充分大时是收敛的. 特别地, 当 $m = n$ 时, 一个重新开始迭代即可得到精确解.

1. GMRES(m) 的收敛性定理



Back

Close



现在考虑 GMRES(m) 方法的误差估计. 利用 Krylov 子空间的性质, 注意到任意的 $\mathbf{x} = \mathbf{x}_0 + \varphi_{k-1}(\mathbf{A})\mathbf{r}_0$ (即 $\mathbf{x} \in \mathbf{x}_0 + \mathcal{K}_k(\mathbf{A}, \mathbf{r}_0)$), 可导出

$$\begin{aligned}\|\mathbf{r}_k\|_2 &= \min \|\mathbf{b} - \mathbf{A}\mathbf{x}\|_2 = \min_{\varphi_{k-1} \in \mathcal{P}_{k-1}} \|\mathbf{b} - \mathbf{A}(\mathbf{x}_0 + \varphi_{k-1}(\mathbf{A})\mathbf{r}_0)\|_2 \\ &= \min_{\varphi_{k-1} \in \mathcal{P}_{k-1}} \|(\mathbf{I} - \mathbf{A}\varphi_{k-1}(\mathbf{A}))\mathbf{r}_0\|_2 = \min_{\psi \in \mathcal{P}_k^0} \|\psi(\mathbf{A})\mathbf{r}_0\|_2,\end{aligned}\tag{4.67}$$

式中: \mathcal{P}_k^0 如式 (4.41) 中所定义.

定理 4.7 设 \mathbf{A} 是正定的 (即 \mathbf{A} 的对称部分是对称正定的), $m > 0$ 是任意给定的整数, 并假定在 GMRES(m) 中重新开始了 ℓ 次产生了近似解 $x_m^{(\ell)}$, 则有

$$\frac{\|\mathbf{r}_m^{(\ell)}\|_2}{\|\mathbf{r}_0\|_2} \leq \left[\sqrt{1 - \frac{\lambda_{\min}^2(\mathbf{M})}{\lambda_{\max}(\mathbf{A}^T \mathbf{A})}} \right]^{\ell m}, \tag{4.68}$$





式中: $\mathbf{M} = \frac{1}{2}(\mathbf{A} + \mathbf{A}^T)$, 其他的记号如前所述.

证明 因为 \mathbf{A} 是正定的, 即其对称部分

$$\mathbf{M} = \frac{1}{2}(\mathbf{A} + \mathbf{A}^T) \quad (4.69)$$

是对称正定的, 定义

$$\psi_\alpha(t) = (1 + \alpha t)^m, \quad \alpha \in \mathbb{R}. \quad (4.70)$$

显然有 $\psi_\alpha(t) \in \mathcal{P}_m^0$. 下面先给出 $\min_{\alpha} \|\psi_\alpha(\mathbf{A})\|_2$ 的上界估计.

现在任取一个 $\mathbf{u} \in \mathbb{R}^n, \|\mathbf{u}\|_2 = 1$ (即 \mathbf{u} 是单位向量), 并记 $\hat{\psi}_\alpha(t) = 1 + \alpha t$, 则有

$$\begin{aligned} \|\hat{\psi}_\alpha(\mathbf{A})\mathbf{u}\|_2^2 &= \mathbf{u}^T(\mathbf{I} + \alpha\mathbf{A})^T(\mathbf{I} + \alpha\mathbf{A})\mathbf{u} \\ &= 1 + 2\alpha\mathbf{u}^T\mathbf{M}\mathbf{u} + \alpha^2\mathbf{u}^T\mathbf{A}^T\mathbf{A}\mathbf{u}, \end{aligned}$$



Back

Close



从而, 当 $\alpha \geq 0$ 时, 有

$$\|\hat{\psi}_\alpha(\mathbf{A})\|_2 \geq \|\hat{\psi}_\alpha(\mathbf{A})\mathbf{u}\|_2 \geq 1, \quad (4.71)$$

而当 $\alpha \leq 0$ 时, 有

$$\|\hat{\psi}_\alpha(\mathbf{A})\mathbf{u}\|_2^2 \leq 1 + 2\alpha\lambda_{\min}(\mathbf{M}) + \alpha^2\lambda_{\max}(\mathbf{A}^T\mathbf{A}), \quad (4.72)$$

式中: $\lambda_{\min}(\mathbf{M})$ 和 $\lambda_{\max}(\mathbf{A}^T\mathbf{A})$ 分别为 \mathbf{M} 的最小特征值和 $\mathbf{A}^T\mathbf{A}$ 的最大特征值.

注意到单位向量 \mathbf{u} 的任意性, 式 (4.72) 蕴涵着当 $\alpha \leq 0$ 时, 有

$$\|\hat{\psi}_\alpha(\mathbf{A})\|_2^2 \leq 1 + 2\alpha\lambda_{\min}(\mathbf{M}) + \alpha^2\lambda_{\max}(\mathbf{A}^T\mathbf{A}). \quad (4.73)$$

不等式 (4.73) 的右边是关于 α 的二次函数, 在

$$\alpha = -\frac{\lambda_{\min}(\mathbf{M})}{\lambda_{\max}(\mathbf{A}^T\mathbf{A})} \leq 0$$





处达到最小值 $1 - \lambda_{\min}^2(\mathbf{M})/\lambda_{\max}(\mathbf{A}^T \mathbf{A})$, 从而有

$$\min_{\alpha < 0} \|\hat{\psi}_\alpha(\mathbf{A})\|_2^2 \leq 1 - \frac{\lambda_{\min}^2(\mathbf{M})}{\lambda_{\max}(\mathbf{A}^T \mathbf{A})} < 1.$$

再注意到式 (4.71), 有

$$\min_{\alpha \in \mathbb{R}} \|\hat{\psi}_\alpha(\mathbf{A})\|_2 \leq \sqrt{1 - \frac{\lambda_{\min}^2(\mathbf{M})}{\lambda_{\max}(\mathbf{A}^T \mathbf{A})}} \equiv \kappa. \quad (4.74)$$

如果从 \mathbf{x}_0 出发, 应用 GMRES 迭代 m 步得到 \mathbf{x}_m , 则对 $k = m$ 应用式 (4.67), 有

$$\begin{aligned} \|\mathbf{r}_m\|_2 &\leq \min_{\alpha} \|\psi_\alpha(\mathbf{A})\mathbf{r}_0\|_2 \leq \min_{\alpha} \|\psi_\alpha(\mathbf{A})\|_2 \|\mathbf{r}_0\|_2 \\ &\leq \min_{\alpha} \|\hat{\psi}_\alpha(\mathbf{A})\|_2^m \|\mathbf{r}_0\|_2 \leq \kappa^m \|\mathbf{r}_0\|_2, \end{aligned} \quad (4.75)$$

其中最后一个不等式用到了式 (4.74).





假定以 $\mathbf{x}_m^{(1)} = \mathbf{x}_m$ 再重新开始, 用 GMRES 迭代产生 $\mathbf{x}_m^{(2)}$, 则由式 (4.75) 又有

$$\|\mathbf{r}_m^{(2)}\|_2 \leq \kappa^m \|\mathbf{r}_m^{(1)}\|_2 \leq \kappa^{2m} \|\mathbf{r}_0\|_2,$$

式中:

$$\mathbf{r}_m^{(2)} = \mathbf{b} - \mathbf{A}\mathbf{x}_m^{(2)}; \quad \mathbf{r}_m^{(1)} = \mathbf{b} - \mathbf{A}\mathbf{x}_m^{(1)} = \mathbf{r}_m.$$

如此可证, 若重新开始了 ℓ 次, 产生了 $\mathbf{x}_m^{(\ell)}$, 则有

$$\|\mathbf{r}_m^{(\ell)}\|_2 \leq \kappa^{\ell m} \|\mathbf{r}_0\|_2,$$

式中: $\mathbf{r}_m^{(\ell)} = \mathbf{b} - \mathbf{A}\mathbf{x}_m^{(\ell)}$. 将 κ 的表达式代入上式即得定理的结论. 证毕. □

注 4.3 定理 4.7 表明, 如果系数矩阵 \mathbf{A} 是正定的, 则对任意给定的正数 $m > 0$, GMRES(m) 总是收敛的.





2. 儒科夫斯基映射

要研究 GMRES 方法对更广一类线性方程组的收敛性, 需要借助复变函数中的儒科夫斯基 (Joukowski) 映射来导出复变元的 Chebyshev 多项式的一种易于使用的定义.

儒科夫斯基映射是指如下定义的从复平面到复平面的映射:

$$z = \frac{1}{2}(w + w^{-1}) \equiv J(w). \quad (4.76)$$

对任意的 $w = re^{i\theta}$, $r > 1$, 有

$$z = J(w) = x + iy \equiv a_r \cos \theta + i b_r \sin \theta,$$

式中:

$$a_r = \frac{1}{2}(r + r^{-1}), \quad b_r = \frac{1}{2}(r - r^{-1}). \quad (4.77)$$

从几何上看, J 将 w 平面内的圆

$$C_r = \{w = re^{i\theta} : 0 \leq \theta \leq 2\pi\},$$



Back

Close



映射到 z 平面的一个椭圆

$$E_r = \left\{ z = x + iy : \frac{x^2}{a_r^2} + \frac{y^2}{b_r^2} = 1 \right\}.$$

显然, 这一映射也将 w 平面内的圆

$$C_{r-1} = \{ w = r^{-1}e^{-i\theta} : 0 \leq \theta \leq 2\pi \},$$

映射到了 E_r .

当 $r = 1$ 时, 有 $b_r = 0$. 此时 $z = J(w) = \cos \theta$, 即 J 把单位圆周映射到 z 平面内的线段 $[-1, 1]$. 当 θ 从 0 变到 π 时, z 从 1 变到 -1 ; 而当 θ 从 π 变到 2π 时, z 从 -1 变到 1.

当 C_r 连续地收缩到单位圆周 C_1 时, E_r 将连续地收缩到线段 $[-1, 1]$. 因此, 由 E_r 所包围的区域

$$E_r = \left\{ z = x + iy : \frac{x^2}{a_r^2} + \frac{y^2}{b_r^2} \leq 1 \right\}$$



Back

Close



中的每一个点 z , 在圆环

$$C_{1,r} = \{w : 1 \leq |w| \leq r\}$$

中都存在一个点 w , 使得 $z = J(w)$, 即 $J(C_{1,r}) = E_r$.

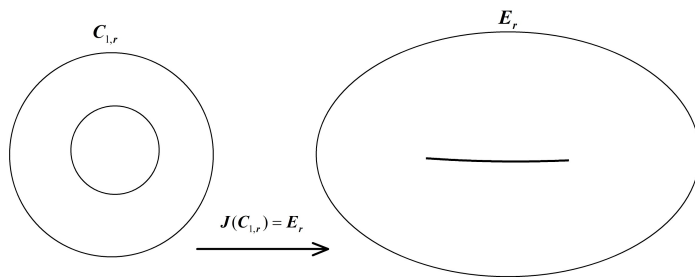


图 4.8 儒可夫斯基映射 $z = J(w)$

现在将 z 平面沿线段 $[-1, 1]$ 切开, 取定 $\sqrt{z^2 - 1}$ 的一个解析分支, 使得

$$w = z + \sqrt{z^2 - 1} \equiv J^{-1}(z). \quad (4.78)$$

刚好在单位圆外, 即 $|w| \geq 1$. 显然, J^{-1} 刚好将 z 平面内的椭圆 E_r





映射到 w 平面内的圆环 $C_{1,r}$, 而且有 $J^{-1}(E_r) = C_{1,r}$.

下面考察 z 平面内的一个中心位于 $z_c = x_c + i y_c$ 的椭圆

$$E(a, b; z_c) = \left\{ z = x + i y : \frac{(x - x_c)^2}{a^2} + \frac{(y - y_c)^2}{b^2} = 1 \right\},$$

这里 $0 < b < a$. 令 $d = \sqrt{a^2 - b^2}$, 即 d 为椭圆的半焦距. 现在作平移伸缩变换

$$\tilde{z} = \frac{z - z_c}{d} \quad \left(\text{即 } \tilde{x} = \frac{x - x_c}{d}, \quad \tilde{y} = \frac{y - y_c}{d} \right),$$

则该变换将椭圆 $E(a, b; z_c)$ 变为中心在原点的椭圆

$$E_{\tilde{r}} = \left\{ \tilde{z} = \tilde{x} + i \tilde{y} : \frac{\tilde{x}^2}{a_{\tilde{r}}^2} + \frac{\tilde{y}^2}{b_{\tilde{r}}^2} = 1 \right\},$$

式中: \tilde{r} 为

$$\frac{a}{d} = \frac{1}{2}(r + r^{-1})$$



Back

Close

的最大根

$$\tilde{r} = \frac{a}{d} + \sqrt{\left(\frac{a}{d}\right)^2 - 1}, \quad (4.79)$$

$a_{\tilde{r}}$ 和 $b_{\tilde{r}}$ 是在式 (4.77) 中将 r 换作 \tilde{r} 而得到的.

再由儒科夫斯基映射的性质, 映射

$$\frac{z - z_c}{d} = \frac{w + w^{-1}}{2} \quad (4.80)$$

实现了区域

$$E(a, b; z_c) = \left\{ z = x + iy : \frac{(x - x_c)^2}{a^2} + \frac{(y - y_c)^2}{b^2} \leq 1 \right\} \quad (4.81)$$

与圆环

$$C_{1, \tilde{r}} = \{w : 1 \leq |w| \leq \tilde{r}\} \quad (4.82)$$

之间的点与点之间的一一对应关系.



98/294



Back

Close

3. 复变元的 Chebyshev 多项式

借助儒科夫斯基映射, 定义函数

$$C_k(z) = \frac{1}{2}(w^k + w^{-k}), \quad (4.83)$$

式中:

$$z = \frac{1}{2}(w + w^{-1}).$$

由定义显然有

$$\begin{aligned} C_0(z) &= \frac{1}{2}(w^0 + w^0) = 1, \\ C_1(z) &= \frac{1}{2}(w + w^{-1}) = z. \end{aligned}$$



99/294



Back

Close



而且容易导出

$$\begin{aligned} zC_k(z) &= \frac{1}{2}(w + w^{-1}) \cdot \frac{1}{2}(w^k + w^{-k}) \\ &= \frac{1}{4}[(w^{k+1} + w^{-(k+1)}) + (w^{k-1} + w^{-(k-1)})] \\ &= \frac{1}{2}[C_{k+1}(z) + C_{k-1}(z)], \end{aligned}$$

从而有

$$C_{k+1}(z) = 2zC_k(z) - C_{k-1}(z).$$

这表明由式 (4.83) 所定义的复变函数就是第一类 Chebyshev 多项式. 换句话说, 式 (4.83) 是复变元的 Chebyshev 多项式的另一种表达方式.

再由式 (4.78), 即知式 (4.83) 又可写为

$$C_k(z) = \frac{1}{2} \left[\left(z + \sqrt{z^2 - 1} \right)^k + \left(z - \sqrt{z^2 - 1} \right)^{-k} \right].$$



Back

Close



4. GMRES 方法的收敛性定理

现在考虑 GMRES 方法的收敛性和误差估计. 设 \mathbf{A} 是对角化的, 即存在一个非奇异矩阵 $\mathbf{X} \in \mathbb{R}^{n \times n}$, 使得 $\mathbf{A} = \mathbf{X}\mathbf{\Lambda}\mathbf{X}^{-1}$, 其中 $\mathbf{\Lambda} = \text{diag}\{\lambda_1, \lambda_2, \dots, \lambda_n\}$. 注意到

$$\psi(\mathbf{A}) = \mathbf{X}\psi(\mathbf{\Lambda})\mathbf{X}^{-1}, \quad \psi(\mathbf{\Lambda}) = \text{diag}\{\psi(\lambda_1), \psi(\lambda_2), \dots, \psi(\lambda_n)\},$$

由式 (4.67), 得

$$\|\mathbf{r}_k\|_2 \leq \|\mathbf{X}\|_2 \cdot \|\mathbf{X}^{-1}\|_2 \min_{\psi \in \mathcal{P}_k^0} \max_{1 \leq i \leq n} |\psi(\lambda_i)| \cdot \|\mathbf{r}_0\|_2. \quad (4.84)$$

再定义

$$\nu(\mathbf{A}) = \inf\{\|\mathbf{X}\|_2 \|\mathbf{X}^{-1}\|_2 : \mathbf{A} = \mathbf{X}\mathbf{\Lambda}\mathbf{X}^{-1}\}, \quad (4.85)$$

则有

$$\|\mathbf{r}_k\|_2 \leq \nu(\mathbf{A}) \min_{\psi \in \mathcal{P}_k^0} \max_{1 \leq i \leq n} |\psi(\lambda_i)| \cdot \|\mathbf{r}_0\|_2, \quad (4.86)$$

其中由式 (4.85) 所定义的数 $\nu(\mathbf{A})$ 被称为 \mathbf{A} 的谱条件数.



Back

Close



下面通过选择特殊的多项式 $\psi \in \mathcal{P}_k^0$ 给出

$$\min_{\psi \in \mathcal{P}_k^0} \max_{1 \leq i \leq n} |\psi(\lambda_i)|$$

的尽可能小的上界估计. 由于这里的 λ_i 可能是复数, 因此比对称矩阵时的相应估计要困难得多, 需要用到复变元 Chebyshev 多项式的有关性质.

定理 4.8 设式 (4.51) 的系数矩阵 \mathbf{A} 是对角化的, 并满足

$$\lambda(\mathbf{A}) \subset E(a, b; z_c),$$

其中 $z_c = c$, 而且 $0 < b < a < c$, 并假设 GMRES 方法已经进行了 k 步得到了 \mathbf{x}_k , 则残量 $\mathbf{r}_k = \mathbf{b} - \mathbf{A}\mathbf{x}_k$ 满足

$$\frac{\|\mathbf{r}_k\|_2}{\|\mathbf{r}_0\|_2} \leq 2\nu(\mathbf{A}) \left(\frac{a+b}{c + \sqrt{c^2 + b^2 - a^2}} \right)^k, \quad (4.87)$$

这里的 $\nu(\mathbf{A})$ 由式 (4.85) 所定义.



Back

Close



证明 令 $d = \sqrt{a^2 - b^2}$, 并定义

$$\widehat{\psi}(z) = C_k\left(\frac{z - z_c}{d}\right) / C_k\left(\frac{-z_c}{d}\right),$$

则有 $\widehat{\psi} \in \mathcal{P}_k^0$. 这样, 由式 (4.86), 有

$$\frac{\|\mathbf{r}_k\|_2}{\|\mathbf{r}_0\|_2} \leq \nu(\mathbf{A}) \max_{\lambda \in \lambda(\mathbf{A})} |\widehat{\psi}(\lambda)| \leq \nu(\mathbf{A}) \max_{z \in E(a, b, z_c)} |\widehat{\psi}(z)|. \quad (4.88)$$

由式 (4.83) 和式 (4.88), 有

$$C_k\left(\frac{z - z_c}{d}\right) = \frac{1}{2}(w^k + w^{-k}). \quad (4.89)$$

式中:

$$\frac{z - z_c}{d} = \frac{1}{2}(w + w^{-1}). \quad (4.90)$$

注意: 式 (4.90) 所定义的映射实现了区域 $E(a, b, z_c)$ 与圆环 $C_{1, \tilde{r}}$ 之间的点与点之间的一一对应关系, 有

$$\max_{z \in E(a, b, z_c)} |\widehat{\psi}(z)| = \max_{w \in C_{1, \tilde{r}}} \left| \frac{w^k + w^{-k}}{2C_k(-z_c/d)} \right|. \quad (4.91)$$



Back

Close



在式 (4.90) 中令 $z = 0$, 得

$$-\frac{z_c}{d} = -\frac{c}{d} = \frac{1}{2}(w_0 + w_0^{-1}). \quad (4.92)$$

解此方程, 并选择其模最大者, 即

$$w_0 = -\frac{c}{d} - \sqrt{\left(\frac{c}{d}\right)^2 - 1}. \quad (4.93)$$

此外, 对任意的 $w = re^{i\theta}$, 其中 $1 \leq r \leq \tilde{r}$, 有

$$w^k + w^{-k} = (r^k + r^{-k}) \cos k\theta + i(r^k - r^{-k}) \sin k\theta,$$

从而有

$$\begin{aligned} |w^k + w^{-k}|^2 &= (r^k + r^{-k})^2 \cos^2 k\theta + (r^k - r^{-k})^2 \sin^2 k\theta \\ &= (r^k - r^{-k})^2 + 4 \cos^2 k\theta. \end{aligned}$$

显然, 该函数在圆周 $w = re^{i\theta}$ 上的最大值为

$$(r^k - r^{-k})^2 + 4 = (r^k + r^{-k})^2,$$



Back

Close

从而

$$|w^k + w^{-k}| \leq r^k + r^{-k}, \quad w = re^{i\theta}. \quad (4.94)$$

这样, 由式 (4.89), 式 (4.91), 式 (4.92) 和式 (4.94), 有

$$\max_{z \in E(a, b, z_c)} |\hat{\psi}(z)| = \frac{\tilde{r}^k + \tilde{r}^{-k}}{|w_0^k + w_0^{-k}|}, \quad (4.95)$$

这里 \tilde{r} 由 (4.79) 定义.

此外, 由 \tilde{r} 的定义式 (4.79), w_0 的定义 (4.93) 以及 $d^2 = a^2 - b^2$, 得

$$\tilde{r} = \frac{a + b}{d}, \quad w_0 = -\frac{c + \sqrt{c^2 + b^2 - a^2}}{d},$$



从而

$$\begin{aligned} & \frac{\widetilde{r}^k + \widetilde{r}^{-k}}{|w_0^k + w_0^{-k}|} \\ &= \frac{[(a+b)/d]^k + [(a+b)/d]^{-k}}{\left[(c + \sqrt{c^2 + b^2 - a^2})/d\right]^k + \left[(c + \sqrt{c^2 + b^2 - a^2})/d\right]^{-k}} \\ &= \left(\frac{a+b}{c + \sqrt{c^2 + b^2 - a^2}}\right)^k \frac{1 + [d/(a+b)]^{2k}}{1 + [(c + \sqrt{c^2 + b^2 - a^2})/d]^{-2k}} \\ &\leq \left(\frac{a+b}{c + \sqrt{c^2 + b^2 - a^2}}\right)^k \left[1 + \left(\frac{a-b}{a+b}\right)^k\right] \\ &\leq 2 \left(\frac{a+b}{c + \sqrt{c^2 + b^2 - a^2}}\right)^k. \end{aligned} \tag{4.96}$$

将式 (4.96), 式 (4.95) 和式 (4.88) 结合起来即得定理的结论. 证毕.

□



106/294



Back

Close

§4.3 极小残量法



107/294

本节介绍求解对称不定线性方程组

$$Ax = b \quad (4.97)$$

的极小残量法, 其中系数矩阵 A 是给定的对称不定矩阵 (其特征值有正有负), $b \in \mathbb{R}^n$ 是给定的列向量, 而 $x \in \mathbb{R}^n$ 是待求的未知向量.

若将 4.1 节所介绍的共轭梯度法应用到这类线性方程组上, 其投影方程组 (4.13) 的系数矩阵 T_k 就可能是奇异的, 从而导致算法失败 (即在没有求得式 (4.97) 的很好的近似解之前就发生中断). 基于这种情况, Paige 和 Saunders 于 1975 年在文献 [26] 中提出了一种克服这一困难的方法, 导出了求解对称不定线性方程组的 SYMMLQ 方法. 此外, 在该文献中还给出了求解这类方程组的



Back

Close



极小残量法 (MINRES). 本节着重介绍极小残量法, SYMMLQ 方法将在后面再做介绍.

§4.3.1 MINRES 方法

极小残量法的出发点是寻找一个 $\mathbf{x}_k \in \mathbf{x}_0 + \mathcal{K}_k(\mathbf{A}, \mathbf{r}_0)$, 使得

$$\|\mathbf{r}_k\|_2 = \min\{\|\mathbf{b} - \mathbf{A}\mathbf{x}\|_2 : \mathbf{x} \in \mathbf{x}_0 + \mathcal{K}_k(\mathbf{A}, \mathbf{r}_0)\}, \quad (4.98)$$

这里 $\mathbf{r}_k = \mathbf{b} - \mathbf{A}\mathbf{x}_k$ 是残量, 而 $\mathcal{K}_k(\mathbf{A}, \mathbf{r}_0)$ 是由矩阵 \mathbf{A} 和向量 \mathbf{r}_0 所生成的 Krylov 子空间.

假设已经求得一个以 $\mathbf{v}_1 = \mathbf{r}_0 / \|\mathbf{r}_0\|_2$ 为初始向量的长度为 k 的 Lanczos 分解

$$\mathbf{A}\mathbf{V}_k = \mathbf{V}_{k+1}\tilde{\mathbf{T}}_k, \quad (4.99)$$



Back

Close

式中:

$$\mathbf{V}_{k+1} = [\mathbf{V}_k, \mathbf{v}_{k+1}] = [\mathbf{v}_1, \mathbf{v}_2, \cdots, \mathbf{v}_k, \mathbf{v}_{k+1}] \in \mathbb{R}^{n \times (k+1)}$$

满足 $\mathbf{V}_{k+1}^T \mathbf{V}_{k+1} = \mathbf{I}_{k+1}$, 而 $\tilde{\mathbf{T}}_k$ 是 $(k+1) \times k$ 阶的三对角矩阵, 即

$$\tilde{\mathbf{T}}_k = \begin{bmatrix} \alpha_1 & \beta_1 & & & \\ \beta_1 & \alpha_2 & \beta_2 & & \\ & \ddots & \ddots & \ddots & \\ & & \beta_{k-2} & \alpha_{k-1} & \beta_{k-1} \\ & & & \beta_{k-1} & \alpha_k \\ & & & 0 & \beta_k \end{bmatrix}, \quad \beta_i \neq 0. \quad (4.100)$$

注意到 $\mathcal{K}_k(\mathbf{A}, \mathbf{r}_0) = \mathcal{R}(\mathbf{V}_k)$, 则对任意的 $\mathbf{x} = \mathbf{x}_0 + \mathbf{V}_k \mathbf{z} \in \mathbf{x}_0 + \mathcal{K}_k(\mathbf{A}, \mathbf{r}_0)$, 有





$$\begin{aligned}
\|\mathbf{b} - \mathbf{A}\mathbf{x}\|_2 &= \|\mathbf{r}_0 - \mathbf{A}\mathbf{V}_k\mathbf{z}\|_2 = \|\beta\mathbf{V}_{k+1}\mathbf{e}_1 - \mathbf{V}_{k+1}\tilde{\mathbf{T}}_k\mathbf{z}\|_2 \\
&= \|\mathbf{V}_{k+1}(\beta\mathbf{e}_1 - \tilde{\mathbf{T}}_k\mathbf{z})\|_2 = \|\beta\mathbf{e}_1 - \tilde{\mathbf{T}}_k\mathbf{z}\|_2, \quad (4.101)
\end{aligned}$$

式中: $\beta = \|\mathbf{r}_0\|_2$. 这样求 $\mathbf{x}_k \in \mathbf{x}_0 + \mathcal{K}_k(\mathbf{A}, \mathbf{r}_0)$ 满足式 (4.98) 就等价于求 $\mathbf{z}_k \in \mathbb{R}^k$, 使得

$$\|\beta\mathbf{e}_1 - \tilde{\mathbf{T}}_k\mathbf{z}_k\|_2 = \min\{\|\beta\mathbf{e}_1 - \tilde{\mathbf{T}}_k\mathbf{z}\|_2 : \mathbf{z} \in \mathbb{R}^k\}. \quad (4.102)$$

一旦这样的 \mathbf{z}_k 求得, 则所寻求的 \mathbf{x}_k 就是 $\mathbf{x}_k = \mathbf{x}_0 + \mathbf{V}_k\mathbf{z}_k$.

极小化问题 (4.102) 是一个系数矩阵为三对角矩阵的最小二乘问题, 现在已有很多十分成熟的数值方法来求它的解. 这里将用 QR 分解来求解式 (4.102).

由于 $\tilde{\mathbf{T}}_k$ 具有式 (4.100) 所示形状, 故可以计算 k 个 Givens 变



Back

Close

换 G_1, G_2, \dots, G_k , 使得

$$G_k G_{k-1} \cdots G_2 G_1 \tilde{T}_k = \begin{bmatrix} R_k \\ 0 \end{bmatrix}, \quad (4.103)$$

式中:

$$G_i = \text{diag} \left(I_{i-1}, \begin{bmatrix} c_i & s_i \\ -s_i & c_i \end{bmatrix}, I_{k-i} \right) \in \mathbb{R}^{(k+1) \times (k+1)}, \quad c_i^2 + s_i^2 = 1,$$

$$R_k = \begin{bmatrix} \gamma_1 & \delta_1 & \varepsilon_1 & & \\ & \gamma_2 & \delta_2 & \cdots & \\ & & \cdots & \cdots & \varepsilon_{k-2} \\ & & & \gamma_{k-1} & \delta_{k-1} \\ & & & & \gamma_k \end{bmatrix}, \quad (4.104)$$





而且 $\beta_i \neq 0$ 蕴涵着 $\gamma_i \neq 0$, $i = 1, 2, \dots, k$, 从而 \mathbf{R}_k 是非奇异的. 令

$$\mathbf{G} = \mathbf{G}_k \mathbf{G}_{k-1} \cdots \mathbf{G}_2 \mathbf{G}_1, \quad \begin{bmatrix} \mathbf{t}_k \\ \rho_k \end{bmatrix} = \mathbf{G}(\beta \mathbf{e}_1), \quad \mathbf{t}_k = (\tau_1, \tau_2, \dots, \tau_k)^\mathrm{T}, \quad (4.105)$$

则 \mathbf{G} 是 $k+1$ 阶正交矩阵, 且 τ_k, ρ_k 如式 (4.58) 所定义, 即

$$\begin{cases} \tau_1 = \beta c_1, \\ \tau_i = (-1)^{i-1} \beta s_1 s_2 \cdots s_{i-1} c_i, \quad i = 2, 3, \dots, k, \\ \rho_k = (-1)^k \beta s_1 s_2 \cdots s_k. \end{cases} \quad (4.106)$$

这样, 利用分解式 (4.103) 和记号 (4.105), 有

$$\begin{aligned} \|\tilde{\mathbf{T}}_k \mathbf{z} - \beta \mathbf{e}_1\|_2^2 &= \|\mathbf{G}(\tilde{\mathbf{T}}_k \mathbf{z} - \beta \mathbf{e}_1)\|_2^2 = \left\| \begin{bmatrix} \mathbf{R}_k \\ \mathbf{0} \end{bmatrix} \mathbf{z} - \begin{bmatrix} \mathbf{t}_k \\ \rho_k \end{bmatrix} \right\|_2^2 \\ &= \|\mathbf{R}_k \mathbf{z} - \mathbf{t}_k\|_2^2 + \rho_k^2. \end{aligned}$$



Back

Close



对任意的 $z \in \mathbb{R}^k$ 成立. 由此立即知道, 最小二乘问题 (4.102) 有唯一解, 即

$$z_k = R_k^{-1} t_k, \quad (4.107)$$

而且有

$$\|\tilde{T}_k z_k - \beta e_1\|_2 = |\rho_k|. \quad (4.108)$$

由式 (4.107) 求得 z_k 之后, 就可算出所求的 x_k 为 $x_k = x_0 + V_k z_k$.

由式 (4.101) 和式 (4.108), 得

$$\|r_k\|_2 = \|b - Ax_k\|_2 = \|\tilde{T}_k z_k - \beta e_1\|_2 = |\rho_k|,$$

故在实际计算时, 可以用

$$|\rho_k|/\beta \leq \varepsilon \quad (4.109)$$

作为迭代终止的准则, 其中 $\varepsilon > 0$ 是给定的误差要求.



Back

Close



由式 (4.106) 可知, ρ_k 的值并不需要 z_k 和 x_k 的信息. 因此, 只需在 ρ_k 满足式 (4.109) 之后, 再去计算 z_k 和 x_k 即可.

至此, 已经给出了求解极小化问题 (4.98) 的具体方法, 然而这样做的一个最大缺点就是需要保存 V_k 的所有列向量, 随着 k 的增加, 存储量的需求会越来越大. 幸运的是, 在文献 [26] 中还给出了一种巧妙的方法来避免这种情形的出现. 这一方法的具体做法是不将 z_k 明确求出, 而是由 z_k 直接导出计算 x_k 的递推公式.

将式 (4.107) 代入 $x_k = x_0 + V_k z_k$, 得

$$x_k = x_0 + V_k R_k^{-1} t_k = x_0 + P_k t_k, \quad (4.110)$$

式中: $P_k = V_k R_k^{-1}$. 这样, 只要将 P_k 算出, 就可以通过式 (4.110) 计算 x_k . 令 $P_k = [p_1, p_2, \dots, p_k]$, 比较 $P_k R_k = V_k$ 两边的每一列, 得



Back

Close



$$\gamma_1 \mathbf{p}_1 = \mathbf{v}_1,$$

$$\delta_1 \mathbf{p}_1 + \gamma_2 \mathbf{p}_2 = \mathbf{v}_2,$$

$$\varepsilon_{i-2} \mathbf{p}_{i-2} + \delta_{i-1} \mathbf{p}_{i-1} + \gamma_i \mathbf{p}_i = \mathbf{v}_i, \quad i = 3, 4, \dots, k.$$

由此可求得 \mathbf{P}_k 的列向量为

$$\begin{cases} \mathbf{p}_1 = \mathbf{v}_1 / \gamma_1, \\ \mathbf{p}_2 = (\mathbf{v}_2 - \delta_1 \mathbf{p}_1) / \gamma_2, \\ \mathbf{p}_i = (\mathbf{v}_i - \varepsilon_{i-2} \mathbf{p}_{i-2} - \delta_{i-1} \mathbf{p}_{i-1}) / \gamma_i, \quad i = 3, 4, \dots, k. \end{cases} \quad (4.111)$$

下面借助式 (4.106), 式 (4.110) 和式 (4.111) 导出计算 \mathbf{x}_k 的递推公式.

首先注意, 若 Lanczos 分解的长度由 k 增加到 $k+1$, 则有

$$\tilde{\mathbf{T}}_{k+1} = \left[\begin{array}{c|c} \tilde{\mathbf{T}}_k & \tilde{\mathbf{t}}_{k+1} \\ \hline \mathbf{0} & \beta_{k+1} \end{array} \right], \quad \tilde{\mathbf{t}}_{k+1} = (0, \dots, 0, \beta_k, \alpha_{k+1})^T,$$



Back

Close

于是, 有

$$\mathbf{R}_{k+1} = \left[\begin{array}{c|c} \mathbf{R}_k & \tilde{\mathbf{r}}_{k+1} \\ \hline \mathbf{0} & \gamma_{k+1} \end{array} \right], \quad \tilde{\mathbf{r}}_{k+1} = (0, \dots, 0, \varepsilon_{k-1}, \delta_k)^T, \quad (4.112)$$

式中:

$$\begin{aligned} \varepsilon_{k-1} &= s_{k-1}\beta_k, \quad \tilde{\beta}_k = c_{k-1}\beta_k, \\ \delta_k &= c_k\tilde{\beta}_k + s_k\alpha_{k+1}, \quad \tilde{\alpha}_{k+1} = -s_k\tilde{\beta}_k + c_k\alpha_{k+1}, \end{aligned} \quad (4.113)$$

上面的四个等式由如下 Givens 变换得到:

$$\tilde{\mathbf{T}}_{k+1} = \left[\begin{array}{cccc|cccc} \alpha_1 & \beta_1 & & & & & & \\ \beta_1 & \alpha_2 & \beta_2 & & & & & \\ & \ddots & \ddots & \ddots & & & & \\ & & & & \beta_{k-3} & \alpha_{k-2} & \beta_{k-2} & \\ & & & & & \beta_{k-2} & \alpha_{k-1} & \beta_{k-1} \\ & & & & & & \beta_{k-1} & \alpha_k & \beta_k \\ & & & & & & & \beta_k & \alpha_{k+1} \\ \hline & & & & & & & & \beta_{k+1} \end{array} \right] \xrightarrow{\mathbf{G}_1} \left[\begin{array}{ccc|cccc} \gamma_1 & \delta_1 & \varepsilon_1 & & & & & \\ 0 & \tilde{\alpha}_2 & \tilde{\beta}_2 & & & & & \\ & \ddots & \ddots & \ddots & & & & \\ & & & & \beta_{k-3} & \alpha_{k-2} & \beta_{k-2} & \\ & & & & & \beta_{k-2} & \alpha_{k-1} & \beta_{k-1} \\ & & & & & & \beta_{k-1} & \alpha_k & \beta_k \\ & & & & & & & \beta_k & \alpha_{k+1} \\ \hline & & & & & & & & \beta_{k+1} \end{array} \right]$$





$$\begin{array}{c}
 \xrightarrow{G_2} \dots \xrightarrow{G_{k-2}} \left[\begin{array}{cccc|c}
 \gamma_1 & \delta_1 & \varepsilon_1 & & \\
 & \gamma_2 & \delta_2 & \varepsilon_2 & \\
 & & \ddots & \ddots & \ddots \\
 & & & \gamma_{k-2} & \delta_{k-2} & \varepsilon_{k-2} \\
 & & & & \tilde{\alpha}_{k-1} & \tilde{\beta}_{k-1} \\
 & & & & \beta_{k-1} & \alpha_k & \beta_k \\
 & & & & & \beta_k & \alpha_{k+1} \\
 \hline
 & & & & & & \beta_{k+1}
 \end{array} \right] \\
 \\
 \xrightarrow{G_{k-1}} \left[\begin{array}{cccc|c}
 \gamma_1 & \delta_1 & \varepsilon_1 & & \\
 & \gamma_2 & \delta_2 & \varepsilon_2 & \\
 & & \ddots & \ddots & \ddots \\
 & & & \gamma_{k-2} & \delta_{k-2} & \varepsilon_{k-2} \\
 & & & & \gamma_{k-1} & \delta_{k-1} & \varepsilon_{k-1} \\
 & & & & & \tilde{\alpha}_k & \tilde{\beta}_k \\
 & & & & & \beta_k & \alpha_{k+1} \\
 \hline
 & & & & & & \beta_{k+1}
 \end{array} \right] \xrightarrow{G_k} \left[\begin{array}{cccc|c}
 \gamma_1 & \delta_1 & \varepsilon_1 & & \\
 & \gamma_2 & \delta_2 & \varepsilon_2 & \\
 & & \ddots & \ddots & \ddots \\
 & & & \gamma_{k-2} & \delta_{k-2} & \varepsilon_{k-2} \\
 & & & & \gamma_{k-1} & \delta_{k-1} & \varepsilon_{k-1} \\
 & & & & & \gamma_k & \delta_k \\
 & & & & & & \tilde{\alpha}_{k+1} \\
 \hline
 & & & & & & \beta_{k+1}
 \end{array} \right],
 \end{array}$$



即由

$$\begin{bmatrix} c_{k-1} & s_{k-1} \\ -s_{k-1} & c_{k-1} \end{bmatrix} \begin{bmatrix} 0 \\ \beta_k \end{bmatrix} = \begin{bmatrix} \varepsilon_{k-1} \\ \tilde{\beta}_k \end{bmatrix},$$
$$\begin{bmatrix} c_k & s_k \\ -s_k & c_k \end{bmatrix} \begin{bmatrix} \tilde{\beta}_k \\ \alpha_{k+1} \end{bmatrix} = \begin{bmatrix} \delta_k \\ \tilde{\alpha}_{k+1} \end{bmatrix}$$

得到. 而 γ_{k+1} 是在确定第 $k+1$ 个 Givens 变换 G_{k+1} 时得到的, 即计算 c_{k+1} 和 s_{k+1} , 使得

$$\begin{bmatrix} c_{k+1} & s_{k+1} \\ -s_{k+1} & c_{k+1} \end{bmatrix} \begin{bmatrix} \tilde{\alpha}_{k+1} \\ \beta_{k+1} \end{bmatrix} = \begin{bmatrix} \gamma_{k+1} \\ 0 \end{bmatrix}. \quad (4.114)$$

由式 (4.106) 可知 $\mathbf{t}_{k+1} = (\mathbf{t}_k^T, \tau_{k+1})^T$, 其中

$$\tau_{k+1} = (-1)^k \beta s_1 s_2 \cdots s_k c_{k+1} = \rho_k c_{k+1}, \quad (4.115)$$



118/294



Back

Close

而

$$\rho_{k+1} = (-1)^{k+1} \beta s_1 s_2 \cdots s_k s_{k+1} = -\rho_k s_{k+1}. \quad (4.116)$$

由式 (4.111) 和式 (4.112), 有

$$\mathbf{P}_{k+1} = \mathbf{V}_{k+1} \mathbf{R}_{k+1}^{-1} = [\mathbf{V}_k, \mathbf{v}_{k+1}] \left[\begin{array}{c|c} \mathbf{R}_k^{-1} & \mathbf{s}_{k+1} \\ \hline \mathbf{0} & \gamma_{k+1}^{-1} \end{array} \right] = [\mathbf{P}_k, \mathbf{p}_{k+1}], \quad (4.117)$$

其中

$$\mathbf{p}_{k+1} = (\mathbf{v}_{k+1} - \varepsilon_{k-1} \mathbf{p}_{k-1} - \delta_k \mathbf{p}_k) / \gamma_{k+1}. \quad (4.118)$$

这是由于

$$\begin{aligned} \mathbf{I}_{k+1} &= \mathbf{R}_{k+1} \mathbf{R}_{k+1}^{-1} = \left[\begin{array}{c|c} \mathbf{R}_k & \tilde{\mathbf{r}}_{k+1} \\ \hline \mathbf{0} & \gamma_{k+1} \end{array} \right] \left[\begin{array}{c|c} \mathbf{R}_k^{-1} & \mathbf{s}_{k+1} \\ \hline \mathbf{0} & \gamma_{k+1}^{-1} \end{array} \right] \\ &= \left[\begin{array}{c|c} \mathbf{I}_k & \mathbf{R}_k \mathbf{s}_{k+1} + \gamma_{k+1}^{-1} \tilde{\mathbf{r}}_{k+1} \\ \hline \mathbf{0} & 1 \end{array} \right], \end{aligned}$$





由此可得

$$\mathbf{R}_k \mathbf{s}_{k+1} + \gamma_{k+1}^{-1} \tilde{\mathbf{r}}_{k+1} = \mathbf{0} \implies \mathbf{s}_{k+1} = -\gamma_{k+1}^{-1} \mathbf{R}_k^{-1} \tilde{\mathbf{r}}_{k+1}.$$

于是

$$\begin{aligned} \mathbf{p}_{k+1} &= \mathbf{V}_k \mathbf{s}_{k+1} + \gamma_{k+1}^{-1} \mathbf{v}_{k+1} = -\gamma_{k+1}^{-1} \mathbf{V}_k \mathbf{R}_k^{-1} \tilde{\mathbf{r}}_{k+1} + \gamma_{k+1}^{-1} \mathbf{v}_{k+1} \\ &= (\mathbf{v}_{k+1} - \mathbf{P}_k \tilde{\mathbf{r}}_{k+1}) / \gamma_{k+1} = (\mathbf{v}_{k+1} - \varepsilon_{k-1} \mathbf{p}_{k-1} - \delta_k \mathbf{p}_k) / \gamma_{k+1}. \end{aligned}$$

从而有

$$\mathbf{x}_{k+1} = \mathbf{x}_0 + \mathbf{P}_{k+1} \mathbf{t}_{k+1} = \mathbf{x}_0 + [\mathbf{P}_k, \mathbf{p}_{k+1}] \begin{bmatrix} \mathbf{t}_k \\ \tau_{k+1} \end{bmatrix} = \mathbf{x}_k + \tau_{k+1} \mathbf{p}_{k+1}. \quad (4.119)$$

这就有人们希望得到的 \mathbf{x}_k 的递推公式. 这样, 每次迭代只需保存 $\mathbf{x}_k, \mathbf{p}_{k-1}, \mathbf{p}_k, \mathbf{v}_k, \mathbf{v}_{k+1}$ 这五个向量即可.

综述上面的讨论, 就得到了如下的极小残量方法.



Back

Close



121/294

算法 4.9 (MINRES 方法) 给定 n 阶非奇异的实对称矩阵 \mathbf{A} , n 维向量 \mathbf{b} 和允许误差 $\varepsilon > 0$. 本算法计算近似解向量 \mathbf{x}_k , 使得 $\|\mathbf{r}_k\|_2/\|\mathbf{r}_0\|_2 \leq \varepsilon$, 其中 $\mathbf{r}_k = \mathbf{b} - \mathbf{A}\mathbf{x}_k$.

选取 \mathbf{x}_0 ; $\mathbf{r}_0 = \mathbf{b} - \mathbf{A}\mathbf{x}_0$; $\beta = \|\mathbf{r}_0\|_2$; $\mathbf{v}_1 = \mathbf{r}_0/\beta$;

$\alpha_1 = \mathbf{v}_1^T \mathbf{A} \mathbf{v}_1$; $\mathbf{u} = \mathbf{A} \mathbf{v}_1 - \alpha_1 \mathbf{v}_1$; $\beta_1 = \|\mathbf{u}\|_2$;

if $\beta_1 = 0$

$\mathbf{x}_1 = \mathbf{x}_0 + \mathbf{r}_0/\alpha_1$; 结束

else

$\mathbf{v}_2 = \mathbf{u}/\beta_1$;

end

$c_0 = 1$; $s_0 = 0$; $\mathbf{p}_0 = \mathbf{0}$;

确定 $c_1 = \cos \theta_1$ 和 $s_1 = \sin \theta_1$, 使得



Back

Close



$$\begin{bmatrix} c_1 & s_1 \\ -s_1 & c_1 \end{bmatrix} \begin{bmatrix} \alpha_1 \\ \beta_1 \end{bmatrix} = \begin{bmatrix} \gamma_1 \\ 0 \end{bmatrix};$$

$$\mathbf{p}_1 = \mathbf{v}_1/\gamma_1; \quad \rho_1 = -\beta s_1; \quad \tau_1 = \beta c_1;$$

$$\mathbf{x}_1 = \mathbf{x}_0 + \tau_1 \mathbf{p}_1; \quad k = 1;$$

while ($|\rho_k|/\beta > \varepsilon$)

$$\alpha_{k+1} = \mathbf{v}_{k+1}^T \mathbf{A} \mathbf{v}_{k+1};$$

$$\mathbf{u} = \mathbf{A} \mathbf{v}_{k+1} - \alpha_{k+1} \mathbf{v}_{k+1} - \beta_k \mathbf{v}_k;$$

$$\beta_{k+1} = \|\mathbf{u}\|_2;$$

if $\beta_{k+1} \neq 0$

$$\mathbf{v}_{k+2} = \mathbf{u}/\beta_{k+1};$$

end

$$\varepsilon_{k-1} = s_{k-1} \beta_k; \quad \tilde{\beta}_k = c_{k-1} \beta_k;$$

$$\delta_k = c_k \tilde{\beta}_k + s_k \alpha_{k+1}; \quad \tilde{\alpha}_{k+1} = -s_k \tilde{\beta}_k + c_k \alpha_{k+1};$$



Back

Close



123/294

确定 $c_{k+1} = \cos \theta_{k+1}$ 和 $s_{k+1} = \sin \theta_{k+1}$, 使得

$$\begin{bmatrix} c_{k+1} & s_{k+1} \\ -s_{k+1} & c_{k+1} \end{bmatrix} \begin{bmatrix} \tilde{\alpha}_{k+1} \\ \beta_{k+1} \end{bmatrix} = \begin{bmatrix} \gamma_{k+1} \\ 0 \end{bmatrix};$$

$$\tau_{k+1} = \rho_k c_{k+1}; \quad \rho_{k+1} = -\rho_k s_{k+1};$$

$$\mathbf{p}_{k+1} = (\mathbf{v}_{k+1} - \varepsilon_{k-1} \mathbf{p}_{k-1} - \delta_k \mathbf{p}_k) / \gamma_{k+1};$$

$$\mathbf{x}_{k+1} = \mathbf{x}_k + \tau_{k+1} \mathbf{p}_{k+1};$$

$$k = k + 1;$$

end

MINRES 方法的 MATLAB 程序如下:

%MINRES方法的程序-mminres.m

```
function [x,iter,time,res,resvec]=mminres(A,b,x,max_it,tol)
```

%极小残量法求解对称不定方程组Ax=b

```
tic; r=b-A*x; b=norm(r); v=r/b; bt=b;
```



Back

Close



124/294

```
z=A*v; a=v'*z; v=z-a*v; b1=norm(v);  
if (b1~=0), v1=v/b1; end  
c0=1; s0=0; p0=zeros(length(b),1);  
[c,s,gama]=givens(a,b1); %Givens变换  
p=v/gama; rho=-b*s; tau=b*c;  
x=x+tau*p; iter=1;  
while (iter<max_it)  
    res=abs(rho)/bt; resvec(iter)=res;  
    if (res<tol), break; end  
    z=A*v1; a=v1'*z; v=z-a*v1-b1*v; b2=norm(v);  
    if (b2~=0), v2=v/b2; end  
    epsi=s0*b1; bh1=c0*b1;  
    dta=c*bh1+s*a; ah=-s*bh1+c*a;
```



Back

Close



125/294

```
[c1,s1,gama]=givens(ah,b2); %Givens变换  
tau=rho*c1; rho=-rho*s1;  
p1=(v1-epsi*p0-dta*p)/gama;  
x=x+tau*p1; b1=b2; iter=iter+1;  
v=v1; v1=v2; p0=p; p=p1;  
c0=c; c=c1; s0=s; s=s1;  
  
end  
  
time=toc;
```

例 4.8 假设线性方程组 $Ax = b$, 其中矩阵 A 来自

<http://www.cise.ufl.edu./research/sparse/matrices/PARSESEC/SiNa.html>,



Back

Close

它是一个 5743 阶的实对称不定稀疏矩阵, 右端项 \mathbf{b} 为

$$\mathbf{b} = \mathbf{A} \begin{bmatrix} 1 \\ \vdots \\ 1 \end{bmatrix} \in \mathbb{R}^n.$$

显然, 该方程组的真解为 $\mathbf{x}^* = (1, 1, \dots, 1)^T$. 应用算法 4.9 到该线性方程组上, 第 224 步得到的 $\hat{\mathbf{x}} = \mathbf{x}_{224}$ 满足

$$\|\hat{\mathbf{x}} - \mathbf{x}^*\|_2 = 5.9139 \times 10^{-8},$$

迭代过程的收敛轨迹如图 4.9 所示, 其中横坐标为迭代步数 k , 纵坐标为相对残差 $\|\mathbf{r}_k\|_2 / \|\mathbf{r}_0\|_2$, 这里 \mathbf{r}_k 是第 k 步得到的残差向量.



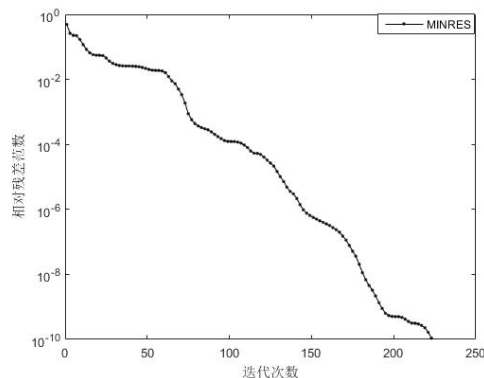


图 4.9 MINRES 方法的收敛特性

§4.3.2 PMINRES 方法

MINRES 方法 (算法 4.9) 与 4.1 节的共轭梯度法在形式上很不相同, 且不利于导出相应的预处理算法. 下面从另一个途径推导出与共轭梯度法形式类似的 MINRES 方法, 并由此导出预处理极小残量法 (简记为 PMINRES 方法) 的递推算法. 由前面的论述可知, 极小残量法就是求向量 z_k 及 $x_k = x_0 + V_k z_k$ 使得 $\|r_k\|_2^2$ 达到



Back

Close



极小, 其中 $\mathbf{r}_k = \mathbf{b} - \mathbf{A}\mathbf{x}_k$. 由于 $\mathcal{K}_k(\mathbf{A}, \mathbf{r}_0) = \text{span}\{\mathbf{v}_1, \mathbf{v}_2, \dots, \mathbf{v}_k\}$, 因此, 若记 $\mathbf{S}_k = [\mathbf{r}_0, \mathbf{A}\mathbf{r}_0, \dots, \mathbf{A}^{k-1}\mathbf{r}_0]$, 则 \mathbf{x}_k 也可表示成

$$\mathbf{x}_k = \mathbf{x}_0 + \mathbf{S}_k \mathbf{z}_k.$$

于是问题等价于求 \mathbf{z}_k 使 $\|\mathbf{r}_k\|_2^2$ 达到极小. 注意到

$$\begin{aligned} \|\mathbf{r}_k\|_2^2 &= (\mathbf{A}(\mathbf{x}^* - \mathbf{x}_k), \mathbf{A}(\mathbf{x}^* - \mathbf{x}_k)) \\ &= (\mathbf{A}^\text{T} \mathbf{A}(\mathbf{x}^* - \mathbf{x}_0 - \mathbf{S}_k \mathbf{z}_k), \mathbf{x}^* - \mathbf{x}_0 - \mathbf{S}_k \mathbf{z}_k). \end{aligned} \quad (4.120)$$

因为 $\mathbf{A}^\text{T} \mathbf{A} = \mathbf{A}^2$ 是对称正定矩阵, 因此可以定义一种新内积

$$(\mathbf{x}, \mathbf{z})_{\mathbf{A}^2} = (\mathbf{A}^\text{T} \mathbf{A} \mathbf{x}, \mathbf{z}),$$

因此

$$\|\mathbf{r}_k\|_2^2 = (\mathbf{x}^* - \mathbf{x}_0 - \mathbf{S}_k \mathbf{z}_k, \mathbf{x}^* - \mathbf{x}_0 - \mathbf{S}_k \mathbf{z}_k)_{\mathbf{A}^2}.$$



按照极小与正交关系定理, 可得 \mathbf{z}_k 当且仅当满足条件 (即 $\mathbf{r}_k \perp \mathcal{K}_k(\mathbf{A}, \mathbf{r}_0)$)

$$(\mathbf{x}^* - \mathbf{x}_0 - \mathbf{S}_k \mathbf{z}_k, \mathbf{A}^i \mathbf{r}_0)_{A^2} = 0, \quad i = 0, 1, \dots, k-1.$$

若将 Krylov 子空间 $\text{span}\{\mathbf{r}_0, \mathbf{A}\mathbf{r}_0, \dots, \mathbf{A}^{k-1}\mathbf{r}_0\}$ 按内积 $(\cdot, \cdot)_{A^2}$ 标准正交化得 $\mathbf{p}_0, \mathbf{p}_1, \dots, \mathbf{p}_{k-1}$, 则有

$$\mathbf{P}_k = [\mathbf{p}_0, \mathbf{p}_1, \dots, \mathbf{p}_{k-1}] = \mathbf{S}_k \mathbf{R}_k,$$

式中: \mathbf{R}_k 为上三角矩阵, 它在 $\mathbf{r}_0, \mathbf{A}\mathbf{r}_0, \dots, \mathbf{A}^{k-1}\mathbf{r}_0$ 线性无关的假设下是非奇异的, 且在对角元确定后是唯一确定的. 于是有

$$\mathbf{S}_k \mathbf{z}_k = \mathbf{P}_k \mathbf{R}_k^{-1} \mathbf{z}_k.$$

记 $\boldsymbol{\alpha}_k := \mathbf{R}_k^{-1} \mathbf{z}_k$, 则

$$\mathbf{x}_k = \mathbf{x}_0 + \mathbf{P}_k \boldsymbol{\alpha}_k.$$



注意到

$$P_k \alpha_k = \sum_{j=0}^{k-1} \alpha_j^{(k)} p_j.$$

由

$$(\mathbf{x}^* - \mathbf{x}_0 - P_k \alpha_k, \mathbf{p}_i)_{A^2} = 0, \quad i = 0, 1, \dots, k-1$$

及 \mathbf{p}_i 的 $(\cdot, \cdot)_{A^2}$ 正交性, 得

$$\begin{aligned} \alpha_i^{(k)} &= \frac{(\mathbf{x}^* - \mathbf{x}_0, \mathbf{p}_i)_{A^2}}{(\mathbf{p}_i, \mathbf{p}_i)_{A^2}} = \frac{(A\mathbf{x}^* - A\mathbf{x}_0, A\mathbf{p}_i)}{(A\mathbf{p}_i, A\mathbf{p}_i)} \\ &= \frac{(\mathbf{b} - A\mathbf{x}_0, A\mathbf{p}_i)}{(A\mathbf{p}_i, A\mathbf{p}_i)} = \frac{(\mathbf{r}_0, A\mathbf{p}_i)}{(A\mathbf{p}_i, A\mathbf{p}_i)}. \end{aligned}$$

注意到 $\alpha_i^{(k)}$ 计算公式与 k 无关, 于是可以得到简单的递推公式, 即





$$\begin{aligned}
 \mathbf{x}_k &= \mathbf{x}_0 + \mathbf{P}_k \boldsymbol{\alpha}_k = \mathbf{x}_0 + \sum_{i=0}^{k-1} \alpha_i \mathbf{p}_i \\
 &= \mathbf{x}_0 + \sum_{i=0}^{k-2} \alpha_i \mathbf{p}_i + \alpha_{k-1} \mathbf{p}_{k-1} \\
 &= \mathbf{x}_{k-1} + \alpha_{k-1} \mathbf{p}_{k-1}.
 \end{aligned}$$

现在剩下的问题是如何求得标准正交向量组 $\mathbf{p}_0, \mathbf{p}_1, \dots, \mathbf{p}_{k-1}$. 按照共轭梯度法的思想, 取

$$\mathbf{p}_0 = \mathbf{r}_0, \quad \mathbf{p}_1 = \mathbf{A}\mathbf{p}_0 + \gamma_0^{(1)} \mathbf{p}_0.$$

要使 $(\mathbf{p}_0, \mathbf{p}_1)_{A^2} = 0$, 必须

$$\gamma_0^{(1)} = -\frac{(\mathbf{A}\mathbf{p}_0, \mathbf{p}_0)_{A^2}}{(\mathbf{p}_0, \mathbf{p}_0)_{A^2}} = -\frac{(\mathbf{A}^2 \mathbf{p}_0, \mathbf{A}\mathbf{p}_0)}{(\mathbf{A}\mathbf{p}_0, \mathbf{A}\mathbf{p}_0)}.$$

然后选取

$$\mathbf{p}_2 = \mathbf{A}\mathbf{p}_1 + \gamma_1^{(2)} \mathbf{p}_1 + \gamma_0^{(2)} \mathbf{p}_0.$$



Back

Close



利用 p_0, p_1, p_2 的正交性, 分别用 p_1, p_0 与上式两边作 $(\cdot, \cdot)_{A^2}$ 内积, 得

$$\begin{aligned}\gamma_1^{(2)} &= -\frac{(Ap_1, p_1)_{A^2}}{(p_1, p_1)_{A^2}} = -\frac{(A^2 p_1, Ap_1)}{(Ap_1, Ap_1)}, \\ \gamma_0^{(2)} &= -\frac{(Ap_1, p_0)_{A^2}}{(p_0, p_0)_{A^2}} = -\frac{(A^2 p_1, Ap_0)}{(Ap_0, Ap_0)}.\end{aligned}$$

同理, 令

$$p_3 = Ap_2 + \gamma_2^{(3)} p_2 + \gamma_1^{(3)} p_1 + \gamma_0^{(3)} p_0.$$

分别用 p_2, p_1, p_0 与上式两边作 $(\cdot, \cdot)_{A^2}$ 内积得

$$\begin{aligned}\gamma_2^{(3)} &= -\frac{(Ap_2, p_2)_{A^2}}{(p_2, p_2)_{A^2}} = -\frac{(A^2 p_2, Ap_2)}{(Ap_2, Ap_2)}, \\ \gamma_1^{(3)} &= -\frac{(Ap_2, p_1)_{A^2}}{(p_1, p_1)_{A^2}} = -\frac{(A^2 p_2, Ap_1)}{(Ap_1, Ap_1)},\end{aligned}$$



Back

Close



$$\begin{aligned}\gamma_0^{(3)} &= -\frac{(Ap_2, p_0)_{A^2}}{(p_0, p_0)_{A^2}} = -\frac{(p_2, Ap_0)_{A^2}}{(p_0, p_0)_{A^2}} \\ &= -\frac{(p_2, p_1 - \gamma_0^{(1)} p_0)_{A^2}}{(p_0, p_0)_{A^2}} = 0.\end{aligned}$$

依此类推, 有

$$\begin{aligned}p_{i+1} &= Ap_i + \lambda_i p_i + \mu_i p_{i-1}, \\ \lambda_i &= -\frac{(A^2 p_i, Ap_i)}{(Ap_i, Ap_i)}, \quad \mu_i = -\frac{(A^2 p_i, Ap_{i-1})}{(Ap_{i-1}, Ap_{i-1})}, \\ \mu_0 &= 0, \quad i = 0, 1, 2, \dots.\end{aligned}$$

综合上述, 即可得到形式与共轭梯度法类似的极小残量递推算法:



Back

Close



取 $\mathbf{p}_0 = \mathbf{r}_0$, $\mu_0 = 0$, 对 $k = 0, 1, 2, \dots$ 进行下列计算直到满足终止条件:

$$\alpha_k = \frac{(\mathbf{r}_0, \mathbf{A}\mathbf{p}_k)}{(\mathbf{A}\mathbf{p}_k, \mathbf{A}\mathbf{p}_k)}, \quad \mathbf{x}_{k+1} = \mathbf{x}_k + \alpha_k \mathbf{p}_k; \quad (4.121)$$

$$\lambda_k = -\frac{(\mathbf{A}^2 \mathbf{p}_k, \mathbf{A}\mathbf{p}_k)}{(\mathbf{A}\mathbf{p}_k, \mathbf{A}\mathbf{p}_k)}, \quad \mu_k = -\frac{(\mathbf{A}^2 \mathbf{p}_k, \mathbf{A}\mathbf{p}_{k-1})}{(\mathbf{A}\mathbf{p}_{k-1}, \mathbf{A}\mathbf{p}_{k-1})},$$

$$\mathbf{p}_{k+1} = \mathbf{A}\mathbf{p}_k + \lambda_k \mathbf{p}_k + \mu_k \mathbf{p}_{k-1}. \quad (4.122)$$

上述算法每次迭代需要作两次矩阵与向量乘法 ($\mathbf{A}\mathbf{p}_k$, $\mathbf{A}(\mathbf{A}\mathbf{p}_k)$), 要存储四个向量 $\mathbf{x}_k, \mathbf{p}_k, \mathbf{p}_{k-1}, \mathbf{A}\mathbf{p}_k$, 计算量和存储量均为共轭梯度法的两倍.

回顾共轭梯度法中, 在求 \mathbf{p}_{k+1} 时利用了 \mathbf{r}_{k+1} 代替 $\mathbf{A}\mathbf{p}_k$ 来减少计算量和存储量. 在此, 也来分析一下 \mathbf{r}_{k+1} . 由

$$(\mathbf{x}^* - \mathbf{x}_0 - \mathbf{P}_k \boldsymbol{\alpha}_k, \mathbf{p}_i)_{A^2} = 0, \quad i = 0, 1, \dots, k-1,$$



Back

Close



可知

$$(\mathbf{x}^* - \mathbf{x}_k, \mathbf{p}_i)_{A^2} = 0, \quad i = 0, 1, \dots, k-1.$$

上式即

$$(\mathbf{r}_k, \mathbf{A}\mathbf{p}_i) = (\mathbf{A}(\mathbf{x}^* - \mathbf{x}_k), \mathbf{A}\mathbf{p}_i) = 0, \quad i = 0, 1, \dots, k-1. \quad (4.123)$$

但

$$\mathbf{r}_{k+1} = \mathbf{r}_k - \alpha_k \mathbf{A}\mathbf{p}_k, \quad (4.124)$$

即

$$\mathbf{r}_k = \mathbf{r}_{k+1} + \alpha_k \mathbf{A}\mathbf{p}_k,$$

故有

$$\|\mathbf{r}_k\|_2^2 = \|\mathbf{r}_{k+1}\|_2^2 + \alpha_k^2 \|\mathbf{A}\mathbf{p}_k\|_2^2.$$

因此, 只要 $\alpha_k \|\mathbf{A}\mathbf{p}_k\|_2 \neq 0$, 就必有

$$\|\mathbf{r}_{k+1}\|_2 < \|\mathbf{r}_k\|_2.$$



Back

Close



由式 (4.122), 有

$$\begin{aligned} \mathbf{p}_i &= \mathbf{A}\mathbf{p}_{i-1} + \lambda_{i-1}\mathbf{p}_{i-1} + \mu_{i-1}\mathbf{p}_{i-2} = \cdots \\ &= \mathbf{A}^i\mathbf{p}_0 + \sum_{s=0}^{i-1} \delta_s^{(i)} \mathbf{A}^s \mathbf{p}_0 = \mathbf{A}^i \mathbf{r}_0 + \sum_{s=0}^{i-1} \delta_s^{(i)} \mathbf{A}^s \mathbf{r}_0, \end{aligned}$$

得

$$\begin{aligned} \mathbf{r}_{i+1} &= \mathbf{r}_i - \alpha_i \mathbf{A} \mathbf{p}_i = \mathbf{r}_i - \alpha_i \mathbf{A} \left(\mathbf{A}^i \mathbf{r}_0 + \sum_{s=0}^{i-1} \delta_s^{(i)} \mathbf{A}^s \mathbf{r}_0 \right) \\ &= \mathbf{r}_i - \alpha_i \sum_{s=0}^{i-1} \delta_s^{(i)} \mathbf{A}^{s+1} \mathbf{r}_0 - \alpha_i \mathbf{A}^{i+1} \mathbf{r}_0 \\ &= \cdots = \mathcal{P}_i(\mathbf{A}) \mathbf{r}_0 - \alpha_i \mathbf{A}^{i+1} \mathbf{r}_0, \end{aligned}$$

式中: $\mathcal{P}_i(\mathbf{A})$ 为关于矩阵 \mathbf{A} 的 i 次多项式. 由上式, 得

$$[\mathbf{r}_0, \mathbf{r}_1, \cdots, \mathbf{r}_{k-1}] = [\mathbf{r}_0, \mathbf{A}\mathbf{r}_0, \cdots, \mathbf{A}^{k-1}\mathbf{r}_0] \tilde{\mathbf{R}}_k = \mathbf{S}_k \tilde{\mathbf{R}}_k, \quad (4.125)$$

式中: $\tilde{\mathbf{R}}_k$ 为 k 阶上三角矩阵, 且其对角元为 $1, -\alpha_0, -\alpha_1, \cdots, -\alpha_{k-2}$.



Back

Close



若构造关于内积 $(\cdot, \cdot)_{A^2}$ 的正交化向量组 $\tilde{\mathbf{p}}_0, \tilde{\mathbf{p}}_1, \dots, \tilde{\mathbf{p}}_{k-1}$:

$$\tilde{\mathbf{p}}_0 = \mathbf{r}_0,$$

$$\tilde{\mathbf{p}}_1 = \mathbf{r}_1 + \gamma_0^{(1)} \tilde{\mathbf{p}}_0,$$

$$\tilde{\mathbf{p}}_2 = \mathbf{r}_2 + \gamma_1^{(2)} \tilde{\mathbf{p}}_1 + \gamma_0^{(2)} \tilde{\mathbf{p}}_0,$$

$$\vdots$$

$$\tilde{\mathbf{p}}_i = \mathbf{r}_i + \sum_{s=0}^{i-1} \gamma_s^{(i)} \tilde{\mathbf{p}}_s = \mathbf{r}_i + \gamma_{i-1}^{(i)} \tilde{\mathbf{p}}_{i-1} + \dots + \gamma_1^{(i)} \tilde{\mathbf{p}}_1 + \gamma_0^{(i)} \tilde{\mathbf{p}}_0,$$

式中:

$$\gamma_s^{(i)} = -\frac{(\mathbf{r}_i, \tilde{\mathbf{p}}_s)_{A^2}}{(\tilde{\mathbf{p}}_s, \tilde{\mathbf{p}}_s)_{A^2}}, \quad i = 0, 1, \dots, k-1; \quad s = 0, 1, \dots, i-1.$$



Back

Close



不失一般性, 设 $\tilde{\boldsymbol{p}}_i = \omega_i \boldsymbol{p}_i$, 利用 $\boldsymbol{A}^T = \boldsymbol{A}$, 有

$$\begin{aligned} (\boldsymbol{r}_i, \tilde{\boldsymbol{p}}_s)_{A^2} &= (\boldsymbol{A}\boldsymbol{r}_i, \boldsymbol{A}\tilde{\boldsymbol{p}}_s) = (\boldsymbol{A}\boldsymbol{r}_i, \omega_s \boldsymbol{A}\boldsymbol{p}_s) \\ &= (\boldsymbol{A}\boldsymbol{r}_i, \omega_s (\boldsymbol{p}_{s+1} - \lambda_s \boldsymbol{p}_s - \mu_s \boldsymbol{p}_{s-1})) \\ &= (\boldsymbol{r}_i, \omega_s \boldsymbol{A}\boldsymbol{p}_{s+1} - \omega_s \lambda_s \boldsymbol{A}\boldsymbol{p}_s - \omega_s \mu_s \boldsymbol{A}\boldsymbol{p}_{s-1}). \end{aligned}$$

由上式及式 (4.123), 不难发现, 当 $s+1 \leq i-1$, 即 $s \leq i-2$ 时, 有

$$(\boldsymbol{r}_i, \tilde{\boldsymbol{p}}_s)_{A^2} = 0,$$

即

$$\gamma_s^{(i)} = 0, \quad s \leq i-2, \quad i = 0, 1, \dots, k-1.$$

于是有

$$\tilde{\boldsymbol{p}}_i = \boldsymbol{r}_i + \gamma_{i-1}^{(i)} \tilde{\boldsymbol{p}}_{i-1}, \quad i = 0, 1, \dots, k-1, \quad \tilde{\boldsymbol{p}}_{-1} = \mathbf{0}.$$



Back

Close



回顾式 (4.122), \mathbf{p}_i 与 $\mathbf{A}\mathbf{p}_{i-1}$, \mathbf{p}_{i-1} , \mathbf{p}_{i-2} 有关, 可以看到, $\tilde{\mathbf{p}}_i$ 只与 \mathbf{r}_i 和 $\tilde{\mathbf{p}}_{i-1}$ 有关. 现记 $\beta_{i-1} := \gamma_{i-1}^{(i)}$, 在不混淆的情况下, 再记 $\mathbf{p}_i := \tilde{\mathbf{p}}_i$, 则有

$$\begin{aligned}\mathbf{p}_i &= \mathbf{r}_i + \beta_{i-1}\mathbf{p}_{i-1}, \quad i = 1, 2, \dots, k-1, \\ \beta_{i-1} &= \frac{(\mathbf{r}_i, \mathbf{p}_{i-1})_{\mathbf{A}^2}}{(\mathbf{p}_{i-1}, \mathbf{p}_{i-1})_{\mathbf{A}^2}}.\end{aligned}$$

注意到, 对这一组 $\tilde{\mathbf{p}}_0, \tilde{\mathbf{p}}_2, \dots, \tilde{\mathbf{p}}_{k-1}$ (已记为 $\mathbf{p}_0, \mathbf{p}_2, \dots, \mathbf{p}_{k-1}$), 也有

$$[\mathbf{p}_0, \mathbf{p}_2, \dots, \mathbf{p}_{k-1}] = [\mathbf{r}_0, \mathbf{A}\mathbf{r}_0, \dots, \mathbf{A}^{k-1}\mathbf{r}_0] \hat{\mathbf{R}}_k = \mathbf{S}_k \hat{\mathbf{R}}_k, \quad (4.126)$$

式中: $\hat{\mathbf{R}}_k$ 为上三角矩阵, 对角元也为 $1, -\alpha_0, -\alpha_1, \dots, -\alpha_{k-2}$. 由式 (4.125) 和式 (4.126), 得

$$[\mathbf{r}_0, \mathbf{r}_2, \dots, \mathbf{r}_{k-1}] = [\mathbf{p}_0, \mathbf{p}_2, \dots, \mathbf{p}_{k-1}] \hat{\mathbf{R}}_k^{-1} \tilde{\mathbf{R}}_k,$$





式中: $\widehat{\mathbf{R}}_k^{-1} \widetilde{\mathbf{R}}_k$ 仍为上三角矩阵, 且对角元均为 1. 于是有

$$\mathbf{r}_i = \mathbf{p}_i + \sum_{s=0}^{i-1} c_s \mathbf{p}_s,$$

及

$$\beta_{i-1} = \frac{(\mathbf{r}_i, \mathbf{p}_{i-1})_{A^2}}{(\mathbf{p}_{i-1}, \mathbf{p}_{i-1})_{A^2}} = \frac{(\mathbf{A}\mathbf{r}_i, \mathbf{A}\mathbf{p}_{i-1})}{(\mathbf{A}\mathbf{p}_{i-1}, \mathbf{A}\mathbf{p}_{i-1})} = \frac{\left(\mathbf{A}\mathbf{r}_i, \frac{\mathbf{r}_i - \mathbf{r}_{i-1}}{\alpha_{i-1}}\right)}{(\mathbf{A}\mathbf{p}_{i-1}, \mathbf{A}\mathbf{p}_{i-1})}.$$

由于

$$(\mathbf{A}\mathbf{r}_i, \mathbf{r}_{i-1}) = \left(\mathbf{r}_i, \mathbf{A}\left(\mathbf{p}_{i-1} + \sum_{s=0}^{i-2} c_s \mathbf{p}_s\right)\right) = 0,$$

因此

$$\beta_{i-1} = \frac{(\mathbf{A}\mathbf{r}_i, \mathbf{r}_i)}{\alpha_{i-1}(\mathbf{A}\mathbf{p}_{i-1}, \mathbf{A}\mathbf{p}_{i-1})}. \quad (4.127)$$



Back

Close



另外, 由 $\mathbf{x}_i = \mathbf{x}_{i-1} + \alpha_{i-1}\mathbf{p}_{i-1}$ 及式 (4.123), 得

$$\begin{aligned}
 \alpha_{i-1} &= \frac{(\mathbf{x}_i - \mathbf{x}_{i-1}, \mathbf{p}_{i-1})_{A^2}}{(\mathbf{p}_{i-1}, \mathbf{p}_{i-1})_{A^2}} = \frac{(A(\mathbf{x}_i - \mathbf{x}_{i-1}), A\mathbf{p}_{i-1})}{(A\mathbf{p}_{i-1}, A\mathbf{p}_{i-1})} \\
 &= \frac{(\mathbf{r}_{i-1} - \mathbf{r}_i, A\mathbf{p}_{i-1})}{(A\mathbf{p}_{i-1}, A\mathbf{p}_{i-1})} = \frac{(\mathbf{r}_{i-1}, A\mathbf{p}_{i-1})}{(A\mathbf{p}_{i-1}, A\mathbf{p}_{i-1})} \\
 &= \frac{(A\mathbf{r}_{i-1}, \mathbf{p}_{i-1})}{(A\mathbf{p}_{i-1}, A\mathbf{p}_{i-1})} = \frac{(A\mathbf{r}_{i-1}, \mathbf{r}_{i-1} + \beta_{i-2}\mathbf{p}_{i-2})}{(A\mathbf{p}_{i-1}, A\mathbf{p}_{i-1})} \\
 &= \frac{(A\mathbf{r}_{i-1}, \mathbf{r}_{i-1})}{(A\mathbf{p}_{i-1}, A\mathbf{p}_{i-1})}. \tag{4.128}
 \end{aligned}$$

将式 (4.128) 代入式 (4.127), 得

$$\beta_{i-1} = \frac{(A\mathbf{r}_i, \mathbf{r}_i)}{(A\mathbf{r}_{i-1}, \mathbf{r}_{i-1})}.$$

于是可以得到极小残量法另一种形式的递推算法:

算法 4.10 (递推形式的 MINRES 方法) 给定 n 阶非奇异的实对称矩阵 A , n 维向量 \mathbf{b} 和允许误差 $\varepsilon > 0$. 本算法计算近似





解向量 \mathbf{x}_k , 使得 $\|\mathbf{r}_k\|_2/\|\mathbf{r}_0\|_2 \leq \varepsilon$, 其中 $\mathbf{r}_k = \mathbf{b} - \mathbf{A}\mathbf{x}_k$.

选取 \mathbf{x}_0 ; 计算 $\mathbf{r}_0 = \mathbf{b} - \mathbf{A}\mathbf{x}_0$; $\mathbf{p}_0 = \mathbf{r}_0$;

for $k = 0, 1, \dots$,

$$\alpha_k = \frac{(\mathbf{r}_k, \mathbf{A}\mathbf{p}_k)}{(\mathbf{A}\mathbf{p}_k, \mathbf{A}\mathbf{p}_k)}; \quad \mathbf{x}_{k+1} = \mathbf{x}_k + \alpha_k \mathbf{p}_k;$$

$$\mathbf{r}_{k+1} = \mathbf{r}_k - \alpha_k \mathbf{A}\mathbf{p}_k; \quad \beta_k = \frac{(\mathbf{A}\mathbf{r}_{k+1}, \mathbf{r}_{k+1})}{(\mathbf{A}\mathbf{r}_k, \mathbf{r}_k)};$$

$$\mathbf{p}_{k+1} = \mathbf{r}_{k+1} + \beta_k \mathbf{p}_k; \quad \mathbf{A}\mathbf{p}_{k+1} = \mathbf{A}\mathbf{r}_{k+1} + \beta_k \mathbf{A}\mathbf{p}_k;$$

end

从形式上看, 算法 4.10 每一步迭代也需要计算两次矩阵与向量的乘法 $\mathbf{A}\mathbf{p}_k$ 和 $\mathbf{A}\mathbf{r}_{k+1}$, 实际上可从 $\mathbf{A}\mathbf{p}_{k+1} = \mathbf{A}\mathbf{r}_{k+1} + \beta_k \mathbf{A}\mathbf{p}_k$ 来计算 $\mathbf{A}\mathbf{p}_{k+1}$, 这样就只需要计算一次矩阵与向量的乘法. 此外, 在计算中需要保存五个向量 \mathbf{x}_k , \mathbf{p}_k , \mathbf{r}_k , $\mathbf{A}\mathbf{p}_k$ 和 $\mathbf{A}\mathbf{r}_k$. 递推形式的 MINRES 方法的 MATLAB 程序如下:



Back

Close



143/294

%递推形式的极小残量法-minres1.m

```
function [x,iter,time,res,resvec]=minres1(A,b,x,max_it,tol)
```

%极小残量法求解对称不定方程组 $Ax=b$

```
tic; r=b-A*x; p=r; mr=norm(r);
```

```
u=A*p; z=A*r; iter=1;
```

```
while (iter<max_it)
```

```
    alpha=(r'*u)/(u'*u);
```

```
    x=x+alpha*p; r1=r-alpha*u;
```

```
    z1=A*r1; beta=(z1'*r1)/(z'*r);
```

```
    p=r1+beta*p; u=z1+beta*u;
```

```
    res=norm(r1)/mr; resvec(iter)=res;
```

```
    if (res<tol), break; end
```

```
    r=r1; z=z1; iter=iter+1;
```



Back

Close

```
end
```

```
time=toc;
```

现在考虑预处理的极小残量法. 选择一个适当的对称正定矩阵 M , 设 M 有分解 $M = LL^T$, 则方程组 $Ax = b$ 经过预处理后变为

$$\tilde{A}\tilde{x} = \tilde{b}, \quad (4.129)$$

式中:

$$\tilde{A} = L^{-1}AL^{-T}, \quad \tilde{x} = L^Tx, \quad \tilde{b} = L^{-1}b.$$

方程组 (4.129) 的系数矩阵 $\tilde{A} = L^{-1}AL^{-T}$ 仍为对称不定矩阵. 通过 M 和 L 的选取, 可以使得 $L^{-1}AL^{-T}$ 比 A 有更好的条件数. 现在对方程组 (4.129) 使用极小残量法, 得





$$\tilde{\mathbf{r}}_0 = \tilde{\mathbf{b}} - \tilde{\mathbf{A}}\tilde{\mathbf{x}}_0, \quad \tilde{\mathbf{p}}_0 = \tilde{\mathbf{r}}_0,$$

$$\alpha_k = \frac{(\tilde{\mathbf{r}}_k, \tilde{\mathbf{A}}\tilde{\mathbf{p}}_k)}{(\tilde{\mathbf{A}}\tilde{\mathbf{p}}_k, \tilde{\mathbf{A}}\tilde{\mathbf{p}}_k)}, \quad \tilde{\mathbf{x}}_{k+1} = \tilde{\mathbf{x}}_k + \alpha_k \tilde{\mathbf{p}}_k,$$

$$\tilde{\mathbf{r}}_{k+1} = \tilde{\mathbf{r}}_k - \alpha_k \tilde{\mathbf{A}}\tilde{\mathbf{p}}_k, \quad \beta_k = \frac{(\tilde{\mathbf{A}}\tilde{\mathbf{r}}_{k+1}, \tilde{\mathbf{r}}_{k+1})}{(\tilde{\mathbf{A}}\tilde{\mathbf{r}}_k, \tilde{\mathbf{r}}_k)},$$

$$\tilde{\mathbf{p}}_{k+1} = \tilde{\mathbf{r}}_{k+1} + \beta_k \tilde{\mathbf{p}}_k, \quad k = 0, 1, \dots.$$

为了在公式中使用原来变量, 作变换: $\mathbf{x}_k = \mathbf{L}^{-\text{T}}\tilde{\mathbf{x}}_k$, $\mathbf{p}_k = \mathbf{L}^{-\text{T}}\tilde{\mathbf{p}}_k$,
则 $\mathbf{r}_k = \mathbf{b} - \mathbf{A}\mathbf{x}_k = \mathbf{L}\tilde{\mathbf{r}}_k$.



Back

Close



$$\begin{aligned}
\alpha_k &= \frac{(\mathbf{L}^{-1}\mathbf{r}_k, (\mathbf{L}^{-1}\mathbf{A}\mathbf{L}^{-\mathsf{T}})\mathbf{L}^{\mathsf{T}}\mathbf{p}_k)}{(\mathbf{L}^{-1}\mathbf{A}\mathbf{L}^{-\mathsf{T}}\tilde{\mathbf{p}}_k, \mathbf{L}^{-1}\mathbf{A}\mathbf{L}^{-\mathsf{T}}\tilde{\mathbf{p}}_k)} \\
&= \frac{(\mathbf{L}^{-\mathsf{T}}\mathbf{L}^{-1}\mathbf{r}_k, \mathbf{A}\mathbf{p}_k)}{(\mathbf{L}^{-\mathsf{T}}\mathbf{L}^{-1}\mathbf{A}\mathbf{p}_k, \mathbf{A}\mathbf{p}_k)} = \frac{(\mathbf{M}^{-1}\mathbf{r}_k, \mathbf{A}\mathbf{p}_k)}{(\mathbf{M}^{-1}\mathbf{A}\mathbf{p}_k, \mathbf{A}\mathbf{p}_k)},
\end{aligned}$$

$$\begin{aligned}
\tilde{\mathbf{x}}_{k+1} &= \tilde{\mathbf{x}}_k + \alpha_k \tilde{\mathbf{p}}_k \implies \mathbf{L}^{\mathsf{T}}\mathbf{x}_{k+1} = \mathbf{L}^{\mathsf{T}}\mathbf{x}_k + \alpha_k \mathbf{L}^{\mathsf{T}}\mathbf{p}_k \\
&\implies \mathbf{x}_{k+1} = \mathbf{x}_k + \alpha_k \mathbf{p}_k,
\end{aligned}$$

$$\begin{aligned}
\mathbf{L}^{-1}\mathbf{r}_{k+1} &= \mathbf{L}^{-1}\mathbf{r}_k - \alpha_k (\mathbf{L}^{-1}\mathbf{A}\mathbf{L}^{-\mathsf{T}})\mathbf{L}^{\mathsf{T}}\mathbf{p}_k \\
&\implies \mathbf{r}_{k+1} = \mathbf{r}_k - \alpha_k \mathbf{A}\mathbf{p}_k,
\end{aligned}$$

$$\begin{aligned}
\beta_k &= \frac{((\mathbf{L}^{-1}\mathbf{A}\mathbf{L}^{-\mathsf{T}})\tilde{\mathbf{r}}_{k+1}, \tilde{\mathbf{r}}_{k+1})}{((\mathbf{L}^{-1}\mathbf{A}\mathbf{L}^{-\mathsf{T}})\tilde{\mathbf{r}}_k, \tilde{\mathbf{r}}_k)} = \frac{(\mathbf{A}\mathbf{L}^{-\mathsf{T}}\tilde{\mathbf{r}}_{k+1}, \mathbf{L}^{-\mathsf{T}}\tilde{\mathbf{r}}_{k+1})}{(\mathbf{A}\mathbf{L}^{-\mathsf{T}}\tilde{\mathbf{r}}_k, \mathbf{L}^{-\mathsf{T}}\tilde{\mathbf{r}}_k)} \\
&= \frac{(\mathbf{A}\mathbf{L}^{-\mathsf{T}}\mathbf{L}^{-1}\mathbf{r}_{k+1}, \mathbf{L}^{-\mathsf{T}}\mathbf{L}^{-1}\mathbf{r}_{k+1})}{(\mathbf{A}\mathbf{L}^{-\mathsf{T}}\mathbf{L}^{-1}\mathbf{r}_k, \mathbf{L}^{-\mathsf{T}}\mathbf{L}^{-1}\mathbf{r}_k)} = \frac{(\mathbf{A}(\mathbf{M}^{-1}\mathbf{r}_{k+1}), \mathbf{M}^{-1}\mathbf{r}_{k+1})}{(\mathbf{A}(\mathbf{M}^{-1}\mathbf{r}_k), \mathbf{M}^{-1}\mathbf{r}_k)},
\end{aligned}$$





$$\begin{aligned}\tilde{\mathbf{p}}_{k+1} &= \tilde{\mathbf{r}}_{k+1} + \beta_k \tilde{\mathbf{p}}_k \implies \mathbf{L}^T \mathbf{p}_{k+1} = \mathbf{L}^{-1} \mathbf{r}_{k+1} + \beta_k \mathbf{L}^T \mathbf{p}_k \\ \implies \mathbf{p}_{k+1} &= \mathbf{L}^{-T} \mathbf{L}^{-1} \mathbf{r}_{k+1} + \beta_k \mathbf{p}_k \implies \mathbf{p}_{k+1} = \mathbf{M}^{-1} \mathbf{r}_{k+1} + \beta_k \mathbf{p}_k.\end{aligned}$$

这样, 就得到了预处理极小残量法的递推算法, 具体步骤为:

算法 4.11 (PMINRES 方法) 给定 n 阶非奇异的实对称矩阵 \mathbf{A} , n 维向量 \mathbf{b} , 允许误差 $\varepsilon > 0$ 和预处理矩阵 \mathbf{M} (对称正定). 本算法计算近似解向量 \mathbf{x}_k , 使得 $\|\mathbf{r}_k\|_2 / \|\mathbf{r}_0\|_2 \leq \varepsilon$, 其中 $\mathbf{r}_k = \mathbf{b} - \mathbf{A}\mathbf{x}_k$.

选取 $\mathbf{x}_0 \in \mathbb{R}^n$; $\mathbf{r}_0 = \mathbf{b} - \mathbf{A}\mathbf{x}_0$; $\mathbf{z}_0 = \mathbf{M}^{-1}\mathbf{r}_0$;

$\mathbf{p}_0 = \mathbf{z}_0$; $\mathbf{u}_0 = \mathbf{A}\mathbf{p}_0$; $\mathbf{w}_0 = \mathbf{M}^{-1}\mathbf{u}_0$; $k = 0$;

while ($\|\mathbf{r}_k\|_2 / \|\mathbf{r}_0\|_2 > \varepsilon$)

$$\alpha_k = \frac{(\mathbf{z}_k, \mathbf{u}_k)}{(\mathbf{w}_k, \mathbf{u}_k)}; \quad \mathbf{x}_{k+1} = \mathbf{x}_k + \alpha_k \mathbf{p}_k;$$



Back

Close



$$\mathbf{r}_{k+1} = \mathbf{r}_k - \alpha_k \mathbf{u}_k; \quad \mathbf{z}_{k+1} = \mathbf{M}^{-1} \mathbf{r}_k;$$

$$\beta_k = \frac{(\mathbf{A} \mathbf{z}_{k+1}, \mathbf{z}_{k+1})}{(\mathbf{A} \mathbf{z}_k, \mathbf{z}_k)}; \quad \mathbf{p}_{k+1} = \mathbf{z}_{k+1} + \beta_k \mathbf{p}_k;$$

$$\mathbf{u}_{k+1} = \mathbf{A} \mathbf{p}_{k+1} = \mathbf{A} \mathbf{z}_{k+1} + \beta_k \mathbf{u}_k; \quad \mathbf{w}_{k+1} = \mathbf{M}^{-1} \mathbf{u}_{k+1};$$

$$k = k + 1;$$

end

注 4.4 算法 4.11 仅与预处理子 \mathbf{M} 有关, 而与 \mathbf{L} 无关. 当 \mathbf{M} 为单位阵时, 它就是没有经过预处理的极小残量法. 与共轭梯度法相比较, 预处理极小残量法增加了计算 \mathbf{z}_{k+1} 和 \mathbf{w}_{k+1} 的工作量, 这可以通过求解两个系数矩阵都是 \mathbf{M} 的方程组来实现, 即每一步需要求解 $\mathbf{M} \mathbf{z} = \mathbf{r}_{k+1}$ 和 $\mathbf{M} \mathbf{w} = \mathbf{A} \mathbf{p}_{k+1}$ 来得到 \mathbf{z}_{k+1} 和 \mathbf{w}_{k+1} . 尽管如此, 若预处理子 $\mathbf{M} = \mathbf{L} \mathbf{L}^T$ 是通过某种矩阵分解 (比如不完全 Cholesky 分解) 得到的, 此时 \mathbf{L} 是下三角矩阵, 则 $\mathbf{M} \mathbf{z} = \mathbf{r}_{k+1}$



Back

Close



可转化为求解两个三角形方程组 $Ly = r_{k+1}$ 和 $L^T z = y$, 后者的运算量要比前者少得多.

PMINRES 方法的 MATLAB 程序如下:

```
%PMINRES方法程序-pminres.m  
function [x,iter,time,res,resvec]=  
                                pminres1(A,b,x,M1,M2,max_it,tol)  
%PMINRES方法求解对称不定方程组Ax=b, 预处理子M=M1*M2  
tic; n=length(b);  
r=b-A*x; z=M2\(M1\r); p=z; mr=norm(r);  
u=A*p; v=u; w=M2\(M1\u); iter=1;  
while (iter<max_it)  
    alpha=(z'*u)/(w'*u); x=x+alpha*p;  
    r=r-alpha*u; z1=M2\(M1\r); v1=A*z1;
```



Back

Close



```
beta=(v1'*z1)/(v'*z); p=z1+beta*p;  
u=v1+beta*u; w=M2\(M1\u);  
res=norm(r)/mr; resvec(iter)=res;  
if (res<tol), break; end  
z=z1; v=v1; iter=iter+1;  
  
end  
  
time=toc;
```

例 4.9 仍考虑例 4.8 中的线性方程组 $\mathbf{Ax} = \mathbf{b}$, 取预处理矩阵 $\mathbf{M} \approx \mathbf{LL}^T$ 为 $\mathbf{A} - \mu\mathbf{I}$ 的不完全 Cholesky 分解, 其中 $\mu = -1.0$ 是矩阵 \mathbf{A} 的最小特征值的一个下界估计. 应用算法 4.11 到该线性方程组上, 第 79 步得到的 $\hat{\mathbf{x}} = \mathbf{x}_{79}$ 满足

$$\|\hat{\mathbf{x}} - \mathbf{x}^*\|_2 = 3.2414 \times 10^{-8}.$$

比较极小残量法和预处理极小残量法的数值表现, 迭代过程的收



Back

Close



敛轨迹如图 4.10 所示, 其中横坐标为迭代步数 k , 纵坐标为相对残差 $\|\mathbf{r}_k\|_2/\|\mathbf{r}_0\|_2$, 这里 \mathbf{r}_k 是第 k 步得到的残差向量.

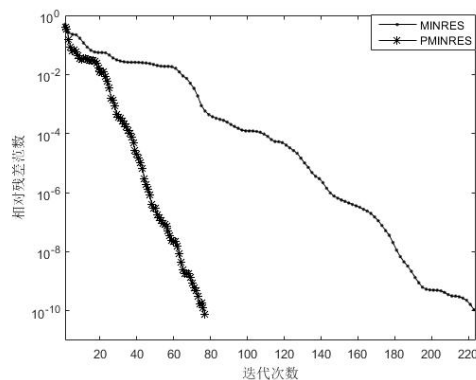


图 4.10 PMINRES 方法与 MINRES 方法的比较

相比于 MINRES 方法, PMINRES 方法尽管迭代次数得到了显著的下降, 从计算时间上看似乎没有优势, 原因可能是后者每一步需要求解两个以预处理子 M 为系数矩阵的线性方程组.



Back

Close

§4.3.3 收敛性分析

与共轭梯度法一样, 虽然从理论上讲极小残量法是一种直接方法, 但实际使用时是把它作为迭代法来使用的. 因此, 下面简要说明其收敛特性.

由 Krylov 子空间的性质, $\mathbf{x} \in \mathbf{x}_0 + \mathcal{K}_k(\mathbf{A}, \mathbf{r}_0)$ 的充分必要条件是存在 $\varphi \in \mathcal{P}_{k-1}$ 使得 $\mathbf{x} = \mathbf{x}_0 + \varphi(\mathbf{A})\mathbf{r}_0$. 注意到 $\mathbf{x}_k \in \mathbf{x}_0 + \mathcal{K}_k(\mathbf{A}, \mathbf{r}_0)$, $\mathbf{x}^* = \mathbf{A}^{-1}\mathbf{b}$, 因此, 有

$$\mathbf{x}^* - \mathbf{x}_k = \mathbf{A}^{-1}\mathbf{b} - \mathbf{x}_0 - \varphi(\mathbf{A})\mathbf{r}_0 = \mathbf{A}^{-1}(\mathbf{I} - \mathbf{A}\varphi(\mathbf{A}))\mathbf{r}_0 = \mathbf{A}^{-1}\psi(\mathbf{A})\mathbf{r}_0,$$

式中: $\psi(t) = 1 - t\varphi(t)$ 满足 $\psi(0) = 1$.

设 \mathbf{A} 的谱分解为 $\mathbf{A} = \mathbf{V}\mathbf{\Lambda}\mathbf{V}^T$, 其中 $\mathbf{V} = [\mathbf{v}_1, \mathbf{v}_2, \dots, \mathbf{v}_n]$ 是正交矩阵, $\mathbf{\Lambda} = \text{diag}(\lambda_1, \lambda_2, \dots, \lambda_n)$, $\lambda_1 \geq \lambda_2 \geq \dots \geq \lambda_n$. 现将 \mathbf{r}_0



按 \mathbf{A} 的特征向量展开, 有

$$\mathbf{r}_0 = \eta_1 \mathbf{v}_1 + \eta_2 \mathbf{v}_2 + \cdots + \eta_n \mathbf{v}_n = \sum_{i=1}^n \eta_i \mathbf{v}_i.$$

于是, 由式 (4.120), 有

$$\begin{aligned} \|\mathbf{r}_k\|_2^2 &= (\mathbf{A}(\mathbf{x}^* - \mathbf{x}_k), \mathbf{A}(\mathbf{x}^* - \mathbf{x}_k)) = (\psi(\mathbf{A})\mathbf{r}_0, \psi(\mathbf{A})\mathbf{r}_0) \\ &= \left(\sum_{i=1}^n \eta_i \psi(\mathbf{A})\mathbf{v}_i, \sum_{j=1}^n \eta_j \psi(\mathbf{A})\mathbf{v}_j \right) \\ &= \left(\sum_{i=1}^n \eta_i \psi(\lambda_i) \mathbf{v}_i, \sum_{j=1}^n \eta_j \psi(\lambda_j) \mathbf{v}_j \right) \\ &= \sum_{i=1}^n \eta_i^2 [\psi(\lambda_i)]^2 \leq \max_{1 \leq i \leq n} [\psi(\lambda_i)]^2 \sum_{i=1}^n \eta_i^2 \\ &= \max_{1 \leq i \leq n} [\psi(\lambda_i)]^2 \|\mathbf{r}_0\|_2^2. \end{aligned}$$



由此可得

$$\|\mathbf{r}_k\|_2 \leq \min_{\psi \in \mathcal{P}_k^0} \max_{\lambda \in \lambda(\mathbf{A})} |\psi(\lambda)| \cdot \|\mathbf{r}_0\|_2, \quad (4.130)$$

式中: 集合 \mathcal{P}_k^0 的定义为

$$\mathcal{P}_k^0 = \{\psi \in \mathcal{P}_k : \psi(0) = 1\}.$$

令

$$a = \min_{\lambda \in \lambda(\mathbf{A})} |\lambda|, \quad b = \max_{\lambda \in \lambda(\mathbf{A})} |\lambda|, \quad (4.131)$$

即 a 和 b 分别是 \mathbf{A} 的特征值的最小模和最大模. 由 \mathbf{A} 是非奇异的假定可知 $0 < a \leq b$. 下面假定 $a < b$, 当 $k = 2m$ 时, 特别取一个多项式

$$\hat{\psi}(t) = C_m \left(\frac{b^2 + a^2 - 2t^2}{b^2 - a^2} \right) / C_m \left(\frac{b^2 + a^2}{b^2 - a^2} \right), \quad (4.132)$$





式中: C_m 为 m 次 Chebyshev 多项式, 即

$$C_m(t) = \frac{(t + \sqrt{t^2 - 1})^m + (t - \sqrt{t^2 - 1})^m}{2},$$

则 $\hat{\psi}(t)$ 是一个 $2m$ 次多项式, 且 $\hat{\psi}(0) = 1$, 从而 $\hat{\psi} \in \mathcal{P}_k^0$. 由 Chebyshev 逼近定理, $\hat{\psi}(t)$ 在区间 $[-b, -a] \cup [a, b]$ 上均有

$$|\hat{\psi}(t)| \leq 1/C_m \left(1 + \frac{2}{\kappa^2 - 1}\right), \quad \forall t \in [-b, -a] \cup [a, b].$$

这样, 由式 (4.130) 即得

$$\frac{\|\mathbf{r}_{2m}\|_2}{\|\mathbf{r}_0\|_2} \leq \max_{\lambda \in \lambda(\mathbf{A})} |\hat{\psi}(t)| = 1/C_m \left(\frac{b^2 + a^2}{b^2 - a^2}\right) = 1/C_m \left(1 + \frac{2}{\kappa^2 - 1}\right),$$

式中: $\kappa = \|\mathbf{A}\|_2 \|\mathbf{A}^{-1}\|_2 = b/a$. 记 $\theta(\kappa) = 1 + \frac{2}{\kappa^2 - 1}$, 因 $\|\mathbf{r}_{2m+1}\|_2 \leq \|\mathbf{r}_{2m}\|_2$, 故有

$$\frac{\|\mathbf{r}_k\|_2}{\|\mathbf{r}_0\|_2} \leq \frac{1}{C_{[k/2]}(\theta(\kappa))}. \quad (4.133)$$



Back

Close



当然式 (4.133) 的估计是十分粗糙的, 但也说明了极小残量法收敛得快慢与 A 的条件数有关. 事实上, 更精细的分析可以证明, 与共轭梯度法类似, 极小残量法的收敛快慢也与 A 的谱分布有关. 如果 A 的特征值除去少数几个外大多数集中在某数的附近, 则极小残量法将收敛得很快. 因此实际使用时也是将其与预处理技术相结合来使用的.



Back

Close

§4.4 SYMMLQ 方法

SYMMLQ 方法与 MINRES 方法类似, 也是求解对称不定方程组的有效算法之一. 本节介绍这一算法的基本思想和导出过程, 并介绍与之关系密切的极小误差法, 以及这两个方法的收敛性及误差估计定理.

§4.4.1 SYMMLQ 方法

对于对称不定方程组

$$Ax = b, \quad (4.134)$$

令 $z = x - x_0$, 则式 (4.134) 可改写为

$$Az = r_0, \quad r_0 = b - Ax_0.$$

若





$$\mathcal{S}_k = \text{span}\{\mathbf{v}_1, \mathbf{v}_2, \dots, \mathbf{v}_k\}$$

张成一个 k 维子空间. 考虑二次泛函

$$J_k(\mathbf{z}_k) = (\mathbf{z} - \mathbf{z}_k)^T \mathbf{A}(\mathbf{z} - \mathbf{z}_k), \quad (4.135)$$

式中:

$$\mathbf{z}_k = \mathbf{V}_k \mathbf{y}_k, \quad \mathbf{V}_k = [\mathbf{v}_1, \mathbf{v}_2, \dots, \mathbf{v}_k].$$

那么二次泛函

$$J_k(\mathbf{z}_k) = \tilde{J}_k(\mathbf{y}_k) = (\mathbf{A}^{-1} \mathbf{r}_0 - \mathbf{V}_k \mathbf{y}_k)^T \mathbf{A}(\mathbf{A}^{-1} \mathbf{r}_0 - \mathbf{V}_k \mathbf{y}_k)$$

的驻点 \mathbf{y}_k 满足

$$\mathbf{V}_k^T (\mathbf{r}_0 - \mathbf{A} \mathbf{V}_k \mathbf{y}_k) = \mathbf{0},$$

或者

$$\mathbf{V}_k^T \mathbf{A} \mathbf{V}_k \mathbf{y}_k = \mathbf{V}_k^T \mathbf{r}_0, \quad \mathbf{x}_k = \mathbf{x}_0 + \mathbf{z}_k = \mathbf{x}_k + \mathbf{V}_k \mathbf{y}_k. \quad (4.136)$$



Back

Close



若取 $\mathbf{v}_1 = \mathbf{r}_0 / \|\mathbf{r}_0\|_2$, 则用对称 Lanczos 算法可得到 k 次 Krylov 子空间

$$\mathcal{K}_k(\mathbf{A}, \mathbf{r}_0) = \text{span}\{\mathbf{r}_0, \mathbf{A}\mathbf{r}_0, \dots, \mathbf{A}^{k-1}\mathbf{r}_0\}$$

的正交规范基 $\{\mathbf{v}_i\}_{i=1}^k$.

假设已经得到了一个长度为 k 的 Lanczos 分解 (2.36):

$$\mathbf{A}\mathbf{V}_k = \mathbf{V}_k\mathbf{T}_k + \beta_{k+1}\mathbf{v}_{k+1}\mathbf{e}_k^T, \quad \mathbf{V}_k^T\mathbf{V}_k = \mathbf{I}_k, \quad \mathbf{V}_k^T\mathbf{v}_{k+1} = \mathbf{0}, \quad (4.137)$$

式中: 三对角矩阵 \mathbf{T}_k 通常记为

$$\mathbf{T}_k \equiv \mathbf{V}_k^T \mathbf{A} \mathbf{V}_k = \begin{bmatrix} \alpha_1 & \beta_2 & & & \\ \beta_2 & \alpha_2 & \beta_3 & & \\ & \ddots & \ddots & \ddots & \\ & & \beta_{k-1} & \alpha_{k-1} & \beta_k \\ & & & \beta_k & \alpha_k \end{bmatrix}.$$



Back

Close



将上式代入式 (4.136) 则得到 Galerkin 方程组

$$\mathbf{T}_k \mathbf{y}_k = \beta_1 \mathbf{e}_1, \quad \mathbf{x}_k = \mathbf{x}_0 + \mathbf{V}_k \mathbf{y}_k, \quad (4.138)$$

式中: $\beta_1 = \|\mathbf{r}_0\|_2$.

因为 \mathbf{A} 对称不定, 所以三对角矩阵 \mathbf{T}_k 也对称不定. 对这样的 \mathbf{T}_k 进行 Cholesky 分解可能失效. 因此要寻找 \mathbf{T}_k 更为稳定的分解, 即正交三角分解 (LQ 分解):

$$\mathbf{T}_k = \tilde{\mathbf{L}}_k \mathbf{Q}_k, \quad \mathbf{Q}_k^T \mathbf{Q}_k = \mathbf{I}_k, \quad (4.139)$$

式中: $\tilde{\mathbf{L}}_k$ 为下三角矩阵.

利用 LQ 分解式 (4.139) 来求解式 (4.138). 和前面的做法一样, 不是直接求出 \mathbf{y}_k , 而是寻找求 \mathbf{x}_k 递推公式.

因 \mathbf{T}_k 是对称三对角矩阵, \mathbf{Q}_k 可写为乘积

$$\mathbf{Q}_k = \mathbf{G}_{k-1,k} \cdots \mathbf{G}_{2,3} \mathbf{G}_{1,2}, \quad (4.140)$$



Back

Close



式中: $\mathbf{G}_{i,i+1}$ ($i = 1, 2, \dots, k-1$) 为 $(i, i+1)$ Givens 矩阵, 它与单位矩阵不同的是其 i 和 $i+1$ 行和列组成的 2 阶矩阵是

$$\mathbf{G}_{i,i+1} = \begin{bmatrix} c_i & s_i \\ s_i & -c_i \end{bmatrix}, \quad c_i^2 + s_i^2 = 1.$$

将式 (4.139) 代入式 (4.138), 得

$$\tilde{\mathbf{L}}_k(\mathbf{Q}_k \mathbf{y}_k) = \beta_1 \mathbf{e}_1, \quad \mathbf{x}_k = \mathbf{x}_0 + \mathbf{V}_k \mathbf{Q}_k^T (\mathbf{Q}_k \mathbf{y}_k).$$

令

$$\widetilde{\mathbf{W}}_k = \mathbf{V}_k \mathbf{Q}_k^T, \quad \tilde{\mathbf{z}}_k = \mathbf{Q}_k \mathbf{y}_k, \quad (4.141)$$

则得到方程组和迭代向量公式

$$\tilde{\mathbf{L}}_k \tilde{\mathbf{z}}_k = \beta_1 \mathbf{e}_1, \quad \mathbf{x}_k = \mathbf{x}_0 + \widetilde{\mathbf{W}}_k \tilde{\mathbf{z}}_k. \quad (4.142)$$

由 \mathbf{Q}_k 的特殊形式 (4.140), $\widetilde{\mathbf{W}}_k$ 和 $\tilde{\mathbf{z}}_k$ 可表示为

$$\widetilde{\mathbf{W}}_k = [\mathbf{w}_1, \mathbf{w}_2, \dots, \mathbf{w}_{k-1}, \tilde{\mathbf{w}}_k], \quad (4.143)$$



Back

Close

$$\tilde{\mathbf{z}}_k = [\zeta_1, \zeta_2, \dots, \zeta_{k-1}, \tilde{\zeta}_k]^T. \quad (4.144)$$

而 LQ 分解式 (4.139) 中的 $\tilde{\mathbf{L}}_k$ 和 $\mathbf{G}_{k,k+1}$ 的元素 c_k 和 s_k 可计算如下.

由式 (4.139), 公式

$$\tilde{\mathbf{L}}_k = \mathbf{T}_k \mathbf{Q}_k^T = \mathbf{T}_k \mathbf{G}_{1,2} \mathbf{G}_{2,3} \cdots \mathbf{G}_{k,k+1}$$

可表示为

$$\tilde{\mathbf{L}}_k = \begin{bmatrix} \nu_1 & & & & \\ \delta_2 & \nu_2 & & & \\ \eta_3 & \delta_3 & \nu_3 & & \\ & \ddots & \ddots & \ddots & \\ & & \eta_k & \delta_k & \tilde{\nu}_k \end{bmatrix}. \quad (4.145)$$



现观察 $\tilde{\mathbf{L}}_{k+1}$, 有

$$\begin{aligned}\tilde{\mathbf{L}}_{k+1} &= \mathbf{T}_{k+1} \mathbf{Q}_{k+1}^T = \mathbf{T}_{k+1} \left[\begin{array}{c|c} \mathbf{Q}_k & \\ \hline & 1 \end{array} \right] \mathbf{G}_{k,k+1} \\ &= \left[\begin{array}{cccc|cc} \nu_1 & & & & & \\ \delta_2 & \nu_2 & & & & \\ \eta_3 & \delta_3 & \nu_3 & & & \\ & \ddots & \ddots & \ddots & & \\ \hline & & & \eta_k & \delta_k & \tilde{\nu}_k \quad \beta_{k+1} \\ & & & & \eta_{k+1} & \tilde{\delta}_{k+1} \quad \alpha_{k+1} \end{array} \right] \left[\begin{array}{c|cc} \mathbf{I}_{k-1} & & \\ \hline & c_k & s_k \\ & s_k & -c_k \end{array} \right],\end{aligned}$$

式中: c_k 和 s_k 由方程组

$$\tilde{\nu}_k c_k + \beta_{k+1} s_k = \nu_k, \quad \tilde{\nu}_k s_k - \beta_{k+1} c_k = 0$$





确定. 由此得 (注意到 $\tilde{\nu}_1 = \alpha_1$, $\tilde{\delta}_2 = \beta_2$)

$$\nu_k = \sqrt{\tilde{\nu}_k^2 + \beta_{k+1}^2}, \quad c_k = \frac{\tilde{\nu}_k}{\nu_k}, \quad s_k = \frac{\beta_{k+1}}{\nu_k}, \quad (4.146)$$

以及

$$\delta_{k+1} = c_k \tilde{\delta}_{k+1} + s_k \alpha_{k+1}, \quad \tilde{\nu}_{k+1} = s_k \tilde{\delta}_{k+1} - c_k \alpha_{k+1}, \quad (4.147)$$

$$\tilde{\delta}_{k+2} = -c_k \beta_{k+2}, \quad \eta_{k+2} = s_k \beta_{k+2}. \quad (4.148)$$

由式 (4.143) 和式 (4.144), \mathbf{x}_k 在式 (4.142) 中并不能递推地计算. 为此, 引进 \mathbf{L}_k , 它是 $\tilde{\mathbf{L}}_k$ 以 ν_k 替换 $\tilde{\nu}_k$ 而得. 相应地, 定义

$$\mathbf{W}_k = [\mathbf{w}_1, \mathbf{w}_2, \dots, \mathbf{w}_k], \quad \mathbf{z}_k = [\zeta_1, \zeta_2, \dots, \zeta_k]^T,$$

式中: \mathbf{z}_k 满足三角方程组

$$\mathbf{L}_k \mathbf{z}_k = \beta_1 \mathbf{e}_1. \quad (4.149)$$



Back

Close

由此得 (见 (4.146))

$$\zeta_k = \frac{\tilde{\nu}_k}{\nu_k} \tilde{\zeta}_k = c_k \tilde{\zeta}_k. \quad (4.150)$$

最后, \mathbf{W}_k 的列向量可按下列公式递推计算, 即

$$[\tilde{\mathbf{w}}_k, \mathbf{v}_{k+1}] \begin{bmatrix} c_k & s_k \\ s_k & -c_k \end{bmatrix} = [\mathbf{w}_k, \tilde{\mathbf{w}}_{k+1}], \quad \tilde{\mathbf{w}}_1 = \mathbf{v}_1. \quad (4.151)$$

若 $\tilde{\nu}_k = 0$, 则 $\tilde{\mathbf{L}}_k$ 是奇异的, 故式 (4.142) 不可解. 但由式 (4.146) 可知, 只要 $\beta_{k+1} \neq 0$, \mathbf{L}_k 非奇异, 因而式 (4.149) 可解. 利用 \mathbf{W}_k 和 \mathbf{z}_k 递推地计算 $\tilde{\mathbf{x}}_k$:

$$\tilde{\mathbf{x}}_k = \mathbf{x}_0 + \mathbf{W}_k \mathbf{z}_k = \tilde{\mathbf{x}}_{k-1} + \zeta_k \mathbf{w}_k. \quad (4.152)$$

由式 (4.142), 式 (4.143), 式 (4.144) 和式 (4.152), 有

$$\mathbf{x}_{k+1} = \mathbf{x}_0 + \tilde{\mathbf{W}}_{k+1} \tilde{\mathbf{z}}_{k+1} = \tilde{\mathbf{x}}_k + \tilde{\zeta}_{k+1} \tilde{\mathbf{w}}_{k+1}. \quad (4.153)$$





式 (4.150) 只是给出了 ζ_k 与 $\tilde{\zeta}_k$ 之间的关系. 还需要 ζ_k 或 $\tilde{\zeta}_k$ ($k = 1, 2, \dots$) 的计算公式. 由式 (4.149), 得

$$\begin{cases} \nu_1 \zeta_1 = \beta_1 \implies \zeta_1 = \frac{\beta_1}{\nu_1}, \\ \delta_2 \zeta_1 + \nu_2 \zeta_2 = 0 \implies \zeta_2 = -\frac{\delta_2 \zeta_1}{\nu_2}, \\ \eta_k \zeta_{k-2} + \delta_k \zeta_{k-1} + \nu_k \zeta_k = 0 \implies \zeta_k = -\frac{\eta_k \zeta_{k-2} + \delta_k \zeta_{k-1}}{\nu_k}, \quad k \geq 3. \end{cases} \quad (4.154)$$

求解式 (4.149) 有比式 (4.142) 更好的数值性态. 由式 (4.152) 可求得 $\{\tilde{x}_k\}$, 若需要 $\{x_k\}$ 可按式 (4.153) 得到. 所描述的算法称为 SYMMLQ 方法.

算法 4.12 (SYMMLQ 方法) 给定 n 阶非奇异的实对称矩阵 A , n 维向量 b 和允许误差 $\varepsilon > 0$. 本算法计算向量 x_k , 使得 $\|r_k\|_2 / \|r_0\|_2 \leq \varepsilon$, 其中 $r_k = b - Ax_k$.



Back

Close



选取 \mathbf{x}_0 ; $\mathbf{r}_0 = \mathbf{b} - \mathbf{A}\mathbf{x}_0$; $\beta_1 = \|\mathbf{r}_0\|_2$; $\mathbf{v}_1 = \mathbf{r}_0/\beta_1$;

$\alpha_1 = \mathbf{v}_1^T \mathbf{A} \mathbf{v}_1$; $\tilde{\mathbf{v}}_2 = \mathbf{A} \mathbf{v}_1 - \alpha_1 \mathbf{v}_1$; $\beta_2 = \|\tilde{\mathbf{v}}_2\|_2$;

$\mathbf{v}_2 = \tilde{\mathbf{v}}_2/\beta_2$; $\tilde{\mathbf{w}}_1 = \mathbf{v}_1$;

$\tilde{\nu}_1 = \alpha_1$; $\tilde{\delta}_2 = \beta_2$; $\zeta_0 = 0$; $\eta_2 = 0$;

$\nu_1 = \sqrt{\alpha_1^2 + \beta_2^2}$; $c_1 = \tilde{\nu}_1/\nu_1$; $s_1 = \beta_2/\nu_1$;

由 $[\tilde{\mathbf{w}}_1, \mathbf{v}_2] \begin{bmatrix} c_1 & s_1 \\ s_1 & -c_1 \end{bmatrix} = [\mathbf{w}_1, \tilde{\mathbf{w}}_2]$ 确定 \mathbf{w}_1 和 $\tilde{\mathbf{w}}_2$;

即 $\mathbf{w}_1 = c_1 \tilde{\mathbf{w}}_1 + s_1 \mathbf{v}_2$; $\tilde{\mathbf{w}}_2 = s_1 \tilde{\mathbf{w}}_1 - c_1 \mathbf{v}_2$;

$\zeta_1 = \frac{\beta_1}{\nu_1}$; $\tilde{\mathbf{x}}_1 = \mathbf{x}_0 + \zeta_1 \mathbf{w}_1$; $k = 1$;

while ($\|\mathbf{r}_k\|_2/\|\mathbf{r}_0\|_2 > \varepsilon$)

$\alpha_{k+1} = \mathbf{v}_{k+1}^T \mathbf{A} \mathbf{v}_{k+1}$;

$\tilde{\mathbf{v}}_{k+2} = \mathbf{A} \mathbf{v}_{k+1} - \alpha_{k+1} \mathbf{v}_{k+1} - \beta_{k+1} \mathbf{v}_k$;

$\beta_{k+2} = \|\tilde{\mathbf{v}}_{k+2}\|_2$; $\mathbf{v}_{k+2} = \tilde{\mathbf{v}}_{k+2}/\beta_{k+2}$;



Back

Close



$$\tilde{\nu}_{k+1} = s_k \tilde{\delta}_{k+1} - c_k \alpha_{k+1}; \quad \nu_{k+1} = \sqrt{\tilde{\nu}_{k+1}^2 + \beta_{k+2}^2};$$

$$c_{k+1} = \frac{\tilde{\nu}_{k+1}}{\nu_{k+1}}; \quad s_{k+1} = \frac{\beta_{k+2}}{\nu_{k+1}};$$

$$\delta_{k+1} = c_k \tilde{\delta}_{k+1} + s_k \alpha_{k+1};$$

$$\tilde{\delta}_{k+2} = -c_k \beta_{k+2}, \quad \eta_{k+2} = s_k \beta_{k+2};$$

$$\zeta_{k+1} = -\frac{\eta_{k+1} \zeta_{k-1} + \delta_{k+1} \zeta_k}{\nu_{k+1}}; \quad \tilde{\zeta}_{k+1} = \zeta_{k+1} / c_{k+1};$$

$$\text{由 } [\tilde{\boldsymbol{w}}_{k+1}, \boldsymbol{v}_{k+2}] \begin{bmatrix} c_{k+1} & s_{k+1} \\ s_{k+1} & -c_{k+1} \end{bmatrix} = [\boldsymbol{w}_{k+1}, \tilde{\boldsymbol{w}}_{k+2}] \text{ 确定 } \boldsymbol{w}_{k+1}$$

和 $\tilde{\boldsymbol{w}}_{k+2}$;

$$\text{即 } \boldsymbol{w}_{k+1} = c_{k+1} \tilde{\boldsymbol{w}}_{k+1} + s_{k+1} \boldsymbol{v}_{k+2}; \quad \tilde{\boldsymbol{w}}_{k+2} = s_{k+1} \tilde{\boldsymbol{w}}_{k+1} -$$

$$c_{k+1} \boldsymbol{v}_{k+2};$$

$$\boldsymbol{x}_{k+1} = \tilde{\boldsymbol{x}}_k + \tilde{\zeta}_{k+1} \tilde{\boldsymbol{w}}_{k+1}; \quad \tilde{\boldsymbol{x}}_{k+1} = \tilde{\boldsymbol{x}}_k + \zeta_{k+1} \boldsymbol{w}_{k+1};$$



Back

Close



$$\mathbf{r}_{k+1} = \mathbf{b} - \mathbf{A}\mathbf{x}_{k+1};$$

$$k = k + 1;$$

end

例 4.10 仍考虑例 4.8 中的线性方程组 $\mathbf{Ax} = \mathbf{b}$, 其中矩阵 \mathbf{A} 来自

<http://www.cise.ufl.edu/research/sparse/matrices/PARSEC/SiNa.html>,

它是一个 5743 阶的实对称不定稀疏矩阵, 右端项 $\mathbf{b} = \mathbf{A}\mathbf{e}$, 其中 $\mathbf{e} = (1, 1, \dots, 1)^T$. 显然, 该方程组的真解为 $\mathbf{x}^* = (1, 1, \dots, 1)^T$. 将 SYMMLQ 方法应用到该线性方程组上, 迭代在 224 步后收敛 ($\varepsilon = 10^{-10}$), 计算得到的近似解 $\hat{\mathbf{x}}$ 和真解 \mathbf{x}^* 之间的绝对值误差为

$$\|\hat{\mathbf{x}} - \mathbf{x}^*\|_2 = 2.8998 \times 10^{-8},$$

计算解 $\hat{\mathbf{x}}$ 的残量满足

$$\|\mathbf{b} - \mathbf{A}\hat{\mathbf{x}}\|_2 = 2.1331 \times 10^{-8}.$$



Back

Close



将它与 MINRES 方法和 GMRES 方法进行了对比, 发现 SYMMLQ 方法与 MINRES 方法对本例有几乎完全等效的数值表现, 而 GMRES 方法则要略好一些. 迭代过程的收敛轨迹如图 4.11 所示, 其中横坐标为迭代步数 k , 纵坐标为相对残差 $\|\mathbf{r}_k\|_2/\|\mathbf{r}_0\|_2$, 这里 \mathbf{r}_k 是第 k 步得到的残差向量.

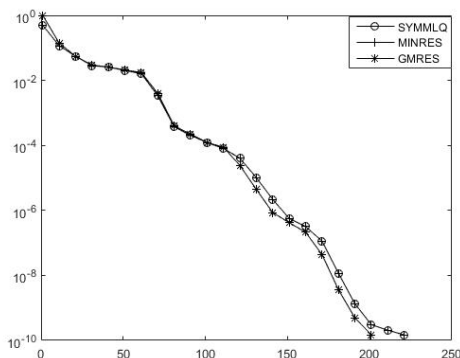


图 4.11 SYMMLQ 方法的收敛特性



Back

Close

§4.4.2 收敛性分析



171/294

对于方程组

$$\mathbf{A}\mathbf{z} = \mathbf{r}_0, \quad \mathbf{r}_0 = \mathbf{b} - \mathbf{A}\mathbf{x}_0, \quad \mathbf{z} = \mathbf{x} - \mathbf{x}_0,$$

考虑二次泛函

$$J_k^{(k)}(\mathbf{z}_k) = (\mathbf{z} - \mathbf{z}_k)^T \mathbf{A}^k (\mathbf{z} - \mathbf{z}_k), \quad (4.155)$$

式中: k 为非负整数; $\mathbf{z}_k = \mathbf{V}_k \mathbf{y}_k$, $\mathbf{V}_k = [\mathbf{v}_1, \mathbf{v}_2, \dots, \mathbf{v}_k]$.

当 $k = 2$ 时, 式 (4.155) 中的泛函

$$\begin{aligned} J_k^{(2)}(\mathbf{z}_k) &= (\mathbf{z} - \mathbf{z}_k)^T \mathbf{A}^2 (\mathbf{z} - \mathbf{z}_k) = \|\mathbf{A}(\mathbf{z} - \mathbf{z}_k)\|_2^2 \\ &= \|\mathbf{r}_0 - \mathbf{A}(\mathbf{x}_k - \mathbf{x}_0)\|_2^2 = \|\mathbf{b} - \mathbf{A}\mathbf{x}_k\|_2^2 = \|\mathbf{r}_k\|_2^2 \end{aligned}$$

是正定二次泛函. 极小化这一正定二次泛函就是 节中极小残量法 (MINRES) 的基本思想.



Back

Close



当 $k = 1$ 时, 式 (4.155) 中的泛函为

$$\begin{aligned} J_k^{(1)}(\mathbf{z}_k) &= (\mathbf{z} - \mathbf{z}_k)^T \mathbf{A}(\mathbf{z} - \mathbf{z}_k) \\ &= (\mathbf{x} - \mathbf{x}_0 - \mathbf{V}_k \mathbf{y}_k)^T \mathbf{A}(\mathbf{x} - \mathbf{x}_0 - \mathbf{V}_k \mathbf{y}_k). \end{aligned}$$

求上述泛函稳定点 \mathbf{y}_k :

$$\mathbf{V}_k^T \mathbf{A}(\mathbf{x} - \mathbf{x}_0 - \mathbf{V}_k \mathbf{y}_k) = \mathbf{V}_k^T (\mathbf{r}_0 - \mathbf{A} \mathbf{V}_k \mathbf{y}_k) = \mathbf{0}$$

是本节 SYMMLQ 方法的出发点.

若在式 (4.155) 中取 $k = 0$, 则有

$$J_k^{(0)}(\mathbf{z}_k) = (\mathbf{z} - \mathbf{z}_k)^T (\mathbf{z} - \mathbf{z}_k) = \|\mathbf{x} - \mathbf{x}_k\|_2^2 = \|\boldsymbol{\varepsilon}_k\|_2^2.$$

这也是一个正定二次泛函. 因而使 $J_k^{(0)}$ 极小化就是使误差 $\boldsymbol{\varepsilon}_k = \mathbf{x} - \mathbf{x}_k$ 的范数极小化.



Back

Close



为了使极小误差法可行, 取迭代所处的仿射子空间为

$$\mathbf{x}_0 + \mathcal{K}_k(\mathbf{A}, \mathbf{A}\mathbf{r}_0),$$

也就是说

$$\mathbf{z}_k = \mathbf{x}_k - \mathbf{x}_0 = \mathbf{A}\mathbf{V}_k\mathbf{y}_k.$$

由此, \mathbf{y}_k 是最小二乘问题

$$\min \|\mathbf{x} - \mathbf{x}_0 - \mathbf{A}\mathbf{V}_k\mathbf{y}_k\|_2 = \|\mathbf{A}^{-1}\mathbf{r}_0 - \mathbf{A}\mathbf{V}_k\mathbf{y}_k\|_2$$

的解. 由法方程可知 \mathbf{y}_k 满足线性方程组

$$\mathbf{V}_k^T \mathbf{A}^2 \mathbf{V}_k \mathbf{y}_k = \mathbf{V}_k^T \mathbf{r}_0 = \beta_1 \mathbf{e}_1, \quad \mathbf{x}_k = \mathbf{x}_0 + \mathbf{A}\mathbf{V}_k\mathbf{y}_k. \quad (4.156)$$



Back

Close



由对称 Lanczos 分解式 (4.137) 及 LQ 分解式 (4.139), 得

$$\begin{aligned}
 \mathbf{V}_k^T \mathbf{A}^2 \mathbf{V}_k &= (\mathbf{A} \mathbf{V}_k)^T (\mathbf{A} \mathbf{V}_k) \\
 &= (\mathbf{V}_k \mathbf{T}_k + \beta_{k+1} \mathbf{v}_{k+1} \mathbf{e}_k^T)^T (\mathbf{V}_k \mathbf{T}_k + \beta_{k+1} \mathbf{v}_{k+1} \mathbf{e}_k^T) \\
 &= \mathbf{T}_k^2 + \beta_{k+1}^2 \mathbf{e}_k \mathbf{e}_k^T = (\tilde{\mathbf{L}}_k \mathbf{Q}_k)(\tilde{\mathbf{L}}_k \mathbf{Q}_k)^T + \beta_{k+1}^2 \mathbf{e}_k \mathbf{e}_k^T \\
 &= \tilde{\mathbf{L}}_k \tilde{\mathbf{L}}_k^T + \beta_{k+1}^2 \mathbf{e}_k \mathbf{e}_k^T = \mathbf{L}_k \mathbf{L}_k^T,
 \end{aligned}$$

最后一个等式成立是因为 $\tilde{\mathbf{L}}_k \tilde{\mathbf{L}}_k^T$ 与 $\mathbf{L}_k \mathbf{L}_k^T$ 只是 (k, k) 处的那个元素不同, 前者是 $\eta_k^2 + \delta_k^2 + \tilde{\nu}_k^2$, 而后者为 $\eta_k^2 + \delta_k^2 + \nu_k^2$. 注意到 $\nu_k^2 = \tilde{\nu}_k^2 + \beta_{k+1}^2$, 即可得等式成立. 这样, 直接从 \mathbf{T}_k 的 LQ 分解得到了 $\mathbf{V}_k^T \mathbf{A}^2 \mathbf{V}_k$ 的 Cholesky 分解. 代入式 (4.156), 需要求解如下线性方程组以得到 \mathbf{y}_k 和 \mathbf{x}_k :

$$\mathbf{L}_k \mathbf{L}_k^T \mathbf{y}_k = \beta_1 \mathbf{e}_1, \quad \mathbf{x}_k = \mathbf{x}_0 + \mathbf{A} \mathbf{V}_k \mathbf{y}_k. \quad (4.157)$$





由上述方式得到近似解序列 $\{\mathbf{x}_k\}$ 的方法通常称为极小误差法. 下面证明这个极小误差解序列 $\{\mathbf{x}_k\}$ 就是 SYMMLQ 方法中的 $\{\tilde{\mathbf{x}}_k\}$ (见式 (4.152)).

定理 4.9 SYMMLQ 方法中的序列 $\{\tilde{\mathbf{x}}_k\}$ 是在 Krylov 子空间 $\mathcal{K}_k(\mathbf{A}, \mathbf{A}\mathbf{r}_0)$ 的极小误差逼近.

证明 由式 (4.157) 可知极小误差解 \mathbf{x}_k 可表示为

$$\mathbf{x}_k = \mathbf{x}_0 + \beta_1 \mathbf{A} \mathbf{V}_k \mathbf{L}_k^{-\mathrm{T}} \mathbf{L}_k^{-1} \mathbf{e}_1. \quad (4.158)$$

由式 (4.149) 和式 (4.152) 可知, $\tilde{\mathbf{x}}_k$ 可表示为

$$\tilde{\mathbf{x}}_k = \mathbf{x}_0 + \beta_1 \mathbf{W}_k \mathbf{L}_k^{-1} \mathbf{e}_1. \quad (4.159)$$

比较式 (4.158) 和式 (4.159) 右端, 只需证明

$$\mathbf{W}_k = \mathbf{A} \mathbf{V}_k \mathbf{L}_k^{-\mathrm{T}}, \quad (4.160)$$



Back

Close



即完成了定理的证明. 由式 (4.139) 和式 (4.141) 可知

$$\widetilde{\mathbf{W}}_{k+1} \widetilde{\mathbf{L}}_{k+1}^{\mathrm{T}} = \mathbf{V}_{k+1} (\widetilde{\mathbf{L}}_{k+1} \mathbf{Q}_{k+1})^{\mathrm{T}} = \mathbf{V}_{k+1} \mathbf{T}_{k+1}. \quad (4.161)$$

再由式 (4.137), 得

$$\widetilde{\mathbf{W}}_{k+1} = (\mathbf{A} \mathbf{V}_{k+1} - \beta_{k+2} \mathbf{v}_{k+2} \mathbf{e}_{k+1}^{\mathrm{T}}) \widetilde{\mathbf{L}}_{k+1}^{-\mathrm{T}}. \quad (4.162)$$

比较式 (4.162) 前 k 列, 并注意到 $\widetilde{\mathbf{L}}_{k+1}^{-\mathrm{T}}$ 是上三角矩阵, 可得式 (4.160). 证毕. \square

下面分析极小误差法的误差估计. 令

$$\widetilde{\mathcal{P}}_{k-1}^0(t) = 1 - t^2 \mathcal{P}_{k-1}(t)$$

表示次数不超过 $k+1$, 在 $t=0$ 时值等于 1 且一阶导数等于 0 的多项式集合. 因 $\mathbf{x}_k - \mathbf{x}_0 \in \mathcal{K}_k(\mathbf{A}, \mathbf{A} \mathbf{r}_0)$, 故存在 $p_{k-1} \in \mathcal{P}_{k-1}$, 使得



Back

Close



$\mathbf{x}_k - \mathbf{x}_0 = p_{k-1}(\mathbf{A})\mathbf{A}\mathbf{r}_0$. 所以误差 $\boldsymbol{\varepsilon}_k = \mathbf{x}^* - \mathbf{x}_k$ 满足

$$\begin{aligned}
 \|\boldsymbol{\varepsilon}_k\|_2^2 &= \min_{p_{k-1} \in \mathcal{P}_{k-1}} (\boldsymbol{\varepsilon}_0 - p_{k-1}(\mathbf{A})\mathbf{A}\mathbf{r}_0, \boldsymbol{\varepsilon}_0 - p_{k-1}(\mathbf{A})\mathbf{A}\mathbf{r}_0) \\
 &= \min_{p_{k-1} \in \mathcal{P}_{k-1}} (\boldsymbol{\varepsilon}_0 - p_{k-1}(\mathbf{A})\mathbf{A}^2\boldsymbol{\varepsilon}_0, \boldsymbol{\varepsilon}_0 - p_{k-1}(\mathbf{A})\mathbf{A}^2\boldsymbol{\varepsilon}_0) \\
 &= \min_{p_{k-1} \in \mathcal{P}_{k-1}} ([\mathbf{I} - \mathbf{A}^2 p_{k-1}(\mathbf{A})]\boldsymbol{\varepsilon}_0, [\mathbf{I} - \mathbf{A}^2 p_{k-1}(\mathbf{A})]\boldsymbol{\varepsilon}_0) \\
 &= \min_{\tilde{p}_{k-1} \in \tilde{\mathcal{P}}_{k-1}^0} (\tilde{p}_{k-1}(\mathbf{A})\boldsymbol{\varepsilon}_0, \tilde{p}_{k-1}(\mathbf{A})\boldsymbol{\varepsilon}_0) \\
 &\leq \min_{\tilde{p}_{k-1} \in \tilde{\mathcal{P}}_{k-1}^0} \max_{\lambda \in \sigma(\mathbf{A})} \tilde{p}_{k-1}^2(\lambda) \|\boldsymbol{\varepsilon}_0\|_2^2.
 \end{aligned} \tag{4.163}$$

因为 \mathbf{A} 是对称不定的, 所以 $\sigma(\mathbf{A})$ 包含正的和负的特征值. 有下面的定理.

定理 4.10 若 \mathbf{A} 的谱 $\sigma(\mathbf{A}) \subset [-b, -a] \cup [a, b]$, 其中 $0 < a <$



b. 则对极小误差迭代法成立

$$\|\epsilon_k\|_2 \leq \frac{2\tilde{r}^{\tilde{k}}}{1 + \tilde{r}^{2\tilde{k}}} \|\epsilon_0\|_2, \quad (4.164)$$

式中:

$$\tilde{r} = \frac{b-a}{b+a} = \frac{b/a-1}{b/a+1}, \quad \tilde{k} = \left[\frac{k+1}{2} \right].$$

证明 取多项式

$$p_{k-1}(t) = \frac{C_{\tilde{k}}(v(t))}{C_{\tilde{k}}(v(0))},$$

式中: $C_{\tilde{k}}(z)$ 为 $\tilde{k} = [(k+1)/2]$ 次 Chebyshev 多项式, 且

$$v(t) = 1 - \frac{2(t^2 - a^2)}{b^2 - a^2},$$

它将区间 $[-b, -a] \cup [a, b]$ 映射到 $[-1, 1]$.





显然, $p_{k-1}(t)$ 的次数不超过 $k+1$, 它是偶函数, 且 $p_{k-1}(0) = 1$.
故 $p_{k-1}(t) \in \tilde{P}_{k-1}^0$. 由式 (4.163), 有

$$\|\varepsilon_k\|_2 \leq \max_{t \in [-b, -a] \cup [a, b]} \left| \frac{C_{\tilde{k}}(v(t))}{C_{\tilde{k}}(v(0))} \right| \|\varepsilon_0\|_2 = \frac{1}{C_{\tilde{k}}(v(0))} \|\varepsilon_0\|_2.$$

不难推得

$$\begin{aligned} C_{\tilde{k}}(v(0)) &= C_{\tilde{k}}\left(\frac{b^2 + a^2}{b^2 - a^2}\right) \\ &= \frac{1}{2} \left\{ \left[\frac{b^2 + a^2}{b^2 - a^2} + \sqrt{\left(\frac{b^2 + a^2}{b^2 - a^2}\right)^2 - 1} \right]^{\tilde{k}} + \left[\frac{b^2 + a^2}{b^2 - a^2} + \sqrt{\left(\frac{b^2 + a^2}{b^2 - a^2}\right)^2 - 1} \right]^{-\tilde{k}} \right\} \\ &= \frac{1}{2} \left[\left(\frac{b+a}{b-a}\right)^{\tilde{k}} + \left(\frac{b-a}{b+a}\right)^{-\tilde{k}} \right] = \frac{1}{2} \left[\left(\frac{1}{\tilde{r}}\right)^{\tilde{k}} + \tilde{r}^{\tilde{k}} \right] = \frac{1 + \tilde{r}^{2\tilde{k}}}{2\tilde{r}^{\tilde{k}}}. \end{aligned}$$

证毕. □



Back

Close

§4.5 拟极小残量法

在 4.2 节中, 为了解决广义极小残量法的存储问题而采用了重新开始的方法, 进而导出了实际应用中常用的重新开始广义极小残量法 GMRES(m). 本节介绍另一种解决存储问题的方法—拟极小残量法, 在目前的文献中常简称为 QMRES 方法 (Quasi-Minimal RESidual Approach).

GMRES 方法的存储量主要来自计算 Krylov 子空间 $\mathcal{K}_k(\mathbf{A}, \mathbf{b})$ 的正交基 $\mathbf{v}_1, \mathbf{v}_2, \dots, \mathbf{v}_k$. 由于要求这些 \mathbf{v}_i ($i = 1, 2, \dots, k$) 相互正交, 故必须在计算中将这此向量都存储起来. 因此要使其存储量降低, 一个自然的想法是放弃正交性要求, 而选择其他适当的基向量.

类比于 MINRES 方法, 自然希望计算 Krylov 子空间 $\mathcal{K}_k(\mathbf{A}, \mathbf{r}_0)$ 的一组基向量 $\mathbf{v}_1, \mathbf{v}_2, \dots, \mathbf{v}_k$, 使得

$$\mathcal{K}_k(\mathbf{A}, \mathbf{r}_0) = \text{span}\{\mathbf{v}_1, \dots, \mathbf{v}_k\}, \quad \mathbf{v}_1 = \mathbf{r}_0 / \|\mathbf{r}_0\|_2, \quad (4.165)$$



$$AV_k = V_{k+1}\tilde{T}_k, \quad (4.166)$$

式中: $V_{k+1} = [V_k, v_{k+1}] = [v_1, v_2, \dots, v_k, v_{k+1}]$ 列满秩, 而 \tilde{T}_k 是 $(k+1) \times k$ 阶三对角矩阵.

如果能够找到一种方法来实现式 (4.165) 和式 (4.166) 中的分解, 则由于这样的基满足等式 $AV_k = V_{k+1}\tilde{T}_k$, 向量 v_i 就可由三项递推公式来确定, 从而所需的存储量只有 $O(n)$ 而并非 GMRES 方法的 $O(kn)$. 然而, 这样一来, 所要解决的极小化问题 (4.52) 就转化为求 $z_k \in \mathbb{R}^k$, 使得

$$\|r_k\|_2 = \|V_{k+1}(\beta e_1 - \tilde{T}_k z_k)\|_2 = \min, \quad (4.167)$$

式中: $r_k = b - AV_k z_k$, $\beta = \|r_0\|_2$. 但由于此时的 V_{k+1} 列向量并不正交, 故求解这一极小化问题就有很大的困难. 注意到

$$\|r_k\|_2 = \|V_{k+1}(\beta e_1 - \tilde{T}_k z_k)\|_2 \leq \|V_{k+1}\|_2 \|\beta e_1 - \tilde{T}_k z_k\|_2,$$





如果 $\|\mathbf{V}_{k+1}\|_2$ 不是特别大, 则只需求得最小二乘问题

$$\min \{ \|\beta \mathbf{e}_1 - \tilde{\mathbf{T}}_k \mathbf{z}\|_2 : \mathbf{z} \in \mathbb{R}^k \} \quad (4.168)$$

的解 \mathbf{z}_k . 虽然 $\|\mathbf{r}_k\|_2$ 并没有达到最小, 但也会相对很小, 这就是拟极小化方法的基本想法. 总结起来, 主要有两步:

第 1 步, 计算 $\mathcal{K}_k(\mathbf{A}, \mathbf{b})$ 之满足条件 (4.165) 和 (4.166) 的一组基.

第 2 步, 求解最小二乘问题 (4.168).

关键是第 1 步如何实现, 第 2 步可用与 4.3 节中完全一样的方法来求解. 这里用非对称 Lanczos 方法实现 $\mathcal{K}_k(\mathbf{A}, \mathbf{r}_0)$ 基向量的计算问题.



Back

Close

§4.5.1 非对称 Lanczos 方法

非对称 Lanczos 方法是对称 Lanczos 方法的一种自然的推广, 它是同时计算 $\mathcal{K}_k(\mathbf{A}, \mathbf{v}_1)$ 和 $\mathcal{K}_k(\mathbf{A}^T, \mathbf{w}_1)$ 的基向量 $\mathbf{v}_1, \mathbf{v}_2, \dots, \mathbf{v}_k$ 和 $\mathbf{w}_1, \mathbf{w}_2, \dots, \mathbf{w}_k$, 使得

$$\mathbf{w}_i^T \mathbf{v}_j = \begin{cases} 0, & i \neq j, \\ 1, & i = j. \end{cases} \quad (4.169)$$

式 (4.169) 称为双正交性条件.

设矩阵 \mathbf{A} 和向量 \mathbf{v}_1 已经给定, 并且假定 $\|\mathbf{v}_1\|_2 = 1$. 首先需选择一个 $\mathbf{w}_1 \in \mathbb{R}^n$, 使得 $\mathbf{v}_1^T \mathbf{w}_1 = 1$. 如果没有什么特别的信息可以利用的话, 可以简单地选择 $\mathbf{w}_1 = \mathbf{v}_1$. 然后类比于对称 Lanczos 方法的计算过程, 也采用如下的三项递推方式, 即





$$\begin{cases} \beta_i \mathbf{v}_{i+1} = \mathbf{A} \mathbf{v}_i - \alpha_i \mathbf{v}_i - \gamma_{i-1} \mathbf{v}_{i-1}, \\ \gamma_i \mathbf{w}_{i+1} = \mathbf{A}^T \mathbf{w}_i - \alpha_i \mathbf{w}_i - \beta_{i-1} \mathbf{w}_{i-1}. \end{cases} \quad (4.170)$$

依次确定 $\alpha_i, \beta_i, \gamma_i, \mathbf{v}_{i+1}$ 和 \mathbf{w}_{i+1} . 这里假定 $\gamma_0 \mathbf{v}_0 = \beta_0 \mathbf{w}_0 = \mathbf{0}$, 即当 $i = 1$ 时, 有

$$\begin{aligned} \beta_1 \mathbf{v}_2 &= \mathbf{A} \mathbf{v}_1 - \alpha_1 \mathbf{v}_1, \\ \gamma_1 \mathbf{w}_2 &= \mathbf{A}^T \mathbf{w}_1 - \alpha_1 \mathbf{w}_1. \end{aligned}$$

由于希望计算得到的 \mathbf{v}_2 和 \mathbf{w}_2 满足 $\mathbf{v}_2 \perp \mathbf{w}_1, \mathbf{w}_2 \perp \mathbf{v}_1$, 故在上面的第 1 式两边左乘 \mathbf{w}_1^T , 得

$$\alpha_1 = \mathbf{w}_1^T \mathbf{A} \mathbf{v}_1. \quad (4.171)$$

此处利用了 $\mathbf{w}_1^T \mathbf{v}_1 = 1$. 当然, 也可以在前面的第 2 式两边左乘 \mathbf{v}_1^T ,





得到 α_1 的表达式 (4.171). 一旦 α_1 确定, 便可计算

$$\begin{aligned}\beta_1 \mathbf{v}_2 &= \tilde{\mathbf{v}}_2 = \mathbf{A} \mathbf{v}_1 - \alpha_1 \mathbf{v}_1, \\ \gamma_1 \mathbf{w}_2 &= \tilde{\mathbf{w}}_2 = \mathbf{A}^T \mathbf{w}_1 - \alpha_1 \mathbf{w}_1.\end{aligned}$$

由于要求 $\mathbf{v}_2^T \mathbf{w}_2 = 1$, 故必有

$$\beta_1 \gamma_1 = \tilde{\mathbf{v}}_2^T \tilde{\mathbf{w}}_2 = \omega_1.$$

如果 $\omega_1 = 0$, 则只好结束; 否则可选择两个数 β_1 和 γ_1 使上式成立. 可选择

$$\beta_1 = \sqrt{|\omega_1|}, \quad \gamma_1 = \omega_1 / \beta_1. \quad (4.172)$$

这样一来, 所需的向量 \mathbf{v}_2 和 \mathbf{w}_2 即为

$$\mathbf{v}_2 = \tilde{\mathbf{v}}_2 / \beta_1, \quad \mathbf{w}_2 = \tilde{\mathbf{w}}_2 / \gamma_1. \quad (4.173)$$



Back

Close

假定已经确定了

$$\mathbf{v}_1, \mathbf{v}_2, \dots, \mathbf{v}_i; \quad \mathbf{w}_1, \mathbf{w}_2, \dots, \mathbf{w}_i;$$

$$\alpha_1, \alpha_2, \dots, \alpha_{i-1}; \quad \gamma_1, \gamma_2, \dots, \gamma_{i-1}; \quad \beta_1, \beta_2, \dots, \beta_{i-1},$$

下一步利用 $\mathbf{w}_i^T \mathbf{v}_{i+1} = \mathbf{w}_i^T \mathbf{v}_{i-1} = 0$ 和 $\mathbf{w}_i^T \mathbf{v}_i = 1$, 从式 (4.170) 的第 1 式可导出

$$\alpha_i = \mathbf{w}_i^T \mathbf{A} \mathbf{v}_i. \quad (4.174)$$

然后, 计算

$$\begin{cases} \tilde{\mathbf{v}}_{i+1} = \mathbf{A} \mathbf{v}_i - \alpha_i \mathbf{v}_i - \gamma_{i-1} \mathbf{v}_{i-1}, \\ \tilde{\mathbf{w}}_{i+1} = \mathbf{A}^T \mathbf{w}_i - \alpha_i \mathbf{w}_i - \beta_{i-1} \mathbf{w}_{i-1}, \\ \omega_i = \tilde{\mathbf{v}}_{i+1}^T \tilde{\mathbf{w}}_{i+1}. \end{cases} \quad (4.175)$$





若 $\omega_i = 0$, 则结束; 否则, 计算

$$\beta_i = \sqrt{|\omega_i|}, \quad \gamma_i = \omega_i/\beta_i, \quad \mathbf{v}_{i+1} = \tilde{\mathbf{v}}_{i+1}/\beta_i, \quad \mathbf{w}_{i+1} = \tilde{\mathbf{w}}_{i+1}/\gamma_i. \quad (4.176)$$

假定上述过程共进行了 k 步, 现在令

$$\mathbf{V}_k = [\mathbf{v}_1, \mathbf{v}_2, \dots, \mathbf{v}_k], \quad \mathbf{W}_k = [\mathbf{w}_1, \mathbf{w}_2, \dots, \mathbf{w}_k],$$

$$\mathbf{T}_k = \begin{bmatrix} \alpha_1 & \gamma_1 & & & \\ \beta_1 & \alpha_2 & \gamma_2 & & \\ & \beta_2 & \ddots & \ddots & \\ & & \ddots & \ddots & \gamma_{k-1} \\ & & & \beta_{k-1} & \alpha_k \end{bmatrix}. \quad (4.177)$$

则易从上面的推导过程归纳地证明关于非对称 Lanczos 迭代的如下基本性质:



Back

Close



$$(1) \quad \mathbf{A}\mathbf{V}_k = \mathbf{V}_k\mathbf{T}_k + \beta_k\mathbf{v}_{k+1}\mathbf{e}_k^T.$$

$$(2) \quad \mathbf{A}^T\mathbf{W}_k = \mathbf{W}_k\mathbf{T}_k^T + \gamma_k\mathbf{w}_{k+1}\mathbf{e}_k^T.$$

$$(3) \quad \mathbf{V}_k^T\mathbf{W}_k = \mathbf{I}_k, \mathbf{v}_{k+1}^T\mathbf{W}_k = \mathbf{0}, \mathbf{w}_{k+1}^T\mathbf{V}_k = \mathbf{0}, \mathbf{w}_{k+1}^T\mathbf{v}_{k+1} = 1.$$

$$(4) \quad \mathcal{K}_k(\mathbf{A}, \mathbf{v}_1) = \text{span}\{\mathbf{v}_1, \mathbf{v}_2, \dots, \mathbf{v}_k\}.$$

$$(5) \quad \mathcal{K}_k(\mathbf{A}^T, \mathbf{w}_1) = \text{span}\{\mathbf{w}_1, \mathbf{w}_2, \dots, \mathbf{w}_k\}.$$

其实 (1) 和 (2) 就是前面算法的矩阵表示. (4) 和 (5) 是前三条的直接推论. 例如 (4), 由 (1) 归纳地可证 $\mathbf{v}_i \in \mathcal{K}_k(\mathbf{A}, \mathbf{v}_1), i = 1, 2, \dots, k$, 而 (3) 又蕴涵着 \mathbf{V}_k 是列满秩的 (即 $\mathbf{v}_1, \mathbf{v}_2, \dots, \mathbf{v}_k$ 是线性无关的), 从而必有 (4) 成立. 因此关键是 (3) 的证明.

下面用数学归纳法证明性质 (3). 首先由初值 \mathbf{w}_1 的选择知, 自然有 $\mathbf{w}_1^T\mathbf{v}_1 = 1$ 成立. 现在假设已经对自然数 i 证明了向量组 $\mathbf{v}_1, \mathbf{v}_2, \dots, \mathbf{v}_i$ 和 $\mathbf{w}_1, \mathbf{w}_2, \dots, \mathbf{w}_i$ 满足双正交性条件, 再来考虑 $i+1$ 的情形. 注意这里假定 $i+1 \leq k+1$.



Back

Close



首先由归纳法假设和 α_i 的定义, 有

$$\begin{aligned} \mathbf{v}_{i+1}^T \mathbf{w}_i &= \frac{1}{\beta_i} (\mathbf{A} \mathbf{v}_i - \alpha_i \mathbf{v}_i - \gamma_{i-1} \mathbf{v}_{i-1})^T \mathbf{w}_i \\ &= \frac{1}{\beta_i} (\mathbf{v}_i^T \mathbf{A}^T \mathbf{w}_i - \alpha_i) = 0. \end{aligned}$$

对任意的 $l < i$, 有

$$\begin{aligned} \mathbf{v}_{i+1}^T \mathbf{w}_l &= \frac{1}{\beta_i} (\mathbf{v}_i^T \mathbf{A}^T \mathbf{w}_l - \alpha_i \mathbf{v}_i^T \mathbf{w}_l - \gamma_{i-1} \mathbf{v}_{i-1}^T \mathbf{w}_l) \\ &= \frac{1}{\beta_i} [\mathbf{v}_i^T (\alpha_l \mathbf{w}_l + \beta_{l-1} \mathbf{w}_{l-1} + \gamma_l \mathbf{w}_{l+1}) - \gamma_{i-1} \mathbf{v}_{i-1}^T \mathbf{w}_l]. \end{aligned}$$

当 $l < i - 1$ 时, 由归纳法假设立即由上式知 $\mathbf{v}_{i+1}^T \mathbf{w}_l = 0$. 而当 $l = i - 1$ 时, 直接计算有

$$\mathbf{v}_{i+1}^T \mathbf{w}_{i-1} = \frac{1}{\beta_i} (\alpha_{i-1} \mathbf{v}_i^T \mathbf{w}_{i-1} + \beta_{i-2} \mathbf{v}_i^T \mathbf{w}_{i-2} + \gamma_{i-1} \mathbf{v}_i^T \mathbf{w}_i - \gamma_{i-1} \mathbf{v}_{i-1}^T \mathbf{w}_{i-1}) = 0,$$

最后的等式用到了归纳法假设. 至于 $\mathbf{w}_{i+1}^T \mathbf{v}_{i+1} = 1$ 可由计算过程



Back

Close



立即得到. 这表明 (3) 对 $i+1$ 也成立. 因此由归纳法原理知 (3) 成立.

综合上面的讨论, 可得下面的非对称 Lanczos 方法.

算法 4.13 (非对称 Lanczos 方法) 给定矩阵 $A \in \mathbb{R}^{n \times n}$, 向量 $v_1 \in \mathbb{R}^n$ ($\|v_1\|_2 = 1$) 和正整数 k . 本算法计算形如 (4.177) 的三个矩阵 V_k, W_k 和 T_k , 以及向量 v_{k+1}, w_{k+1} 和数 β_k, γ_k , 满足前面所述的 5 条性质.

选择向量 $w_1 \in \mathbb{R}^n$ 满足 $w_1^T v_1 = 1$;

$v = Av_1; w = A^T w_1$;

for $i = 1 : k$

$\alpha_i = w_i^T v; v = v - \alpha_i v_i; w = w - \alpha_i w_i$;

if $\|v\|_2 = 0$ 或者 $\|w\|_2 = 0$

stop



Back

Close



else

$$\omega_i = \mathbf{v}^T \mathbf{w};$$

end

if $\omega_i = 0$

stop

else

$$\beta_i = \sqrt{|\omega_i|}; \quad \gamma_i = \omega_i / \beta_i;$$

$$\mathbf{v}_{i+1} = \mathbf{v} / \beta_i; \quad \mathbf{w}_{i+1} = \mathbf{w} / \gamma_i;$$

end

$$\mathbf{v} = \mathbf{A} \mathbf{v}_{i+1} - \gamma_i \mathbf{v}_i; \quad \mathbf{w} = \mathbf{A}^T \mathbf{w}_{i+1} - \beta_i \mathbf{w}_i;$$

end

注 4.5 非对称 Lanczos 迭代的基本性质 (1) ~ (3) 蕴涵着

$$\mathbf{T}_k = \mathbf{W}_k^T \mathbf{A} \mathbf{V}_k.$$



Back

Close



这表明 \mathbf{T}_k 正好是 \mathbf{A} 沿着 $\mathcal{K}_k(\mathbf{A}^\mathrm{T}, \mathbf{w}_1)^\perp$ 到 $\mathcal{K}_k(\mathbf{A}, \mathbf{v}_1)$ 上的投影. 当然, \mathbf{T}_k^T 也是 \mathbf{A} 沿着 $\mathcal{K}_k(\mathbf{A}, \mathbf{v}_1)^\perp$ 到 $\mathcal{K}_k(\mathbf{A}^\mathrm{T}, \mathbf{w}_1)$ 上的投影. 有关投影的几何解释见注 4.6.

注 4.6 设 $\mathbf{X}, \mathbf{Y} \in \mathbb{R}^{n \times k}$ 满足 $\mathbf{Y}^\mathrm{T} \mathbf{X} = \mathbf{I}_k$, 并记

$$\mathcal{X} = \mathcal{R}(\mathbf{X}), \quad \mathcal{Y} = \mathcal{R}(\mathbf{Y}), \quad \mathbf{P} = \mathbf{X}\mathbf{Y}^\mathrm{T},$$

则容易验证

$$\mathcal{R}(\mathbf{P}) = \mathcal{X}, \quad \mathcal{N}(\mathbf{P}) = \mathcal{Y}^\perp, \quad \mathbf{P}^2 = \mathbf{P},$$

这表明 \mathbf{P} 是沿 \mathcal{Y}^\perp 到 \mathcal{X} 上的投影算子.

设 $\mathbf{A} \in \mathbb{R}^{n \times n}$, 将 \mathbf{A} 视作 \mathbb{R}^n 到 \mathbb{R}^n 的线性算子, 并记其在 \mathcal{X} 上的限制为 $\mathbf{A}|_{\mathcal{X}}$, 则 $\mathbf{P} \circ \mathbf{A}|_{\mathcal{X}}$ 就是从 \mathcal{X} 到 \mathcal{X} 的线性算子. 由于

$$\mathbf{P} \circ \mathbf{A}|_{\mathcal{X}}(\mathbf{X}\mathbf{v}) = \mathbf{X}\mathbf{Y}^\mathrm{T} \mathbf{A}\mathbf{X}\mathbf{v}, \quad \forall \mathbf{v} \in \mathbb{R}^k,$$



Back

Close



故 $B = Y^T A X$ 正好是算子 $P \circ A|_{\mathcal{X}}$ 在给定基 X 之下的矩阵表示. 因此, 通常就称 B 是 A 沿 \mathcal{Y}^\perp 到 \mathcal{X} 上的投影.

从实际应用的角度来看, 非对称 Lanczos 方法比 Arnoldi 方法有着很大的优势, 这主要体现在它仅需存储六个 n 维向量 (因为 $k \ll n$, 所以 T_k 的存储量是微不足道的), 并不随着 k 的增加而增加.

但是, 从另一个角度来看, 非对称 Lanczos 算法会发生中断, 即会出现 \tilde{v}_{i+1} 和 \tilde{w}_{i+1} 均不为零, 而 $\tilde{w}_{i+1}^T \tilde{v}_{i+1} = 0$ 的情形. 虽然在实际计算时出现 $\tilde{w}_{i+1}^T \tilde{v}_{i+1} = 0$ 的概率很小, 但 $|\tilde{w}_{i+1}^T \tilde{v}_{i+1}|$ 很小的情况还是经常会遇到的, 此时 $|\gamma_i|$ 和 $|\beta_i|$ 之中有一个就会变得很小, 从而导致在计算过程中引进较大的误差. 解决这一问题的一种方法就是采用 Look-ahead 技术. Look-ahead 方式是基于对算法 4.13 的仔细观察而得到的. 在遇到中断的时候, 虽然不能给出 v_{i+1} 和



Back

Close



w_{i+1} , 但却常常可以给出 v_{i+2} 和 w_{i+2} . 这就使得 Lanczos 方法可以继续下去. Look-ahead 技术虽然解决了非对称 Lanczos 算法的中断问题, 然而付出的代价也是不容忽视的: 一是使得实现过程变得更加复杂; 二是得到的投影矩阵已经不是三对角矩阵, 致使 QMRES 方法的运算复杂性大为增加. 因此, 就求解线性方程组而言, 通常是放弃使用 Look-ahead, 而是在遇到中断时简单地采用重新开始的办法.

§4.5.2 QMRES 方法

从 $v_1 = r_0 / \|r_0\|_2$ 出发, 用算法 4.13 计算得到分解

$$AV_k = V_k T_k + \beta_k v_{k+1} e_k^T = V_{k+1} \tilde{T}_k \quad (4.178)$$



Back

Close

之后, QMRES 方法的下一步是求解最小二乘问题

$$\min \{ \|\beta \mathbf{e}_1 - \tilde{\mathbf{T}}_k \mathbf{z}\|_2 : \mathbf{z} \in \mathbb{R}^k \}, \quad (4.179)$$

式中: $\beta = \|\mathbf{r}_0\|_2$. 一旦这样的 \mathbf{z}_k 求得, 则所寻求的 \mathbf{x}_k 就是 $\mathbf{x}_k = \mathbf{x}_0 + \mathbf{V}_k \mathbf{z}_k$.

极小化问题 (4.179) 是一个系数矩阵为三对角矩阵的最小二乘问题, 仍然用 QR 分解方法来求解.

由于 $\tilde{\mathbf{T}}_k$ 具有式 (4.177) 所示的形状, 故可以计算 k 个 Givens 变换 $\mathbf{G}_1, \mathbf{G}_2, \dots, \mathbf{G}_k$, 使得

$$\mathbf{G}_k \mathbf{G}_{k-1} \cdots \mathbf{G}_2 \mathbf{G}_1 \tilde{\mathbf{T}}_k = \begin{bmatrix} \mathbf{R}_k \\ \mathbf{O} \end{bmatrix}, \quad (4.180)$$



式中:

$$\mathbf{G}_i = \text{diag} \left(\mathbf{I}_{i-1}, \begin{bmatrix} c_i & s_i \\ -s_i & c_i \end{bmatrix}, \mathbf{I}_{k-i} \right) \in \mathbb{R}^{(k+1) \times (k+1)}, \quad c_i^2 + s_i^2 = 1,$$

$$\mathbf{R}_k = \begin{bmatrix} \sigma_1 & \delta_1 & \varepsilon_1 & & \\ & \sigma_2 & \delta_2 & \ddots & \\ & & \ddots & \ddots & \varepsilon_{k-2} \\ & & & \sigma_{k-1} & \delta_{k-1} \\ & & & & \sigma_k \end{bmatrix}, \quad (4.181)$$

而且 $\beta_i \neq 0$ 蕴涵着 $\sigma_i \neq 0, i = 1, 2, \dots, k$, 从而 \mathbf{R}_k 是非奇异的.





令

$$\mathbf{G} = \mathbf{G}_k \mathbf{G}_{k-1} \cdots \mathbf{G}_2 \mathbf{G}_1, \quad \begin{bmatrix} \mathbf{t}_k \\ \rho_k \end{bmatrix} = \mathbf{G}(\beta \mathbf{e}_1), \quad \mathbf{t}_k = (\tau_1, \tau_2, \cdots, \tau_k)^T, \quad (4.182)$$

则 \mathbf{G} 是 $k+1$ 阶正交矩阵, 而且直接计算有

$$\begin{aligned} \tau_1 &= \beta c_1, \quad \tau_i = (-1)^{i-1} \beta s_1 s_2 \cdots s_{i-1} c_i, \quad i = 2, 3, \cdots, k, \\ \rho_k &= (-1)^k \beta s_1 s_2 \cdots s_k. \end{aligned} \quad (4.183)$$

这样, 利用式 (4.180) 和式 (4.182), 有

$$\begin{aligned} \|\tilde{\mathbf{T}}_k \mathbf{z} - \beta \mathbf{e}_1\|_2^2 &= \|\mathbf{G}(\tilde{\mathbf{T}}_k \mathbf{z} - \beta \mathbf{e}_1)\|_2^2 = \left\| \begin{bmatrix} \mathbf{R}_k \\ \mathbf{0} \end{bmatrix} \mathbf{z} - \begin{bmatrix} \mathbf{t}_k \\ \rho_k \end{bmatrix} \right\|_2^2 \\ &= \|\mathbf{R}_k \mathbf{z} - \mathbf{t}_k\|_2^2 + \rho_k^2 \end{aligned}$$



Back

Close



对任意的 $z \in \mathbb{R}^k$ 成立. 由此立即知道, 最小二乘问题 (4.179) 有唯一解

$$z_k = R_k^{-1} t_k, \quad (4.184)$$

而且有

$$\|\tilde{T}_k z_k - \beta e_1\|_2 = |\rho_k|. \quad (4.185)$$

由式 (4.184) 求得 z_k 之后, 就可算出所求的 x_k 为 $x_k = x_0 + V_k z_k$.

由式 (4.167) 和式 (4.185), 得

$$\|r_k\|_2 = \|b - Ax_k\|_2 \leq \|V_{k+1}\|_2 \|\beta e_1 - \tilde{T}_k z_k\|_2 = \|V_{k+1}\|_2 |\rho_k|,$$

故在实际计算时, 可以用

$$|\rho_k|/\beta \leq \varepsilon \quad (4.186)$$

作为迭代终止的准则, 其中 $\varepsilon > 0$ 是给定的误差要求.



Back

Close



由式 (4.183) 可知, ρ_k 的值并不需要 z_k 和 x_k 的信息. 因此, 只需在 ρ_k 满足式 (4.186) 之后, 再去计算 z_k 和 x_k 即可.

将式 (4.184) 代入 $x_k = x_0 + V_k z_k$, 得

$$x_k = x_0 + V_k R_k^{-1} t_k = x_0 + P_k t_k, \quad (4.187)$$

式中: $P_k = V_k R_k^{-1}$. 这样, 只要将 P_k 算出, 就可以通过式 (4.187) 来计算 x_k . 令 $P_k = [p_1, p_2, \cdots, p_k]$, 则比较 $P_k R_k = V_k$ 两边的每一列, 得

$$\sigma_1 p_1 = v_1,$$

$$\delta_1 p_1 + \sigma_2 p_2 = v_2,$$

$$\varepsilon_{i-2} p_{i-2} + \delta_{i-1} p_{i-1} + \sigma_i p_i = v_i, \quad i = 3, 4, \cdots, k.$$



Back

Close



由此可求得 P_k 的列向量为

$$\begin{cases} p_1 = v_1/\sigma_1, \\ p_2 = (v_2 - \delta_1 p_1)/\sigma_2, \\ p_i = (v_i - \varepsilon_{i-2} p_{i-2} - \delta_{i-1} p_{i-1})/\sigma_i, \quad i = 3, 4, \dots, k. \end{cases} \quad (4.188)$$

下面借助式 (4.183), 式 (4.187) 和式 (4.188) 导出计算 x_k 的递推公式.

首先注意到, 若非对称 Lanczos 分解的长度由 k 增加到 $k+1$, 则有

$$\tilde{T}_{k+1} = \left[\begin{array}{c|c} \tilde{T}_k & \tilde{t}_{k+1} \\ \hline \mathbf{0} & \beta_{k+1} \end{array} \right], \quad \tilde{t}_{k+1} = (0, \dots, 0, \gamma_k, \alpha_{k+1})^T,$$



Back

Close

于是有

$$\mathbf{R}_{k+1} = \left[\begin{array}{c|c} \mathbf{R}_k & \tilde{\mathbf{r}}_{k+1} \\ \hline \mathbf{0} & \sigma_{k+1} \end{array} \right], \quad \tilde{\mathbf{r}}_{k+1} = (0, \dots, 0, \varepsilon_{k-1}, \delta_k)^T, \quad (4.189)$$

式中:

$$\varepsilon_{k-1} = s_{k-1}\gamma_k, \quad \hat{\gamma}_k = c_{k-1}\gamma_k,$$

$$\delta_k = c_k\hat{\gamma}_k + s_k\alpha_{k+1}, \quad \tilde{\alpha}_{k+1} = -s_k\hat{\gamma}_k + c_k\alpha_{k+1}.$$

上面的四个等式由如下 Givens 变换得到:

$$\tilde{\mathbf{T}}_{k+1} = \left[\begin{array}{ccc|ccc} \alpha_1 & \gamma_1 & & & & \\ \beta_1 & \alpha_2 & \gamma_2 & & & \\ & \ddots & \ddots & \ddots & & \\ & & \beta_{k-3} & \alpha_{k-2} & \gamma_{k-2} & \\ & & & \beta_{k-2} & \alpha_{k-1} & \gamma_{k-1} \\ & & & & \beta_{k-1} & \alpha_k & \gamma_k \\ & & & & & \beta_k & \alpha_{k+1} \\ \hline & & & & & & \beta_{k+1} \end{array} \right] \xrightarrow{\mathbf{G}_1} \left[\begin{array}{ccc|ccc} \sigma_1 & \delta_1 & \varepsilon_1 & & & \\ & \tilde{\alpha}_2 & \hat{\gamma}_2 & & & \\ & & \ddots & \ddots & \ddots & \\ & & & \alpha_{k-2} & \gamma_{k-2} & \\ & & & \beta_{k-2} & \alpha_{k-1} & \gamma_{k-1} \\ & & & & \beta_{k-1} & \alpha_k & \gamma_k \\ & & & & & \beta_k & \alpha_{k+1} \\ \hline & & & & & & \beta_{k+1} \end{array} \right]$$





202/294

$$\begin{array}{c}
 \xrightarrow{G_2} \dots \xrightarrow{G_{k-2}} \left[\begin{array}{ccc|ccc}
 \sigma_1 & \delta_1 & \varepsilon_1 & & & \\
 & \sigma_2 & \delta_2 & \varepsilon_2 & & \\
 & & \ddots & \ddots & \ddots & \\
 & & & \sigma_{k-2} & \delta_{k-2} & \varepsilon_{k-2} \\
 & & & & \tilde{\alpha}_{k-1} & \hat{\gamma}_{k-1} \\
 & & & & \beta_{k-1} & \alpha_k & \gamma_k \\
 & & & & & \beta_k & \alpha_{k+1} \\
 \hline
 & & & & & & \beta_{k+1}
 \end{array} \right] \\
 \\
 \xrightarrow{G_{k-1}} \left[\begin{array}{ccc|ccc}
 \sigma_1 & \delta_1 & \varepsilon_1 & & & \\
 & \sigma_2 & \delta_2 & \varepsilon_2 & & \\
 & & \ddots & \ddots & \ddots & \\
 & & & \sigma_{k-2} & \delta_{k-2} & \varepsilon_{k-2} \\
 & & & & \sigma_{k-1} & \delta_{k-1} & \varepsilon_{k-1} \\
 & & & & & \tilde{\alpha}_k & \hat{\gamma}_k \\
 & & & & & \beta_k & \alpha_{k+1} \\
 \hline
 & & & & & & \beta_{k+1}
 \end{array} \right] \xrightarrow{G_k} \left[\begin{array}{ccc|ccc}
 \sigma_1 & \delta_1 & \varepsilon_1 & & & \\
 & \sigma_2 & \delta_2 & \varepsilon_2 & & \\
 & & \ddots & \ddots & \ddots & \\
 & & & \sigma_{k-2} & \delta_{k-2} & \varepsilon_{k-2} \\
 & & & & \sigma_{k-1} & \delta_{k-1} & \varepsilon_{k-1} \\
 & & & & & \sigma_k & \delta_k \\
 & & & & & & \tilde{\alpha}_{k+1} \\
 \hline
 & & & & & & \beta_{k+1}
 \end{array} \right],
 \end{array}$$





即由

$$\begin{bmatrix} c_{k-1} & s_{k-1} \\ -s_{k-1} & c_{k-1} \end{bmatrix} \begin{bmatrix} 0 \\ \gamma_k \end{bmatrix} = \begin{bmatrix} \varepsilon_{k-1} \\ \hat{\gamma}_k \end{bmatrix},$$

$$\begin{bmatrix} c_k & s_k \\ -s_k & c_k \end{bmatrix} \begin{bmatrix} \hat{\gamma}_k \\ \alpha_{k+1} \end{bmatrix} = \begin{bmatrix} \delta_k \\ \tilde{\alpha}_{k+1} \end{bmatrix}$$

得到. 而 σ_{k+1} 是在确定第 $k+1$ 个 Givens 变换 G_{k+1} 时得到的, 即计算 $c_{k+1} = \cos \theta_{k+1}$ 和 $s_{k+1} = \sin \theta_{k+1}$, 使得

$$\begin{bmatrix} c_{k+1} & s_{k+1} \\ -s_{k+1} & c_{k+1} \end{bmatrix} \begin{bmatrix} \tilde{\alpha}_{k+1} \\ \beta_{k+1} \end{bmatrix} = \begin{bmatrix} \sigma_{k+1} \\ 0 \end{bmatrix}. \quad (4.190)$$

由式 (4.183) 可知 $\mathbf{t}_{k+1} = (\mathbf{t}_k^T, \tau_{k+1})^T$, 其中

$$\tau_{k+1} = (-1)^k \beta s_1 s_2 \cdots s_k c_{k+1} = \rho_k c_{k+1}, \quad (4.191)$$



Back

Close

而

$$\rho_{k+1} = (-1)^{k+1} \beta s_1 s_2 \cdots s_k s_{k+1} = -\rho_k s_{k+1}. \quad (4.192)$$

由式 (4.188) 和式 (4.189), 有

$$\begin{aligned} \mathbf{P}_{k+1} &= \mathbf{V}_{k+1} \mathbf{R}_{k+1}^{-1} \\ &= [\mathbf{V}_k, \mathbf{v}_{k+1}] \left[\begin{array}{c|c} \mathbf{R}_k^{-1} & -\mathbf{R}_k^{-1} \tilde{\mathbf{r}}_{k+1} / \sigma_{k+1} \\ \hline \mathbf{0} & 1 / \sigma_{k+1} \end{array} \right] \\ &= [\mathbf{P}_k, \mathbf{p}_{k+1}], \end{aligned} \quad (4.193)$$

这里

$$\begin{aligned} \mathbf{p}_{k+1} &= (\mathbf{v}_{k+1} - \mathbf{V}_k \mathbf{R}_k^{-1} \tilde{\mathbf{r}}_{k+1}) / \sigma_{k+1} = (\mathbf{v}_{k+1} - \mathbf{P}_k \tilde{\mathbf{r}}_{k+1}) / \sigma_{k+1} \\ &= (\mathbf{v}_{k+1} - \varepsilon_{k-1} \mathbf{p}_{k-1} - \delta_k \mathbf{p}_k) / \sigma_{k+1}. \end{aligned} \quad (4.194)$$



从而有

$$\mathbf{x}_{k+1} = \mathbf{x}_0 + \mathbf{P}_{k+1} \mathbf{t}_{k+1} = \mathbf{x}_0 + [\mathbf{P}_k, \mathbf{p}_{k+1}] \begin{bmatrix} \mathbf{t}_k \\ \tau_{k+1} \end{bmatrix} = \mathbf{x}_k + \tau_{k+1} \mathbf{p}_{k+1}, \quad (4.195)$$

这就得到了 \mathbf{x}_k 的递推公式.

算法 4.14 (QMRES 方法) 给定 n 阶非奇异的实矩阵 \mathbf{A} , n 维向量 \mathbf{b} , 初始向量 \mathbf{x}_0 和允许误差 $\varepsilon > 0$. 本算法计算向量 \mathbf{x}_k , 使得 $\|\mathbf{r}_k\|_2 / \|\mathbf{r}_0\|_2 \leq \varepsilon$, 其中 $\mathbf{r}_k = \mathbf{b} - \mathbf{A}\mathbf{x}_k$.

选取 \mathbf{x}_0 ; 计算 $\mathbf{r}_0 = \mathbf{b} - \mathbf{A}\mathbf{x}_0$; $\beta = \|\mathbf{r}_0\|_2$; $\mathbf{v}_1 = \mathbf{r}_0 / \beta$;

取一个 $\mathbf{w}_1 \in \mathbb{R}^n$, 使得 $\mathbf{w}_1^T \mathbf{v}_1 = 1$ (例如可取 $\mathbf{w}_1 = \mathbf{v}_1$);

$\alpha_1 = \mathbf{w}_1^T \mathbf{A} \mathbf{v}_1$; $\mathbf{v} = \mathbf{A} \mathbf{v}_1 - \alpha_1 \mathbf{v}_1$; $\mathbf{w} = \mathbf{A}^T \mathbf{w}_1 - \alpha_1 \mathbf{w}_1$;

$\omega = \mathbf{w}^T \mathbf{v}$;

if $\omega = 0$





$$\mathbf{x}_1 = \mathbf{x}_0 + \mathbf{r}_0/\alpha_1; \text{ 结束}$$

else

$$\beta_1 = \sqrt{|\omega|}; \quad \gamma_1 = \omega/\beta_1;$$

$$\mathbf{v}_2 = \mathbf{v}/\beta_1; \quad \mathbf{w}_2 = \mathbf{w}/\gamma_1;$$

end

确定 $c_1 = \cos \theta_1$ 和 $s_1 = \sin \theta_1$, 使得

$$\begin{bmatrix} c_1 & s_1 \\ -s_1 & c_1 \end{bmatrix} \begin{bmatrix} \alpha_1 \\ \beta_1 \end{bmatrix} = \begin{bmatrix} \sigma_1 \\ 0 \end{bmatrix};$$

$$\mathbf{p}_1 = \mathbf{v}_1/\sigma_1; \quad \rho_1 = -\beta s_1; \quad \tau_1 = \beta c_1;$$

$$\mathbf{p}_0 = \mathbf{0}; \quad c_0 = 1; \quad s_0 = 0; \quad \mathbf{x}_1 = \mathbf{x}_0 + \tau_1 \mathbf{p}_1; \quad k = 1;$$

while $(|\rho_k| > \beta \varepsilon)$

$$\alpha_{k+1} = \mathbf{w}_{k+1}^T \mathbf{A} \mathbf{v}_{k+1};$$

$$\mathbf{v} = \mathbf{A} \mathbf{v}_{k+1} - \alpha_{k+1} \mathbf{v}_{k+1} - \gamma_k \mathbf{v}_k;$$



Back

Close



$$\mathbf{w} = \mathbf{A}^T \mathbf{w}_{k+1} - \alpha_{k+1} \mathbf{w}_{k+1} - \beta_k \mathbf{w}_k;$$

$$\omega_{k+1} = \mathbf{w}^T \mathbf{v};$$

if $\omega_{k+1} = 0$

stop

else

$$\beta_{k+1} = \sqrt{|\omega_{k+1}|}; \quad \gamma_{k+1} = \omega_{k+1} / \beta_{k+1};$$

$$\mathbf{v}_{k+2} = \mathbf{v} / \beta_{k+1}; \quad \mathbf{w}_{k+2} = \mathbf{w} / \gamma_{k+1};$$

end

$$\varepsilon_{k-1} = s_{k-1} \gamma_k; \quad \hat{\gamma}_k = c_{k-1} \gamma_k;$$

$$\delta_k = c_k \hat{\gamma}_k + s_k \alpha_{k+1}; \quad \tilde{\alpha}_{k+1} = -s_k \hat{\gamma}_k + c_k \alpha_{k+1};$$

确定 $c_{k+1} = \cos \theta_{k+1}$ 和 $s_{k+1} = \sin \theta_{k+1}$, 使得

$$\begin{bmatrix} c_{k+1} & s_{k+1} \\ -s_{k+1} & c_{k+1} \end{bmatrix} \begin{bmatrix} \tilde{\alpha}_{k+1} \\ \beta_{k+1} \end{bmatrix} = \begin{bmatrix} \sigma_{k+1} \\ 0 \end{bmatrix};$$



Back

Close



$$\tau_{k+1} = \rho_k c_{k+1}; \quad \rho_{k+1} = -\rho_k s_{k+1};$$

$$\mathbf{p}_{k+1} = (\mathbf{v}_{k+1} - \varepsilon_{k-1} \mathbf{p}_{k-1} - \delta_k \mathbf{p}_k) / \sigma_{k+1};$$

$$\mathbf{x}_{k+1} = \mathbf{x}_k + \tau_{k+1} \mathbf{p}_{k+1};$$

$$k = k + 1;$$

end

注 4.7 (1) 该算法只需存储 10 个 n 维向量即可, 并不随着 k 的增加而增加.

(2) 同样可以考虑预处理 QMRES 方法 (记为 PQMRES). 选定预处理矩阵 \mathbf{M} , 然后将 QMRES 方法应用到求解方程组

$$\mathbf{M}^{-1} \mathbf{A} \mathbf{x} = \mathbf{M}^{-1} \mathbf{b}.$$

这只需要在算法 4.14 中将非对称 Lanczos 过程中的矩阵 \mathbf{A} 替换成 $\mathbf{M}^{-1} \mathbf{A}$ 及初始残差 $\mathbf{r}_0 = \mathbf{b} - \mathbf{A} \mathbf{x}_0$ 替换成 $\mathbf{r}_0 = \mathbf{M}^{-1}(\mathbf{b} - \mathbf{A} \mathbf{x}_0)$ 即可.



Back

Close



例 4.11 给定线性方程组的系数矩阵 \mathbf{A} 和右端项分别为

$$\mathbf{A} = \begin{bmatrix} 4 & -1 & & \\ -2 & 4 & \ddots & \\ & \ddots & \ddots & -1 \\ & & -2 & 4 \end{bmatrix}, \quad \mathbf{b} = \mathbf{A} \begin{bmatrix} 1 \\ 1 \\ \vdots \\ 1 \end{bmatrix},$$

其中 $n = 1000$. 显然, 该方程组的真解为 $\mathbf{x}^* = (1, 1, \dots, 1)^T$. 应用 QMRES 方法到该方程组上 ($\varepsilon = 10^{-10}$), 迭代在 25 步后满足终止条件, 计算得到的近似解 $\hat{\mathbf{x}} = \mathbf{x}_{25}$ 满足终止条件, 但

$$\|\hat{\mathbf{x}} - \mathbf{x}^*\|_2 = 3.0263 \times 10^{-6}, \quad \|\mathbf{b} - \mathbf{A}\hat{\mathbf{x}}\|_2 = 9.8572 \times 10^{-6}.$$

若选取预处理矩阵为 $\mathbf{M} = \text{tril}(\mathbf{A})$ (即 \mathbf{A} 的下三角部分). 应用 PQMRES 方法到该方程组上 ($\varepsilon = 10^{-10}$), 迭代在 12 步后满足终



Back

Close



止条件, 计算得到的近似解 $\tilde{\mathbf{x}} = \mathbf{x}_{12}$ 满足终止条件, 但

$$\|\tilde{\mathbf{x}} - \mathbf{x}^*\|_2 = 3.4207 \times 10^{-5}, \quad \|\mathbf{b} - \mathbf{A}\tilde{\mathbf{x}}\|_2 = 2.3047 \times 10^{-4}.$$

若将 GMRES 法应用于此例, 迭代在 40 步后满足终止条件, 计算得到的近似解 $\tilde{\mathbf{x}} = \mathbf{x}_{40}$ 满足

$$\|\tilde{\mathbf{x}} - \mathbf{x}^*\|_2 = 1.5159 \times 10^{-9}, \quad \|\mathbf{b} - \mathbf{A}\tilde{\mathbf{x}}\|_2 = 2.1777 \times 10^{-9}.$$

迭代过程的收敛轨迹如图 4.12 所示, 其中横坐标为迭代步数 k , 纵坐标为相对残差 $\|\mathbf{r}_k\|_2/\|\mathbf{r}_0\|_2$, 这里 \mathbf{r}_k 是第 k 步得到的残差向量. 值得注意的是, Jacobi 预条件子对本例无效 (矩阵 \mathbf{A} 的对角元素相同), Gauss-Seidel 预条件子虽然对迭代的加速很明显, 但在计算时间上没有任何优势.



Back

Close

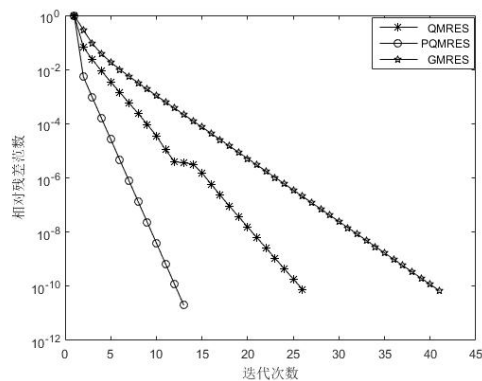


图 4.12 QMRES, PQMRES 和 GMRES 方法的收敛特性



Back

Close

§4.6 LSQR 方法



212/294

本节讨论用 LSQR 方法求解 n 阶非对称方程组

$$Ax = b,$$

或当 $A \in \mathbb{R}^{m \times n}$ ($m > n$) 时, 求解最小二乘问题

$$\min \|Ax - b\|_2. \quad (4.196)$$

这类方法基于 Lanczos 双对角化的思想, 是求解非对称方程组尤其是超定方程组 (线性最小二乘问题) 的一类十分有效的子空间方法.

§4.6.1 Lanczos 双对角化方法

设 $A \in \mathbb{R}^{m \times n}$ ($m \geq n$). 给定初始向量 $u_1 \in \mathbb{R}^m$ 满足 $\|u_1\|_2 =$

1. 双对角化方法产生 m 维向量组 u_1, u_2, \dots 和 n 维向量组 v_1, v_2, \dots



Back

Close



如下:

$$\alpha_i \mathbf{v}_i = \mathbf{A}^T \mathbf{u}_i - \beta_i \mathbf{v}_{i-1} \quad (\beta_1 \mathbf{v}_0 = \mathbf{0}), \quad (4.197)$$

$$\beta_{i+1} \mathbf{u}_{i+1} = \mathbf{A} \mathbf{v}_i - \alpha_i \mathbf{u}_i, \quad i = 1, 2, \dots, \quad (4.198)$$

式中: $\alpha_i, \beta_{i+1} \geq 0$, 且使 $\|\mathbf{u}_{i+1}\|_2 = \|\mathbf{v}_i\|_2 = 1$. 因此, 上述双对角方法可如下实现:

算法 4.15 (Lanczos 双对角化方法) 给定矩阵 $\mathbf{A} \in \mathbb{R}^{m \times n}$ ($m \geq n$), 初始向量 $\mathbf{u}_1 \in \mathbb{R}^m$ 满足 $\|\mathbf{u}_1\|_2 = 1$, $\mathbf{v}_0 = \mathbf{0}$ 和 $\beta_1 = 0$.

for $i = 1 : k$

$$\hat{\mathbf{v}}_i = \mathbf{A}^T \mathbf{u}_i - \beta_i \mathbf{v}_{i-1};$$

$$\alpha_i = \|\hat{\mathbf{v}}_i\|_2; \quad \mathbf{v}_i = \hat{\mathbf{v}}_i / \alpha_i;$$

$$\hat{\mathbf{u}}_{i+1} = \mathbf{A} \mathbf{v}_i - \alpha_i \mathbf{u}_i;$$

$$\beta_{i+1} = \|\hat{\mathbf{u}}_{i+1}\|_2; \quad \mathbf{u}_{i+1} = \hat{\mathbf{u}}_{i+1} / \beta_{i+1};$$

end



Back

Close



假设 $\alpha_i, \beta_{i+1} \neq 0, i = 1, 2, \dots, k$, 则上述 Lanczos 双对角化过程可进行到第 k 步, 且若令

$$U_k = [\mathbf{u}_1, \mathbf{u}_2, \dots, \mathbf{u}_k], \quad V_k = [\mathbf{v}_1, \mathbf{v}_2, \dots, \mathbf{v}_k],$$

$$L_k = \begin{bmatrix} \alpha_1 & & & \\ \beta_2 & \alpha_2 & & \\ & \ddots & \ddots & \\ & & \beta_k & \alpha_k \end{bmatrix}, \quad \tilde{L}_k = \begin{bmatrix} L_k \\ \beta_{k+1} \mathbf{e}_k^T \end{bmatrix}, \quad (4.199)$$

则式 (4.197) 和式 (4.198) 可表示为

$$A^T U_k = V_k L_k^T, \quad A V_k = U_k L_k + \beta_{k+1} \mathbf{u}_{k+1} \mathbf{e}_k^T. \quad (4.200)$$

由此, 得

$$U_k^T A V_k = U_k^T U_k L_k + \beta_{k+1} U_k^T \mathbf{u}_{k+1} \mathbf{e}_k^T = L_k V_k^T V_k. \quad (4.201)$$





若 $\alpha_{i+1} \neq 0$, 即式 (4.197) 对 $i = k + 1$ 成立:

$$\alpha_{k+1} \mathbf{v}_{k+1} = \mathbf{A}^T \mathbf{u}_{k+1} - \beta_{k+1} \mathbf{v}_k, \quad (4.202)$$

则由上式和式 (4.200), 得

$$\mathbf{A}^T \mathbf{U}_{k+1} = \mathbf{V}_k \tilde{\mathbf{L}}_k^T + \alpha_{k+1} \mathbf{v}_{k+1} \mathbf{e}_{k+1}^T, \quad \mathbf{A} \mathbf{V}_k = \mathbf{U}_{k+1} \tilde{\mathbf{L}}_k. \quad (4.203)$$

由此, 得

$$\mathbf{V}_k^T \mathbf{A}^T \mathbf{U}_{k+1} = \mathbf{V}_k^T \mathbf{V}_k \tilde{\mathbf{L}}_k^T + \alpha_{k+1} \mathbf{V}_k^T \mathbf{v}_{k+1} \mathbf{e}_k^T = \tilde{\mathbf{L}}_k^T \mathbf{U}_{k+1}^T \mathbf{U}_{k+1}. \quad (4.204)$$

基于以上分析, 可得下面的定理.

定理 4.11 由 Lanczos 双对角化过程产生的两个向量组 $\{\mathbf{u}_i\}_{i=1}^k$ 和 $\{\mathbf{v}_i\}_{i=1}^k$ 是规范正交的, 即

$$\mathbf{U}_k^T \mathbf{U}_k = \mathbf{V}_k^T \mathbf{V}_k = \mathbf{I}_k, \quad (4.205)$$

式中: \mathbf{I}_k 为 k 阶单位矩阵.



Back

Close



证明 对 k 用归纳法. 当 $k = 1$ 时, 结论显然为真. 设式 (4.205) 对某个 $k \geq 1$ 成立. 利用归纳法假设, 由式 (4.201) 的第 2 个等式可知 $U_k^T u_{k+1} = 0$, 即 u_{k+1} 与 u_i ($i = 1, 2, \dots, k$) 均正交. 注意到 $\|u_{k+1}\|_2 = 1$, 即得 $U_{k+1}^T U_{k+1} = I_{k+1}$. 再由式 (4.204) 的第 2 个等式可知 $V_k^T v_{k+1} = 0$, 即知 $V_{k+1}^T V_{k+1} = I_{k+1}$. 证毕. \square

由定理 4.11 可知, Lanczos 双对角化过程必在某个 $k \leq \min\{m, n\}$ 中断, 即或在式 (4.200) 中 $\beta_{k+1} u_{k+1} = 0$, 或在式 (4.203) 中 $\alpha_{k+1} v_{k+1} = 0$. 由此可知, 双对角化算法有两个中断状态:

(1) 由 $k \times k$ 阶矩阵 L_k 来表征 (见式 (4.200)):

$$A^T U_k = V_k L_k^T, \quad A V_k = U_k L_k, \quad U_k^T U_k = V_k^T V_k = I_k. \quad (4.206)$$



Back

Close



(2) 由 $(k+1) \times k$ 阶矩阵 $\tilde{\mathbf{L}}_k$ 来表征 (见式 (4.203)):

$$\begin{aligned} \mathbf{A}^T \mathbf{U}_{k+1} &= \mathbf{V}_k \tilde{\mathbf{L}}_k^T, & \mathbf{A} \mathbf{V}_k &= \mathbf{U}_{k+1} \tilde{\mathbf{L}}_k, \\ \mathbf{U}_{k+1}^T \mathbf{U}_{k+1} &= \mathbf{I}_{k+1}, & \mathbf{V}_k^T \mathbf{V}_k &= \mathbf{I}_k. \end{aligned} \quad (4.207)$$

定理 4.12 双对角化过程中断状态是 (1) 的充要条件是 $\mathbf{u}_1 \in \mathcal{R}(\mathbf{A})$, 而中断状态是 (2) 的充要条件是 $\mathbf{u}_1 \notin \mathcal{R}(\mathbf{A})$.

证明 考虑 $\tilde{\mathbf{L}}_k$ 的奇异值分解. 注意到 $\tilde{\mathbf{L}}_k$ 是列满秩的, 故有

$$\tilde{\mathbf{L}}_k = \mathbf{P}_{k+1} \tilde{\boldsymbol{\Sigma}}_k \mathbf{V}_k^T, \quad \mathbf{P}_{k+1}^T \mathbf{P}_{k+1} = \mathbf{I}_{k+1}, \quad \mathbf{V}_k^T \mathbf{V}_k = \mathbf{I}_k, \quad (4.208)$$

式中: 矩阵 $\tilde{\boldsymbol{\Sigma}}_k$ 为 $(k+1) \times k$ 阶对角阵,

$$\tilde{\boldsymbol{\Sigma}}_k = \begin{bmatrix} \boldsymbol{\Sigma}_k \\ \mathbf{0} \end{bmatrix} = \begin{bmatrix} \sigma_1 & & & \\ & \ddots & & \\ & & \sigma_k & \\ \hline 0 & \cdots & 0 \end{bmatrix}, \quad \sigma_i > 0, \quad i = 1, 2, \dots, k.$$



Back

Close



若式 (4.206) 成立, 则结合式 (4.207), 得

$$\mathbf{A}^T \mathbf{U}_{k+1} \mathbf{P}_{k+1} = \mathbf{V}_k \mathbf{V}_k^T \tilde{\Sigma}_k^T, \quad \mathbf{A} \mathbf{V}_k \mathbf{V}_k^T = \mathbf{U}_{k+1} \mathbf{P}_{k+1} \tilde{\Sigma}_k. \quad (4.209)$$

故有

$$\begin{aligned} \mathbf{A} \mathbf{A}^T \mathbf{U}_{k+1} \mathbf{P}_{k+1} &= \mathbf{U}_{k+1} \mathbf{P}_{k+1} \tilde{\Sigma}_k \tilde{\Sigma}_k^T, \\ \mathbf{A}^T \mathbf{A} \mathbf{V}_k \mathbf{V}_k^T &= \mathbf{V}_k \mathbf{V}_k^T \tilde{\Sigma}_k^T \tilde{\Sigma}_k. \end{aligned} \quad (4.210)$$

由式 (4.210) 可知, 当式 (4.207) 成立时, \mathbf{A} 至少有 k 个奇异值 $\sigma_1, \sigma_2, \dots, \sigma_k$ 非零, 且由式 (4.210) 的第 1 式可知

$$\mathbf{A} \mathbf{A}^T (\mathbf{U}_{k+1} \mathbf{P}_{k+1} \mathbf{e}_{k+1}) = \mathbf{U}_{k+1} \mathbf{P}_{k+1} \tilde{\Sigma}_k \tilde{\Sigma}_k^T \mathbf{e}_{k+1} = \mathbf{0},$$

即 \mathbf{A} 至少有一个奇异值为零, 且 $\mathbf{U}_{k+1} \mathbf{P}_{k+1} \mathbf{e}_{k+1}$ 是奇异向量. 再由式 (4.209) 的第 1 式可知

$$\mathbf{A}^T (\mathbf{U}_{k+1} \mathbf{P}_{k+1} \mathbf{e}_{k+1}) = \mathbf{V}_k \mathbf{V}_k^T \tilde{\Sigma}_k^T \mathbf{e}_{k+1} = \mathbf{0},$$



Back

Close



因此, $U_{k+1}P_{k+1}e_{k+1} \in \mathcal{N}(A^T)$.

若 $u_1 \in \mathcal{R}(A)$, 则由式 (4.198) 可知 $u_i \in \mathcal{R}(A), \forall i$. 于是有 $U_{k+1}P_{k+1}e_{k+1} \in \mathcal{R}(A)$. 但 $\mathcal{N}(A^T)$ 是 $\mathcal{R}(A)$ 的正交补, 因此, $U_{k+1}P_{k+1}e_{k+1} \notin \mathcal{N}(A^T)$, 这就是说, 式 (4.207) 不可能成立. 所以必成立式 (4.206). 反之, 若 (1) 是中断状态, 即式 (4.206) 成立. 因 L_k 非奇异, 故 $U_k = AV_kL_k^{-1}$, 即 $u_i \in \mathcal{R}(A), i = 1, 2, \dots, k$. 证毕. \square

§4.6.2 LSQR 算法

取 $u_1 = r_0/\beta_1$ ($\beta_1 = \|r_0\|_2$) 作为双对角化算法 4.15 中的初始向量, 用以求解最小二乘问题 (4.196). 令

$$x_k = x_0 + V_k y_k, \quad (4.211)$$



Back

Close



则由式 (4.203), 有

$$\begin{aligned}\mathbf{r}_k &= \mathbf{b} - \mathbf{A}\mathbf{x}_k = \mathbf{r}_0 - \mathbf{A}\mathbf{V}_k\mathbf{y}_k \\ &= \beta_1\mathbf{u}_1 - \mathbf{U}_{k+1}\tilde{\mathbf{L}}_k\mathbf{y}_k = \mathbf{U}_{k+1}(\beta_1\mathbf{e}_1 - \tilde{\mathbf{L}}_k\mathbf{y}_k).\end{aligned}$$

若令

$$\mathbf{s}_{k+1} = \beta_1\mathbf{e}_1 - \tilde{\mathbf{L}}_k\mathbf{y}_k, \quad (4.212)$$

则

$$\mathbf{r}_k = \mathbf{U}_{k+1}\mathbf{s}_{k+1}. \quad (4.213)$$

因此极小化问题 (4.196) 等价于

$$\min \|\mathbf{s}_{k+1}\|_2 = \min \|\beta_1\mathbf{e}_1 - \tilde{\mathbf{L}}_k\mathbf{y}_k\|_2. \quad (4.214)$$

利用正交化方法求解最小二乘问题 (4.214):



Back

Close



作 $(k+1) \times (k+1)$ 阶矩阵 $[\tilde{\mathbf{L}}_k, \beta_1 \mathbf{e}_1]$ 的 QR 分解:

$$\mathbf{G}_k [\tilde{\mathbf{L}}_k, \beta_1 \mathbf{e}_1] = \begin{bmatrix} \mathbf{R}_k & \mathbf{z}_k \\ & \tilde{\zeta}_{k+1} \end{bmatrix} \equiv \left[\begin{array}{cccc|c} \rho_1 & \theta_2 & & & \zeta_1 \\ & \rho_2 & \theta_3 & & \zeta_2 \\ & & \ddots & \ddots & \vdots \\ & & & \rho_{k-1} & \theta_k & \zeta_{k-1} \\ \hline & & & & \rho_k & \zeta_k \\ & & & & & \tilde{\zeta}_{k+1} \end{array} \right], \quad (4.215)$$

式中: $\mathbf{G}_k \equiv \mathbf{G}_{k,k+1} \cdots \mathbf{G}_{2,3} \mathbf{G}_{1,2}$ 为 Givens 变换的乘积, 用以消去 $\tilde{\mathbf{L}}_k$ 的次对角元 β_2, β_3, \dots .

向量 \mathbf{y}_k 和 \mathbf{s}_{k+1} 可分别由

$$\mathbf{R}_k \mathbf{y}_k = \mathbf{z}_k, \quad \mathbf{z}_k = (\zeta_1, \zeta_2, \dots, \zeta_k)^T \quad (4.216)$$

和

$$\mathbf{s}_{k+1} = \mathbf{G}_k^T \begin{bmatrix} \mathbf{0} \\ \tilde{\zeta}_{k+1} \end{bmatrix} \quad (4.217)$$

求得.





直接求解式 (4.216), \mathbf{y}_k 与 \mathbf{y}_{k-1} 一般并无公共元素, 注意到 $[\mathbf{R}_k, \mathbf{z}_k]$ 可由 $[\mathbf{R}_{k-1}, \mathbf{z}_{k-1}]$ 加入新的一行和一列得到. 由此, 式 (4.211) 与式 (4.216) 有效结合的一个途径是引进矩阵 \mathbf{H}_k :

$$\mathbf{x}_k = \mathbf{x}_0 + \mathbf{V}_k \mathbf{R}_k^{-1} \mathbf{z}_k \equiv \mathbf{x}_0 + \mathbf{H}_k \mathbf{z}_k, \quad (4.218)$$

其中 $\mathbf{H}_k = [\mathbf{h}_1, \mathbf{h}_2, \dots, \mathbf{h}_k]$ 的列可由 $\mathbf{H}_k \mathbf{R}_k = \mathbf{V}_k$ 逐列求得: 令 $\mathbf{h}_0 = \mathbf{0}$, 则成立

$$\theta_k \mathbf{h}_{k-1} + \rho_k \mathbf{h}_k = \mathbf{v}_k,$$

由此可得到递推式

$$\mathbf{h}_k = \frac{1}{\rho_k} (\mathbf{v}_k - \theta_k \mathbf{h}_{k-1}). \quad (4.219)$$

则由式 (4.218), 得

$$\mathbf{x}_k = \mathbf{x}_0 + \sum_{i=1}^{k-1} \zeta_i \mathbf{h}_i + \zeta_k \mathbf{h}_k = \mathbf{x}_{k-1} + \zeta_k \mathbf{h}_k. \quad (4.220)$$



Back

Close



现在需要确定式 (4.215) 的 QR 分解. Givens 变换 $\mathbf{G}_{k,k+1}$ 作用于前面 $k-1$ 步变换过的矩阵 $\left[\tilde{\mathbf{L}}_k, \beta_1 \mathbf{e}_1\right]$ 以消去 β_{k+1} , 这给出如下递推关系

$$\begin{bmatrix} c_k & s_k \\ -s_k & c_k \end{bmatrix} \begin{bmatrix} \tilde{\rho}_k & 0 & \tilde{\zeta}_k \\ \beta_{k+1} & \alpha_{k+1} & 0 \end{bmatrix} = \begin{bmatrix} \rho_k & \theta_{k+1} & \zeta_k \\ 0 & \tilde{\rho}_{k+1} & \tilde{\zeta}_{k+1} \end{bmatrix}, \quad (4.221)$$

其中 $\tilde{\rho}_1 \equiv \alpha_1$, $\tilde{\zeta}_1 \equiv \beta_1$. c_k, s_k 是 Givens 变换 $\mathbf{G}_{k,k+1}$ 中的元素. $\tilde{\rho}_k$ 和 $\tilde{\zeta}_k$ 是中间变量, 会被 ρ_k 和 ζ_k 所取代. 由 Givens 变换的定义, c_k, s_k 的选取应使得对向量 $[\tilde{\rho}_k, \beta_{k+1}]^T$ 作用后第 2 个分量为零, 且满足 $c_k^2 + s_k^2 = 1$. 为此, 必有

$$c_k = \frac{\tilde{\rho}_k}{\sqrt{\tilde{\rho}_k^2 + \beta_{k+1}^2}}, \quad s_k = \frac{\beta_{k+1}}{\sqrt{\tilde{\rho}_k^2 + \beta_{k+1}^2}}. \quad (4.222)$$





由此, 式 (4.221) 即为

$$\begin{cases} \rho_k = \sqrt{\tilde{\rho}_k^2 + \beta_{k+1}^2}, \theta_{k+1} = s_k \alpha_{k+1}, \zeta_k = c_k \tilde{\zeta}_k, \\ \tilde{\rho}_{k+1} = c_k \alpha_{k+1}, \tilde{\zeta}_{k+1} = -s_k \tilde{\zeta}_k, \tilde{\rho}_1 \equiv \alpha_1, \tilde{\zeta}_1 \equiv \beta_1. \end{cases} \quad (4.223)$$

此外, $\mathbf{G}_{k,k+1}$ 在式 (4.221) 中使用完之后即可丢弃而不必存储. 因此由 QR 分解算法产生 \mathbf{R}_k , \mathbf{h}_k 和 $\tilde{\zeta}_{k+1}$ 的工作量是很小的.

现将 LSQR 算法总结如下, 其中 \mathbf{h}_k 用 $\mathbf{z}_k = \rho_k \mathbf{h}_k$ 代替.

算法 4.16 (LSQR 算法) 给定最小二乘问题 (4.196) 和容许误差限 $\varepsilon > 0$, 取初始向量 \mathbf{x}_0 . 本算法计算 \mathbf{x}_k , 使得 $\|\mathbf{r}_k\|_2 / \|\mathbf{r}_0\|_2 \leq \varepsilon$, 其中 $\mathbf{r}_k = \mathbf{b} - \mathbf{A}\mathbf{x}_k$.

选取 \mathbf{x}_0 ; 计算 $\mathbf{r}_0 = \mathbf{b} - \mathbf{A}\mathbf{x}_0$; $\beta_1 = \|\mathbf{r}_0\|_2$; $\mathbf{u}_1 = \mathbf{r}_0 / \beta_1$;

$\hat{\mathbf{v}}_1 = \mathbf{A}^T \mathbf{u}_1$; $\alpha_1 = \|\hat{\mathbf{v}}_1\|_2$; $\mathbf{v}_1 = \hat{\mathbf{v}}_1 / \alpha_1$;

$\mathbf{z}_1 = \mathbf{v}_1$; $\tilde{\zeta}_1 = \beta_1$; $\tilde{\rho}_1 = \alpha_1$; $k = 1$;



Back

Close

while ($\|\mathbf{r}_k\|_2/\|\mathbf{r}_0\| > \varepsilon$)

① 双对角化

$$\hat{\mathbf{u}}_{k+1} = \mathbf{A}\mathbf{v}_k - \alpha_k \mathbf{u}_k;$$

$$\beta_{k+1} = \|\hat{\mathbf{u}}_{k+1}\|_2; \mathbf{u}_{k+1} = \hat{\mathbf{u}}_{k+1}/\beta_{k+1};$$

$$\hat{\mathbf{v}}_{k+1} = \mathbf{A}^T \mathbf{u}_{k+1} - \beta_{k+1} \mathbf{v}_k;$$

$$\alpha_{k+1} = \|\hat{\mathbf{v}}_{k+1}\|_2; \mathbf{v}_{k+1} = \hat{\mathbf{v}}_{k+1}/\alpha_{k+1};$$

② 构造和使用正交变换

$$\rho_k = \sqrt{\tilde{\rho}_k^2 + \beta_{k+1}^2}; \quad c_k = \tilde{\rho}_k/\rho_k; \quad s_k = \beta_{k+1}/\rho_k;$$

$$\theta_{k+1} = s_k \alpha_{k+1}; \quad \tilde{\rho}_{k+1} = c_k \alpha_{k+1};$$

$$\zeta_k = c_k \tilde{\zeta}_k; \quad \tilde{\zeta}_{k+1} = -s_k \tilde{\zeta}_k;$$

③ 更新 \mathbf{x}_k , \mathbf{r}_k 和 \mathbf{z}_k





$$\mathbf{x}_{k+1} = \mathbf{x}_k + (\zeta_k / \rho_k) \mathbf{z}_k;$$

$$\mathbf{r}_{k+1} = \mathbf{b} - \mathbf{A}\mathbf{x}_{k+1} = \mathbf{r}_k - (\zeta_k / \rho_k) \mathbf{A}\mathbf{z}_k;$$

$$\mathbf{z}_{k+1} = \mathbf{v}_{k+1} - (\theta_{k+1} / \rho_k) \mathbf{z}_k;$$

④ 置 $k = k + 1$;

end

注 4.8 由双对角化过程可知

$$\begin{aligned} \mathbf{v}_k &\in \text{span}\{\mathbf{A}^T \mathbf{u}_1, (\mathbf{A}^T \mathbf{A}) \mathbf{A}^T \mathbf{u}_1, \dots, (\mathbf{A}^T \mathbf{A})^{k-1} \mathbf{A}^T \mathbf{u}_1\} \\ &\equiv \mathcal{K}_k(\mathbf{A}^T \mathbf{A}, \mathbf{A}^T \mathbf{u}_1). \end{aligned}$$

因此, 由式 (4.211) 和 $\mathbf{u}_1 = \mathbf{r}_0 / \beta_1$ 可知 LSQR 算法产生的迭代序列 \mathbf{x}_k 满足

$$\begin{aligned} \mathbf{x}_k &\in \mathbf{x}_0 + \text{span}\{\mathbf{A}^T \mathbf{r}_0, (\mathbf{A}^T \mathbf{A}) \mathbf{A}^T \mathbf{r}_0, \dots, (\mathbf{A}^T \mathbf{A})^{k-1} \mathbf{A}^T \mathbf{r}_0\} \\ &\equiv \mathbf{x}_0 + \mathcal{K}_k(\mathbf{A}^T \mathbf{A}, \mathbf{A}^T \mathbf{r}_0), \end{aligned} \quad (4.224)$$



Back

Close

且使

$$\|\mathbf{r}_k\|_2 = \|\mathbf{b} - \mathbf{A}\mathbf{x}_k\|_2 = \min \{ \|\mathbf{b} - \mathbf{A}\mathbf{x}\|_2 : \mathbf{x} \in \mathbf{x}_0 + \mathcal{K}_k(\mathbf{A}^T \mathbf{A}, \mathbf{A}^T \mathbf{b}) \}.$$

(4.225)



227/294

LSQR 方法的 MATLAB 程序如下:

%LSQR 方法程序-mlsqr.m

```
function [x,k,time,res,resvec]=mlsqr(A,b,x,max_it,tol)
tic; r=b-A*x; mr=norm(r); u=r/mr;
v=A'*u; alpha=norm(v); v=v/alpha;
z=v; zetat=mr; rhot=alpha;
resvec(1)=1; k=0;
while (k<=max_it)
    k=k+1;
```



Back

Close



228/294

```
u=A*v-alpha*u; beta=norm(u); u=u/beta;  
v=A'*u-beta*v; alpha=norm(v); v=v/alpha;  
rho=sqrt(rhot^2+beta^2);  
c=rhot/rho; s=beta/rho;  
theta=s*alpha; rhot=c*alpha;  
zeta=c*zetat; zetat=-s*zetat;  
x=x+(zeta/rho)*z; r=b-A*x;  
z=v-(theta/rho)*z;  
res=norm(r)/mr; resvec(k+1)=res;  
if (res<tol), break; end  
  
end  
  
time=toc;
```



Back

Close



例 4.12 假设线性方程组的系数矩阵 \mathbf{A} 为

$$\mathbf{A} = \begin{bmatrix} 4 & -1 & & & \\ -2 & 4 & -1 & & \\ & \ddots & \ddots & \ddots & \\ & & -2 & 4 & -1 \\ & & & -2 & 4 \end{bmatrix}.$$

再假设真解 \mathbf{x}^* 是分量都为 1 的向量, 从而该方程组的右端项为 $\mathbf{b} = \mathbf{A}\mathbf{x}^*$. 将 LSQR 算法应用到该线性方程组上, 迭代在 76 步后收敛 ($\varepsilon = 10^{-10}$), 计算得到的近似解 $\hat{\mathbf{x}}$ 和真解 \mathbf{x}^* 之间的绝对值误差为

$$\|\hat{\mathbf{x}} - \mathbf{x}^*\|_2 = 1.8330 \times 10^{-9},$$

但计算解 $\hat{\mathbf{x}}$ 的残量满足

$$\|\mathbf{b} - \mathbf{A}\hat{\mathbf{x}}\|_2 = 2.5663 \times 10^{-9}.$$



Back

Close



此外, 将 GMRES 方法应用于求解此例, 迭代 40 步满足终止准则. 对于此例, 虽然 LSQR 方法的迭代次数比 GMRES 方法多了将近一倍, 但计算时间不到 GMRES 方法的一半. 迭代过程的收敛轨迹如图 4.13 所示, 其中横坐标为迭代步数 k , 纵坐标为相对残差 $\|\mathbf{r}_k\|_2/\|\mathbf{r}_0\|_2$, 这里 \mathbf{r}_k 是第 k 步得到的残差向量.

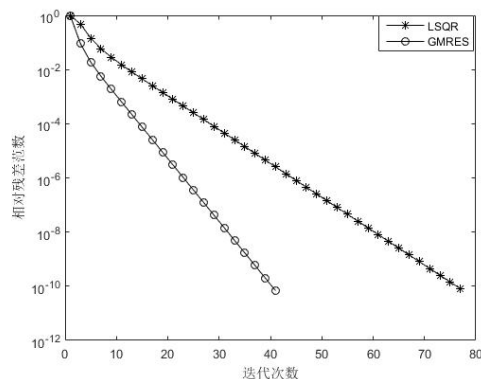


图 4.13 LSQR 算法的收敛特性



Back

Close



§4.7 广义共轭残量法

本节考虑求解线性方程组

$$\mathbf{A}\mathbf{x} = \mathbf{b}, \quad \mathbf{A} \in \mathbb{R}^{n \times n}, \quad \mathbf{b} \in \mathbb{R}^n \quad (4.226)$$

的广义共轭残量法 (简记为 GCR 方法), 其中系数矩阵 \mathbf{A} 是正定的, 即其对称部分 $\frac{1}{2}(\mathbf{A} + \mathbf{A}^T)$ 是对称正定的.

§4.7.1 GCR 方法

类似于对称正定方程组的共轭梯度法, 构造如下的广义共轭残量法.

算法 4.17 (GCR 方法) 给定方程组 (4.226) 和容许误差限 $\varepsilon > 0$, 取初始向量 \mathbf{x}_0 . 本算法计算 \mathbf{x}_k , 使得 $\|\mathbf{r}_k\|_2 / \|\mathbf{r}_0\|_2 \leq \varepsilon$, 其中 $\mathbf{r}_k = \mathbf{b} - \mathbf{A}\mathbf{x}_k$.



Back

Close



232/294

选取 \mathbf{x}_0 ; 计算 $\mathbf{r}_0 = \mathbf{b} - \mathbf{A}\mathbf{x}_0$; $\mathbf{p}_0 = \mathbf{r}_0$; $k = 0$;

while ($\|\mathbf{r}_k\|_2 / \|\mathbf{r}_0\| > \varepsilon$)

$k = k + 1$;

$$\alpha_k = \frac{(\mathbf{r}_k, \mathbf{A}\mathbf{p}_k)}{(\mathbf{A}\mathbf{p}_k, \mathbf{A}\mathbf{p}_k)};$$

$\mathbf{x}_{k+1} = \mathbf{x}_k + \alpha_k \mathbf{p}_k$; $\mathbf{r}_{k+1} = \mathbf{r}_k - \alpha_k \mathbf{A}\mathbf{p}_k$;

for $i = 0, 1, \dots, k$

$$\beta_i^{(k)} = -\frac{(\mathbf{A}\mathbf{r}_{k+1}, \mathbf{A}\mathbf{p}_i)}{(\mathbf{A}\mathbf{p}_i, \mathbf{A}\mathbf{p}_i)};$$

end

$$\mathbf{p}_{k+1} = \mathbf{r}_{k+1} + \sum_{i=0}^k \beta_i^{(k)} \mathbf{p}_i;$$

$$\mathbf{A}\mathbf{p}_{k+1} = \mathbf{A}\mathbf{r}_{k+1} + \sum_{i=0}^k \beta_i^{(k)} \mathbf{A}\mathbf{p}_i;$$

end



Back

Close



从算法 4.17 可知, 计算过程中需要存储每一步迭代的 p_i 和 Ap_i ($i = 0, 1, \dots, k$). 其 MATLAB 程序如下:

%广义共轭残量法(GCR方法)程序-gcr.m

```
function [x,k,time,res,resvec]=gcr(A,b,x,max_it,tol)
```

```
tic; n=length(b); r=b-A*x; p=r; mr=norm(r);
```

```
resvec(1)=1; AP=zeros(n,max_it+1);
```

```
P=zeros(n,max_it+1);
```

```
AP(:,1)=A*p; P(:,1)=p; k=0;
```

```
while (k<max_it)
```

```
    k=k+1;
```

```
    alpha=(r'*AP(:,k))/(AP(:,k)'*AP(:,k));
```

```
    x=x+alpha*P(:,k);
```

```
    r=r-alpha*AP(:,k);
```



Back

Close



234/294

```
Ar=A*r; s1=zeros(n,1); s2=zeros(n,1);  
for (i=1:k)  
    b(i)=-(Ar'*AP(:,i))/(AP(:,i)'*AP(:,i));  
    s1=s1+b(i)*P(:,i);  
    s2=s2+b(i)*AP(:,i);  
end  
P(:,k+1)=r+s1;  
AP(:,k+1)=Ar+s2;  
res=norm(r)/mr; resvec(k+1)=res;  
if (res<tol), break; end  
end  
time=toc;
```

下面列出一些与共轭梯度法 (CG) 相类似的性质.



Back

Close



定理 4.13 设 \mathbf{A} 正定, 即 $\mathbf{H} = \frac{1}{2}(\mathbf{A} + \mathbf{A}^T)$ 是对称正定的. 则由算法 4.17 产生的 $\{\mathbf{x}_k\}$, $\{\mathbf{r}_k\}$ 和 $\{\mathbf{p}_k\}$ 具有下列性质:

$$(1) \quad (\mathbf{A}\mathbf{p}_k, \mathbf{A}\mathbf{p}_l) = 0, \quad k \neq l.$$

$$(2) \quad (\mathbf{r}_k, \mathbf{A}\mathbf{p}_l) = 0, \quad k > l.$$

$$(3) \quad (\mathbf{r}_k, \mathbf{A}\mathbf{p}_l) = (\mathbf{r}_0, \mathbf{A}\mathbf{p}_l), \quad k \leq l.$$

$$(4) \quad (\mathbf{r}_k, \mathbf{A}\mathbf{p}_k) = (\mathbf{r}_k, \mathbf{A}\mathbf{r}_k).$$

$$(5) \quad (\mathbf{r}_k, \mathbf{A}\mathbf{r}_l) = 0, \quad k > l.$$

$$(6) \quad \text{span}\{\mathbf{p}_0, \mathbf{p}_1, \dots, \mathbf{p}_k\} = \text{span}\{\mathbf{p}_0, \mathbf{A}\mathbf{p}_0, \dots, \mathbf{A}^k \mathbf{p}_0\} \\ = \text{span}\{\mathbf{r}_0, \mathbf{A}\mathbf{r}_0, \dots, \mathbf{A}^k \mathbf{r}_0\} = \text{span}\{\mathbf{r}_0, \mathbf{r}_1, \dots, \mathbf{r}_k\}.$$

$$(7) \quad \text{若 } \mathbf{r}_k \neq \mathbf{0}, \text{ 则 } \mathbf{p}_k \neq \mathbf{0}.$$

$$(8) \quad \mathbf{x}_{k+1} \in \mathcal{K} \equiv \mathbf{x}_0 + \text{span}\{\mathbf{p}_0, \mathbf{p}_1, \dots, \mathbf{p}_k\}, \text{ 且使其残量范数} \\ f(\mathbf{x}_{k+1}) \equiv \|\mathbf{r}_{k+1}\|_2 = \|\mathbf{b} - \mathbf{A}\mathbf{x}_{k+1}\|_2 \text{ 在仿射空间 } \mathcal{K} \text{ 中达到极小.}$$





证明 (1) 首先验证 $(Ap_1, Ap_0) = 0$ 成立. 事实上, 由 $\beta_i^{(k)}$ 更新规则, 有

$$\begin{aligned}(Ap_1, Ap_0) &= (A(r_1 + \beta_0^{(0)} p_0), Ap_0) = (Ar_1, Ap_0) + \beta_0^{(0)} (Ap_0, Ap_0) \\ &= (Ar_1, Ap_0) - \frac{(Ar_1, Ap_0)}{(Ap_0, Ap_0)} (Ap_0, Ap_0) = 0.\end{aligned}$$

利用归纳法, 由 $\beta_i^{(k)}$ 的取法不难验证, 对任意的 $k \neq l$ 都有

$$(Ap_k, Ap_l) = 0.$$

(2) 对 k 使用归纳法. 当 $k = 0$ 时无需证明. 设 $k \leq s$ 时, 结论为真, 则

$$(r_{s+1}, Ap_l) = (r_s, Ap_l) - \alpha_s (Ap_s, Ap_l).$$

若 $s > l$, 由归纳法假设及结论 (1), 上式右端为 0. 若 $s = l$, 由 α_s 的表达式, 上式右端也为 0.



Back

Close



(3) 对 $k (k \leq l)$ 使用归纳法证明. 当 $k = 0$ 时, 结论平凡地成立. 设 $k = s < l$ 时结论成立, 则由结论 (1) 和归纳法假设, 有

$$(r_{s+1}, Ap_l) = (r_s, Ap_l) - \alpha_s(Ap_s, Ap_l) = (r_s, Ap_l) = (r_0, Ap_l).$$

(4) 利用结论 (2), 有

$$(r_k, Ap_k) = (r_k, Ar_k) + \sum_{i=0}^{k-1} \beta_i^{(k-1)} (r_k, Ap_i) = (r_k, Ar_k).$$

(5) 由算法 4.17, 有

$$r_l = p_l - \sum_{i=0}^{l-1} \beta_i^{(l-1)} p_i.$$

应用结论 (2), 对 $k > l$, 有

$$(r_k, Ar_l) = (r_k, Ap_l) - \sum_{i=0}^{l-1} \beta_i^{(l-1)} (r_k, Ap_i) = 0.$$



Back

Close



(6) 对 k 用归纳法证明. 当 $k = 0$ 时, 结论显然成立. 设对 $k \leq s$ 结论成立, 即

$$\mathbf{r}_i, \mathbf{p}_i \in \text{span}\{\mathbf{p}_0, \mathbf{A}\mathbf{p}_0, \dots, \mathbf{A}^s \mathbf{p}_0\}, \quad i = 0, 1, \dots, s.$$

由算法 4.17, 有

$$\mathbf{p}_{s+1} = \mathbf{r}_{s+1} + \sum_{i=0}^s \beta_i^{(s)} \mathbf{p}_i = \mathbf{r}_s - \alpha_s \mathbf{A}\mathbf{p}_s + \sum_{i=0}^s \beta_i^{(s)} \mathbf{p}_i,$$

故有

$$\mathbf{p}_{s+1} \in \text{span}\{\mathbf{p}_0, \mathbf{A}\mathbf{p}_0, \dots, \mathbf{A}^{s+1} \mathbf{p}_0\}.$$

由此, 得

$$\text{span}\{\mathbf{p}_0, \mathbf{p}_1, \dots, \mathbf{p}_{s+1}\} \subset \text{span}\{\mathbf{p}_0, \mathbf{A}\mathbf{p}_0, \dots, \mathbf{A}^{s+1} \mathbf{p}_0\}.$$

但由结论 (1) 可知 $\{\mathbf{p}_i\}$ 线性无关, 故

$$\text{span}\{\mathbf{p}_0, \mathbf{p}_1, \dots, \mathbf{p}_{s+1}\} = \text{span}\{\mathbf{p}_0, \mathbf{A}\mathbf{p}_0, \dots, \mathbf{A}^{s+1} \mathbf{p}_0\}.$$



Back

Close

同理, 可证

$$\text{span}\{\mathbf{r}_0, \mathbf{r}_1, \dots, \mathbf{r}_k\} \subset \text{span}\{\mathbf{r}_0, \mathbf{A}\mathbf{r}_0, \dots, \mathbf{A}^k\mathbf{r}_0\}.$$

(7) 注意到 $\mathbf{H} = \frac{1}{2}(\mathbf{A} + \mathbf{A}^T)$ 是对称正定的, 若 $\mathbf{r}_k \neq \mathbf{0}$, 则由结论 (4), 有

$$(\mathbf{r}_k, \mathbf{A}\mathbf{p}_k) = (\mathbf{r}_k, \mathbf{A}\mathbf{r}_k) = (\mathbf{r}_k, \mathbf{H}\mathbf{r}_k) > 0,$$

故 $(\mathbf{r}_k, \mathbf{A}\mathbf{p}_k) \neq 0$, 由此 $\mathbf{p}_k \neq \mathbf{0}$.

(8) 由算法 4.17, 有

$$\mathbf{x}_{k+1} = \mathbf{x}_0 + \sum_{i=0}^k \alpha_i \mathbf{p}_i \in \mathbf{x}_0 + \text{span}\{\mathbf{p}_0, \mathbf{p}_1, \dots, \mathbf{p}_k\}.$$

因此 $f^2(\mathbf{x}_{k+1}) = \|\mathbf{b} - \mathbf{A}\mathbf{x}_{k+1}\|_2^2$ 是 $(\alpha_0, \alpha_1, \dots, \alpha_k)$ 的二次泛函. 应





用结论 (1), 得

$$\begin{aligned} f^2(\mathbf{x}_{k+1}) &= \left\| \mathbf{r}_0 - \sum_{i=0}^k \alpha_i \mathbf{A} \mathbf{p}_i \right\|_2^2 \\ &= \|\mathbf{r}_0\|_2^2 - 2 \sum_{i=0}^k \alpha_i (\mathbf{r}_0, \mathbf{A} \mathbf{p}_i) + \sum_{i=0}^k \alpha_i^2 (\mathbf{A} \mathbf{p}_i, \mathbf{A} \mathbf{p}_i). \end{aligned}$$

由 $\frac{\partial f^2(\mathbf{x}_{k+1})}{\partial \alpha_i} = 0$ ($i = 0, 1, \dots, k$), 得

$$\alpha_i = \frac{(\mathbf{r}_0, \mathbf{A} \mathbf{p}_i)}{(\mathbf{A} \mathbf{p}_i, \mathbf{A} \mathbf{p}_i)} = \frac{(\mathbf{r}_i, \mathbf{A} \mathbf{p}_i)}{(\mathbf{A} \mathbf{p}_i, \mathbf{A} \mathbf{p}_i)}, \quad i = 0, 1, \dots, k.$$

这就证明了 $f(\mathbf{x}_{k+1})$ 在仿射空间 \mathcal{K} 中被极小化. 证毕. □

由定理 4.13 可推得 GCR 方法的有限迭代终止性质.

推论 4.5 设矩阵 $\mathbf{A} \in \mathbb{R}^{n \times n}$ 是正定的 (即其对称部分是对称正定的), 则 GCR 方法至多迭代 n 步就给出精确解.



Back

Close



证明 若当 $k \leq n-1$ 时有 $\mathbf{r}_k = \mathbf{0}$, 这表明 \mathbf{x}_k 已是精确解. 若 $\mathbf{r}_k \neq \mathbf{0}$, $k = 0, 1, \dots, n-1$, 则由定理 4.13 的结论 (7) 可知 $\mathbf{p}_k \neq \mathbf{0}$. 再由结论 (1) 知向量组 $\mathbf{p}_0, \mathbf{p}_1, \dots, \mathbf{p}_{n-1}$ 线性无关, 因此 $\text{span}\{\mathbf{p}_0, \mathbf{p}_1, \dots, \mathbf{p}_{n-1}\} = \mathbb{R}^n$. 再由定理 4.13 的结论 (8), \mathbf{x}_n 的残量范数有下述极小化性质:

$$\|\mathbf{r}_n\|_2 = \|\mathbf{b} - \mathbf{A}\mathbf{x}_n\|_2 = \min_{\alpha_i} \left\| \mathbf{r}_0 - \sum_{k=0}^{n-1} \alpha_k \mathbf{A}\mathbf{p}_k \right\|_2.$$

因 \mathbf{A} 非奇异, 故 $\text{span}\{\mathbf{A}\mathbf{p}_0, \mathbf{A}\mathbf{p}_1, \dots, \mathbf{A}\mathbf{p}_{n-1}\} = \mathbb{R}^n$. 从而 $\|\mathbf{r}_n\|_2 = 0$, 故 $\mathbf{x}_n = \mathbf{A}^{-1}\mathbf{b}$. 证毕. \square

现在考虑 GCR 方法作为迭代法时的迭代误差估计和收敛性. 令 \mathcal{P}_k 是次数不超过 k 且满足 $p_k(0) = 1$ 的实系数多项式 $p_k(t)$ 的集合.



Back

Close



定理 4.14 设 $\mathbf{A} \in \mathbb{R}^{n \times n}$ 正定, 即 $\mathbf{H} = \frac{1}{2}(\mathbf{A} + \mathbf{A}^T)$ 是对称正定的. 则由算法 4.17 产生的残量序列 $\{\mathbf{r}_k\}$ 满足

$$\|\mathbf{r}_k\|_2 \leq \min_{p_k \in \mathcal{P}_k} \|p_k(\mathbf{A})\|_2 \|\mathbf{r}_0\|_2 \leq \left[1 - \frac{\lambda_{\min}^2(\mathbf{H})}{\lambda_{\max}(\mathbf{A}^T \mathbf{A})} \right]^{k/2} \|\mathbf{r}_0\|_2. \quad (4.227)$$

因此, GCR 方法收敛. 若 \mathbf{A} 有完全特征向量集, 则

$$\|\mathbf{r}_k\|_2 \leq \kappa_2(\mathbf{T}) M_k \|\mathbf{r}_0\|_2,$$

式中: \mathbf{T} 为 \mathbf{A} 的 Jordan 标准形的变换矩阵, 而

$$M_k = \min_{p_k \in \mathcal{P}_k} \max_{\lambda \in \sigma(\mathbf{A})} |p_k(\lambda)|.$$

进一步, 若 \mathbf{A} 是规范的, 则

$$\|\mathbf{r}_k\|_2 \leq M_k \|\mathbf{r}_0\|_2.$$



Back

Close



证明 由算法 4.17 和定理 4.13 的结论 (6), GCR 方法产生的残量 \mathbf{r}_k 可表示为 $\mathbf{r}_k = \tilde{p}_k(\mathbf{A})\mathbf{r}_0$, $\tilde{p}_k \in \mathcal{P}_k$. 而任意的 $\mathbf{x} \in \mathbf{x}_0 + \text{span}\{\mathbf{r}_0, \mathbf{A}\mathbf{r}_0, \dots, \mathbf{A}^{k-1}\mathbf{r}_0\}$, 其对应的残量 \mathbf{r} 可表示为 $\mathbf{r} = p_k(\mathbf{A})\mathbf{r}_0$, $p_k \in \mathcal{P}_k$. 于是由定理 4.13 的结论 (8), 有

$$\|\mathbf{r}_k\|_2 = \min_{p_k \in \mathcal{P}_k} \|p_k(\mathbf{A})\mathbf{r}_0\|_2 \leq \min_{p_k \in \mathcal{P}_k} \|p_k(\mathbf{A})\|_2 \|\mathbf{r}_0\|_2,$$

这就证明了式 (4.227) 的第 1 个不等式.

现证明第 2 个不等式. 令

$$p_1(t) = 1 + \alpha t \in \mathcal{P}_1,$$

则 $p_1(t)^k \in \mathcal{P}_k$. 因此

$$\min_{p_k \in \mathcal{P}_k} \|p_k(\mathbf{A})\|_2 \leq \|p_1(\mathbf{A})^k\|_2 \leq \|p_1(\mathbf{A})\|_2^k. \quad (4.228)$$



Back

Close



下面估计 $\|p_1(\mathbf{A})\|_2$. 有

$$\begin{aligned}\|p_1(\mathbf{A})\|_2^2 &= \max_{\mathbf{x} \neq \mathbf{0}} \frac{((\mathbf{I} + \alpha \mathbf{A})\mathbf{x}, (\mathbf{I} + \alpha \mathbf{A})\mathbf{x})}{(\mathbf{x}, \mathbf{x})} \\ &= \max_{\mathbf{x} \neq \mathbf{0}} \left\{ 1 + 2\alpha \frac{(\mathbf{x}, \mathbf{Ax})}{(\mathbf{x}, \mathbf{x})} + \alpha^2 \frac{(\mathbf{Ax}, \mathbf{Ax})}{(\mathbf{x}, \mathbf{x})} \right\}. \quad (4.229)\end{aligned}$$

注意到

$$\frac{(\mathbf{Ax}, \mathbf{Ax})}{(\mathbf{x}, \mathbf{x})} = \frac{(\mathbf{x}, \mathbf{A}^T \mathbf{Ax})}{(\mathbf{x}, \mathbf{x})} \leq \lambda_{\max}(\mathbf{A}^T \mathbf{A}) = \|\mathbf{A}\|_2^2.$$

利用 \mathbf{H} 的对称正定性, 有

$$\frac{(\mathbf{x}, \mathbf{Ax})}{(\mathbf{x}, \mathbf{x})} = \frac{1}{2} \left[\frac{(\mathbf{x}, \mathbf{Ax})}{(\mathbf{x}, \mathbf{x})} + \frac{(\mathbf{x}, \mathbf{A}^T \mathbf{x})}{(\mathbf{x}, \mathbf{x})} \right] = \frac{(\mathbf{x}, \mathbf{Hx})}{(\mathbf{x}, \mathbf{x})} \geq \lambda_{\min}(\mathbf{H}) > 0.$$

若选取 $\alpha < 0$, 则由式 (4.229), 得

$$\|p_1(\mathbf{A})\|_2^2 \leq 1 + 2\lambda_{\min}(\mathbf{H})\alpha + \lambda_{\max}(\mathbf{A}^T \mathbf{A})\alpha^2. \quad (4.230)$$





上式右端当

$$\alpha = -\frac{\lambda_{\min}(\mathbf{H})}{\lambda_{\max}(\mathbf{A}^T \mathbf{A})}$$

时达到极小. 将这个 α 值代入式 (4.230), 得

$$\|p_1(\mathbf{A})\|_2^2 \leq 1 - \frac{\lambda_{\min}^2(\mathbf{H})}{\lambda_{\max}(\mathbf{A}^T \mathbf{A})}.$$

由上式及式 (4.228) 即得式 (4.227) 的第 2 个不等式.

若 \mathbf{A} 有完全特征向量集, 即 \mathbf{A} 可对角化, 则 $\mathbf{A} = \mathbf{T}^{-1} \mathbf{A} \mathbf{T}$ 是对角矩阵, 则

$$\begin{aligned} \|\mathbf{r}_k\|_2 &= \min_{p_k \in \mathcal{P}_k} \|\mathbf{T} p_k(\mathbf{A}) \mathbf{T}^{-1} \mathbf{r}_0\|_2 \leq \|\mathbf{T}\|_2 \|\mathbf{T}^{-1}\|_2 \min_{p_k \in \mathcal{P}_k} \|p_k(\mathbf{A})\|_2 \|\mathbf{r}_0\|_2 \\ &= \kappa_2(\mathbf{T}) \min_{p_k \in \mathcal{P}_k} \max_{\lambda \in \sigma(\mathbf{A})} |p_k(\lambda)| \cdot \|\mathbf{r}_0\|_2. \end{aligned}$$

进一步, 若 \mathbf{A} 还是规范的, 则可使 $\kappa_2(\mathbf{T}) = 1$. 证毕. □



Back

Close



例 4.13 考虑正定方程组 $\mathbf{Ax} = \mathbf{b}$, 其中

$$\mathbf{A} = \begin{bmatrix} 12 & 3 & 2 & 1 & & & & \\ -3 & 12 & 3 & 2 & 1 & & & \\ -2 & -3 & \ddots & \ddots & \ddots & \ddots & & \\ -1 & -2 & \ddots & \ddots & \ddots & \ddots & \ddots & 1 \\ & \ddots & \ddots & \ddots & \ddots & 3 & 2 & \\ & & -1 & -2 & -3 & 12 & 3 & \\ & & & -1 & -2 & -3 & 12 & \end{bmatrix} \in \mathbb{R}^{n \times n}, \quad \mathbf{b} = \mathbf{A} \begin{bmatrix} 1 \\ 1 \\ \vdots \\ \vdots \\ \vdots \\ 1 \\ 1 \end{bmatrix} \in \mathbb{R}^n.$$

取 $n = 1000$, 将 GCR 方法应用到该线性方程组上, 迭代在 20 步后收敛 ($\varepsilon = 10^{-10}$), 计算得到的近似解 $\hat{\mathbf{x}}$ 和真解 \mathbf{x}^* 之间的绝对值误差为

$$\|\hat{\mathbf{x}} - \mathbf{x}^*\|_2 = 2.0725 \times 10^{-9},$$

但计算解 $\hat{\mathbf{x}}$ 的残量满足

$$\|\mathbf{b} - \mathbf{A}\hat{\mathbf{x}}\|_2 = 2.7746 \times 10^{-8}.$$



Back

Close

迭代过程的收敛轨迹如图 4.14 所示, 其中横坐标为迭代步数 k , 纵

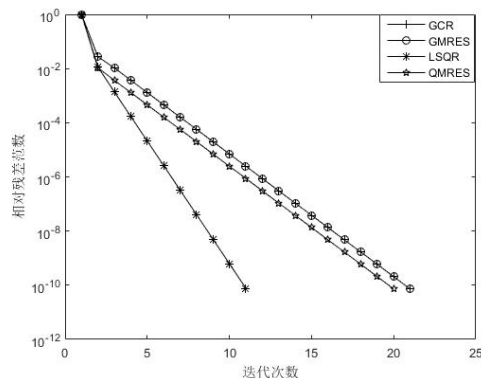


图 4.14 GCR 方法的收敛特性

坐标为 $\lg \|\mathbf{r}_k\|_2$, 其中 \mathbf{r}_k 是第 k 步得到的残量. 此外, 还给出了 GCR 方法与 GMRES, LSQR 及 QMRES 方法的比较, 结果如表 4.3 所示.

从表中可以看出, 对于此例, GCR 算法不如 LSQR 算法有效.





表 4.3 GCR 方法的数值结果

算法	迭代次数	CPU时间	相对残差	绝对误差
GCR	20	0.0028	7.3094e-11	2.0725e-09
GMRES	20	0.0018	7.3094e-11	2.0725e-09
LSQR	10	0.0007	7.7475e-11	2.1967e-09
QMRES	19	0.0010	7.3094e-11	2.0725e-09

§4.7.2 GCR(m) 方法

注意到算法 4.17 (GCR 方法) 的执行需要存储所有的方向向量 p_k . 如果在 GCR 方法中周期地重开始: 每 $m + 1$ 次迭代, 用当前的第 i 次重开始的结果 $x_{i(m+1)}$ 作为新的 $i + 1$ 次重开始的初始向量, 这时只要存储 m 个方向向量. 这个重开始 CGR 方法称为 GCR(m). 下面给出重开始 GCR 方法的详细算法步骤.

算法 4.18 (GCR(m) 方法) 给定方程组 (4.226) 和容许误差限 $\varepsilon > 0$, 取初始向量 x_0 及重开始数 m . 本算法计算 x_k , 使得



Back

Close



249/294

$\|\mathbf{r}_k\|_2/\|\mathbf{r}_0\|_2 \leq \varepsilon$, 其中 $\mathbf{r}_k = \mathbf{b} - \mathbf{A}\mathbf{x}_k$.

选取 \mathbf{x}_0 ; 计算 $\mathbf{r}_0 = \mathbf{b} - \mathbf{A}\mathbf{x}_0$; $\mathbf{x}_1 = \mathbf{x}_0$; $\mathbf{r}_1 = \mathbf{r}_0$; $\mathbf{p}_1 = \mathbf{r}_0$; $k = 1$;

while ($\|\mathbf{r}_k\|_2/\|\mathbf{r}_0\|_2 > \varepsilon$)

for $i = 1 : m$

$$\alpha_i = \frac{(\mathbf{r}_i, \mathbf{A}\mathbf{p}_i)}{(\mathbf{A}\mathbf{p}_i, \mathbf{A}\mathbf{p}_i)};$$

$$\mathbf{x}_{i+1} = \mathbf{x}_i + \alpha_i \mathbf{p}_i; \quad \mathbf{r}_{i+1} = \mathbf{r}_i - \alpha_i \mathbf{A}\mathbf{p}_i;$$

for $s = 1 : i$

$$\beta_s^{(i)} = -\frac{(\mathbf{A}\mathbf{r}_{i+1}, \mathbf{A}\mathbf{p}_s)}{(\mathbf{A}\mathbf{p}_s, \mathbf{A}\mathbf{p}_s)};$$

end

$$\mathbf{p}_{i+1} = \mathbf{r}_{i+1} + \sum_{s=0}^i \beta_s^{(i)} \mathbf{p}_s;$$

$$\mathbf{A}\mathbf{p}_{i+1} = \mathbf{A}\mathbf{r}_{i+1} + \sum_{s=0}^i \beta_s^{(i)} \mathbf{A}\mathbf{p}_s;$$



Back

Close



250/294

end

$$\mathbf{x}_1 = \mathbf{x}_{m+1}; \mathbf{r}_1 = \mathbf{r}_{m+1}; \mathbf{p}_1 = \mathbf{p}_{m+1}; \mathbf{A}\mathbf{p}_1 = \mathbf{A}\mathbf{p}_{m+1};$$

$$k = k + 1;$$

end

GCR(m) 方法的 MATLAB 程序如下:

%GCR(m) 方法程序-gcrm.m

```
function [x,out,int,time,res,resvec]
    =gcrm(A,b,x,restrt,max_it,tol)

tic; n=length(b); m=restrt;
r=b-A*x; p=r; mr=norm(r); k=0;
AP=zeros(n,m+1); P=zeros(n,m+1);
AP(:,1)=A*p; P(:,1)=p; resvec(1)=1;
while (k<max_it)
```



Back

Close



```
k=k+1;
for i=1:m
    alpha=(r'*AP(:,i))/(AP(:,i)'*AP(:,i));
    x=x+alpha*P(:,i);
    r=r-alpha*AP(:,i);
    res=norm(r)/mr;
    resvec((k-1)*m+1+i)=res;
    if (res<tol), break; end
    Ar=A*r; s1=zeros(n,1); s2=zeros(n,1);
    for (s=1:i)
        b(s)=-(Ar'*AP(:,s))/(AP(:,s)'*AP(:,s));
        s1=s1+b(s)*P(:,s);
        s2=s2+b(s)*AP(:,s);
    end
end
```





252/294

```
end  
P(:,i+1)=r+s1;  
AP(:,i+1)=Ar+s2;  
end  
if (res<tol),  
    out=k; int=i; break;  
end  
AP(:,1)=AP(:,m+1); P(:,1)=P(:,m+1);  
end  
time=toc;
```

例 4.14 仍考虑例 4.13 中的 A 和 b . 将重开始 GCR 方法应用到该线性方程组上, 取重开始数 $m = 6$, 在外迭代第 4 步内迭代第 2 步后收敛 ($\varepsilon = 10^{-10}$), 计算得到的近似解 \hat{x} 和真解 x^* 之间



Back

Close

的绝对值误差为

$$\|\hat{\mathbf{x}} - \mathbf{x}^*\|_2 = 2.0725 \times 10^{-9},$$

但计算解 $\hat{\mathbf{x}}$ 的残量满足

$$\|\mathbf{b} - \mathbf{A}\hat{\mathbf{x}}\|_2 = 2.7746 \times 10^{-8}.$$

迭代过程的收敛轨迹如图 4.15 所示, 其中横坐标为迭代步数 k , 纵坐标为相对残差 $\|\mathbf{r}_k\|_2/\|\mathbf{r}_0\|_2$, 这里 \mathbf{r}_k 是第 k 步得到的残差向量.

若按公式

总迭代次数 = (外迭代次数 - 1) × 重开始数 + 内迭代数

计算, 本例的总迭代次数为 20, 这跟例 4.13 中 GCR 方法一致.

此外, 还比较了 GCR(m) 与 GMRES(m) 算法. 从图 4.15 可以看出, 对于此例, GCR(m) 算法跟 GMRES(m) 算法的数值效果相仿.



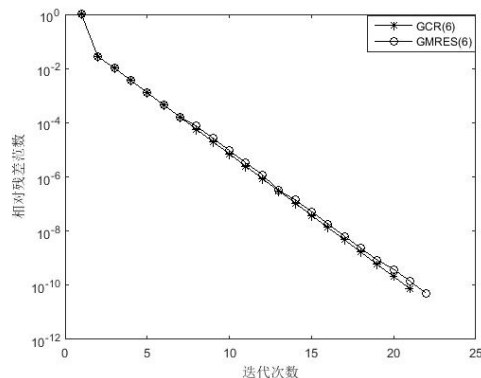


图 4.15 GCR(m) 方法的收敛特性

关于 GCR(m) 方法的收敛性, 有下面的结论.

定理 4.15 在定理 4.14 的假设下, 若 $\{\mathbf{r}_k\}$ 是 GCR(m) 的残量序列, 则

$$\|\mathbf{r}_{i(m+1)}\|_2 \leq \left[\min_{q_{m+1} \in \mathcal{P}_{m+1}} \|q_{m+1}(\mathbf{A})\|_2 \right]^i \|\mathbf{r}_0\|_2, \quad (4.231)$$



Back

Close



由此, 得

$$\|\mathbf{r}_k\|_2 \leq \left[1 - \frac{\lambda_{\min}^2(\mathbf{H})}{\lambda_{\max}(\mathbf{A}^\top \mathbf{A})} \right]^{k/2} \|\mathbf{r}_0\|_2. \quad (4.232)$$

因此, GCR(m) 方法收敛.

证明 由定理 4.14, 有

$$\begin{aligned} \|\mathbf{r}_{i(m+1)}\|_2 &\leq \left[\min_{q_{m+1} \in \mathcal{P}_{m+1}} \|q_{m+1}(\mathbf{A})\|_2 \right] \|\mathbf{r}_{(i-1)(m+1)}\|_2 \\ &\leq \cdots \leq \left[\min_{q_{m+1} \in \mathcal{P}_{m+1}} \|q_{m+1}(\mathbf{A})\|_2 \right]^i \|\mathbf{r}_0\|_2. \end{aligned}$$

令 $k = i(m+1) + s$, $0 \leq s \leq m$, 再由定理 4.14, 有

$$\begin{aligned} \|\mathbf{r}_k\|_2 &\equiv \|\mathbf{r}_{i(m+1)+s}\|_2 \\ &\leq \left[1 - \frac{\lambda_{\min}^2(\mathbf{H})}{\lambda_{\max}(\mathbf{A}^\top \mathbf{A})} \right]^{s/2} \|\mathbf{r}_{i(m+1)}\|_2. \end{aligned} \quad (4.233)$$



Back

Close

由式 (4.231) 和定理 4.14, 得

$$\|\mathbf{r}_{i(m+1)}\|_2 \leq \left[1 - \frac{\lambda_{\min}(\mathbf{H})^2}{\lambda_{\max}(\mathbf{A}^\top \mathbf{A})}\right]^{i(m+1)/2} \|\mathbf{r}_0\|_2.$$

将上式代入式 (4.233) 即得式 (4.232). 证毕.

□



256/294



Back

Close

§4.8 投影类方法

前几节所介绍的方法都是残量极小化类型的方法, 本节介绍第二类方法, 即残量正交化方法. 考虑如下的线性方程组

$$\mathbf{A}\mathbf{x} = \mathbf{b}, \quad (4.234)$$

式中: 矩阵 $\mathbf{A} \in \mathbb{R}^{n \times n}$ 和向量 $\mathbf{b} \in \mathbb{R}^n$ 是已经给定的, 而 $\mathbf{x} \in \mathbb{R}^n$ 是待求的未知向量. 残量正交化方法是求 $\mathbf{x}_k \in \mathbf{x}_0 + \mathcal{K}_k(\mathbf{A}, \mathbf{r}_0)$, 使得

$$\mathbf{r}_k \perp \mathcal{X}_k, \quad (4.235)$$

其中 $\mathbf{r}_k = \mathbf{b} - \mathbf{A}\mathbf{x}_k$, 而 $\mathcal{X}_k \subset \mathbb{R}^n$ 是一个适当选择的 k 维子空间. 通常称式 (4.235) 为 Galerkin 条件.

设

$$\mathcal{X}_k = \text{span}\{\mathbf{w}_1, \mathbf{w}_2, \dots, \mathbf{w}_k\},$$

$$\mathcal{K}_k(\mathbf{A}, \mathbf{r}_0) = \text{span}\{\mathbf{v}_1, \mathbf{v}_2, \dots, \mathbf{v}_k\},$$



并且记

$$\mathbf{V}_k = [\mathbf{v}_1, \mathbf{v}_2, \cdots, \mathbf{v}_k], \quad \mathbf{W}_k = [\mathbf{w}_1, \mathbf{w}_2, \cdots, \mathbf{w}_k],$$

则容易导出, 求 $\mathbf{x}_k \in \mathbf{x}_0 + \mathcal{K}_k(\mathbf{A}, \mathbf{r}_0)$ 满足式 (4.235) 就等价于求解线性方程组

$$\mathbf{H}_k \mathbf{z} = \mathbf{f}_k, \quad (4.236)$$

式中:

$$\mathbf{H}_k = \mathbf{W}_k^T \mathbf{A} \mathbf{V}_k, \quad \mathbf{f}_k = \mathbf{W}_k^T \mathbf{r}_0. \quad (4.237)$$

从几何上来看, 当 $\mathbf{W}_k^T \mathbf{V}_k = \mathbf{I}_k$ 时, \mathbf{H}_k 正好是 \mathbf{A} 沿 \mathcal{X}_k^\perp 到 $\mathcal{K}_k(\mathbf{A}, \mathbf{r}_0)$ 上的投影 (见注 4.6), 故称式 (4.236) 为投影方程, 而称这类方法为投影类方法.

通常 $k \ll n$, 故式 (4.236) 有多种方法来求解. 这样, 实现这一方法的关键是如何选择子空间 \mathcal{X}_k 以及如何有效地计算 $\mathcal{K}_k(\mathbf{A}, \mathbf{r}_0)$





和 \mathcal{X}_k 的基向量.

本节取 $\mathcal{X}_k = \mathcal{K}_k(\mathbf{A}^T, \tilde{\mathbf{r}}_0)$, $\tilde{\mathbf{r}}_0^T \mathbf{r}_0 \neq 0$, 并给出这方面的三类典型的方法: 双共轭梯度法 (BCG 方法)、共轭梯度平方法 (CGS 方法) 和稳定化共轭梯度法 (BCGSTAB 方法). BCG 方法是基础, 另外两个方法是通过改进 BCG 方法而得到的.

§4.8.1 BCG 方法

BCG 方法 (双共轭梯度法, Bi-Conjugate Gradient) 是在式 (4.235) 中取子空间 $\mathcal{X}_k = \mathcal{K}_k(\mathbf{A}^T, \tilde{\mathbf{r}}_0)$ 而得到的一类投影方法. 当然, 可以利用非对称 Lanczos 方法来计算 $\mathcal{K}_k(\mathbf{A}, \mathbf{r}_0)$ 和 $\mathcal{K}_k(\mathbf{A}^T, \tilde{\mathbf{r}}_0)$ 的基, 然后以类似于 CG 方法的推导过程导出 BCG 的基本迭代格式. 为了更清楚地展示这类方法与共轭梯度法的联系, 这里采用 CG 方法的一种等价描述来导出 BCG 的迭代格式.



Back

Close



1. CG 方法的等价描述

为了便于参照, 先将求对称正定线性方程组的 CG 方法的迭代格式重新叙述如下:

$$(1) \quad \mathbf{r}_0 = \mathbf{b} - \mathbf{A}\mathbf{x}_0; \quad \mathbf{p}_{-1} = \mathbf{0}; \quad \rho_{-1} = 1.$$

$$(2) \quad \rho_k = \mathbf{r}_k^T \mathbf{r}_k; \quad \beta_k = \rho_k / \rho_{k-1}; \quad \mathbf{p}_k = \mathbf{r}_k + \beta_k \mathbf{p}_{k-1};$$

$$\sigma_k = \mathbf{p}_k^T \mathbf{A} \mathbf{p}_k; \quad \alpha_k = \rho_k / \sigma_k; \quad \mathbf{x}_{k+1} = \mathbf{x}_k + \alpha_k \mathbf{p}_k;$$

$$\mathbf{r}_{k+1} = \mathbf{r}_k - \alpha_k \mathbf{A} \mathbf{p}_k; \quad k = 0, 1, 2, \dots$$

若迭代进行到了 k 步, 则将产生三组向量:

① 近似解向量组 $\mathbf{x}_0, \mathbf{x}_1, \dots, \mathbf{x}_k$;

② 残量组 $\mathbf{r}_0, \mathbf{r}_1, \dots, \mathbf{r}_k$;

③ 方向向量组 $\mathbf{p}_0, \mathbf{p}_1, \dots, \mathbf{p}_k$.

它们具有如下的基本性质:



Back

Close



$$\textcircled{1} \quad \mathbf{r}_i^T \mathbf{r}_j = \rho_i \delta_{ij} \quad (\text{残量相互正交});$$

$$\textcircled{2} \quad \mathbf{p}_i^T \mathbf{A} \mathbf{p}_j = \sigma_i \delta_{ij} \quad (\text{方向向量相互 } \mathbf{A}\text{-共轭正交});$$

$$\textcircled{3} \quad \mathcal{K}_{k+1}(\mathbf{A}, \mathbf{r}_0) = \text{span}\{\mathbf{r}_0, \mathbf{r}_1, \dots, \mathbf{r}_k\} = \text{span}\{\mathbf{p}_0, \mathbf{p}_1, \dots, \mathbf{p}_k\}.$$

由性质 ③ 可知, 必存在 $\varphi_k, \psi_k \in \mathcal{P}_k$, 使得

$$\mathbf{r}_k = \varphi_k(\mathbf{A})\mathbf{r}_0, \quad \mathbf{p}_k = \psi_k(\mathbf{A})\mathbf{r}_0.$$

若记 $\varphi_0(t) = 1, \psi_{-1}(t) = 0, \vartheta(t) = t$, 则由前面所述的 CG 方法的迭代格式可导出

$$\begin{cases} \varphi_{k+1} = \varphi_k - \alpha_k \vartheta \psi_k, \\ \psi_k = \varphi_k + \beta_k \psi_{k-1}, \quad k = 0, 1, 2, \dots \end{cases} \quad (4.238)$$

现在在线性空间 \mathcal{P}_n 上定义双线性泛函

$$[\varphi, \psi] = \mathbf{r}_0^T \varphi(\mathbf{A}) \psi(\mathbf{A}) \mathbf{r}_0, \quad \forall \varphi, \psi \in \mathcal{P}_n. \quad (4.239)$$





注意, 这样定义的二元泛函除不能由 $[\varphi, \varphi] = 0$ 导出 $\varphi = 0$ 之外, 它具有内积的其他所有性质.

利用式 (4.239) 容易导出 CG 方法迭代格式中的几个参数的表达式, 即

$$\rho_k = [\varphi_k, \varphi_k], \quad \sigma_k = [\psi_k, \vartheta\psi_k]. \quad (4.240)$$

将式 (4.238) 和式 (4.240) 相结合就得到了 CG 方法用多项式语言给出的等价描述:

$$(1) \quad \varphi_0 = 1; \quad \psi_{-1} = 0; \quad \rho_{-1} = 1; \quad (4.241a)$$

$$(2) \quad \rho_k = [\varphi_k, \varphi_k]; \quad \beta_k = \rho_k / \rho_{k-1}; \quad (4.241b)$$

$$\psi_k = \varphi_k + \beta_k \psi_{k-1}; \quad (4.241c)$$

$$\sigma_k = [\psi_k, \vartheta\psi_k]; \quad \alpha_k = \rho_k / \sigma_k; \quad (4.241d)$$

$$\varphi_{k+1} = \varphi_k - \alpha_k \vartheta\psi_k; \quad k = 0, 1, 2, \dots \quad (4.241e)$$

显然, 由上面的迭代格式产生的多项式系列满足



Back

Close

$$[\varphi_i, \varphi_j] = \rho_i \delta_{ij}, \quad [\psi_i, \vartheta \psi_j] = \sigma_i \delta_{ij}. \quad (4.242)$$

2. BCG 方法

类比于式 (4.239), 对给定的非奇异矩阵 \mathbf{A} 以及向量 \mathbf{r}_0 和 $\tilde{\mathbf{r}}_0$, 在 \mathcal{P}_n 上定义双线性泛函

$$\langle \varphi, \psi \rangle = \tilde{\mathbf{r}}_0^T \varphi(\mathbf{A}) \psi(\mathbf{A}) \mathbf{r}_0, \quad \forall \varphi, \psi \in \mathcal{P}_n, \quad (4.243)$$

然后将式 (4.239) 中定义的双线性泛函 $[\cdot, \cdot]$ 换为现在定义的 $\langle \cdot, \cdot \rangle$, 再逐字照搬过来, 便有

$$(1) \quad \varphi_0 = 1; \quad \psi_{-1} = 0; \quad \rho_{-1} = 1; \quad (4.244a)$$

$$(2) \quad \rho_k = \langle \varphi_k, \varphi_k \rangle; \quad \beta_k = \rho_k / \rho_{k-1}; \quad (4.244b)$$

$$\psi_k = \varphi_k + \beta_k \psi_{k-1}; \quad (4.244c)$$

$$\sigma_k = \langle \psi_k; \vartheta \psi_k \rangle; \quad \alpha_k = \rho_k / \sigma_k; \quad (4.244d)$$

$$\varphi_{k+1} = \varphi_k - \alpha_k \vartheta \psi_k; \quad k = 0, 1, 2, \dots. \quad (4.244e)$$





当然, 也可用数学归纳法证明这样迭代产生的 $\{\varphi_i\}_{i=0}^k$ 和 $\{\psi_i\}_{i=0}^k$ 具有性质

$$\langle \varphi_i, \varphi_j \rangle = \rho_i \delta_{ij}, \quad \langle \psi_i, \psi_j \rangle = \sigma_i \delta_{ij}. \quad (4.245)$$

现在定义

$$\mathbf{r}_k = \varphi_k(\mathbf{A})\mathbf{r}_0, \quad \tilde{\mathbf{r}}_k = \varphi_k(\mathbf{A}^T)\tilde{\mathbf{r}}_0, \quad (4.246)$$

$$\mathbf{q}_k = \psi_k(\mathbf{A})\mathbf{r}_0, \quad \tilde{\mathbf{q}}_k = \psi_k(\mathbf{A}^T)\tilde{\mathbf{r}}_0. \quad (4.247)$$

将式 (4.244) 改成向量形式, 便有

$$(1) \quad \mathbf{r}_0 = \mathbf{b} - \mathbf{A}\mathbf{x}_0; \quad \tilde{\mathbf{r}}_0 \text{ 满足 } \tilde{\mathbf{r}}_0^T \mathbf{r}_0 \neq 0;$$

$$\mathbf{q}_{-1} = \tilde{\mathbf{q}}_{-1} = \mathbf{0}; \quad \rho_{-1} = 1;$$



Back

Close



$$(2) \quad \rho_k = \tilde{\mathbf{r}}_k^T \mathbf{r}_k; \quad \beta_k = \rho_k / \rho_{k-1}; \quad (4.248a)$$

$$\mathbf{q}_k = \mathbf{r}_k + \beta_k \mathbf{q}_{k-1}; \quad (4.248b)$$

$$\tilde{\mathbf{q}}_k = \tilde{\mathbf{r}}_k + \beta_k \tilde{\mathbf{q}}_{k-1}; \quad (4.248c)$$

$$\sigma_k = \tilde{\mathbf{q}}_k^T \mathbf{A} \mathbf{q}_k; \quad \alpha_k = \rho_k / \sigma_k; \quad (4.248d)$$

$$\mathbf{r}_{k+1} = \mathbf{r}_k - \alpha_k \mathbf{A} \mathbf{q}_k; \quad (4.248e)$$

$$\tilde{\mathbf{r}}_{k+1} = \tilde{\mathbf{r}}_k - \alpha_k \mathbf{A}^T \tilde{\mathbf{q}}_k; \quad k = 0, 1, 2, \dots. \quad (4.248f)$$

利用数学归纳法可证如下的结果.

定理 4.16 由式 (4.248) 产生的序列 $\{\mathbf{q}_k\}$, $\{\tilde{\mathbf{q}}_k\}$, $\{\mathbf{r}_k\}$ 和 $\{\tilde{\mathbf{r}}_k\}$ 具有如下性质:

$$(1) \quad \tilde{\mathbf{r}}_k^T \mathbf{r}_l = \mathbf{r}_k^T \tilde{\mathbf{r}}_l = \rho_k \delta_{kl}. \quad (4.249a)$$

$$(2) \quad \tilde{\mathbf{q}}_k^T \mathbf{A} \mathbf{q}_l = \mathbf{q}_k^T \mathbf{A} \tilde{\mathbf{q}}_l = \sigma_k \delta_{kl}. \quad (4.249b)$$

$$(3) \quad \mathcal{K}_k(\mathbf{A}, \mathbf{r}_0) = \text{span}\{\mathbf{q}_0, \mathbf{q}_1, \dots, \mathbf{q}_{k-1}\} = \text{span}\{\mathbf{r}_0, \mathbf{r}_1, \dots, \mathbf{r}_{k-1}\}. \quad (4.249c)$$

$$(4) \quad \mathcal{K}_k(\mathbf{A}^T, \tilde{\mathbf{r}}_0) = \text{span}\{\tilde{\mathbf{q}}_0, \tilde{\mathbf{q}}_1, \dots, \tilde{\mathbf{q}}_{k-1}\} = \text{span}\{\tilde{\mathbf{r}}_0, \tilde{\mathbf{r}}_1, \dots, \tilde{\mathbf{r}}_{k-1}\}. \quad (4.249d)$$





证明 首先对 k 用归纳法证明式 (4.249a) 和式 (4.249b). 显然, 当 $k = 0$ 时, 结论是平凡的. 故设 $k + 1 \geq 1$. 假设结论对 k 成立. 由式 (4.248c) 和式 (4.248e), 得

$$\begin{aligned} \mathbf{r}_{k+1}^T \tilde{\mathbf{r}}_l &= \mathbf{r}_k^T \tilde{\mathbf{r}}_l - \alpha_k \mathbf{q}_k^T \mathbf{A}^T \tilde{\mathbf{r}}_l \\ &= \mathbf{r}_k^T \tilde{\mathbf{r}}_l - \alpha_k \mathbf{q}_k^T \mathbf{A}^T (\tilde{\mathbf{q}}_l - \beta_l \tilde{\mathbf{q}}_{l-1}). \end{aligned} \quad (4.250)$$

在式 (4.250) 中, 当 $l = k$ 时, 由 α_k 的表达式和归纳假设, 得

$$\begin{aligned} \mathbf{r}_{k+1}^T \tilde{\mathbf{r}}_k &= \mathbf{r}_k^T \tilde{\mathbf{r}}_k - \frac{\tilde{\mathbf{r}}_k^T \mathbf{r}_k}{\tilde{\mathbf{q}}_k^T \mathbf{A} \mathbf{q}_k} (\mathbf{q}_k^T \mathbf{A}^T \tilde{\mathbf{q}}_k - \beta_k \mathbf{q}_k^T \mathbf{A}^T \tilde{\mathbf{q}}_{k-1}) \\ &= \mathbf{r}_k^T \tilde{\mathbf{r}}_k - \frac{\mathbf{r}_k^T \tilde{\mathbf{r}}_k}{\tilde{\mathbf{q}}_k^T \mathbf{A} \mathbf{q}_k} (\tilde{\mathbf{q}}_k^T \mathbf{A} \mathbf{q}_k - \beta_k \tilde{\mathbf{q}}_{k-1}^T \mathbf{A} \mathbf{q}_k) = 0. \end{aligned}$$

当 $l < k$ 时, 由归纳法假设可得 $\mathbf{r}_{k+1}^T \tilde{\mathbf{r}}_l = 0$. 同理, 可证 $\tilde{\mathbf{r}}_{k+1}^T \mathbf{r}_l = 0$ ($l \leq k$). 这就证明了式 (4.249a).





由式 (4.248b) 和式 (4.248f), 得

$$\begin{aligned} \mathbf{q}_{k+1}^T \mathbf{A}^T \tilde{\mathbf{q}}_l &= \mathbf{r}_{k+1}^T \mathbf{A}^T \tilde{\mathbf{q}}_l + \beta_{k+1} \mathbf{q}_k^T \mathbf{A}^T \tilde{\mathbf{q}}_l \\ &= \mathbf{r}_{k+1}^T \left(\frac{\tilde{\mathbf{r}}_l - \tilde{\mathbf{r}}_{l+1}}{\alpha_k} \right) + \beta_{k+1} \mathbf{q}_k^T \mathbf{A}^T \tilde{\mathbf{q}}_l. \end{aligned} \quad (4.251)$$

在式 (4.251) 中, 当 $l = k$ 时, 由 α_k 和 β_{k+1} 的表达式及归纳假设, 得

$$\begin{aligned} \mathbf{q}_{k+1}^T \mathbf{A}^T \tilde{\mathbf{q}}_k &= \mathbf{r}_{k+1}^T \left(\frac{\tilde{\mathbf{r}}_k - \tilde{\mathbf{r}}_{k+1}}{\alpha_k} \right) + \beta_{k+1} \frac{\mathbf{r}_k^T \tilde{\mathbf{r}}_k}{\alpha_k} \\ &= \mathbf{r}_{k+1}^T \left(\frac{\tilde{\mathbf{r}}_k - \tilde{\mathbf{r}}_{k+1}}{\alpha_k} \right) + \frac{\mathbf{r}_{k+1}^T \tilde{\mathbf{r}}_{k+1}}{\mathbf{r}_k^T \tilde{\mathbf{r}}_k} \frac{\mathbf{r}_k^T \tilde{\mathbf{r}}_k}{\alpha_k} \\ &= \frac{\mathbf{r}_{k+1}^T \tilde{\mathbf{r}}_k}{\alpha_k} = 0. \end{aligned}$$

当 $l < k$ 时, 利用式 (4.249a) 和归纳法假设可得 $\mathbf{q}_{k+1}^T \mathbf{A}^T \tilde{\mathbf{q}}_l = 0$. 同理, 可证 $\tilde{\mathbf{q}}_{k+1}^T \mathbf{A} \mathbf{q}_l = 0$ ($l \leq k$). 这就证明了式 (4.249b).



Back

Close



由于

$$\mathcal{K}_k(\mathbf{A}, \mathbf{r}_0) = \text{span}\{\mathbf{r}_0, \mathbf{r}_1, \dots, \mathbf{r}_{k-1}\},$$

$$\mathcal{K}_k(\mathbf{A}^T, \tilde{\mathbf{r}}_0) = \text{span}\{\tilde{\mathbf{r}}_0, \tilde{\mathbf{r}}_1, \dots, \tilde{\mathbf{r}}_{k-1}\},$$

且向量组 $\{\mathbf{q}_0, \mathbf{q}_1, \dots, \mathbf{q}_{k-1}\}$ 与 $\{\mathbf{r}_0, \mathbf{r}_1, \dots, \mathbf{r}_{k-1}\}$ 及向量组 $\{\tilde{\mathbf{q}}_0, \tilde{\mathbf{q}}_1, \dots, \tilde{\mathbf{q}}_{k-1}\}$ 与 $\{\tilde{\mathbf{r}}_0, \tilde{\mathbf{r}}_1, \dots, \tilde{\mathbf{r}}_{k-1}\}$ 可以相互线性表出, 故容易得到式 (4.249c) 和式 (4.249d). 证毕. \square

此外, 若定义

$$\mathbf{x}_{k+1} = \mathbf{x}_k + \alpha_k \mathbf{q}_k, \quad k = 0, 1, 2, \dots,$$

则迭代式 (4.248e) 中的向量 \mathbf{r}_k 刚好为 $\mathbf{r}_k = \mathbf{b} - \mathbf{A}\mathbf{x}_k$, 且由定理 4.16 的 (1) 和 (4) 可知

$$\mathbf{r}_k \perp \mathcal{K}_k(\mathbf{A}^T, \tilde{\mathbf{r}}_0),$$

这表明 \mathbf{x}_k 满足残量正交化条件式 (4.235). 综上所述, 就得到了如下算法.



Back

Close



算法 4.19 (BCG 方法) 给定线性方程组 (4.234), 初始向量 \mathbf{x}_0 和 $\varepsilon > 0$. 本算法计算向量 \mathbf{x}_k , 使得 $\|\mathbf{r}_k\|_2/\|\mathbf{r}_0\|_2 \leq \varepsilon$, 其中 $\mathbf{r}_k = \mathbf{b} - \mathbf{A}\mathbf{x}_k$.

选取 \mathbf{x}_0 ; 计算 $\mathbf{r}_0 = \mathbf{b} - \mathbf{A}\mathbf{x}_0$; $\mathbf{q}_{-1} = \tilde{\mathbf{q}}_{-1} = \mathbf{0}$; $\rho_{-1} = 1$;

选择 $\tilde{\mathbf{r}}_0$ 满足 $\tilde{\mathbf{r}}_0^T \mathbf{r}_0 \neq 0$; $k = 0$;

while ($\|\mathbf{r}_k\|_2/\|\mathbf{r}_0\|_2 > \varepsilon$)

$$\rho_k = \tilde{\mathbf{r}}_k^T \mathbf{r}_k; \beta_k = \rho_k/\rho_{k-1};$$

$$\mathbf{q}_k = \mathbf{r}_k + \beta_k \mathbf{q}_{k-1}; \tilde{\mathbf{q}}_k = \tilde{\mathbf{r}}_k + \beta_k \tilde{\mathbf{q}}_{k-1};$$

$$\sigma_k = \tilde{\mathbf{q}}_k^T \mathbf{A} \mathbf{q}_k; \alpha_k = \rho_k/\sigma_k;$$

$$\mathbf{x}_{k+1} = \mathbf{x}_k + \alpha_k \mathbf{q}_k; \mathbf{r}_{k+1} = \mathbf{r}_k - \alpha_k \mathbf{A} \mathbf{q}_k;$$

$$\tilde{\mathbf{r}}_{k+1} = \tilde{\mathbf{r}}_k - \alpha_k \mathbf{A}^T \tilde{\mathbf{q}}_k; k = k + 1;$$

end



Back

Close



注 4.9 若计算过程中出现 $\rho_{k-1} = 0$ 或 $\sigma_k = 0$, 但还没有满足收敛性条件, 则此时算法就发生中断. 此外, 如果希望同时求解对偶方程 $\mathbf{A}^T \tilde{\mathbf{x}} = \tilde{\mathbf{b}}$, 则只需在上述算法中增加两句 $\tilde{\mathbf{r}}_0 = \tilde{\mathbf{b}} - \mathbf{A}^T \tilde{\mathbf{x}}_0$ 和 $\tilde{\mathbf{x}}_{k+1} = \tilde{\mathbf{x}}_k + \alpha_k \tilde{\mathbf{q}}_k$ 即可.

BCG 方法的 MATLAB 程序如下:

%BCG方法程序-bcg.m

```
function [x,k,time,res,resvec]=bcg(A,b,x,max_it,tol)
```

```
tic;n=length(b);
```

```
q=zeros(n,1);qt=q;rho=1;
```

```
r=b-A*x;mr=norm(r);k=0;
```

```
rt=ones(n,1);%rt的选取会影响收敛速度
```

```
%rt=r/mr; %rt=zeros(n,1);rt(1)=1;
```

```
while (k<max_it)
```



Back

Close



```
k=k+1;  
res=norm(r)/mr;resvec(k)=res;  
if (res<tol), break; end  
rho1=rt'*r;beta=rho1/rho;  
q=r+beta*q;qt=rt+beta*qt;  
Aq=A*q; sigma=qt'*Aq;  
alpha=rho1/sigma;  
x=x+alpha*q;  
r=r-alpha*Aq;  
rt=rt-alpha*(A'*qt);  
rho=rho1;  
end  
time=toc;
```



Back

Close



例 4.15 假设线性方程组的系数矩阵 \mathbf{A} 由 MATLAB 命令

$$\text{gallery('lotkin', } n), \quad n = 1000,$$

产生, 这是一个 Hilbert 矩阵 (即其 (i, j) 元素为 $1/(i + j - 1)$), 但其第 1 行的元素都换成了 1. 这个矩阵非常病态, 其条件数为 6.65×10^{21} . 再假设真解 \mathbf{x}^* 是分量都为 1 的向量, 从而该方程组的右端项为 $\mathbf{b} = \mathbf{A}\mathbf{x}^*$. 将 BCG 算法应用到该线性方程组上, 取算法中的 $\tilde{\mathbf{r}}_0 = \text{ones}(n, 1)$. 迭代在 60 步后收敛 ($\varepsilon = 10^{-10}$), 计算得到的近似解 $\hat{\mathbf{x}}$ 和真解 \mathbf{x}^* 之间的绝对误差为

$$\|\hat{\mathbf{x}} - \mathbf{x}^*\|_2 = 0.6727,$$

但计算解 $\hat{\mathbf{x}}$ 的残量满足

$$\|\mathbf{b} - \mathbf{A}\hat{\mathbf{x}}\|_2 = 2.6526 \times 10^{-8}.$$

迭代过程的收敛轨迹如图 4.16 所示, 其中横坐标为迭代步数 k , 纵



Back

Close



坐标为 $\lg \|\mathbf{r}_k\|_2$, 这里 \mathbf{r}_k 是第 k 步得到的残量. 请注意观察, 与前面几个方法相比, 此时 $\|\mathbf{r}_k\|_2 / \|\mathbf{r}_0\|_2$ 不再单调下降, 而是在振荡中下降着.

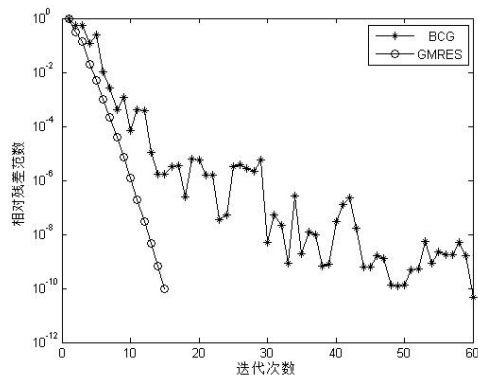


图 4.16 BCG 算法的收敛特性



Back

Close

§4.8.2 CGS 方法

CGS 方法 (共轭梯度平方法, Conjugate Gradient Squared) 是为了避免 BCG 方法中 \mathbf{A}^T 的出现而提出的.

仔细观察 BCG 的迭代格式就会发现, \mathbf{A}^T 只在计算 $\tilde{\mathbf{r}}_k$ 时用到, 而这一量又在计算 ρ_k 和 σ_k 时用到. 再利用导出 BCG 迭代格式的多项式形式的迭代格式 (4.244) 立即可以看出, 这两个量的计算完全可以避开 \mathbf{A}^T 的使用. 事实上, 有

$$\begin{cases} \rho_k = \langle \varphi_k, \varphi_k \rangle = \tilde{\mathbf{r}}_0^T \varphi_k(\mathbf{A}) \varphi_k(\mathbf{A}) \mathbf{r}_0 = \langle \varphi_0, \varphi_k^2 \rangle, \\ \sigma_k = \langle \psi_k, \vartheta \psi_k \rangle = \tilde{\mathbf{r}}_0^T \psi_k(\mathbf{A}) \mathbf{A} \psi_k(\mathbf{A}) \mathbf{r}_0 = \langle \psi_0, \vartheta \psi_k^2 \rangle. \end{cases} \quad (4.252)$$

因此, 若定义

$$\mathbf{r}_k = \varphi_k^2(\mathbf{A}) \mathbf{r}_0, \quad \mathbf{q}_k = \psi_k^2(\mathbf{A}) \mathbf{r}_0, \quad (4.253)$$



则有

$$\rho_k = \tilde{\mathbf{r}}_0^T \mathbf{r}_k, \quad \sigma_k = \tilde{\mathbf{r}}_0^T \mathbf{A} \mathbf{q}_k. \quad (4.254)$$

这样一来, 要用式 (4.253) 来高效地计算 \mathbf{r}_k 和 \mathbf{q}_k , 关键是如何高效地计算 φ_k^2 和 ψ_k^2 . 由式 (4.244) 立即可导出

$$\psi_k^2 = (\varphi_k + \beta_k \psi_{k-1})^2 = \varphi_k^2 + 2\beta_k \varphi_k \psi_{k-1} + \beta_k^2 \psi_{k-1}^2, \quad (4.255)$$

$$\varphi_{k+1}^2 = (\varphi_k - \alpha_k \vartheta \psi_k)^2 = \varphi_k^2 - 2\alpha_k \vartheta \varphi_k \psi_k + \alpha_k^2 \vartheta^2 \psi_k^2, \quad (4.256)$$

其中又涉及 $\varphi_k \psi_{k-1}$ 和 $\varphi_k \psi_k$. 再利用式 (4.244), 有

$$\varphi_{k+1} \psi_k = \varphi_k \psi_k - \alpha_k \vartheta \psi_k^2, \quad (4.257)$$

$$\varphi_k \psi_k = \varphi_k^2 + \beta_k \varphi_k \psi_{k-1}. \quad (4.258)$$

再定义

$$\mathbf{p}_k = \varphi_k(\mathbf{A}) \psi_{k-1}(\mathbf{A}) \mathbf{r}_0, \quad \mathbf{u}_k = \varphi_k(\mathbf{A}) \psi_k(\mathbf{A}) \mathbf{r}_0, \quad (4.259)$$





由式 (4.255)~式 (4.258) 得到如下递推公式:

$$\begin{cases} \mathbf{q}_k = \mathbf{r}_k + 2\beta_k \mathbf{p}_k + \beta_k^2 \mathbf{q}_{k-1}, \\ \mathbf{r}_{k+1} = \mathbf{r}_k - 2\alpha_k \mathbf{A} \mathbf{u}_k + \alpha_k^2 \mathbf{A}^2 \mathbf{q}_k, \\ \mathbf{p}_{k+1} = \mathbf{u}_k - \alpha_k \mathbf{A} \mathbf{q}_k, \\ \mathbf{u}_k = \mathbf{r}_k + \beta_k \mathbf{p}_k. \end{cases} \quad (4.260)$$

由式 (4.260) 的第 1 式和第 4 式, 得

$$\mathbf{q}_k = \mathbf{u}_k + \beta_k (\mathbf{p}_k + \beta_k \mathbf{q}_{k-1}), \quad (4.261)$$

再由式 (4.260) 的第 2 式和第 3 式, 得

$$\mathbf{r}_{k+1} = \mathbf{r}_k - \alpha_k \mathbf{A} (\mathbf{u}_k + \mathbf{p}_{k+1}). \quad (4.262)$$

由式 (4.262) 可知, 若定义

$$\mathbf{x}_{k+1} = \mathbf{x}_k + \alpha_k (\mathbf{u}_k + \mathbf{p}_{k+1}), \quad (4.263)$$

则 $\mathbf{r}_k = \mathbf{b} - \mathbf{A} \mathbf{x}_k$ 正好是对应近似解的残量.



Back

Close



综合上面的讨论, 便有如下的共轭梯度平方法.

算法 4.20 (CGS 方法) 给定线性方程组 (4.234), 初始向量 \mathbf{x}_0 和容许误差 $\varepsilon > 0$. 本算法计算 \mathbf{x}_k , 使得 $\|\mathbf{r}_k\|_2/\|\mathbf{r}_0\|_2 \leq \varepsilon$, 其中 $\mathbf{r}_k = \mathbf{b} - \mathbf{A}\mathbf{x}_k$.

选取 \mathbf{x}_0 ; 计算 $\mathbf{r}_0 = \mathbf{b} - \mathbf{A}\mathbf{x}_0$; $\mathbf{q}_{-1} = \mathbf{p}_0 = 0$; $\rho_{-1} = 1$;

选择 $\tilde{\mathbf{r}}_0$ 满足 $\tilde{\mathbf{r}}_0^T \mathbf{r}_0 \neq 0$; $k = 0$;

while ($\|\mathbf{r}_k\|_2/\|\mathbf{r}_0\|_2 > \varepsilon$)

$$\rho_k = \tilde{\mathbf{r}}_0^T \mathbf{r}_k; \quad \beta_k = \rho_k / \rho_{k-1};$$

$$\mathbf{u}_k = \mathbf{r}_k + \beta_k \mathbf{p}_k;$$

$$\mathbf{q}_k = \mathbf{u}_k + \beta_k (\mathbf{p}_k + \beta_k \mathbf{q}_{k-1});$$

$$\mathbf{q}_k = \mathbf{A}\mathbf{q}_k; \quad \sigma_k = \tilde{\mathbf{r}}_0^T \mathbf{q}_k;$$

$$\alpha_k = \rho_k / \sigma_k; \quad \mathbf{p}_{k+1} = \mathbf{u}_k - \alpha_k \mathbf{q}_k;$$

$$\mathbf{z}_k = \alpha_k (\mathbf{u}_k + \mathbf{p}_{k+1});$$



Back

Close



$$\mathbf{x}_{k+1} = \mathbf{x}_k + \mathbf{z}_k; \quad \mathbf{r}_{k+1} = \mathbf{r}_k - \mathbf{A}\mathbf{z}_k;$$

$$k = k + 1;$$

end

算法 4.20 确实避免了 \mathbf{A}^T 的出现, 每次迭代只需作两次系数矩阵 \mathbf{A} 与向量的乘积. 由前面的推导过程可知, 算法 4.20 产生的近似解的残量为 $\mathbf{r}_k^{\text{CGS}} = \varphi_k^2(\mathbf{A})\mathbf{r}_0$, 而 BCG 算法产生的近似解的残量为 $\mathbf{r}_k^{\text{BCG}} = \varphi_k(\mathbf{A})\mathbf{r}_0$. 当 $\mathbf{r}_k^{\text{BCG}}$ 趋向于零时, $\varphi_k(\mathbf{A})$ 就是一个收缩因子. 从这个意义上讲, $\mathbf{r}_k^{\text{CGS}}$ 的收敛到零的速度应该是 $\mathbf{r}_k^{\text{BCG}}$ 的两倍. 但这个算法的缺点是 $\|\mathbf{r}_k^{\text{CGS}}\|_2$ 随着 k 的增加会发生激烈的抖动.

例 4.16 仍然考虑例 4.15 中的 \mathbf{A} 和 \mathbf{b} . 将 CGS 算法应用到该线性方程组上, 取算法中的 $\tilde{\mathbf{r}}_0 = (1, 0, \dots, 0)^T$, 迭代在 142 步后



Back

Close



收敛 ($\varepsilon = 10^{-10}$), 计算得到的近似解 $\hat{\mathbf{x}}$ 和真解 \mathbf{x}^* 之间的误差为

$$\|\hat{\mathbf{x}} - \mathbf{x}^*\|_2 = 0.8086,$$

但计算解 $\hat{\mathbf{x}}$ 的残量满足

$$\|\mathbf{b} - \mathbf{A}\hat{\mathbf{x}}\|_2 = 7.0413 \times 10^{-8}.$$

迭代过程的收敛轨迹如图 4.17 所示, 其中横坐标为迭代步数 k , 纵坐标为相对残差 $\|\mathbf{r}_k\|_2/\|\mathbf{r}_0\|_2$, 这里 \mathbf{r}_k 是第 k 步得到的残差向量. 此时 $\|\mathbf{r}_k\|_2/\|\mathbf{r}_0\|_2$ 与 BCG 方法一样也是在剧烈的振荡中艰难地下降着, 但注意到此例反映不出前面分析中 CGS 的收敛速度大约是 BCG 的两倍, 或许是受 $\tilde{\mathbf{r}}_0$ 选取的影响.



Back

Close

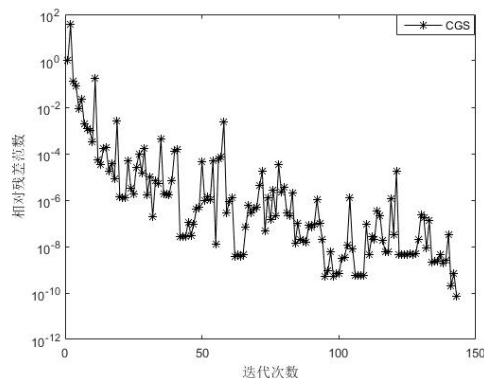


图 4.17 CGS 算法的收敛特性

§4.8.3 BCGSTAB 方法

BCGSTAB 方法 (稳定化双共轭梯度法, Bi-Conjugate Gradient Stabilized) 是为了改进 CGS 方法之残量的范数剧烈抖动而提出的. 这一方法的基本思想是 CGS 方法的残量 $\mathbf{r}_k^{\text{CGS}}$ 满足

$$\mathbf{r}_k^{\text{CGS}} = \varphi_k(\mathbf{A})\mathbf{r}_k^{\text{BCG}} = \varphi_k^2(\mathbf{A})\mathbf{r}_0, \quad (4.264)$$



Back

Close



可以考虑不用多项式 φ_k , 而是选择一个其他的 k 次多项式 $\tilde{\varphi}_k$, 使

$$\mathbf{r}_k = \tilde{\varphi}_k(\mathbf{A})\mathbf{r}_k^{\text{BCG}} = \tilde{\varphi}_k(\mathbf{A})\varphi_k(\mathbf{A})\mathbf{r}_0, \quad (4.265)$$

以期待这样选取的相对残差范数 $\|\mathbf{r}_k\|_2/\|\mathbf{r}_0\|_2$ 的振荡性有所改进.

一种选择 $\tilde{\varphi}_k$ 的方法是根据递推公式

$$\tilde{\varphi}_0(t) = 1, \quad \tilde{\varphi}_{k+1}(t) = (1 - \omega_{k+1}t)\tilde{\varphi}_k(t), \quad (4.266)$$

式中: ω_{k+1} 为待定参数. BCGSTAB 方法正是利用这一参数的可选择性来改进其相对残差范数的振荡性的.

利用式 (4.244) 和式 (4.266), 可导出 $\tilde{\varphi}_{k+1}\varphi_{k+1}$ 的递推计算公式

$$\begin{aligned} \tilde{\varphi}_{k+1}\varphi_{k+1} &= (1 - \omega_{k+1}\vartheta)\tilde{\varphi}_k(\varphi_k - \alpha_k\vartheta\psi_k) \\ &= (1 - \omega_{k+1}\vartheta)(\tilde{\varphi}_k\varphi_k - \alpha_k\vartheta\tilde{\varphi}_k\psi_k), \end{aligned} \quad (4.267)$$

$$\begin{aligned} \tilde{\varphi}_k\psi_k &= \tilde{\varphi}_k(\varphi_k + \beta_k\psi_{k-1}) \\ &= \tilde{\varphi}_k\varphi_k + \beta_k(1 - \omega_k\vartheta)\tilde{\varphi}_{k-1}\psi_{k-1}. \end{aligned} \quad (4.268)$$



现定义

$$\mathbf{r}_k = \tilde{\varphi}_k(\mathbf{A})\varphi_k(\mathbf{A})\mathbf{r}_0, \quad \mathbf{p}_k = \tilde{\varphi}_k(\mathbf{A})\psi_k(\mathbf{A})\mathbf{r}_0, \quad (4.269)$$

则由式 (4.267) 和式 (4.268), 得

$$\mathbf{r}_{k+1} = (\mathbf{I} - \omega_{k+1}\mathbf{A})(\mathbf{r}_k - \alpha_k\mathbf{A}\mathbf{p}_k), \quad (4.270)$$

$$\mathbf{p}_k = \mathbf{r}_k + \beta_k(\mathbf{I} - \omega_k\mathbf{A})\mathbf{p}_{k-1}. \quad (4.271)$$

下面来考虑 α_k 和 β_k 的计算问题. 由式 (4.244) 可知

$$\alpha_k = \frac{\rho_k}{\sigma_k}, \quad \beta_k = \frac{\rho_k}{\rho_{k-1}}, \quad (4.272)$$

式中:

$$\rho_k = \langle \varphi_k, \varphi_k \rangle, \quad \sigma_k = \langle \psi_k, \vartheta \psi_k \rangle. \quad (4.273)$$



由定理 4.16 可知

$$\begin{aligned}\varphi_k(\mathbf{A})\mathbf{r}_0 &= \mathbf{r}_k^{\text{BCG}} \perp \mathcal{K}_k(\mathbf{A}^T, \tilde{\mathbf{r}}_0), \\ \psi_k(\mathbf{A})\mathbf{r}_0 &= \mathbf{q}_k^{\text{BCG}} \perp \mathbf{A}^T \mathcal{K}_k(\mathbf{A}^T, \tilde{\mathbf{r}}_0).\end{aligned}$$

于是对任意的 $\psi \in \mathcal{P}_{k-1}$, 有

$$\langle \varphi_k, \psi \rangle = \tilde{\mathbf{r}}_0^T \psi(\mathbf{A}) \varphi_k(\mathbf{A}) \mathbf{r}_0 = (\psi(\mathbf{A}^T) \tilde{\mathbf{r}}_0)^T (\varphi_k(\mathbf{A}) \mathbf{r}_0) = 0, \quad (4.274)$$

$$\langle \psi_k, \vartheta \psi \rangle = \tilde{\mathbf{r}}_0^T \psi(\mathbf{A}) \mathbf{A} \psi_k(\mathbf{A}) \mathbf{r}_0 = (\mathbf{A}^T \psi(\mathbf{A}^T) \tilde{\mathbf{r}}_0)^T (\psi_k(\mathbf{A}) \mathbf{r}_0) = 0. \quad (4.275)$$

设 φ_k 和 $\tilde{\varphi}_k$ 的首项系数分别为 ξ_k 和 η_k , 则由式 (4.244) 和式 (4.266) 可知, 它们可递推地计算

$$\xi_{k+1} = -\alpha_k \xi_k, \quad \eta_{k+1} = -\omega_{k+1} \eta_k, \quad (4.276)$$



其中 $\xi_0 = \eta_0 = 1$, 这里用到了

$$\psi_k = \varphi_k + \beta_k \psi_{k-1}$$

蕴涵着 ψ_k 和 φ_k 有相同的首项系数. 这样

$$\psi = \psi_k - \frac{\xi_k}{\eta_k} \tilde{\varphi}_k \quad \text{和} \quad \varphi = \varphi_k - \frac{\xi_k}{\eta_k} \tilde{\varphi}_k$$

均为 $k-1$ 次多项式, 从而利用式 (4.274) 和式 (4.275) 有

$$\begin{aligned} \rho_k &= \langle \varphi_k, \varphi_k \rangle = \langle \varphi_k, \varphi + \frac{\xi_k}{\eta_k} \tilde{\varphi}_k \rangle = \langle \varphi_k, \frac{\xi_k}{\eta_k} \tilde{\varphi}_k \rangle \\ &= \frac{\xi_k}{\eta_k} \tilde{\mathbf{r}}_0^T \tilde{\varphi}_k(\mathbf{A}) \varphi_k(\mathbf{A}) \mathbf{r}_0 = \frac{\xi_k}{\eta_k} \tilde{\mathbf{r}}_0^T \mathbf{r}_k, \end{aligned} \quad (4.277)$$

$$\begin{aligned} \sigma_k &= \langle \psi_k, \vartheta \psi_k \rangle = \langle \psi + \frac{\xi_k}{\eta_k} \tilde{\varphi}_k, \vartheta \psi_k \rangle = \langle \frac{\xi_k}{\eta_k} \tilde{\varphi}_k, \vartheta \psi_k \rangle \\ &= \frac{\xi_k}{\eta_k} \tilde{\mathbf{r}}_0^T \mathbf{A} \tilde{\varphi}_k(\mathbf{A}) \psi_k(\mathbf{A}) \mathbf{r}_0 = \frac{\xi_k}{\eta_k} \tilde{\mathbf{r}}_0^T \mathbf{A} \mathbf{p}_k. \end{aligned} \quad (4.278)$$



因此,

$$\alpha_k = \frac{\rho_k}{\sigma_k} = \frac{\tilde{\mathbf{r}}_0^T \mathbf{r}_k}{\tilde{\mathbf{r}}_0^T \mathbf{A} \mathbf{p}_k}, \quad (4.279)$$

$$\beta_k = \frac{\rho_k}{\rho_{k-1}} = \frac{\xi_k}{\xi_{k-1}} \frac{\eta_{k-1}}{\eta_k} \frac{\tilde{\mathbf{r}}_0^T \mathbf{r}_k}{\tilde{\mathbf{r}}_0^T \mathbf{r}_{k-1}} = \frac{\alpha_{k-1}}{\omega_k} \frac{\tilde{\mathbf{r}}_0^T \mathbf{r}_k}{\tilde{\mathbf{r}}_0^T \mathbf{r}_{k-1}}, \quad (4.280)$$

其中最后一个等式用到了式 (4.276).

到此为止 ω_{k+1} 仍然是自由的, 下面确定 ω_{k+1} . 为了符号简单起见, 记

$$\mathbf{s}_k = \mathbf{r}_k - \alpha_k \mathbf{A} \mathbf{p}_k, \quad (4.281)$$

有

$$\mathbf{r}_{k+1} = (\mathbf{I} - \omega_{k+1} \mathbf{A}) \mathbf{s}_k. \quad (4.282)$$

自然选择 ω_{k+1} 使

$$\|\mathbf{r}_{k+1}\|_2 = \min_{\omega} \|(\mathbf{I} - \omega \mathbf{A}) \mathbf{s}_k\|_2.$$



解此最小二乘问题, 得

$$\omega_{k+1} = \frac{\mathbf{s}_k^T \mathbf{A} \mathbf{s}_k}{\mathbf{s}_k^T \mathbf{A}^T \mathbf{A} \mathbf{s}_k}. \quad (4.283)$$

正是 ω_{k+1} 的这种极小化取法 $\|\mathbf{r}_{k+1}\|_2$ 而使得的振荡性有所改善.

286/294

注意: 式 (4.282) 又可写为

$$\mathbf{r}_{k+1} = \mathbf{s}_k - \omega_{k+1} \mathbf{A} \mathbf{s}_k = \mathbf{r}_k - \alpha_k \mathbf{A} \mathbf{p}_k - \omega_{k+1} \mathbf{A} \mathbf{s}_k, \quad (4.284)$$

故可定义

$$\mathbf{x}_{k+1} = \mathbf{x}_k + \alpha_k \mathbf{p}_k + \omega_{k+1} \mathbf{s}_k. \quad (4.285)$$

这样定义 \mathbf{x}_{k+1} 后, 其残量正好是式 (4.282) 所定义的 \mathbf{r}_{k+1} .

综合上面的讨论, 便得到如下的稳定化双共轭梯度算法.

算法 4.21 (BCGSTAB 方法) 给定线性方程组 (4.234), 初始向量 \mathbf{x}_0 和 $\varepsilon > 0$. 本算法计算 \mathbf{x}_k , 使得 $\|\mathbf{r}_k\|_2 / \|\mathbf{r}_0\|_2 \leq \varepsilon$, 其中



Back

Close



$$\mathbf{r}_k = \mathbf{b} - \mathbf{A}\mathbf{x}_k.$$

选取 \mathbf{x}_0 ; 计算 $\mathbf{r}_0 = \mathbf{b} - \mathbf{A}\mathbf{x}_0$; $\mathbf{p}_0 = \mathbf{r}_0$;

选择 $\tilde{\mathbf{r}}_0$ 使 $\rho_0 = \tilde{\mathbf{r}}_0^T \mathbf{r}_0 \neq 0$; $k = 0$;

while ($\|\mathbf{r}_k\|_2 > \|\mathbf{r}_0\|_2 \varepsilon$)

$$k = k + 1;$$

$$\mathbf{u}_k = \mathbf{A}\mathbf{p}_k; \sigma_k = \tilde{\mathbf{r}}_0^T \mathbf{u}_k;$$

$$\alpha_k = \rho_k / \sigma_k; \mathbf{s}_k = \mathbf{r}_k - \alpha_k \mathbf{u}_k;$$

$$\mathbf{q}_k = \mathbf{A}\mathbf{s}_k; \omega_{k+1} = (\mathbf{s}_k^T \mathbf{q}_k) / (\mathbf{q}_k^T \mathbf{q}_k);$$

$$\mathbf{x}_{k+1} = \mathbf{x}_k + \alpha_k \mathbf{p}_k + \omega_{k+1} \mathbf{s}_k;$$

$$\mathbf{r}_{k+1} = \mathbf{s}_k - \omega_{k+1} \mathbf{q}_k;$$

$$\rho_{k+1} = \tilde{\mathbf{r}}_0^T \mathbf{r}_{k+1};$$

$$\beta_{k+1} = (\alpha_k \rho_{k+1}) / (\omega_{k+1} \rho_k);$$



Back

Close



$$\mathbf{p}_{k+1} = \mathbf{r}_{k+1} + \beta_{k+1}(\mathbf{p}_k - \omega_{k+1}\mathbf{u}_k);$$

end

算法 4.21 也避免了 \mathbf{A}^T 的出现, 而且每次迭代也只需作两次矩阵向量乘法. 实际应用显示这种方法收敛得较快, 而且残量的范数较平稳, 是一种比较好的算法.

BCGSTAB 方法的 MATLAB 程序如下:

%BCGSTAB方法程序-bcgstab.m

```
function [x,k,time,res,resvec]=bcgstab(A,b,x,max_it,tol)
```

```
tic; r=b-A*x; p=r; mr=norm(r);
```

```
rt=ones(length(b),1); %rt=r;
```

```
%rt=zeros(length(b),1); rt(1)=1;
```

```
rho=rt'*r; k=0;
```



Back

Close



289/294

```
while (k<=max_it)
    k=k+1; u=A*p; sigma=rt'*u;
    alpha=rho/sigma; s=r-alpha*u;
    v=A*s; omega=(s'*v)/(v'*v);
    x=x+alpha*p+omega*s;
    r=s-omega*v; rho1=rt'*r;
    beta=(alpha*rho1)/(omega*rho);
    p=r+beta*(p-omega*u);
    res=norm(r)/mr;resvec(k)=res;
    if (res<tol), break; end
    rho=rho1;
end
time=toc;
```



Back

Close



例 4.17 仍然考虑例 4.15 中的 \mathbf{A} 和 \mathbf{b} . 将 BCGSTAB 算法应用到该线性方程组上, 取算法中的 $\tilde{\mathbf{r}}_0 = \text{ones}(n, 1)$, 迭代在 101 步后收敛 ($\varepsilon = 10^{-10}$), 计算得到的近似解 $\hat{\mathbf{x}}$ 和真解 \mathbf{x}^* 之间的绝对误差为

$$\|\hat{\mathbf{x}} - \mathbf{x}^*\|_2 = 0.9536,$$

但计算解 $\hat{\mathbf{x}}$ 的残量满足

$$\|\mathbf{b} - \mathbf{A}\hat{\mathbf{x}}\|_2 = 7.8561 \times 10^{-8}.$$

迭代过程的收敛轨迹如图 4.18 所示, 其中横坐标为迭代步数 k , 纵坐标为相对残差 $\|\mathbf{r}_k\|_2/\|\mathbf{r}_0\|_2$, 这里 \mathbf{r}_k 是第 k 步得到的残差向量. 此时的收敛速度与 CGS 方法基本一样, 但是注意 $\|\mathbf{r}_k\|_2/\|\mathbf{r}_0\|_2$ 已经变为呈平稳下降.



Back

Close

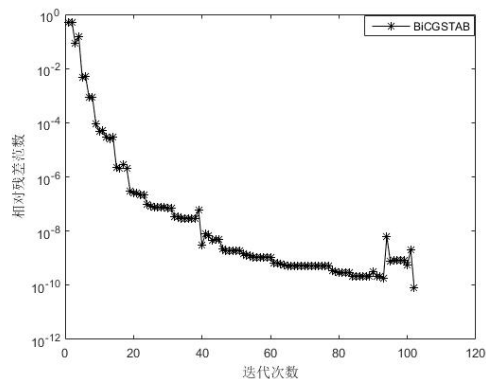


图 4.18 BCGSTAB 算法的收敛特性

最后, 关于预处理 BCGSTAB 算法. 对预处理方程组

$$\hat{A}\hat{x} = \hat{b}, \quad (4.286)$$

式中:

$$\hat{A} = M_1^{-1} A M_2^{-1}, \quad \hat{x} = M_2 x, \quad \hat{b} = M_1^{-1} b.$$



Back

Close

对预处理方程组 (4.286) 应用 BCGSTAB 算法, 再作代换:

$$\begin{aligned}\hat{\mathbf{u}}_k &= \mathbf{M}_1^{-1} \mathbf{u}_k, \quad \hat{\mathbf{s}}_k = \mathbf{M}_1^{-1} \mathbf{s}_k, \quad \hat{\mathbf{q}}_k = \mathbf{M}_1^{-1} \mathbf{q}_k, \\ \hat{\mathbf{r}}_k &= \mathbf{M}_1^{-1} \mathbf{r}_k, \quad \hat{\mathbf{p}}_k = \mathbf{M}_1^{-1} \mathbf{p}_k, \quad \hat{\mathbf{x}}_k = \mathbf{M}_2 \mathbf{x}_k, \quad \widehat{\tilde{\mathbf{r}}}_0 = \mathbf{M}_1^T \tilde{\mathbf{r}}_0.\end{aligned}$$

便得到如下预处理稳定化双共轭梯度算法.

算法 4.22 (PBCGSTAB 方法) 给定线性方程组 (4.234), 初始向量 \mathbf{x}_0 和 $\varepsilon > 0$ 及预处理矩阵 $\mathbf{M} = \mathbf{M}_1 \mathbf{M}_2$. 本算法计算 \mathbf{x}_k , 使得 $\|\mathbf{r}_k\|_2 / \|\mathbf{r}_0\|_2 \leq \varepsilon$, 其中 $\mathbf{r}_k = \mathbf{b} - \mathbf{A} \mathbf{x}_k$.

选取 \mathbf{x}_0 ; 计算 $\mathbf{r}_0 = \mathbf{b} - \mathbf{A} \mathbf{x}_0$; $\mathbf{p}_0 = \mathbf{r}_0$;

选择 $\tilde{\mathbf{r}}_0$ 使 $\rho_0 = \tilde{\mathbf{r}}_0^T \mathbf{r}_0 \neq 0$; $k = 0$;

while ($\|\mathbf{r}_k\|_2 / \|\mathbf{r}_0\|_2 > \varepsilon$)

$k = k + 1$;

由 $\mathbf{M} \mathbf{y}_k = \mathbf{p}_k$ 解得 \mathbf{y}_k ;





$$\mathbf{u}_k = \mathbf{A}\mathbf{y}_k; \sigma_k = \tilde{\mathbf{r}}_0^T \mathbf{u}_k;$$

$$\alpha_k = \rho_k / \sigma_k; \mathbf{s}_k = \mathbf{r}_k - \alpha_k \mathbf{u}_k;$$

$$\text{由 } \mathbf{M}\mathbf{z}_k = \mathbf{s}_k \text{ 解得 } \mathbf{z}_k; \mathbf{q}_k = \mathbf{A}\mathbf{z}_k;$$

$$\text{由 } \mathbf{M}_1[\boldsymbol{\xi}_k, \boldsymbol{\eta}_k] = [\mathbf{q}_k, \mathbf{s}_k] \text{ 解得 } [\boldsymbol{\xi}_k, \boldsymbol{\eta}_k];$$

$$\omega_{k+1} = (\boldsymbol{\xi}_k^T \boldsymbol{\eta}_k) / (\boldsymbol{\xi}_k^T \boldsymbol{\xi}_k);$$

$$\mathbf{x}_{k+1} = \mathbf{x}_k + \alpha_k \mathbf{y}_k + \omega_{k+1} \mathbf{z}_k;$$

$$\mathbf{r}_{k+1} = \mathbf{s}_k - \omega_{k+1} \mathbf{q}_k;$$

$$\rho_{k+1} = \tilde{\mathbf{r}}_0^T \mathbf{r}_{k+1}; \beta_{k+1} = (\alpha_k \rho_{k+1}) / (\omega_{k+1} \rho_k);$$

$$\mathbf{p}_{k+1} = \mathbf{r}_{k+1} + \beta_{k+1} (\mathbf{p}_k - \omega_{k+1} \mathbf{u}_k);$$

end

若考虑例 4.15 中的 \mathbf{A} 和 \mathbf{b} . 将 PBCGSTAB 方法应用到该线性方程组上, 取算法中的 $\tilde{\mathbf{r}}_0 = \mathbf{r}_0$, 预处理矩阵 $\mathbf{M} = \mathbf{M}_1 \mathbf{M}_2$ 为矩阵



Back

Close



294/294

A 的不完全 LU 分解, 则只需迭代 1 步即满足终止准则 ($\varepsilon = 10^{-10}$), 计算得到的近似解 \hat{x} 和真解 x^* 之间的误差为

$$\|\hat{x} - x^*\|_2 = 5.7303 \times 10^{-15},$$

计算解 \hat{x} 的残量满足

$$\|b - A\hat{x}\|_2 = 6.0738 \times 10^{-15}.$$



Back

Close